



LVII REUNIÓN CIENTÍFICA ANUAL  
2024

15-16-17 NOV. BUENOS AIRES

.UBAodontología



# LIBRO DE RESÚMENES

de la LVII Reunión Científica Anual de la  
Sociedad Argentina de Investigación Odontológica





# elmex®

SENSITIVE PROFESSIONAL

## elmex SENSITIVE PROFESSIONAL

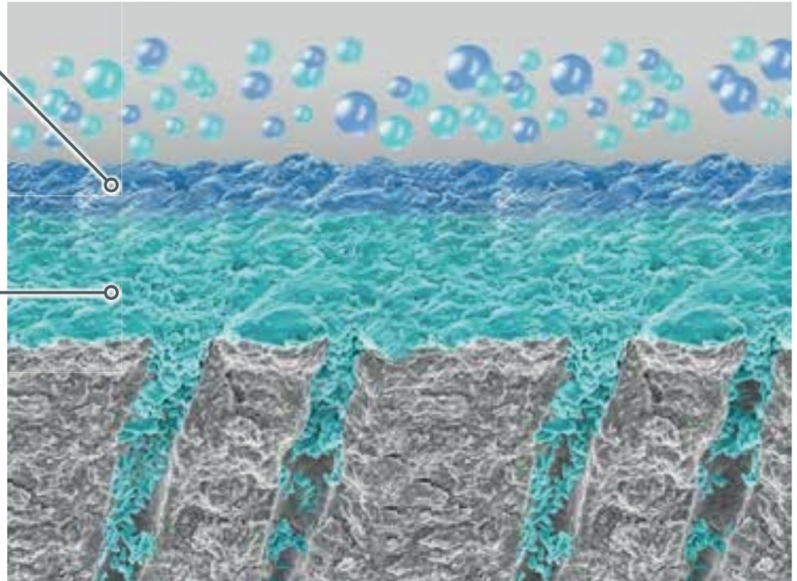
### Fórmula única con tecnología Pro-Argin y Fosfato de Zinc

#### Fosfato de Zinc

- Acelera la construcción de la capa oclusiva.
- Más resistencia a los ataques ácidos.

#### Tecnología Pro Argin

- Sella los túbulos dentinarios.
- Construye una fuerte capa rica en calcio para el alivio prolongado de la HSD.



Representación creativa del modo de acción.

Tecnología Pro-Argin con efecto instantáneo y prolongado sobre el dolor de la hipersensibilidad dentinaria.<sup>1,2</sup>



Alivio inmediato del dolor desde el primer uso.

**60.5%** de mejoras.



Alivio prolongado del dolor con un **80.5%** de reducción después de las 8 semanas.

Nueva fórmula para una acumulación más rápida de la capa protectora y mayor resistencia a los desafíos ácidos.<sup>3,4</sup>

Luego de 3 tratamientos:



2x más túbulos ocluidos vs fórmula anterior.

Luego de 5 tratamientos después de los desafíos ácidos:

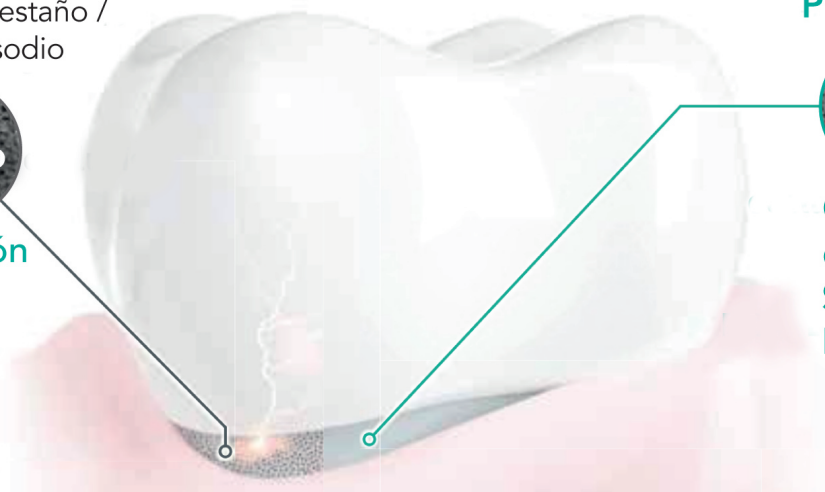


2.7x más túbulos ocluidos vs fórmula anterior.

# Oclusión superior para la sensibilidad dental

Fluoruro de estaño /  
fluoruro de sodio

52%  
Oclusión



Tecnología  
Pro-Argin

81%

Oclusión  
con **elmex**  
**SENSITIVE**  
**PROFESSIONAL**

## Recomiende **elmex SENSITIVE PROFESSIONAL**



- **60.5%** menos sensibilidad después del primer uso.
- **80.5%** alivio prolongado del dolor luego de 8 semanas.
- **Mayor resistencia** a los desafíos ácidos.
- **Acumulación más rápida** de capa protectora.
- **Oclusión superior de los túbulos dentinarios.**

Está prohibida la reproducción total o parcial de esta obra por cualquier método: fotográfico, fotocopia, mecánico, reprográfico, óptico, magnético, o electrónico, sin la autorización expresa y por escrito de los propietarios del copyright.

De Lucca, Romina.

Libro de Resúmenes de la LVII Reunión Científica Anual de la Sociedad Argentina de Investigación Odontológica / Luciana Sánchez; Pilar Martínez; Ciudad Autónoma de Buenos Aires : Sociedad Argentina de Investigación Odontológica, 2024. Libro digital, PDF en construcción.

Archivo Digital: descarga y online

ISBN: 978-987-46399-7-4

1. Odontología. 2. Actas de Congresos.

ISBN 978-987-46399-7-4



**Diseño y diagramación:** Eidos Estudio SRL

[eidosestudio.com](http://eidosestudio.com)

[info@eidosestudio.com](mailto:info@eidosestudio.com)





## ESTIMADOS SOCIOS Y COLEGAS DE LA COMUNIDAD SAIO:

Con motivo de la LVII reunión científica anual, y con el trabajo y el esfuerzo individual de cada uno de ustedes, nos volvemos a encontrar como Sociedad con el propósito de impulsar el avance de la investigación odontológica en todos sus niveles, promoviendo la innovación tanto en el ámbito básico como en el clínico. Sabemos que la investigación es el pilar fundamental sobre el que se sostiene el progreso de nuestra profesión, ya que proporciona los conocimientos necesarios para transformar nuestra práctica diaria y mejorar la salud de nuestros pacientes.

En los últimos años, SAIO ha experimentado importantes cambios tecnológicos con el fin de facilitar la interacción entre los socios y mejorar nuestra comunicación institucional. A través de la digitalización de procesos, hemos hecho más accesibles las inscripciones, los pagos y otros servicios esenciales, permitiendo que nuestros miembros se mantengan conectados y puedan participar activamente en nuestras actividades.

Con esta transformación también buscamos ampliar nuestra comunidad. Hemos potenciado las conferencias abiertas y virtuales, brindando un espacio de aprendizaje accesible tanto para socios como para la comunidad odontológica en general. Esta modalidad nos permite llevar el conocimiento científico a todos los rincones del país, fortaleciendo los vínculos federales y promoviendo el acceso equitativo a la capacitación de calidad. Asimismo, hemos puesto especial énfasis en motivar a los jóvenes y estudiantes a involucrarse en el ámbito de la investigación, reconociendo en ellos el potencial y el impulso renovador que nuestra disciplina necesita para seguir evolucionando.

Agradezco el compromiso y la participación de cada uno de nuestros socios, quienes, con su labor, hacen posible el crecimiento y el desarrollo de nuestra Sociedad. Que estas páginas reflejen la relevancia de la investigación en odontología y sirvan de inspiración para todos aquellos que dedican su esfuerzo al avance científico.

**Pablo Alejandro Rodríguez**  
Presidente SAIO



## QUERIDOS INVESTIGADORES, COLEGAS Y AMIGOS:

Una vez más asistimos a la Reunión Anual de la Sociedad Argentina de Investigación Odontológica (SAIO) División Argentina de la International Association for Dental Research (IADR) e integrante de la Región Latinoamericana de la IADR (LAR), para su edición número 57.

En esta oportunidad, las autoridades de la Facultad de Odontología de la Universidad de Buenos Aires FOUBA ceden los espacios de esta prestigiosa casa de altos estudios para que más de 150 trabajos de investigación en odontología sean presentados en sus aulas.

Nos proponemos junto con la Comisión Organizadora que esta reunión sea el espacio propicio para un intercambio cordial y fructífero de los resultados de nuestras investigaciones que con tanto esfuerzo y dedicación compartimos año tras año. Consideramos que es muy importante promover, a través de un lenguaje asertivo, el apoyo a los más jóvenes, fomentando su desarrollo y crecimiento dentro de nuestra comunidad. Brindándoles las herramientas necesarias para darle a sus investigaciones el nivel científico y académico que nuestros maestros nos inculcaron.

Estamos convencidos de que los jóvenes con su energía contagiosa y su capacidad para desafiar el status quo, correrán límites que nos permitirán avanzar hacia un futuro prometedor, necesario para el avance de la ciencia.

Por último, quiero agradecer a las diferentes instituciones, auspiciantes y a cada persona que con su apoyo ha hecho posible la realización de este encuentro. Hago extensivo el agradecimiento al Presidente de la SAIO Prof. Dr. Pablo Alejandro Rodríguez y a la Comisión Directiva de la Sociedad por la confianza depositada en mí y en toda la Comisión Organizadora que con su desinteresado esfuerzo hicieron posible este evento.

A disfrutar de la LVII Reunión Anual de la SAIO.

Afectuosamente

**Romina Carmen De Lucca**  
Presidente Comisión Organizadora



~IN MEMORIAM~

## PROF. DRA. SUSANA PIOVANO

PRESIDENTE DE LA  
SOCIEDAD ARGENTINA DE INVESTIGACIÓN ODONTOLÓGICA  
DURANTE EL AÑO 1986



## LVII REUNIÓN CIENTÍFICA ANUAL

SOCIEDAD ARGENTINA DE INVESTIGACIÓN ODONTOLÓGICA

DIVISIÓN ARGENTINA DE LA INTERNATIONAL ASSOCIATION FOR DENTAL RESEARCH

Buenos Aires, Argentina, 15 al 17 de noviembre de 2024

## COMISIÓN DIRECTIVA SAIO 2023-2024

### **Presidente**

Pablo Alejandro Rodríguez

### **Vicepresidente**

Ángela Argentieri

### **Secretaria**

María Lorena Cabirta

### **Pro-Secretaria**

Eugenia Pilar Consoli Lizzi

### **Tesorera**

Luciana D'Eramo

### **Pro-Tesorera**

Romina De Lucca

### **Vocales**

Alejandra Lei

Verónica Paván

Ingrid Guitelman

### **Secretario de Asuntos Internacionales e Institucionales**

Aldo Squassi

### **Asesora Científica**

Noemí Bordoni



## ÓRGANO DE FISCALIZACIÓN 2024-2025

### **Miembros Titulares**

Ana Laura Sorazabal  
Juliana Rodríguez  
Romina Chaintiou Piorno

### **Miembros Suplentes**

Eugenia Miklaszewski  
Carola Bettina Bozal

## COMISIÓN ORGANIZADORA REUNIÓN ANUAL 2024

### **Presidente**

Romina Carmen De Lucca

### **Secretaria**

Luciana Marina Sánchez

### **Pro-Secretaria**

Eugenia Miklaszewski

### **Tesorera**

Anabel Lama

### **Comité Científico / Coordinación general de resúmenes**

Pilar Martínez

### **Comité de Premios y Menciones**

María Lorena Cabirta

### **Comité de Ceremonial**

Mariana Picca  
Analía Garrofé

### **Comité de Auspicios / Relaciones comerciales**

Ana Clara Casadoumecq

## COMITÉ DE APOYO

Verónica Miksztowickz  
Eugenia Santillán  
Juliana Rodríguez  
Gisela Gualdoni  
Lee Li Ting  
Gabriela Martín  
Mariana Rocamundi  
Eugenia Pilar Consoli Lizzi  
Valentín Mendoza  
María Eugenia Miyashiro

## COLABORADORES ESTUDIANTES SAIO

Fernanda Sarli Galvez  
Florencia Finzi  
Guido Reboredo  
Melina Sosa De Lucca  
Merlina López  
Micaela Rossi  
Rubén Piña Lugo  
Sebastián Biaggini  
Tomás Rodríguez  
William Patitucci  
Yamila Boix Antacle



## DELEGADOS PROVINCIALES

### **CÓRDOBA**

Evelin Bachmeier  
Fabiana Carletto Korber  
Miriam Grenon  
Silvia López de Blanc  
Gabriela Martín

### **CORRIENTES**

Rolando Juárez

### **ENTRE RÍOS**

Paola Luciani Reynoso

### **LA PLATA**

Karen Rhys

### **MENDOZA**

Claudia Fernández

### **PATAGONIA**

Mariana Preliasco

### **ROSARIO**

Esteban Funosas

### **TUCUMAN**

Sandra Iturre  
Luis Wuscovi

# ADHESIONES

**La Comisión Directiva y la Comisión Organizadora de la LVII Reunión Científica Anual de la Sociedad Argentina de Investigación Odontológica agradecen los siguientes auspicios, adhesiones y declaraciones de interés institucional, brindados para esta reunión.**

Declaración de interés institucional por la Facultad de Odontología, Universidad de Buenos Aires

Adhesión de la Facultad de Odontología, Universidad Nacional de Rosario

Adhesión de la Facultad de Odontología, Universidad Nacional del Nordeste

Adhesión de la Carrera de Odontología Sede Alto Valle-Valle Medio Universidad Nacional de Río Negro

Adhesión de la Facultad de Odontología, Universidad Nacional de La Plata

Adhesión de la Escuela de Odontología, Facultad de Ciencias Médicas, Universidad FASTA

Adhesión de la Facultad de Odontología, Universidad Nacional de Tucumán

Adhesión de la Academia Nacional de Odontología

Adhesión de la Asociación Odontológica Argentina

Adhesión de la Ateneo Argentino de Odontología

Adhesión de la Carrera de Odontología, Facultad de Ciencias Médicas, Pontificia Universidad Católica Argentina

Adhesión de la Universidad Católica de Córdoba

Adhesión de la Escuela de Odontología, Facultad de Medicina, Universidad del Salvador

Adhesión de la Universidad Abierta Interamericana

Adhesión de la Facultad de Odontología de la Universidad Católica de La Plata



## AGRADECIMIENTOS

**La Comisión Directiva y la Comisión Organizadora de la LVII Reunión Científica Anual de la Sociedad Argentina de Investigación Odontológica agradecen el aporte brindado por las siguientes instituciones, empresas y personas destacadas.**

A la Dra. Débora Heller por el dictado de la conferencia “Diagnóstico salival: Innovaciones y aplicaciones en la investigación odontológica” y del workshop: “Métodos de recolección y análisis salivales para investigaciones clínicas y experimentales”.

A Colgate Palmolive Company

A Sunstar Gum

A Haleon (Corega y Sensodyne)

A FEDERA S.A.

A Rosterdent

A Café Martínez

A Carpediem

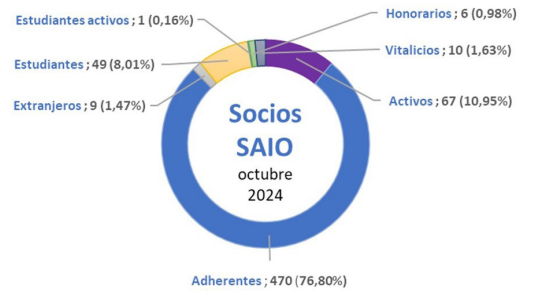
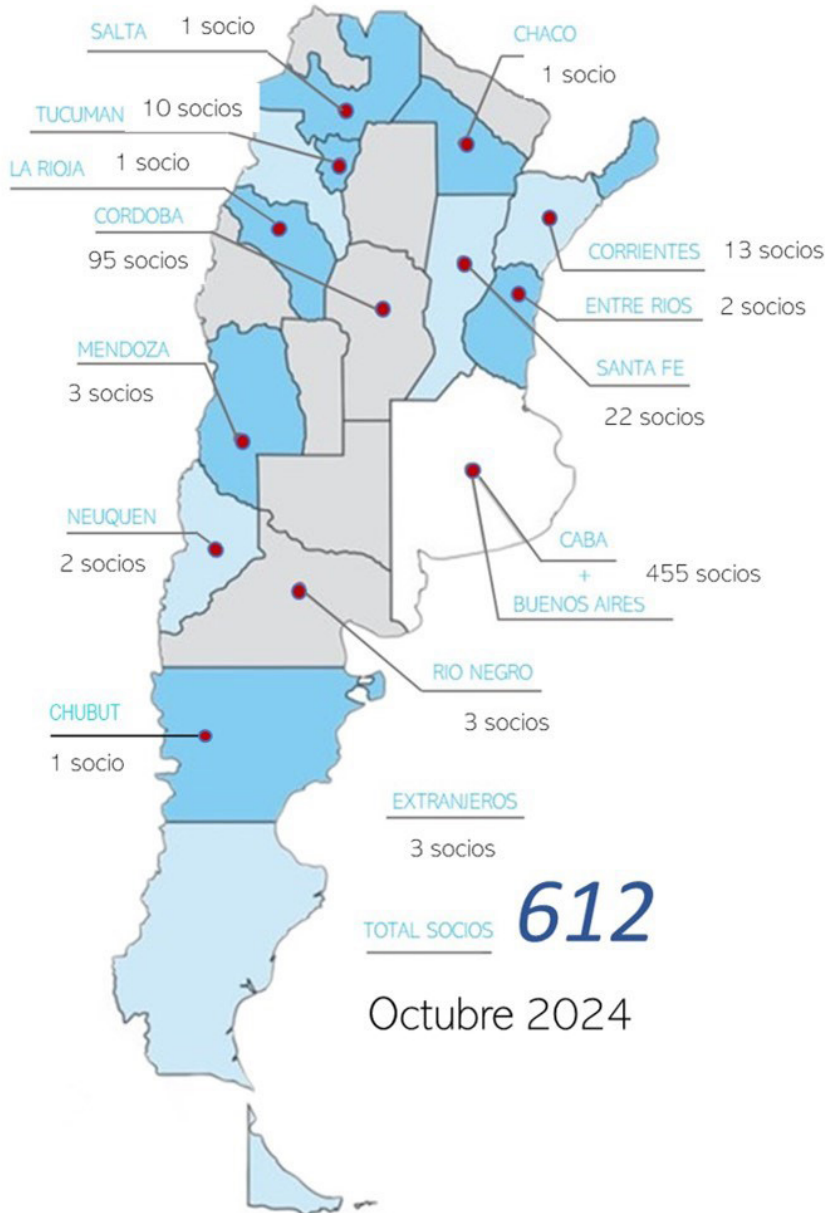
IC Velas de Soja

A Dental Medrano

Bioxen



# MAPA DE DISTRIBUCIÓN DE SOCIOS SAIO 2024



## GRUPOS DE INVESTIGACIÓN

Biología pulpar y regeneración  
Cariología y salud pública  
Ciencias diagnósticas  
Educación  
Materiales dentales  
Medicina oral y patología  
Odontopediatría  
Ortodoncia  
Periodoncia e Implantes





# **CRONOGRAMA GENERAL**



## VIERNES 15 DE NOVIEMBRE

08:30 - 12:00 13:00 - 16:00	ACREDITACION – 1º PISO						
<b>PREMIOS</b>							
10:00 - 12:00	Houssay Aula 1 6º B	Milstein Aula 2 6º B	Pérez Esquivel Aula 3 6ºB	Leloir Aula 4 6º B	Saavedra Lamas Aula 5 6º B	Cabrini Aula 1 5º B	Erausquin Aula 2 5º B
12:00 - 13:00	INTERVALO						
<b>REUNIONES DE GRUPOS - PRESENTACIÓN DE PROYECTOS</b>							
	Houssay Aula 1 6º B	Milstein Aula 2 6º B	Pérez Esquivel Aula 3 6ºB	Leloir Aula 4 6º B	Saavedra Lamas Aula 5 6º B	Cabrini Aula 1 5º B	Erausquin Aula 2 5º B
13:00 - 14:00	Educación		Ortodoncia			Ciencias diagnósticas	Cariología y salud pública
14:00 - 15:00	Odontopediatría		Biología pulpar y Regeneración	Medicina oral y Patología		Periodoncia e implantes	Materiales dentales
15:00 - 16:00	<b>REUNIÓN REVISTA AOL - ACTA ODONTOLÓGICA LATINOAMERICANA</b> Salón Houssay Aula 1 6º B						
<b>PRESENTACIONES (O: orales / P: pósteres electrónicos)</b>							
	Carranza (P) Aula Central 1º	Houssay Aula 1 6º B	Milstein (P) Aula 2 6º B	Pérez Esquivel (O) Aula 3 6º B	Cabrini (O) Aula 1 5º B	Erausquin (O) Aula 2 5º B	
16:00 - 18:00	Odontopediatría y Ortodoncia		Materiales dentales	Mucosa y tejidos dentarios	Cariología y Epidemiología	Endodoncia	
18:00 - 20:00	<b>CONFERENCIA:</b> <b>“Diagnóstico salival: Innovaciones y aplicaciones en la investigación odontológica”</b> Débora Heller  <b>ACTO INAUGURAL</b>  Aula Magna PB						
20:00	<b>Cóctel de Bienvenida</b> Salón Carranza 1º piso						

## SÁBADO 16 DE NOVIEMBRE

08:30 - 10:00 12:00 - 14:00	ACREDITACION – 6° PISO B					
08:30 - 09:00	<b>WORKSHOP:</b> "Métodos de recolección y análisis salivales para investigaciones clínicas y experimentales" Débora Heller Salón Erausquin Aula 2 5° B					
<b>PRESENTACIONES ORALES</b>						
	Carranza (O) Aula Central 1°	Houssay (O) Aula 1 6° B	Milstein (O) Aula 2 6° B	Pérez Esquivel (O) Aula 3 6° B	Cabrini (O) Aula 1 5° B	Erausquin (O) Aula 2 5° B
10:00 - 12:00	Tejido óseo		Materiales dentales y biomateriales	Odontopediatría y Ortodoncia	Cariología y Epidemiología	Microbiología e Inmunología
12:00 - 14:00	INTERVALO					
<b>PRESENTACIONES - POSTERS ELECTRÓNICOS</b>						
	Carranza (P) Aula Central 1°	Houssay (P) Aula 1 6° B	Milstein (P) Aula 2 6° B	Pérez Esquivel (P) Aula 3 6° B	Cabrini (P) Aula 1 5° B	Erausquin (P) Aula 2 5° B
14:00 - 17:00	Tejidos dentales y periodontales	Mucosa bucal Endodoncia	Materiales dentales y biomateriales ATM	Odontopediatría y Ortodoncia Glándulas salivales	Microbiología e Inmunología Cariología	



## DOMINGO 17 DE NOVIEMBRE

### PRESENTACIONES (O: orales / P: pósteres electrónicos)

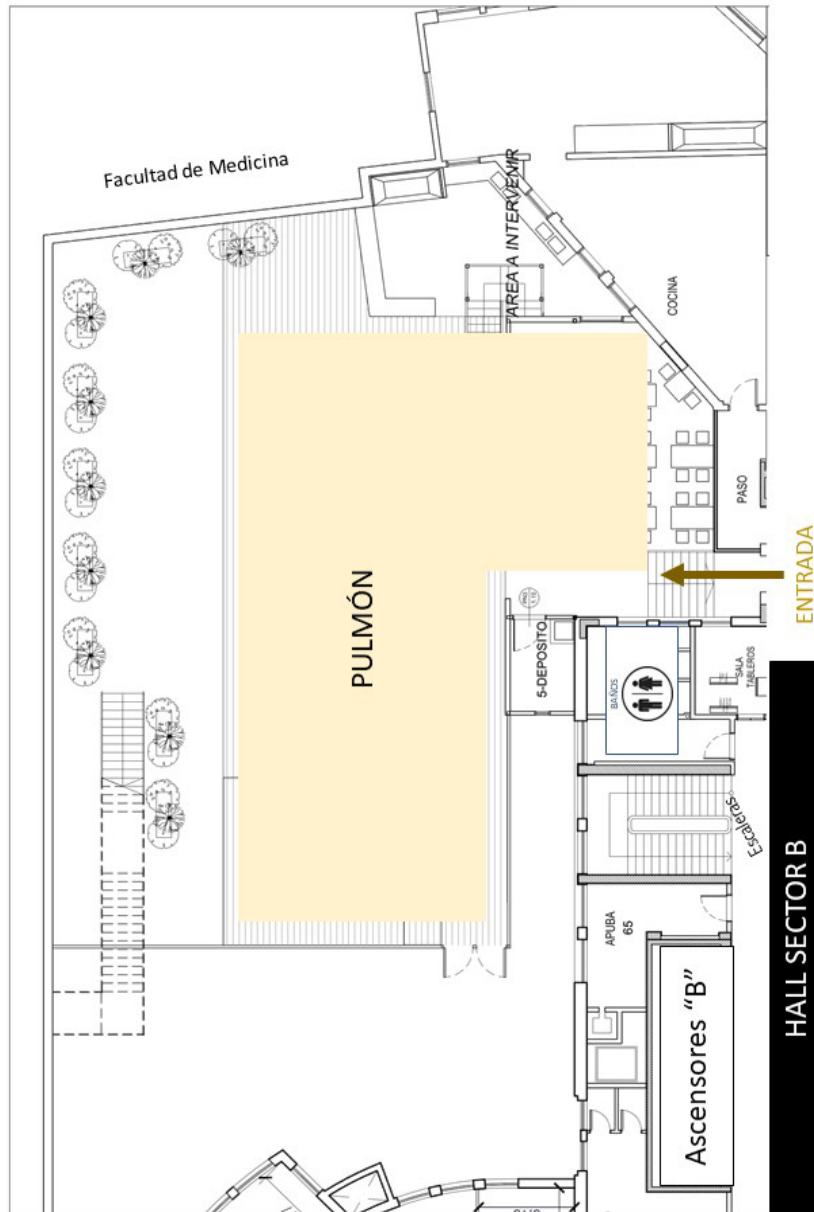
	Carranza (P) Aula Central 1°	Houssay (P-O) Aula 1 6° B	Milstein (O) Aula 2 6° B	Pérez Esquivel (O) Aula 3 6° B	Cabrini (O) Aula 1 5° B	Erausquin (P) Aula 2 5° B
09:00 - 10:00		Educación odontológica		Materiales dentales y biomateriales		
10:00 - 12:00				Odontopediatría y Ortodoncia		
12:00 - 12:30	ASAMBLEA ANUAL ORDINARIA (1° llamado) Salón Houssay Aula 1 6° piso B					
12:30 - 14:00	ASAMBLEA ANUAL ORDINARIA (2° llamado) Salón Houssay Aula 1 6° piso B					
14:00	ENTREGA DE PREMIOS Y ALMUERZO DE CLAUSURA Salón Carranza 1° piso					



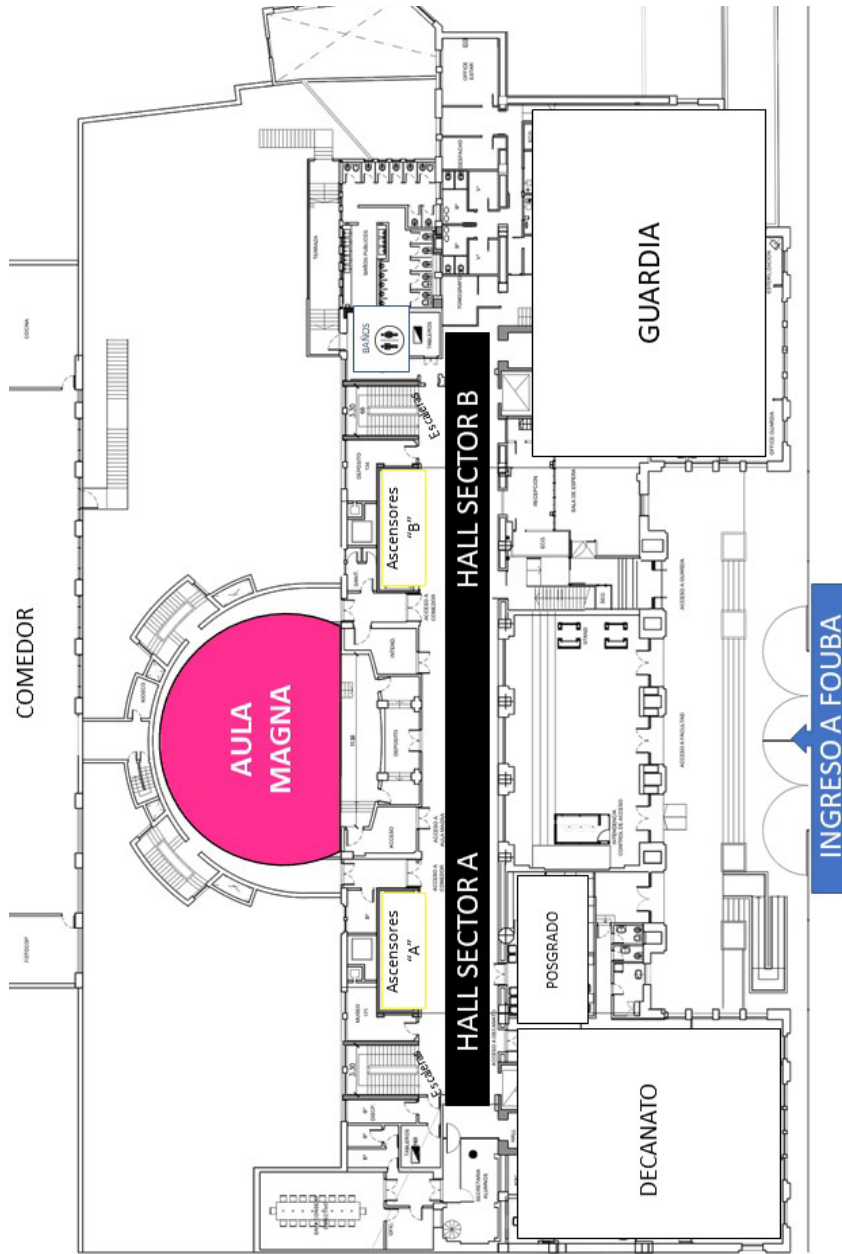
# PLANOS DE UBICACIÓN DE SALONES



# SUBSUELO

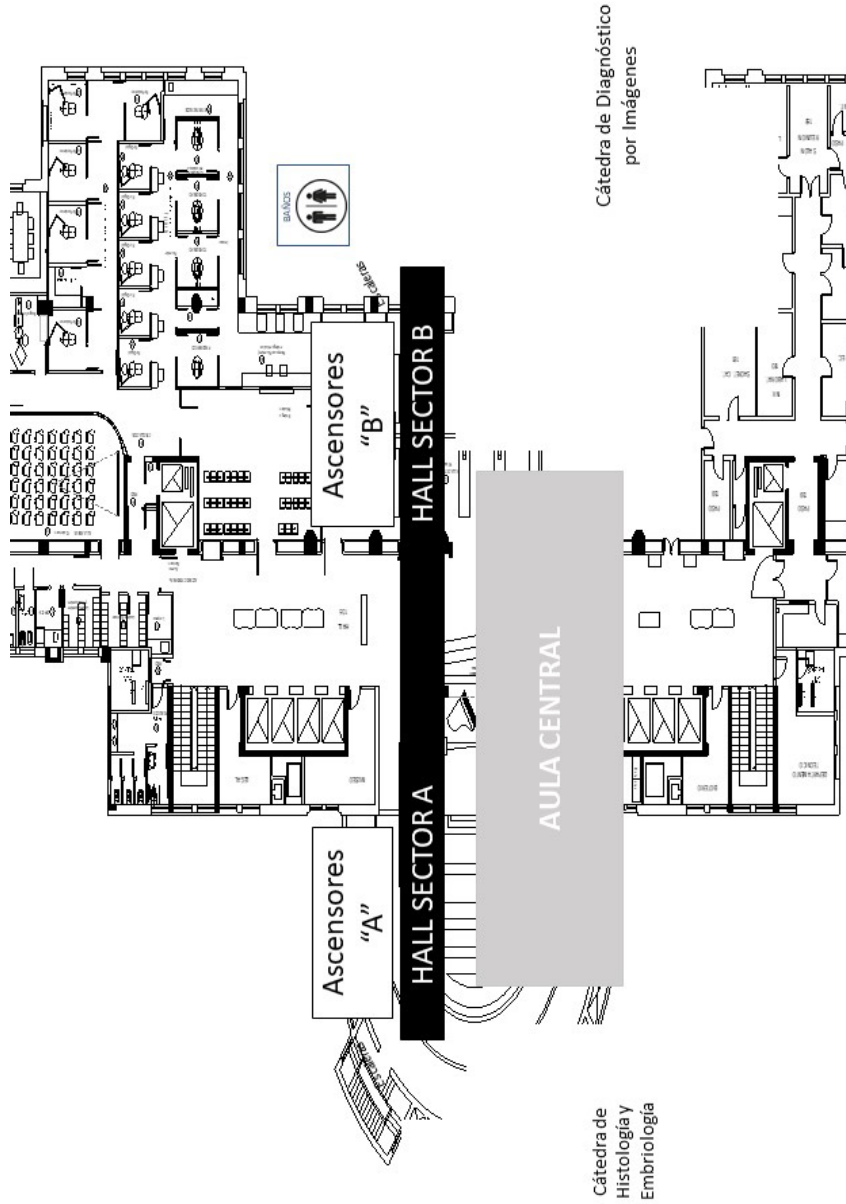


# PLANTA BAJA



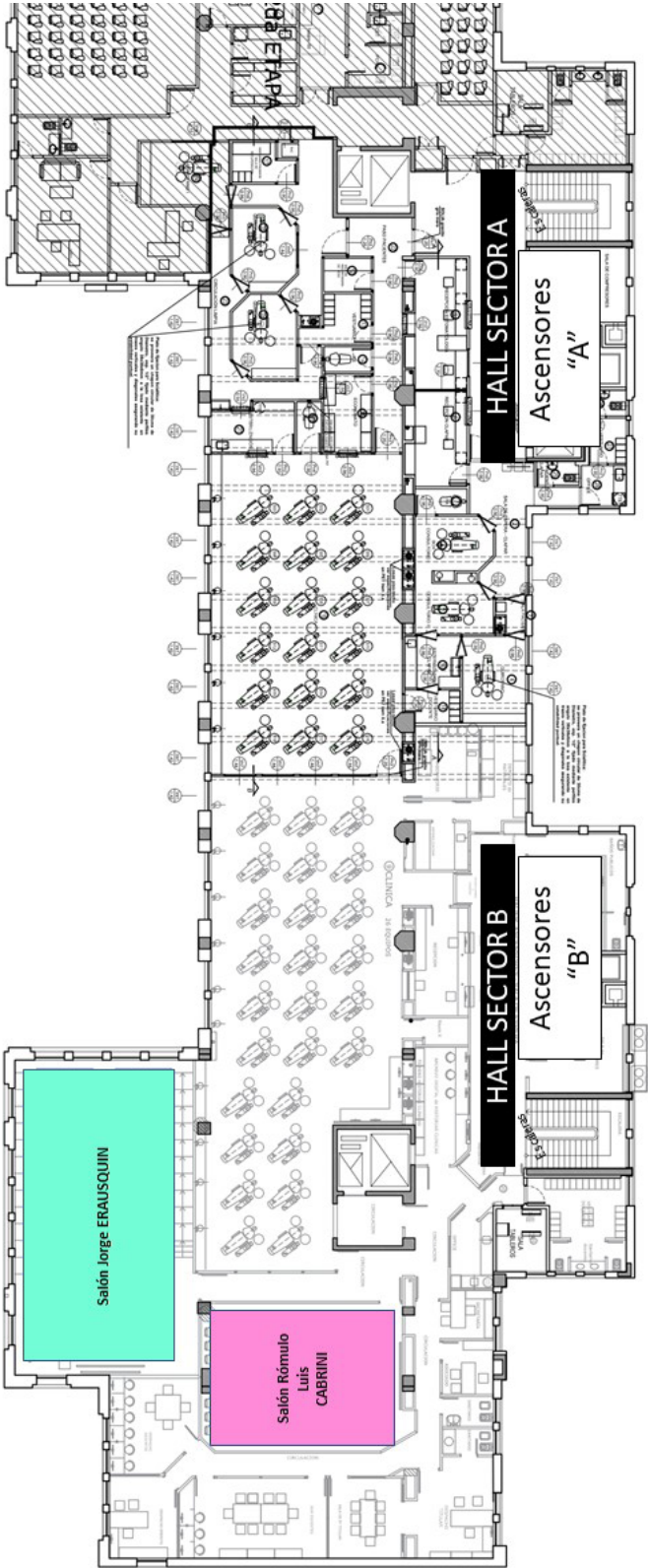


# 1º PISO



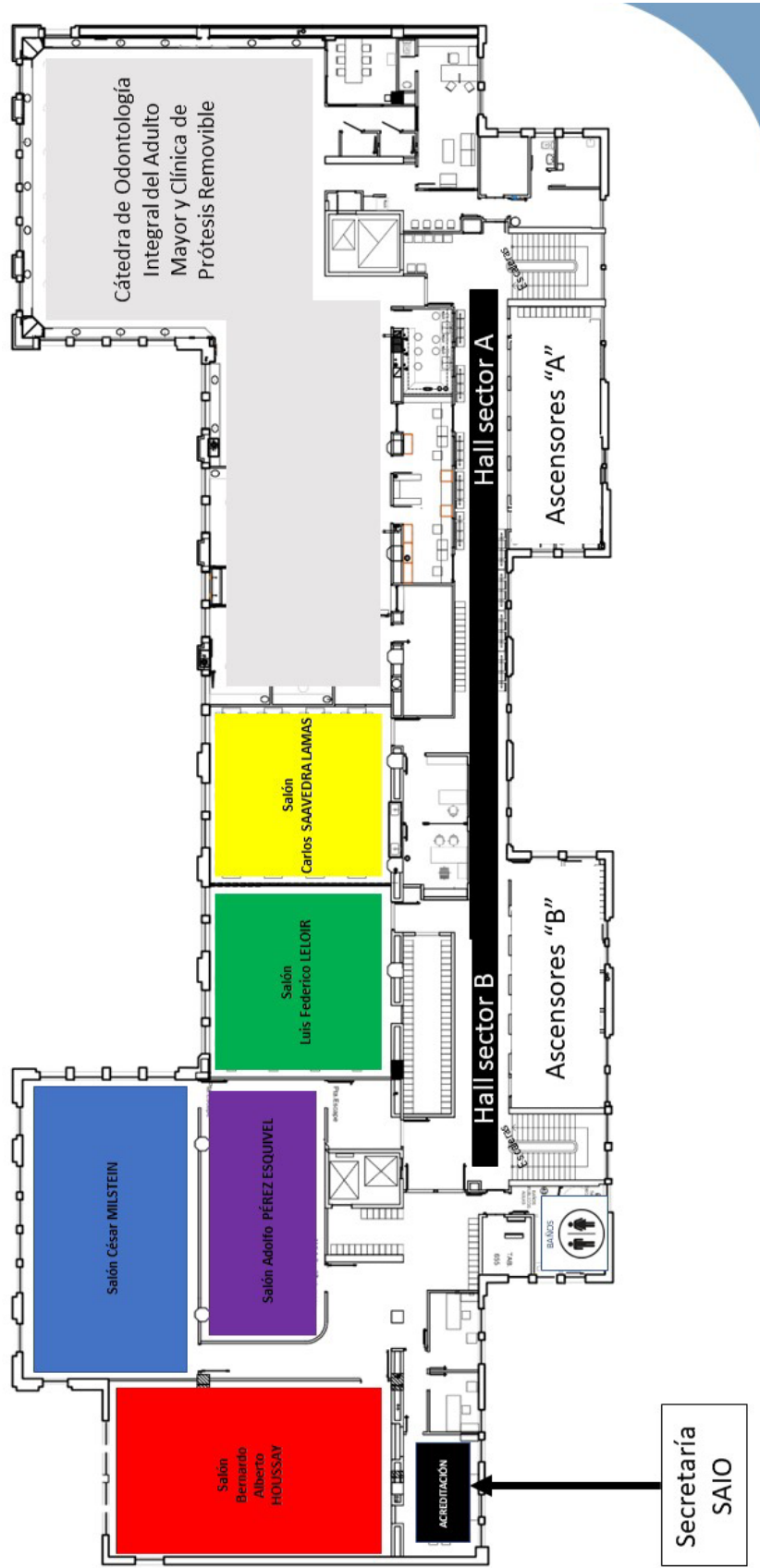


5° PISO





# 6° PISO



# CONFERENCIAS Y PROYECTOS DE INVESTIGACIÓN

**Viernes 15 de noviembre**

## **AULA MAGNA**

Planta baja

18 hs.

Conferencia

**DIAGNÓSTICO SALIVAL: INNOVACIONES Y APLICACIONES EN LA INVESTIGACIÓN ODONTOLÓGICA.**

**Dra. Débora Heller**

## **SALA HOUSSAY**

Grupo Educación - Proyectos de Investigación

13 a 14 hs.

**ENFOQUES DEL APRENDIZAJE DESARROLLADOS POR ESTUDIANTES DE ODONTOLOGÍA DE UNIVERSIDADES ARGENTINAS. ESTUDIO EXPLORATORIO.**

**Autor expositor: Melisa Ienco**

**ENGAGEMENT Y AUTOEFICACIA PERCIBIDA POR DOCENTES DE LA FACULTAD DE ODONTOLOGÍA DE LA UNIVERSIDAD DE BUENOS AIRES (FOUBA).**

**Autor expositor: Fiorella Ventura**

Grupo Odontopediatría- Proyectos de Investigación

14 a 15 hs.

**VIOLENCIA INFANTIL: CONOCIMIENTO Y ACTUACIÓN DE ODONTÓLOGOS EN ARGENTINA.**

**Autor expositor: Mariana Bertolino**

**EVALUACIÓN DE ERUPCIÓN DE SEGUNDOS MOLARES PERMANENTES. POST EXODONCIA DE PRIMEROS MOLARES EN POBLACIÓN PEDIÁTRICA.**

**Autor expositor: Manuela Clara Guanzini**

## **SALA PÉREZ ESQUIVEL**

Grupo Biología Pulpar y Regeneración - Proyectos de Investigación

14 a 15 hs.

**ACCIÓN DEL LÁSER DE DIODO 976NM SOBRE EL BIOFILM DE ENTEROCOCCUS FAECALIS INTRACONDUCTO EX VIVO.**

**Autor expositor: Breiska Borda Aguilar**



## SALA CABRINI

Grupo Ciencias Diagnósticas - Proyectos de Investigación

13 a 14 hs.

**APLICACIÓN DEL MÉTODO RADIOGRÁFICO DE KVAAL PARA ESTIMAR EDAD DENTAL FORENSE.**

**Autor expositor:** Alan Diego Briem Stamm

## SALA ERAUSQUIN

Grupo Ciencias Diagnósticas - Proyectos de Investigación

14 a 15 hs.

**AUTOPERCEPCIÓN BIO-PSICO-SOCIAL EN PACIENTES SIN REHABILITACIÓN BUCAL EN PROSTODONCIA.**

**Autor expositor:** Pablo Octavio Loyola González



# PREMIOS

## SALÓN HOUSSAY

### Premio Prof. Dr. Héctor Maddalena (Grupo Materiales Dentales)

10.00

**COMPORTAMIENTO DE RESINAS FLUIDAS EN OBTURACIONES OCLUSALES, SOMETIDAS A CICLAJE TÉRMICO: EVALUACIÓN IN VITRO DE MICROFILTRACIÓN MARGINAL MEDIANTE MICROSCOPIA ÓPTICA Y CONFOCAL DE BARRIDO LÁSER (C.S.L.M).**

**Autores:** Nicolás Peralta de Elías, Martín A. Farah, Sebastián Fontana.

10.20

**MICRODUREZA VICKERS EN PIEZAS DENTARIAS INFILTRADAS IN VITRO.**

**Autores:** María Alejandra Lei, Ana Laura Sorazabal, Ricardo Luis Macchi, Mariana Picca.

10.40

**CAMBIOS DE COLOR Y ADHESIÓN DE IONÓMERO VÍTREO EN DENTINA CARIADA TRATADA CON NANOCUSTERS DE PLATA EN ÁCIDO POLIMETACRÍLICO.**

**Autores:** María Belén Cabalen, Gustavo Fabián Molina.

11.00

**EVALUACIÓN DE VARIACIÓN DIMENSIONAL, POROSIDAD, DENSIDAD Y PESO DE RESTAURACIONES INDIRECTAS OBTENIDAS MEDIANTE TECNOLOGÍA ADITIVA.**

**Autores:** Cintia Alejandra Martínez, Leonardo Jorge Nart, Diego Jorge Vázquez, Pamela Boragina, Antonella Carolina Rajoy, Pablo Andrés Salgado, Carlos Gastón Prieto, Damián Luis De Moliner, Jorge Esteban Aredes.

## SALÓN MILSTEIN

### Premio Divisional-IADR Unilever Hatton Divisional Award

**-Categoría Senior**

10.00

**ESTUDIO DE LOS PARÁMETROS CLÍNICOS Y POLIMORFISMOS DE NUCLEÓTIDO SIMPLE ASOCIADOS A LA ARTRITIS REUMATOIDEA Y LA ENFERMEDAD PERIODONTAL.**

**Autores:** Angélica Castro Escalante, Pablo Salgado, Ana M. Beron, Gustavo Medina, Marisol Delea, Héctor Martín Cifuentes, Carlos David Bruque, Guillermo Corró, Débora A. González, Teresita Ferrary, Betina Orman.

**-Categoría Junior**

10.20

**ASOCIACIÓN ENTRE AUTORREPORTE DE ENFERMEDAD, INDICADORES CLÍNICOS DE ESTADO PERIODONTAL Y PERCEPCIÓN DE HIPERSENSIBILIDAD DENTINARIA.**

**Autores:** Valentina Alberti Cancelo, María Florencia Escalante Vila, Pablo Salgado, Aldo Squassi, Luciana D'Eramo.

## Premio Colgate-Palmolive

-Estudiantes no graduados de odontología.

10.40

**MOVIMIENTO DENTARIO ORTODÓNCICO EN CONDICIONES DE HIPOMINERALIZACIÓN.**

**Autores:** Guido Lautaro Reboredo, William Eduardo Patitucci, Juliana Rodríguez.

-Estudiantes de Doctorado o Maestrías de odontología.

11.00

**CAMBIOS VOLUMÉTRICOS EN ALVÉOLOS POSTEXODONCIA CON Y SIN PRESERVACIÓN ALVEOLAR.**

**Autores:** Sabrina Seni, Teresita Ferrary, Angélica Castro Escalante, Alejandra Antoniuk, Pablo Salgado, Sebastián Puia, Betina Orman.

11.20

**COTEJO DE RADIOGRAFÍAS PANORÁMICAS Y PERIAPICALES TOMADAS A LOS MISMOS PACIENTES CON INTERVALOS TEMPORALES DE AL MENOS 5 AÑOS DE DIFERENCIA ENTRE AMBOS REGISTROS CON PERSPECTIVA DE IDENTIFICACIÓN HUMANA.**

**Autores:** Alan Diego Briem Stamm, Luis Reinaldo Rannelucci, Pamela Borgo Cosentino, César Rodolfo Telechea, Carla Georgina Arias, Clarisa Yanina Gómez.

## Premio Federa (Grupo Periodoncia e Implantes)

11.40

**COMPARACIÓN DE TÉCNICAS DE AUMENTO DE TEJIDOS PERIIMPLANTARIOS. EVALUACIÓN VOLUMÉTRICA E HISTOLÓGICA.**

**Autores:** Sabrina Seni, Macarena Pasart, Daniela Anastasio, Ana Clara Casadoumecq, Sandra Judith Renou, Daniel Gustavo Olmedo, María Marta Fernández.

## SALÓN PÉREZ ESQUIVEL

### Premio Odontopediatría (Grupo Odontopediatría)

10.00

**ESTABILIDAD DE CONCENTRACIÓN DE FLUORURO EN DENTÍFRICOS COMERCIALIZADOS PARA NIÑOS EN ARGENTINA.**

**Autores:** Lidia Audrey Rocha Valadas, Ana Sorazabal, Pablo Salgado, Angela Argentieri, Firmiano Chiara Santabaya Colares, Aldo Squassi.

10.20

**DESPLAZAMIENTO DE CANINOS POR QUISTES RADICULARES ASOCIADOS A PATOLOGÍA PULPAR DE PIEZAS PRIMARIAS POSTERIORES.**

**Autores:** Melisa Ienco, Manuela Guanzini, Betania Cecenarro, Verónica H. Pavan.

### Premio Ortodoncia (Grupo Ortodoncia)

10.40

**ORTODONCIA DIGITAL: TRATAMIENTOS HÍBRIDOS CON ALINEADORES IN OFFICE Y DISTALADOR DE CARRIERE MOTION II.**

**Autores:** Marina Iglesias, Antonella Sciarrotta, Magalí García, Yesica Doi, Patricia Tarquini, Mahamood Ahmadi, Alejandra Folco.

## SALÓN LELOIR

### Premio María Inés Egozcue

10.00

**IMPACTO DEL CONSUMO DE UNA DIETA CON ALTO CONTENIDO DE SAL DURANTE EL CRECIMIENTO SOBRE LA MANDÍBULA Y SU ASOCIACIÓN CON MARCADORES DEL METABOLISMO ÓSEO.**

**Autores:** Melina Sosa De Lucca, Leonardo Cacciagiu, Clarisa Bozzini, Ricardo Orzuza, Esmeralda López Quispe, Vanesa Touceda, Vanesa Elisa Macri, Silvia Friedman, Verónica Miksztowickz.

### Premio María L. Rins de David

10.20

**RESPUESTA BIOLÓGICA DE UN NOVEL POLÍMERO BIODEGRADABLE (PLA/B-TCP-2,5%) DE ESTRUCTURA ENTRAMADA COMO POTENCIAL SUSTITUTO ÓSEO.**

**Autores:** Camila Lourdes Frosasco, Sandra Judith Renou, Ezequiel Pérez, Pablo Alejandro Fontanetti, Mariela Gisele Domingo, Daniel Gustavo Olmedo.

### Premio Suzel M. Scozarro

10.40

**ASOCIACIÓN DE INFLAMACIÓN GINGIVAL Y PRESENCIA DE PLACA CON LA PERCEPCIÓN DE HIPERSENSIBILIDAD DENTINARIA.**

**Autores:** María Florencia Escalante Vila, Luciana D'Eramo, Cynthia Mariel Rodríguez, Clara Afonso Ramírez, Pablo Salgado, Cassiano Kuchenbecker Rösing, Aldo Squassi.

## Premio Cátedra Histología y Embriología FOUBA

-Categoría Ciencias Básicas con integración en Ciencias Clínicas

11.00

**EFFECTO DE FUERZAS ORTODÓNCICAS SOBRE LA PULPA DE RATAS HIPERCOLESTEROLÉMICAS. ESTUDIO PRELIMINAR.**

**Autores:** Tomás Rodríguez, Gisela Gualdoni, Osvaldo Zmener, Pablo Alejandro Rodríguez.

-Categoría Ciencias Básicas

11.20

**ALTERACIONES DE LA ERUPCIÓN DENTARIA EN DIFERENTES CONDICIONES ÓSEAS METABÓLICAS.**

**Autores:** Fernanda Paz Sarli Gálvez, Guido Reboledo, Luciana Marina Sánchez, Gisela Soledad Gualdoni.

## SALÓN SAAVEDRA LAMAS

### Premio Grupo de Ciencias Diagnósticas

- Premio Innovación Imagenológica

10.00

**BIOTIPO FACIAL: COMPARACIÓN DE DOS MÉTODOS DE OBTENCIÓN MEDIANTE TELERRADIOGRAFÍA.**

**Autores:** Ana Sánchez, Ileana Bonzi, Cintia Coiro, Walter Cornes, Fernando González Maglio, Ana Soler, Noelia Vitali, Andrea Zabala, Ailín Gómez, Diego Vázquez, Pablo Andrés Salgado.



## - Premio Ciencias Diagnósticas

10.20

### **QUISTE NASOLABIAL: ESTUDIO DE UNA SERIE DE CASOS.**

**Autores:** Yamil Emilio Fasah, Lucas F. Polti, Federico Stolbizer, María Luisa Paparella.

10.40

### **DETERMINACIÓN DEL ESTADÍO DE CARMEN NOLLA DE PRIMEROS MOLARES INFERIORES EN RADIOGRAFÍAS PANORÁMICAS.**

**Autores:** Ileana María Amalia Bonzi, Julieta Serafini, Alejandra Antoniuk, Luisina Mazza, Stephanie Aario, Patricia Indkevitch, Victoria Quiroga, Teresita Cifuentes, María Luz Di Bartolo, Florencia Arrigo, Pablo Salgado, Ailín Gómez, María Julia Carosi, Diego Jorge Vázquez.

## **SALÓN CABRINI**

### **Premio Sensodyne**

#### **-Categoría Graduado**

10.00

### **INCIDENCIA DE FRACTURAS DE LA TABLA ÓSEA VESTIBULAR EN EXODONCIAS DEL SECTOR ANTERO-SUPERIOR.**

**Autores:** Oswaldo Calabrese, Luis Rodrigo Belotti, Julián Robles, Matías Mazzucco, Sacha Rossi Grosó, Lucía Gagey, Leandro Monqaut, Inés María Zorrilla.

10.20

### **ESTUDIO PROSPECTIVO ALEATORIZADO DEL DOLOR EN ORTODONCIA CON FOTOBIMODULACIÓN LÁSER.**

**Autores:** Mahmood Ahmadi, Ana Clara Casadoumecq, Marina Iglesias, Magalí García, Yesica Doi, Graciela Riguero, Sandra Benítez Rogé, Janick Cavalieri, Andrea Delaurentiis, Claudia Mohn, Alejandra Folco.

10.40

### **CRONOLOGÍA Y SECUENCIA DE ERUPCIÓN PARA LA DENTICIÓN PERMANENTE.**

**Autores:** Marina Andrea Toscano, Jimena Alejandra Anchava, Silvina Gabriela Cortese, Ana María Biondi.

## **SALÓN ERAUSQUIN**

### **Premio Grupo Biología Pulpar y Regeneración (Grupo Biología Pulpar y Regeneración)**

10.00

### **ESTUDIO EXPERIMENTAL DE LA RESPUESTA DEL TEJIDO PULPAR A FITOCANNABINOIDES.**

**Autores:** Romina Chaintiou Piorno, Mariela Lacave, Pablo Alejandro Rodríguez, Javier Fernández Solari, Claudia Ester Mohn.

## **Premio Cátedra Endodoncia FOUBA**

10.20

### **PERIODONTITIS APICAL: RELACIÓN ENTRE EL DIAGNÓSTICO HISTOPATOLÓGICO Y EL TAMAÑO DE LA LESIÓN.**

**Autores:** Li Ting Lee, Luis Nicolás Alfie, Eugenia Miklaszewski, María Eugenia Santillán, Florencia Neput, Ariel Félix Gualtieri, Pablo Alejandro Rodríguez.

10.40

**RESISTENCIA A LA COMPRESIÓN EN PREMOLARES ENDODÓNTICAMENTE TRATADOS Y REHABILITADOS CON TRES TIPOS DE TÉCNICAS: SUSTITUTO DENTINARIO, ANCLAJE INTRARADICULAR Y REFUERZO CON FIBRAS.**

**Autores:** Paula Cebada, Sofía Antonella Pascual, Josefina Ingrassia, Eliana Mamani, Romina Chaintiou Piorno, Pablo Martínez, Francisco Somoza, Mariana Picca, Ariel Gualtieri, Pablo Rodríguez.

11.00

**EVALUACIÓN DE TRATAMIENTOS ENDODÓNTICOS REALIZADO POR ESTUDIANTES DE GRADO: ADAPTACIÓN Y ANÁLISIS DE NUEVOS PARÁMETROS CLÍNICOS.**

**Autores:** Belén Natalí Dexttler, Martina Rosón Fontán, Eugenia Pilar Consoli Lizzi, Romina Chaintiou Piorno, Ariel Félix Gualtieri, Pablo Alejandro Rodríguez.

## Premio Salud Bucal (Grupo Cariología)

11.20

**ANÁLISIS TEMPORAL DE LA NECESIDAD DE TRATAMIENTO DE CARIES DE ESCOLARES EN CIUDAD DE BUENOS AIRES.**

**Autores:** Glenda Rossi, Ana Laura Sorazabal, Rocío Lazzati, Fiorella Ventura, Pablo Salgado, Aldo Squassi.

## Premio Corega

-Categoría Estudiante

11.40

**ASOCIACIÓN ENTRE PERCEPCIÓN DE HIPERSENSIBILIDAD DENTINARIA Y EROSIÓN DENTAL.**

**Autores:** Clara Afonso Ramírez, María Florencia Escalante Vila, Luciana D'Eramo, Cynthia Mariel Rodríguez, Pablo Salgado, Aldo Squassi.



# PROGRAMA DE PRESENTACIONES

Viernes 15 de noviembre | 16 a 18 hs.

# POSTERS ELECTRÓNICOS

## SALA CARRANZA

### ODONTOPEDIATRÍA

Coordinadores: **INGRID GUITELMAN / ANABELLA FIORE AGUILAR**

Asistente de sala: **MERLINA LÓPEZ**

**1. 16:00 – 16:10: Valoración de la maduración ósea de las epífisis y diáfisis del tercer dedo de la mano (ID 1960)**

María José Levalle, Marta Lidia Rimoldi, Miriam Ruiz, Dominga Mazzeo, Vanessa Lambruschini, Fabiana Hernández, Mariana Silingo, Betiana Gómez.

Cátedra de Odontología Integral Niños, Facultad de Odontología de La Plata.

**2. 16:10 – 16:20: Demanda de Atención en la Cátedra de Odontología Integral Niños de la FOUBA (ID 1963)**

Cynthia Elba Baggini, Mariana Bertolino, Diana Fridman, Analía Miño.

Cátedra de Odontología Integral Niños. FOUBA.

**3. 16:20 – 16:30: Prevalencia de hipomineralización molar Facultades de Odontología de la Universidad de Buenos Aires y de la Universidad Nacional de Córdoba (ID 1969)**

Diana E. Fridman<sup>1</sup>, Fabiana Carletto Korber<sup>2</sup>, Silvina Cortese<sup>1</sup>, Ana Biondi<sup>1</sup>.

1. Cátedra de Odontología Integral Niños, FOUBA. 2. Odontopediatría A, Facultad de Odontología, Universidad Nacional de Córdoba.

**4. 16:30 – 16:40: Complicaciones de los traumatismos dentoalveolares en piezas primarias y permanentes (ID 1972)**

Patricia Alurralde, Gisela Soliani, Soledad Bojaminsky Fontana, Mariana Bertolino.

Cátedra de Odontología Integral Niños, FOUBA.

**5. 16:40 – 16:50: Frecuencia de otras piezas afectadas en pacientes pediátricos con Hipomineralización Molar (ID 1975)**

Jimena Alejandra Anchava, Silvina Gabriela Cortese, Ana María Biondi.

Cátedra de Odontología Integral Niños, FOUBA.

**6. 16:50 – 17:00: Prevalencia de hipomineralización molar en niños de AMBA (ID 1977)**

Mariana Bertolino, Silvina Gabriela Cortese, Ana María Biondi.

Cátedra de Odontología Integral Niños, FOUBA.

**7. 17:10 – 17:20: Masticación alternada y unilateral. Estudio preliminar (ID 1982)**

María Laura Navarro, Elena Medina, Erica Rodríguez Rhis, Nancy Beatriz Mendel.

Cátedra de Odontología Integral Niños. FOUBA.

**8. 17:20 – 17:30: Secuelas en la dentición permanente tras un trauma en la dentición primaria (ID 1983)**

Karina Melian, Analía Miño, Jimena Anchava.

Cátedra de Odontología Integral Niños, FOUBA.

**9. 17:30 – 17:40: Análisis de los tratamientos pulpares en dentición primaria realizados en la Cátedra Odontología Integral Niños de FOUBA (ID 1989)**

Giselle Anahí Zacharczuk, Marina Andrea Toscano, Silvina Paula Escobar.

Cátedra de Odontología Integral Niños, FOUBA.

**10. 17:40 – 17:50: Caries temprana de la infancia: prevalencia y factores de riesgo (ID 2003)**

Marcelo Gabriel Fernández, Julia Aida Fuks, Teresa Noemi Levy, Valeria Mabel Matyus. Nancy Beatriz Mendel. Cátedra de Odontología Integral Niños. FOUBA.

## SALA MILSTEIN

### MATERIALES DENTALES

Coordinadores: **MARIANA PICCA / ALEJANDRA LEI**

Asistente de sala: **WILLIAM PATITUCCI**

**11. 16:00 – 16:10: Pigmentación por café de resinas compuestas polimerizadas con distintas unidades de curado (ID 2043)**

Mariana Rivelli<sup>1</sup>, María Alejandra Lei<sup>1</sup>, Gastón José Marquez<sup>1</sup>, Natalia Gonzalez<sup>1</sup>, Nahuel Toledo<sup>1</sup>, Pablo Salgado<sup>2</sup>, Mariana Picca<sup>1</sup>.

1. Cátedra Materiales Dentales, FOUBA. 2. Cátedra de Microbiología y Parasitología, FOUBA.

**12. 16:10 – 16:20: Efecto de diferentes unidades de fotocurado en la microdureza de resinas compuestas (ID 2044)**

Mariana Rivelli, María Alejandra Lei, Gastón José Márquez, Natalia González, Nahuel Toledo, Patricia Suriaga, Mariana Picca.

Cátedra Materiales Dentales, FOUBA.

**13. 16:20 – 16:30: Relación entre temperatura de curado de las resinas compuestas e injuria del complejo dentino-pulpar con unidades de Polimerización Polywave (ID 2049)**

Lucía Leandra Lauriola<sup>1</sup>, Luciana Marcarian<sup>1</sup>, Andrada Virginia<sup>1</sup>, Andrada Candela<sup>1</sup>, Christian Lezon<sup>2</sup>, Silvia Liliana Zaiden<sup>1</sup>.

1. Cátedra de Preclínica de Odontología Restauradora, FOUBA. 2. Cátedra de Fisiología, FOUBA.

**14. 16:30 – 16:40: Estudio descriptivo de fluorescencia en distintos materiales restauradores frente a diferentes tipos de luces. (ID 2053)**

Patricia Alexandra Suriaga Aray<sup>1</sup>, Ricardo Federico Schäfer<sup>2</sup>, Daniel Maquieira<sup>3</sup>, María José Molina<sup>1</sup>, Luciano Toriani<sup>2</sup>, Mariana Picca<sup>1</sup>.

1. Cátedra de Materiales Dentales, FOUBA. 2. Schäfer Dental Lab. 3. Cátedra de Preclínica de Rehabilitación Protética, FOUBA.

**15. 16:40 – 16:50: Análisis de estabilidad de color, rugosidad superficial y porosidad de una resina impresa en 3D para prótesis fijas provisionales expuesta a diferentes protocolos de pulido (ID 2063)**

Artur Ferronato Soto<sup>1</sup>, Giovani Eduardo Adriano Júnior<sup>1</sup>, Matheus Germano Ramos da Silva<sup>1</sup>, Glauber Macedo Rama<sup>2</sup>, Juliana Silva Ribeiro de Andrade<sup>1</sup>, Maurício Malheiros Badaró<sup>1</sup>.

1. Departamento de Odontología, Universidad Federal de Santa Catarina (UFSC). 2. Departamento de Materiales Dentales y Prótesis, Universidad de São Paulo (USP).

**16. 16:50 – 17:00: Resistencia a la compresión en premolares endodónticamente tratados y rehabilitados con tres tipos de técnicas: sustituto dentinario, anclaje intraradicular y refuerzo con fibras (ID 2137)**

Paula Cebada<sup>1</sup>, Sofía Antonella Pascual<sup>1</sup>, Josefina Ingrassia<sup>1</sup>, Eliana Mamani<sup>1</sup>, Romina Chaintiou Piorno<sup>1</sup>, Pablo Martínez<sup>1</sup>, Francisco Somoza<sup>1</sup>, Mariana Picca<sup>2</sup>, Ariel Gualtieri<sup>1</sup>, Pablo Rodríguez<sup>1</sup>.

1. Cátedra de Endodoncia, FOUBA. 2. Cátedra de Materiales Dentales, FOUBA

**17. 17:00 – 17:10: Evaluación de la microdureza Vickers de un composite bioactivo, un ionómero vítreo modificado con resinas y un composite fotopolimerizables (ID 2151)**

Mara Casal<sup>1</sup>, Ana María Biondi<sup>2</sup>, Gabriela Cortese<sup>2</sup>, Marcela Lespade<sup>1</sup>, Mariana Picca<sup>1</sup>, Pablo Salgado<sup>3</sup>, Analía Garrofé<sup>1</sup>.

1. Cátedra de Materiales Dentales, FOUBA. 2. Cátedra de Odontología Integral Niños, FOUBA. 3. Cátedras de Microbiología y Parasitología y de Odontología Preventiva y Comunitaria, FOUBA, Instituto de Investigaciones en Salud Pública, UBA.

**18. 17:10 – 17:20: Evaluación de la interfaz de restauraciones de composite bioactivo y ionómero vítreo modificado con resinas realizadas en molares primarios (ID 2152)**

Marcela Lespade<sup>1</sup>, Ana María Biondi<sup>2</sup>, Mara Casal<sup>1</sup>, Gabriela Cortese<sup>2</sup>, Analía Garrofé<sup>1</sup>, Pablo Salgado<sup>4</sup>, Mariana Picca<sup>1</sup>.

1. Cátedra de Materiales Dentales, FOUBA. 2. Cátedra de Odontología Integral Niños, FOUBA. 3. Cátedras de Microbiología y Parasitología y de Odontología Preventiva y Comunitaria, FOUBA, Instituto de Investigaciones en Salud Pública, UBA.

**19. 17:20 – 17:30: Estudio preliminar -in vitro- de tres emergentes implantarios sobre la diferenciación osteoblástica (ID 2033)**

Macarena Nicolini<sup>2</sup>, Rosario Macchi<sup>2</sup>, Juan M Galdoporpora<sup>1</sup>, Silvia M Friedman<sup>1</sup>, Andrea M Canellada<sup>2</sup>.

1. Cátedra de Bioquímica General y Bucal. Unidad de Investigación de Bioquímica Traslacional y Metabolismo (UBiTyM), FOUBA. 2. FFyB, UBA.



# PRESENTACIONES ORALES

## SALA PÉREZ ESQUIVEL

### MUCOSA BUCAL/TEJIDOS DENTALES Y PERIODONTALES

Coordinadores: VERONICA PAVAN/CESAR OSSOLA

Asistente de sala: YAMILA BOIX ANTACLE

### MUCOSA BUCAL

**20. 16:00 – 16:15: Desarrollo y caracterización de un nuevo gel mucoadhesivo que contiene nistatina complejada con  $\beta$ -ciclodextrina para el tratamiento de candidiasis oral (ID 1959)**

Carolina Yoshi Campos Sugio<sup>1</sup>, Fernanda Balestrero Cassiano<sup>2</sup>, Amanda Aparecida Maia Neves Garcia<sup>1</sup>, Priscileila Colerato Ferrari<sup>3</sup>, Diana Gabriela Soares dos Passos<sup>2</sup>, Vanessa Migliorini Urban<sup>4</sup>, Karin Hermana Neppelenbroek<sup>1</sup>.

1. Departamento de Prótesis y Periodoncia, Facultad de Odontología de Bauru, Universidad de São Paulo, Brasil. 2. Departamento de Odontología Restauradora, Endodoncia y Materiales Dentales, Facultad de Odontología de Bauru, Universidad de São Paulo, Brasil. 3. Departamento de Ciencias Farmacéuticas, Universidad Estatal de Ponta Grossa, Brasil. 4. Departamento de Odontología, Universidad Estatal de Ponta Grossa, Brasil<sup>1</sup>.

**21. 16:15 – 16:30: Tumores pericíticos-perivasculares bucales: estudio de una serie de casos (ID 2005)**

Romina Belén Gorrino Baquero<sup>1</sup>, Liliana Graciela Olvi<sup>2</sup>, María Luisa Paparella<sup>3</sup>.

1. Laboratorio de Patología Quirúrgica, Cátedra de Anatomía Patológica, FOUBA. 2. Consultorio de Patología Ortopédica Osteoarticular y de Tejidos Blandos, CABA. 3. Consultorio de Patología Bucal, CABA.

**22. 16:30 – 16:45: Estudio de sobrevida en 23 pacientes en Buenos Aires con rango de seguimiento de 11 a 141 meses (ID 2035)**

Julio Moreno<sup>1</sup>, Eduardo Uhrlant<sup>1</sup>, Alberto Attaguile<sup>1</sup>, Daniel Brandizzi<sup>1,2</sup>.

Grupo Interdisciplinario de Cáncer Oral - (GIdCO). 2. División Patología, Dpto. Radiobiología, Comisión Nacional de Energía Atómica.

**23. 16:45 – 17:00: Administración intraoral de dexametasona: valoración de la eficacia en la prevención de sintomatología inflamatoria postquirúrgica (ID 2047)**

Patricia Viviana Indkevitch<sup>1</sup>, Yanina Langellotti<sup>1,2</sup>, Federico Stolbizer<sup>2</sup>, Pablo Salgado<sup>3</sup>, Gonzalo Heredia<sup>1</sup>, Carlos Mendez<sup>4</sup>, Sebastián Puia<sup>1</sup>.

Cátedra de Cirugía I, FOUBA. 2. Cátedra de Cirugía II, FOUBA. 3. Cátedra de Microbiología, FOUBA. 4. Cátedra de Farmacología I, FOUBA.

**24. 17:00 – 17:15: Aspecto histológico de la inserción inferior del frenillo labial superior obtenido por frenectomía laser (ID 2080)**

Ana Clara Casadomecq<sup>1</sup>, Gisela Gualdoni<sup>2</sup>, Verónica Herminia Pavan<sup>3</sup>, Claudia Mohn<sup>1</sup>, María Agustina Saizar<sup>4</sup>, Romina Carmen De Lucca<sup>1</sup>.

Cátedra de Fisiología, FOUBA. 2. Cátedra de Histología y Embriología, FOUBA. 3. Cátedra de Odontología Integral Niños, FOUBA. 4. Cátedra de Odontología Preventiva y Comunitaria, FOUBA.

### TEJIDOS DENTALES Y PERIODONTALES

**25. 17:15 – 17:30: Estudio de los parámetros clínicos y polimorfismos de nucleótido simple asociados a la artritis reumatoidea y la enfermedad periodontal (ID 2034)**

Angélica Castro Escalante<sup>1</sup>, Pablo Salgado<sup>2</sup>, Ana M. Beron<sup>3</sup>, Gustavo Medina<sup>3</sup>, Marisol Delea<sup>4</sup>, Héctor Martín Cifuentes<sup>4</sup>, Carlos David Bruque<sup>4</sup>, Guillermo Corró<sup>4</sup>, Débora A. Gonzalez<sup>5</sup>, Teresita Ferrary<sup>6</sup>, Betina Orman<sup>1</sup>.

1. Cátedra de Farmacología, FOUBA. 2. Cátedra de Microbiología, FOUBA. 3. División Reumatología Hospital de Clínicas José de San Martín, UBA. 4. Unidad de Conocimiento Traslacional Hospitalaria Patagónica, Hospital de Alta Complejidad SAMIC, El Calafate, Santa Cruz, Argentina. 5. Cátedra de Biofísica y Bioestadística, FOUBA. 6. Cátedra de Medicina Interna, FOUBA.

**26. 17:30 – 17:45: Comparación de técnicas de aumento de tejidos periimplantarios. Evaluación volumétrica e histológica (ID 2125)**

Sabrina Laura Seni<sup>1</sup>, Macarena Pasart<sup>2</sup>, Daniela Anastasio<sup>2</sup>, Ana Clara Casadomecq<sup>3</sup>, Sandra Judith Renou<sup>4</sup>, Daniel Gustavo Olmedo<sup>4,5</sup>, María Marta Fernández<sup>2</sup>.

1. Cátedra de Cirugía Bucomaxilofacial I, FOUBA. 2. Cátedra de Rehabilitación Integral de Mediana y Alta Complejidad,

FOUBA. 3. Cátedra de Fisiología, FOUBA. 4. Cátedra de Anatomía Patológica, FOUBA. 5. CONICET.

## SALA CABRINI

### CARIOLOGÍA Y EPIDEMIOLOGÍA

**Coordinadores: PABLO SALGADO / CAROLINA DE LA CAL**

**Asistentes de sala: MICAELA ROSSI**

**27. 16:00 – 16:15: El módulo beta v.05 mejora la exactitud y precisión diagnóstica del articulador virtual: Estudio observacional analítico (ID 1976)**

Matías Medina<sup>1</sup>, Augusto Toma<sup>1,2</sup>, Carolina De la Cal<sup>1,2</sup>, Gabriel Sánchez<sup>1,2,3,4</sup>.

1. Cátedra de Biofísica y Bioestadística, FOUBA. 2. Instituto de Investigaciones en Salud Pública, FOUBA. 3. CONICET. 4. Escuela de Medicina y Odontología, Universidad de Niigata.

**28. 16:15 – 16:30: Estado nutricional y lesiones de caries temprana en infantes de barrios marginales (ID 1991)**

Mariana Preliasco<sup>1</sup>, Mario Ricardo Davison<sup>1</sup>, Alejo Davison<sup>1</sup>, María Marcela Chaile<sup>1</sup>, Sandra J Renou<sup>1,2</sup>, María de los Ángeles Laborde<sup>1</sup>, Betina Butto<sup>1</sup>, Noemí E Bordoni<sup>1,2,3</sup>.

1. Universidad Nacional de Rio Negro. 2.FOUBA. 3. IISAP/UBA.

**29. 16:30 – 16:45: Estabilidad de concentración de fluoruro en dentífricos comercializados para niños en Argentina (ID 2052)**

Lidia Audrey Rocha Valadas<sup>1</sup>, Ana Sorazabal<sup>1</sup>, Pablo Salgado<sup>1</sup>, Angela Argentieri<sup>1</sup>, Firmiano Chiara Santabaya Colares<sup>2</sup>, Aldo Squassi<sup>1</sup>.

1. FOUBA. 2. Universidade Federal do Ceará.

**30. 16:45 – 17:00: Salud bucal y calidad de vida en personas mayores bajo atención en un Hospital**

**Odontológico Universitario. Estudio preliminar (ID 2085)**

Silvana Ferrarini<sup>1</sup>, Celina Cornejo<sup>1,2,3</sup>, Stephany Huaccha Flores<sup>1,2</sup>, Jorge Aredes<sup>4</sup>, Pablo Salgado<sup>1,2,3</sup>, Aldo Squassi<sup>1,3,5</sup>.

1. Cátedra de Odontología Preventiva y Comunitaria, FOUBA. 2. Cátedra de Microbiología y Parasitología, FOUBA. 3. Instituto de Investigaciones en Salud Pública, FOUBA. 4. Cátedra de Odontología Integral del Adulto Mayor y Clínica de Prótesis Removible, FOUBA. 5. CONICET.

**31. 17:00 – 17:15: Lactancia materna y caries de primera infancia (ID 2090)**

Constanza Leyes<sup>1</sup>, Yesica Sosa<sup>2</sup>, Ana Gabriela Bordon Yameti<sup>2</sup>, Alejandra Villamarin<sup>1</sup>, Aldo Squassi<sup>1,2,3</sup>, Pablo Salgado<sup>1,2,4</sup>, Graciela Klemonska<sup>1,2</sup>.

1. Cátedra de Odontología Preventiva y Comunitaria. 2. Instituto de Investigaciones en Salud Pública. 3. CONICET. 4. Cátedra de Microbiología y Parasitología, FOUBA.

**32. 17:15 – 17:30: Frecuencia y severidad de caries en registros históricos de un observatorio de salud bucal (ID 2128)**

José Quevedo<sup>1</sup>, Teresa Serra Capó, Ana Laura Sorazabal<sup>1,2</sup>, Pablo Salgado<sup>1,2,3</sup>, Glenda Rossi<sup>1,2</sup>, Aldo Squassi<sup>1,2,4</sup>.

1. Cátedra de Odontología Preventiva y Comunitaria, FOUBA. 2. Instituto de Investigaciones en Salud Pública, UBA. 3. Cátedra de Microbiología y Parasitología, FOUBA. 4. CONICET.

## SALA ERAUSQUIN

### ENDODONCIA

**Coordinadores: GABRIELA MARTIN / EUGENIA CONSOLI LIZZI**

**Asistente de sala: TOMÁS RODRIGUEZ**

**33. 16:00 – 16:15: Efecto de fuerzas ortodóncicas sobre la pulpa de ratas hipercolesterolémicas. Estudio preliminar (ID 2158)**

Tomás Rodríguez<sup>1</sup>, Gisela Gualdoni<sup>1</sup>, Pablo Alejandro Rodríguez<sup>2</sup>, Osvaldo Zmener<sup>3</sup>.

1. Cátedra de Histología y Embriología, FOUBA. 2. Cátedra de Endodoncia, FOUBA. 3. Facultad de Ciencias Médicas, Universidad del Salvador.

**34. 16:15 – 16:30: Estudio de vacíos en la obturación del conducto con selladores biocerámico y resinoso (ID 2147)**

Gabriela Martín, Alicia Bonafé, Carla Pedraza, Yamila Zanoni, Cecilia Rourera, Soledad Salduna, Cecilia De Caso. Carrera de Especialización en Endodoncia, Universidad Católica de Córdoba

## 35. 16:30 – 16:45: Evaluación de tratamientos endodónticos realizado por estudiantes de grado:

### Adaptación y análisis de nuevos parámetros clínicos (ID 2036)

Belén Natalí Dexttler, Martina Rosón Fontán, Eugenia Pilar Consoli Lizzi, Romina Chaintiou Piorno, Ariel Félix Gualtieri, Pablo Alejandro Rodríguez.  
Cátedra de Endodoncia, FOUBA.

## 36. 16:45 – 17:00: Estudio experimental de la respuesta del tejido pulpar a fitocannabinoides (ID 2101)

Romina Chaintiou Piorno<sup>1</sup>, Mariela Lacave<sup>2</sup>, Pablo Alejandro Rodríguez<sup>1</sup>, Javier Fernández Solari<sup>3,4</sup>, Claudia Ester Mohn<sup>3,4</sup>.  
1. Cátedra de Endodoncia, FOUBA. 2. Cátedra de Histología y Embriología, FOUBA. 3. Cátedra de Fisiología, FOUBA. 4. CONICET.

## 37. 17:00 – 17:15: Influencia de los andamios sobre los resultados de los procedimientos de endodoncia regenerativa: metaanálisis (ID 1986)

Viviana Báez<sup>1</sup>, Ariel Félix Gualtieri<sup>2</sup>, Lorena Corcos<sup>1</sup>, María Pía Visconti<sup>1</sup>, Antonella Sciarrota<sup>1</sup>, Pablo Alejandro Rodríguez<sup>1</sup>.  
1. Cátedra de Endodoncia, FOUBA. 2. Cátedra de Odontología Legal, Forense e Historia de la Odontología, FOUBA.

## 38. 17:15 – 17:30: Periodontitis apical: relación entre el diagnóstico histopatológico y el tamaño de la lesión (ID 1961)

Li Ting Lee<sup>1</sup>, Luis Nicolas Alfie<sup>1</sup>, Eugenia Miklaszewski<sup>1</sup>, María Eugenia Santillan<sup>1</sup>, Ariel Félix Gualtieri<sup>2</sup>, Florencia Neput<sup>1</sup>, Pablo Alejandro Rodríguez<sup>1</sup>.  
1. Cátedra de Endodoncia, FOUBA. 2. Cátedra de Odontología Legal, Forense e Historia de la Odontología, FOUBA.

Sábado 16 de Noviembre | 10 a 12 hs.

# PRESENTACIONES ORALES

## SALA CARRANZA

### TEJIDO OSEO

Coordinadores: SEBASTIAN PUIA / DIEGO VAZQUEZ

Asistente de sala: MELINA SOSA DE LUCCA

## 39. 10:00 – 10:15: Impacto del consumo de una dieta con alto contenido de sal durante el crecimiento sobre la mandíbula y su asociación con marcadores del metabolismo óseo (ID 2097)

Melina Sosa De Lucca<sup>1</sup>, Leonardo Cacciagiu<sup>1,2</sup>, Clarisa Bozzini<sup>3</sup>, Ricardo Orzuza<sup>1</sup>, Esmeralda Lopez Quispe<sup>1</sup>, Vanesa Touceda<sup>1</sup>, Vanesa Elisa Macri<sup>1</sup>, Silvia Friedman<sup>1</sup>, Veronica Miksztowicz<sup>1,5</sup>.  
1. Cátedra de Bioquímica General y Bucal. Unidad de Investigación de Bioquímica Traslacional y Metabolismo (UBiTYM), FOUBA. 2. Hospital General de Agudos Teodoro Álvarez. Laboratorio Central. Sección Bioquímica. Buenos Aires. Argentina. 3. Cátedra de Fisiología, FOUBA. 4. Cátedra de Histología y Embriología, FOUBA. 5. CONICET.

## 40. 10:15 – 10:30: Quiste nasolabial: Estudio de una serie de casos (ID 1985)

Yamil Emilio Fasah<sup>1</sup>, Lucas F. Polti<sup>2</sup>, Federico Stolbizer<sup>1</sup>, María Luisa Paparella<sup>3</sup>.  
1. Cátedra de Cirugía II, FOUBA. 2. Laboratorio de Patología Quirúrgica, Cátedra de Anatomía Patológica, FOUBA. 3. Consultorio de Patología Bucal, CABA.

## 41. 10:30 – 10:45: Estudio de una serie de 24 casos de cementoblastoma (ID 2002)

Krissy María Villegas Padilla<sup>1</sup>, María Luisa Paparella<sup>2</sup>.  
1. Laboratorio de Patología Quirúrgica, Cátedra de Anatomía Patológica, FOUBA. 2. Consultorio de Patología Bucal, CABA.

## 42. 10:45 – 11:00: Incidencia de fracturas de la tabla ósea vestibular en exodoncias del sector anterior superior (ID 2004)

Oswaldo Calabrese, Luis Rodrigo Belotti, Julián Robles, Matías Mazzucco, Sacha Rossi Grosio, Lucía Gagey, Leandro Monqaut, Inés María Zorrilla.  
Cátedra A de Cirugía II Facultad de Odontología UNC

## 43. 11:00 – 11:15: Biotipo facial: Comparación de dos métodos de obtención mediante telerradiografía (ID 2117)



Ana Sánchez<sup>1</sup>, Ileana Bonzi<sup>1</sup>, Cintia Coiro<sup>1</sup>, Walter Cornes<sup>1</sup>, Fernando González Maglio<sup>1</sup>, Ana Soler<sup>1</sup>, Noelia Vitali<sup>1</sup>, Andrea Zabala<sup>1</sup>, Ailín Gómez<sup>1</sup>, Diego Vazquez<sup>1</sup>, Pablo Andrés Salgado<sup>2</sup>

1. Cátedra de Diagnóstico por imágenes, FOUBA. 2. Cátedras de Microbiología y Parasitología y de Odontología Preventiva y Comunitaria, FOUBA. Instituto de Investigaciones en Salud Pública. UBA.

**44. 11:15 – 11:30: Determinación del estadío de Carmen Nolla de primeros molares inferiores en radiografías panorámicas (ID 2123)**

Ileana Maria Amalia Bonzi<sup>1</sup>, Julieta Serafini<sup>1</sup>, Alejandra Antoniuk<sup>1</sup>, Luisina Mazza<sup>1</sup>, Stephanie Arario<sup>1</sup>, Patricia Indkevitch<sup>1</sup>, Victoria Quiroga<sup>1</sup>, Teresita Cifuentes<sup>1</sup>, María Luz Di Bartolo<sup>1</sup>, Florencia Arrigo<sup>1</sup>, Pablo Salgado<sup>2</sup>, Ailin Gomez<sup>1</sup>, María Julia Carosi<sup>1</sup>, Diego Jorge Vázquez<sup>1</sup>.

1. Cátedra de Diagnóstico por imágenes, FOUBA. 2. Cátedras de Microbiología y Parasitología y de Odontología Preventiva y Comunitaria, FOUBA. Instituto de Investigaciones en Salud Pública. UBA.

**45. 11:30 – 11:45: Estudio histológico cualitativo de un modelo experimental de osteonecrosis de los maxilares (ONAM) (ID 2148)**

Milton Tomas Nervegna, Carlos Willems, Carlos Andres Bárcenas, Mariela Lacave, Luciana Marina Sanchez. Cátedra de Histología y Embriología, FOUBA.

**46. 11:45 – 12:00: Cambios volumétricos en alvéolos postexodoncia con y sin preservación alveolar (ID 1971)**

Sabrina Seni<sup>1</sup>, Teresita Ferrary<sup>2</sup>, Angélica Castro Escalante<sup>3</sup>, Alejandra Antoniuk<sup>4</sup>, Pablo Salgado<sup>5</sup>, Sebastián Puia<sup>1</sup>, Betina Orman<sup>3</sup>.

1. Cátedras de Cirugía Bucocomaxilofacial I, FOUBA. 2. Cátedra de Medicina Interna, FOUBA. 3. Cátedra de Farmacología, FOUBA. 4. Cátedra de Diagnóstico por Imágenes, FOUBA. 5. Cátedra de Microbiología, FOUBA.

## SALA MILSTEIN

### MATERIALES DENTALES Y BIOMATERIALES

**Coordinadores: MARIANA PICCA/DAMIAN DEMOLINER**

**Asistente de sala: WILLIAM PATITUCCI**

**47. 10:00 – 10:15: Comportamiento de resinas fluidas en obturaciones oclusales, sometidas a ciclaje térmico: evaluación in vitro de microfiltración marginal mediante microscopia óptica y confocal de barrido láser (C.S.L.M) (ID 1970)**

Nicolás Peralta de Elías<sup>1</sup>, Martín A. Farah<sup>2</sup>, Sebastián Fontana<sup>3</sup>.

Departamento de Rehabilitación Bucal, Cátedra de Operatoria II "B", Facultad de Odontología, Universidad Nacional de Córdoba (UNC). 2. Departamento de Rehabilitación Bucal. Cátedra de Materiales Dentales. Facultad de Odontología, UNC. 3. Departamento de Ciencias Básicas. Cátedra de Histología y Embriología "A", Facultad de Odontología, UNC.

**48. 10:15 – 10:30: Uso de resinas con refuerzo de fibras para evitar la propagación de fisuras en restauraciones complejas de clase II (ID 1980)**

Mercedes Juárez Peñalva<sup>1</sup>, Josefina Taborda<sup>1</sup>, Ignacio Mazzola<sup>2</sup>, Gustavo Fabián Molina<sup>2</sup>.

Cátedra de Prostodoncia I "A", Facultad de Odontología, Universidad Nacional de Córdoba. 2. Cátedra de Materiales Dentales, Facultad de Odontología, Universidad Nacional de Córdoba.

**49. 10:30 – 10:45: Microdureza Vickers en piezas dentarias infiltradas in vitro (ID 2016)**

María Alejandra Lei<sup>1</sup>, Ana Laura Sorazabal<sup>2</sup>, Ricardo Luis Macchi<sup>1</sup>, Mariana Picca<sup>1</sup>.

Cátedra de Materiales Dentales, FOUBA. 2. Cátedra de Odontología Preventiva y Comunitaria, FOUBA.

**50. 10:45 – 11:00: Estabilidad de color en piezas dentarias tratadas con la técnica de infiltración de resinas (ID 2018)**

María Alejandra Lei<sup>1</sup>, Ana Laura Sorazabal<sup>2</sup>, Ricardo Luis Macchi<sup>1</sup>, Mariana Picca<sup>1</sup>.

Cátedra de Materiales Dentales, FOUBA. 2. Cátedra de Odontología Preventiva y Comunitaria, FOUBA.

**51. 11:00 – 11:15: Evaluación de microdureza de resina convencional vs impresa para restauraciones indirectas (ID 2020)**

Cintia Alejandra Martínez<sup>1</sup>, Analía Garrofé<sup>2</sup>, Adrián Alfredo Ochoa<sup>1</sup>, Pablo Andrés Salgado<sup>3</sup>, Alejandro Pineda Rodríguez<sup>1</sup>, Damián Luis De Moliner<sup>1</sup>, Jorge Esteban Aredes<sup>1</sup>.

Cátedra de Odontología Integral del Adulto Mayor y Clínica de Prótesis Removible, FOUBA. 2. Cátedra de Materiales Dentales, FOUBA. 3. Cátedra de Microbiología y Parasitología, Cátedra de Odontología Preventiva y Comunitaria FOUBA, Instituto de Investigaciones en Salud Pública UBA.



## SALA PÉREZ ESQUIVEL

### ODONTOPEDIATRIA Y ORTODONCIA

Coordinadores: VERONICA PAVAN/JULIANA RODRIGUEZ

Asistente de sala: GUIDO REBOREDO

**52. 10:00 – 10:15: Movimiento dentario ortodóncico en condiciones de hipomineralización (ID 2039)**

Guido Lautaro Reborredo, William Eduardo Patitucci, Juliana Rodríguez.

Cátedra de Histología y Embriología, FOUBA.

**53. 10:15 – 10:30: Estudio comparativo de los efectos de la exposición pre y posnatal de amoxicilina sobre la erupción dentaria (ED) (ID 2094)**

Merlina López, Carola Bettina Bozal, Luciana Marina Sanchez.

Cátedra de Histología y Embriología, FOUBA.

**54. 10:30 – 10:45: Cronología y secuencia de erupción para la dentición permanente (ID 1987)**

Marina Andrea Toscano, Jimena Alejandra Anchava, Silvina Gabriela Cortese, Ana María Biondi.

Cátedra de Odontología Integral Niños, FOUBA.

**55. 10:45 – 11:00: Desplazamiento de caninos por quistes radicales asociados a patología pulpar de piezas primarias posteriores (ID 2013)**

Melisa Ienco, Manuela Guanzini, Betania Cecenarro, Verónica H. Pavan.

Cátedra de Odontología Integral Niños, FOUBA

**56. 11:00 – 11:15: Impacto de la exposición a dexametasona prenatal sobre la erupción y la formación dentaria (ID 2093)**

Rubén Manuel Piña Lugo, Carola Bettina Bozal, Luciana Marina Sanchez.

Cátedra de Histología y Embriología, FOUBA.

## SALA CABRINI

### CARIOLOGIA Y EPIDEMIOLOGIA

Coordinadores: CARLETO KORBER / ANA MORASSO

Asistente de sala: MICAELA ROSSI

**57. 10:00 – 10:15: Variabilidad genética del gen spa-P de Streptococcus mutans y experiencia de caries (ID 1939)**

Fabiana Pía Marina Carletto Körber<sup>1</sup>, María Soledad Acosta Jofré<sup>2</sup>, Noelia Soledad Vera<sup>2</sup>, Juan Enrique Martínez<sup>3</sup>, Paula Fidelio<sup>3</sup>, María Graciela Jiménez<sup>3</sup>, Lila Susana Cornejo<sup>4</sup>, María Rosa Mourelle Martínez<sup>5</sup>, Raúl Enrique González Ittig<sup>2,6</sup>.

1. Facultad de Odontología. Universidad Nacional de Córdoba (UNC). 2. Facultad de Ciencias Exactas, Físicas y Naturales. Cátedra de Genética de Poblaciones y Evolución. UNC. 3. Facultad de Ciencias Médicas. UNC. 4. Equipo Interdisciplinario de Investigación en Promoción Contextualizada PROCON. UNC. 5. Facultad de Odontología. Universidad Complutense de Madrid. 6. Instituto de Diversidad y Ecología Animal CONICET.

**58. 10:15 – 10:30: Calidad de vida y salud bucal en adultos institucionalizados del sistema penitenciario de Buenos Aires (ID 2096)**

Ana María Morasso<sup>1</sup>, María Lujan Perez Meyer<sup>2</sup>, Luciana D'Eramo<sup>3,4</sup>, Damian Nuñez<sup>5</sup>, Noemí Bordoni<sup>3,4</sup>, Aldo Squassi<sup>3,4,6</sup>.

1. Doctorado en Ciencias de la Administración, Facultad de Ciencias Económicas, Universidad Nacional de La Plata (UNLP). 2. Escuela de Desarrollo Social y Humano, Universidad Nacional San Antonio de Areco (UNSAdeA). 3. Cátedra de Odontología Preventiva y Comunitaria, FOUBA. 4. Instituto de Investigaciones en Salud Pública, UBA. 5. Especialidad en Odontología Legal, Facultad de Medicina, Universidad del Salvador (USAL). 6. CONICET.

**59. 10:30 – 10:45: Efectividad de un programa preventivo escolar en la Ciudad de Buenos Aires. Estudio preliminar (ID 2135)**

Teresa Serra Capó<sup>1</sup>, Celina Cornejo<sup>1,2,3</sup>, Ana Laura Sorazabal<sup>1,3</sup>, José Quevedo<sup>1</sup>, Francisco Somoza<sup>4</sup>, Pablo Salgado<sup>1,2,3</sup>, Glenda Rossi<sup>1,3</sup>, Aldo Squassi<sup>1,3,5</sup>.

1. Cátedra de Odontología Preventiva y Comunitaria, FOUBA. 2. Cátedra de Microbiología y Parasitología, FOUBA. 3. Instituto de Investigaciones en Salud Pública, UBA. 4. Cátedra de Endodoncia, FOUBA. 5. CONICET.

**60. 10:45 – 11:00: Prevalencia de Caries de Infancia Temprana en la Ciudad Autónoma de Buenos Aires (ID 2139)**

Celina Cornejo<sup>1,2,3</sup>, Glenda Rossi<sup>1,3</sup>, Rocío Lazzati<sup>1,3</sup>, Constanza Leyes<sup>1</sup>, Gabriela Alvaredo<sup>1</sup>, Graciela Klemonsks<sup>1,3</sup>, Pablo Salgado<sup>1,2,3</sup>, Aldo Squassi<sup>1,3,4</sup>.

1. Cátedra de Odontología Preventiva y Comunitaria, FOUBA. 2. Cátedra de Microbiología y Parasitología, FOUBA. 3. Instituto de Investigaciones en Salud Pública, UBA. 4. CONICET.

**61. 11:00 – 11:15: Frecuencia y distribución de lesiones iniciales de caries en pacientes que asisten a un hospital odontológico universitario (ID 2140)**



Rocío Lazzati<sup>1,3</sup>, Ana Laura Sorazabal<sup>1,3</sup>, Pablo Salgado<sup>1,2,3</sup>, Aldo Squassi<sup>1,3,4</sup>.

1. Cátedra de Odontología Preventiva y Comunitaria, FOUBA. 2. Cátedra de Microbiología y Parasitología, FOUBA. 3. Instituto de Investigaciones en Salud Pública, UBA. 4. CONICET.

**62. 11:15 – 11:30: Necesidad de tratamientos endodónticos y estado de piezas endodónticamente tratadas en adultos que asisten a un servicio de urgencias odontológicas (ID 2145)**

Myriam Boldrini<sup>1</sup>, Alfio Triverio<sup>1</sup>, Cecilia Kumani<sup>1</sup>, Daniela Bessone<sup>1</sup>, Ignacio Pari<sup>1</sup>, Aldo Squassi<sup>2,3,5</sup>, Pablo Salgado<sup>2,3,5</sup>.

1. Cátedra de Preclínica de Odontología Restauradora, FOUBA. 2. Cátedra de Odontología Preventiva y Comunitaria, FOUBA. 3. Instituto de Investigaciones en Salud Pública, UBA. 4. CONICET. 5. Cátedra de Microbiología y Parasitología, FOUBA.

## SALA ERAUSQUIN

### MICROBIOLOGIA E INMUNOLOGIA

Coordinadores: SANDRA PEREZ/LAURA GLIOSCA

Asistentes de sala: FLORENCIA FINZI

**63. 10:00 – 10:15: Variantes genómicas relacionadas a resistencia antifúngica en Candida dubliniensis aisladas de biofilm subgingival (ID 2070)**

Verónica Ángeles Dubois<sup>1</sup>, Susana Liliana Molgatini<sup>1</sup>, Pablo Andrés Salgado<sup>1,2</sup>, Laura Alejandra Gliosca<sup>1</sup>. 1. Cátedra de Microbiología y Parasitología, FOUBA. 2. Cátedra de Odontología Preventiva y Comunitaria, FOUBA.

**64. 10:15 – 10:30: Descontaminación de limas de endodoncia: valoración de la carga microbiana por dos métodos de lavado (ID 1966)**

María Gabriela Scatena<sup>1</sup>, Javier Andrés Socolovsky<sup>2</sup>, Florencia Martínez<sup>2</sup>, Silvina Ruth Barembaum<sup>2</sup>.

1. Cátedras "B" de Química Biológica. FO-UNC. 2. Cátedras "B" de Introducción a la Física y Química Biológicas. FO-UNC.

**65. 10:30 – 10:45: Eficacia del uso de microondas para la descontaminación de cepillos de dientes: Evaluación microbiológica (ID 1967)**

María Gabriela Scatena<sup>1</sup>, Ariadna María Lobo<sup>2</sup>, Javier Andrés Socolovsky<sup>2</sup>, Florencia Martínez<sup>2</sup>, Silvina Ruth Barembaum<sup>2</sup>.

1. Cátedras "B" de Química Biológica. FO-UNC. 2. Cátedras "B" de Introducción a la Física y Química Biológicas. FO-UNC

**66. 10:45 – 11:00: Análisis de 10 años en Controles Biológicos para la validación del proceso de esterilización en la Cátedra de Microbiología y Parasitología FOUBA (ID 2091)**

María Candela Cires Gonzalez<sup>1</sup>, María Celia Cutrera<sup>1</sup>, Daiana Giselle Olivieri<sup>1</sup>, Nancy Patricia Palacios<sup>1</sup>, Sandra Beatriz Perez<sup>1</sup>, Pablo Andrés Salgado<sup>1,2,3</sup>.

1. Cátedra de Microbiología, FOUBA. 2. Cátedra de Odontología Preventiva y Comunitaria, FOUBA. 3. Instituto de Investigaciones en Salud Pública, UBA.

**67. 11:00 – 11:15: Aislamientos de Candida spp en muestras salivales de personas mayores y su relación con variables médico/odontológicas (ID 2110)**

María Celia Cutrera<sup>1,2</sup>, Verónica Dubois<sup>1,2</sup>, Celina Cornejo<sup>1,2,3</sup>, Silvana Ferrarini<sup>3</sup>, Stephany Huacchaflores<sup>1,3</sup>, Jorge Aredes<sup>4</sup>, Aldo Squassi<sup>2,3,5</sup>, Laura Gliosca<sup>1,2</sup>, Pablo Salgado<sup>1,2,3</sup>.

1. Cátedra de Microbiología y Parasitología, FOUBA. 2. Instituto de Investigaciones en Salud Pública, UBA. 3. Cátedra de Odontología Preventiva y Comunitaria, FOUBA. 4. Cátedra de Odontología Integral del Adulto Mayor y Clínica de Prótesis Removible, FOUBA. 5. CONICET.

Sábado 16 de Noviembre | 14 a 17 hs.

## POSTERS ELECTRÓNICOS

### SALA HOUSSAY

#### ENDODONCIA/MUCOSA BUCAL

Coordinadores: ROMINA LOIACONO/ROMINA CHAINTIOU PIORNO

Asistente de sala: WILLIAM PATITUCCI

#### ENDODONCIA

**68. 14:30 – 14:40: Uso de dos sistemas de activación para remoción del barro dentinario. Estudio con microscopio electrónico de barrido (ID 2060)**

Romina Loiacono<sup>1</sup>, Alejandra Migueles<sup>1</sup>, Pablo Pérez Rodríguez<sup>1</sup>, Romina Barbiero<sup>1</sup>, Ariel Gualtieri<sup>2</sup>, Pablo Rodríguez<sup>1</sup>.

1. Cátedra de Endodoncia, FOUBA. 2. Cátedra de Odontología Legal, forense e historia de la odontología, FOUBA.

**69. 14:40 – 14:50: Investigación experimental in vivo de materiales para terapia de pulpa vital (ID**



**2103)**

Romina Chaintiou Piorno<sup>1</sup>, Mariela Lacave<sup>2</sup>, Romina De Lucca<sup>2</sup>, Pablo Alejandro Rodríguez<sup>1</sup>, Javier Fernández Solari<sup>3,4</sup>, Claudia Ester Mohn<sup>3,4</sup>.

1. Cátedra de Endodoncia, FOUBA. 2. Cátedra de Histología y Embriología, FOUBA. 3. Cátedra de Fisiología, FOUBA. 4. CONICET.

**70. 14:50 – 15:00: Evaluación tomográfica de la morfología interna de premolares inferiores (ID 2015)**

Alicia Beatriz Labarta<sup>1</sup>, Ana Guillen Zambrano<sup>1</sup>, Daniela Barbara Flores<sup>1</sup>, Sol Chihadeh<sup>1</sup>, Sofía Franchetti<sup>1</sup>, Ariel Félix Gualtieri<sup>2</sup>, Pablo Alejandro Rodríguez<sup>1</sup>.

1. Cátedra de Endodoncia, FOUBA. 2. Cátedra de Odontología Legal, Forense e Historia de la Odontología, FOUBA.

**71. 15:00 – 15:10: Longitud de trabajo en molares inferiores, estudio retrospectivo transversal, primera parte (ID 2059)**

María Florencia García, Francisco Blotta, Pablo Spoleti.  
Universidad Nacional de Rosario

**72. 15:10 – 15:20: Evaluación in vivo de la respuesta tisular ante materiales de uso endodónticos (ID 2107)**

Alejandra Mabel Migueles<sup>1</sup>, Pablo Alejandro Rodríguez<sup>1</sup>, Sandra Judith Renou<sup>2</sup>.

1. Cátedra de Endodoncia, FOUBA. 2. Cátedra de Anatomía Patológica, FOUBA.

**73. 15:20 – 15:30: Exploración del conducto en c mediante tomografía computada de haz cónico (ID 2108)**

Lorena Elizabeth Benitez<sup>1</sup>, Jacqueline Paitan<sup>1</sup>, Florencia García, Gilda Julieta Serafini<sup>1</sup>, Luciana Figueroa<sup>1</sup>, Roxana Molachino<sup>1</sup>, Matías De Luca<sup>1</sup>, Martin Horacio Pujol<sup>1</sup>, Victoria Azcona<sup>1</sup>, Diego Jorge Vazquez<sup>1</sup>, Pablo Salgado<sup>2</sup>.

1. Cátedra de Diagnóstico por Imágenes, FOUBA. 2. Cátedra de Microbiología y Parasitología, Cátedra de Odontología Preventiva y Comunitaria FOUBA, Instituto de Investigaciones en Salud Publica UBA.

## MUCOSA BUCAL

**74. 14:00 – 14:10: Aceite de coco virgen en el tratamiento de ulceraciones traumáticas provocadas por aparatos de ortodoncia (ID 2056)**

Viviana Elizabeth Karaben, María Eugenia Pomarada, Lelia Inés Ramirez, Ana Eloisa Rea.  
Cátedra de Farmacología, Facultad de Odontología de la UNNE.

**75. 14:10 – 14:20: Presencia de *Cándida spp*, *Escherichia coli* y *Staphylococcus spp* en hilos de sutura de seda y Nylon en mucosa bucal: estudio preliminar (ID 2073)**

Agustina Ceballos Schiavoni<sup>1</sup>, Ricardo Caciva<sup>2</sup>, Graciela del Valle Castillo<sup>1</sup>, María Gabriela Scatena<sup>3</sup>, Javier Andrés Socolovsky<sup>1</sup>, Fernando D Garcia<sup>4</sup>, Silvina Ruth Barembaum<sup>1</sup>.

1. Cátedra A de Introducción a la Física y Química Biológicas. 2. Cátedra A de Estomatología. 3. Cátedra B Química Biológica. 4. Cátedra B de Cirugía II. Universidad Nacional de Córdoba.

**76. 14:20 – 14:30: Hiperplasia y Displasia Epitelial en Mucosa Afectada por *Cándida* (ID 2142)**

Karina Mayocchi<sup>1</sup>, Agustina Arcuri<sup>1</sup>, María Jose Levalle<sup>1</sup>, Marcelo Arcuri<sup>1</sup>, Rubén Martín Mayocchi<sup>1</sup>, María Cecilia Tranchida<sup>2</sup>, Natalia Ferreri<sup>2</sup>, María Belén Serafino<sup>1</sup>, Karina Valeria Sirimarco<sup>1</sup>, Merlina Dominguez Migliacco<sup>1</sup>, Romina Canzoneri<sup>1</sup>, Susana Cozzi<sup>3</sup>.

1. CRIT (Comité Regional de Investigación de Tumores) FOLP. 2. Instituto Spegazzini. 3. Htal Rossi La Plata

## SALA MILSTEIN

### MATERIALES DENTALES Y BIOMATERIALES/ ATM-MUSCULOS MASTICADORES Y DOLOR OROFACIAL

Coordinadores: CARLOS ROZAS/GABRIEL SANCHEZ

Asistente de sala: MA. EUGENIA MIYASHIRO

### MATERIALES DENTALES Y BIOMATERIALES

**77. 14:00 – 14:10: Cambios de color y adhesión de Ionómero Vítreo en dentina cariada tratada con Nanoclusters de Plata en Ácido Polimetacrílico (ID 1968)**

María Belen Cabalen, Gustavo Fabian Molina.

Facultad de Ciencias de la Salud, Universidad Católica de Córdoba.

**78. 14:10 – 14:20: Espesor de desadaptación de resinas bulk fill aplicadas con diferentes enfoques adhesivos en cavidades de clase 1 simple (ID 1979)**

Carlos Alfredo Rozas, Germán Mirotti, Mónica Paola Lutri, María Elin Kraemer, Natalia Monserrat,

María Celeste Piconi, Alicia Lucía Caballero, Mario Sezin.

Cátedra de Operatoria I "A". Departamento de Rehabilitación Oral. Facultad de Odontología. UNC.

**79. 14:20 – 14:30: Control de calidad histológico de estructuras tisulares a base de colágeno y tratadas con genipin para su uso en ingeniería tisular (ID 2014)**



Mario Aníbal Rodríguez<sup>1</sup>, Jesús Chato Astraín<sup>2</sup>, Miriam Pareja-Malagón<sup>2</sup>, Belén Ferrer<sup>1</sup>, Lucas Sorbera Ferrer<sup>1</sup>, Fernando Campos<sup>2</sup>, Miguel Alaminos<sup>2</sup>, Victor Carriel<sup>2</sup>, Ricardo Fernandez-Valadez<sup>3</sup>, María del Carmen Sanchez-Quevedo<sup>2</sup>, Ismael Ángel Rodríguez<sup>1,2</sup>.

1. Cátedra de Histología e Ingeniería Tisular, Facultad de Odontología, Universidad Nacional de Córdoba. 2. Grupo Ingeniería Tisular, Departamento de Histología, Universidad de Granada, España. 3. División de Cirugía Pediátrica, Hospital Universitario Virgen de las Nieves, Granada, España.

**80. 14:30 – 14:40: Análisis histológico de biocompatibilidad y biodegradabilidad de un nuevo biomaterial a base de ácido hialurónico. Estudio "in vivo" en ratas (ID 2017)**

Rosario Martínez<sup>1</sup>, Santiago Daniel Palma<sup>1,2</sup>, Nahuel Camacho<sup>2</sup>, Belén Ferrer<sup>1</sup>, Lucas Sorbera<sup>1</sup>, Lucas Ontivero<sup>1</sup>, Guadalupe Dorado<sup>1</sup>, Ismael Angel Rodríguez<sup>1</sup>.

1. Cátedra de Histología y Embriología "B", Facultad de Odontología. Universidad Nacional de Córdoba. 2. UNITEFA, CONICET.

**81. 14:40 – 14:50: Evaluación histológica de biodegradabilidad de una membrana de fascia lata liofilizada en un modelo experimental in-vivo de ratas Wistar (ID 2019)**

Tomas Magaquian<sup>1</sup>, Raquel Vivian Gallará<sup>2</sup>, Mario Anibal Rodríguez<sup>1</sup>, Gerardo Sanchez<sup>1</sup>, Cecilia Sobrero<sup>3</sup>, Carolina Lacerri<sup>3</sup>, Ismael Angel Rodríguez<sup>1</sup>.

1. Cátedra de Histología, Embriología e Ingeniería Tisular "B", Facultad de Odontología, Universidad Nacional de Córdoba (UNC). 2. Cátedra de Química Biológica "A", Facultad de Odontología, UNC. 3. Banco de Tejidos, Laboratorio de Hemoderivados, UNC.

## ATM, MUSCULOS MASTICADORES Y DOLOR OROFACIAL

**82. 14:50 – 15:00: Relación entre la ecografía de la articulación temporomandibular (atm) derecha y la presencia de anticuerpos antiproteína citrulinada (ACPA) (ID 1974)**

Karen Rhys, Carla Gobbi, Eduardo Albiero, Paula Alba.  
Universidad Nacional de Córdoba.

**83. 15:00 – 15:10: Concordancia entre dispositivos de medición mandibular (ID 1984)**

María Belén Grifo<sup>1</sup>, Gabriel Antonio Sánchez<sup>2</sup>, Mariano Axel Ramón Amer<sup>1</sup>.

1. Cátedra de Anatomía General y Estomatológica, FOUBA. 2. Cátedra de Biofísica y Bioestadística, FOUBA.

**84. 15:10 – 15:20: Estudio clínico de la morfometría del tercer molar en relación a parámetros cefalométricos (ID 2023)**

Pablo Walter Trinks<sup>1</sup>, Gabriel Antonio Sánchez<sup>2,3,4</sup>, Federico Stolbizer<sup>5</sup>.

1. Cátedra de Anatomía, FOUBA. 2. IISAP, FOUBA. 3. CONICET. 4. Cátedra de Biofísica, FOUBA. 5. Cátedra de Cirugía II, FOUBA.

**85. 15:20 – 15:30: Efecto del ácido hialurónico sobre la SERCA1a, 2a y 2b en músculo masetero (ID 2038)**

Augusto Francisco Toma<sup>1,2</sup>, Santiago Corti<sup>1</sup>, Matias Marcelo Medina<sup>1</sup>, Olga Antonenko<sup>1</sup>, Gabriel Antonio Sánchez<sup>1,2,3</sup>.

1. Cátedra de Biofísica y Bioestadística, FOUBA. 2. Instituto de Investigaciones en Salud Pública, FOUBA. 3. CONICET.

**86. 15:30 – 15:40: Estudio retrospectivo de pacientes con luxación discal anterior sin recaptura (ID 2062)**

Daniel Anibal Rodríguez<sup>1</sup>, César Ángel Ossola<sup>1</sup>, Carolina de la Cal<sup>2</sup>.

1. Cátedra de Fisiología, FOUBA. 2. Cátedra de Biofísica y Bioestadística, FOUBA.

**87. 15:40 – 15:50: Estudio de las neuronas del ganglio trigeminal luego de una axotomía pulpar en ratas (ID 2133)**

María Eugenia Miyashiro<sup>1</sup>, Yamila Boix<sup>1</sup>, Yeremi Torres<sup>1</sup>, Alejandra Paganelli<sup>2</sup>, Hugo Rios<sup>2</sup>, Mariela Canzobre<sup>1,2</sup>.

1. Cátedra de Histología y Embriología, FOUBA. 2. Instituto de Biología Celular y Neurociencias "Prof. E. De Robertis", Facultad de Medicina, UBA

## SALA PÉREZ ESQUIVEL

### ODONTOPEDIATRIA Y ORTODONCIA / GLANDULAS SALIVALES

Coordinadores: ROLANDO JUAREZ/GISELA GUALDONI

Asistente de sala: FERNANDA SARLI GALVEZ

### ODONTOPEDIATRIA Y ORTODONCIA

**88. 14:00 – 14:10: Alteraciones de la erupción dentaria en diferentes condiciones óseas metabólicas (ID 2077)**

Fernanda Paz Sarli Gálvez, Guido Reboredo, Luciana Marina Sanchez, Gisela Soledad Gualdoni.  
Cátedra de Histología y Embriología, FOUBA.

**89. 14:10 – 14:20: Impacto de la recuperación nutricional sobre el desarrollo mandibular y la erupción dentaria durante el crecimiento (ID 2079)**

Sebastián Biagini<sup>1</sup>, Carola Bettina Bozal<sup>1</sup>, Luciana Marina Sanchez<sup>1</sup>, Magalí Zeni Coronel<sup>2</sup>, F. Klarreich Schwartz<sup>2</sup>, L. Ace-

val<sup>2</sup>, M. L. Pita Martin de Portela<sup>2</sup>, Susana Zeni<sup>2</sup>, Mariana Seijo<sup>2</sup>.

1. Cátedra de Histología y Embriología, FOUBA. 2. Laboratorio de Osteopatías Metabólicas, INIGEM/CONICET/UBA.

**90. 14:20 – 14:30: Estudio microtomográfico del tejido óseo interradicular en respuesta al movimiento ortodóncico acelerado con terapia de microosteoperforaciones (ID 2074)**

Victoria Fernandez<sup>1</sup>, Carlos Ezequiel Ríos<sup>2</sup>, María Lorena Cabirta<sup>3</sup>, Juan Carlos Elverdin<sup>2</sup>, Romina Carmen De Lucca<sup>1</sup>, Florencia Lujan Nuñez<sup>2</sup>.

1. Cátedra de Histología y Embriología, FOUBA. 2. Cátedra de Fisiología, FOUBA. 3. Cátedra de Endodoncia, FOUBA.

**91. 14:30 – 14:40: Prevalencia de la pérdida prematura de piezas temporales en pacientes que asistieron al centro universitario en los años 2021, 2022 y 2023 (ID 2046)**

Karen Vanesa Rhys, Micaela Casali.

Universidad Adventista del Plata.

**92. 14:40 – 14:50: Nivel de conocimiento sobre la importancia del primer molar permanente en una localidad de Entre Ríos (ID 2045)**

Karen Vanesa Rhys, Gabriela Sacalxot.

Universidad Adventista del Plata.

**93. 14:50 – 15:00: Análisis de la resistencia adhesiva de brackets cementados con dos tipos de resinas empleando diferentes tiempos e intensidad de fotoactivación (ID 2027)**

Edgardo Daniel Acevedo<sup>1</sup>, Juan José Christiani<sup>2</sup>, González Silvia Raquel<sup>1</sup>.

1. Cátedra de Ortodoncia, Facultad de Odontología, Universidad Nacional del Nordeste. 2. Cátedra Preclínica de Prótesis, Facultad de Odontología, Universidad Nacional del Nordeste.

**94. 15:00 – 15:10: Análisis de la calcificación intraconducto en Endodoncia Regenerativa (ID 2092)**

Ingrid Clarisa Guitelman, Karina Lorena Martínez, Silvia Alvarez, Marcela Adriana Moya.

Cátedra Odontología Integral Niños, FOUBA.

**95. 15:10 – 15:20: Informe de los resultados a 6 años aplicando procedimientos Endodónticos Regenerativos (ID 2109)**

Karina Lorena Martínez, Marcela Adriana Moya, Sheila Acosta, Ingrid Clarisa Guitelman.

Cátedra Odontología Integral Niños.

**96. 15:20 – 15:30: Disyunción rápida palatina (MARPE): evaluación del aumento de diámetro transversal nasal y maxilar. Estudio piloto (ID 2130)**

Julián Rosero Mora, Danieska Karolina Fernandez, Amanda Guzman, Gabriela Vanessa Silva, Laura Marta Labate.

Universidad Abierta Interamericana.

**97. 15:30 – 15:40: Características anatomofuncionales de frenillos linguales en niños de 1 a 22 meses (ID 2138)**

Verónica Pavan<sup>1</sup>, Ana Clara Casadoumeq<sup>2</sup>, Mariana Ríos<sup>1</sup>, Jessica Belén Bermeo Domínguez<sup>1</sup>, Soledad Daniela Bojaminsky Fontana<sup>1</sup>.

1. Cátedra Odontología Integral Niños, FOUBA. 2. Cátedra de Fisiología, FOUBA.

## GLANDULAS SALIVALES

**98. 15:40 – 15:50: Melatonina previene el daño oxidativo provocado por Ciclofosfamida en glándula parótida de ratas (ID 1935)**

Fernando Martín Wietz<sup>1</sup>, Evelin Bachmeier<sup>1</sup>, Claudio Gastón Dubersarsky<sup>1</sup>, Daniela Josefina Porta<sup>1,2</sup>, María Angélica Rivoira<sup>1,2,3</sup>, Marcelo Adrián Mazzeo<sup>1</sup>.

1. Cátedra de Fisiología, Facultad de Odontología, Universidad Nacional de Córdoba. 2. INICSA- CONICET-UNC. 3. Cátedra de Bioquímica y Biología Molecular, Facultad de Ciencias Médicas.

**99. 15:50 – 16:00: Patrón diurno de biomarcadores salivales en relación con el sueño y la ingesta de Ilex paraguariensis en adultos jóvenes (ID 1948)**

Rolando Pablo Alejandro Juárez, Adriana Marcela Miño, Jorge Orlando Ponce, Armando Cesar Celia.

Laboratorio de Investigaciones Científicas FOUNNE.

## SALA CABRINI

### MICROBIOLOGIA E INMUNOLOGIA Y CARIOLOGIA

Coordinadores: PABLO SALGADO/EUGENIA CONSOLI LIZZI

Asistente de sala: MICAELA ROSSI

**100. RESUMEN NO PRESENTADO 14:00 – 14:10: Adhesión de dos tipos de bacterias sobre casquetes de níquel-cromo in vitro (ID 1998)**

Melany Ore Zuasnabar, Sergio Daniel Lazo, Teresa Adela Butler, Ezequiel Escudero Giacchella, Marianela Soledad Spina.

Laboratorio de Microbiología y Prótesis, FOUNLP.



**101. 14:10 – 14:20: Evaluación del estado de restauraciones según criterio clínico de Ryge en pacientes de Odontología Preventiva FOUNT (ID 2031)**

Roxana López<sup>1</sup>, Carolina Chaya<sup>1</sup>, Víctor Castillo<sup>1</sup>, María Alejandra Granado<sup>1</sup>, Luis Sotomayor<sup>1</sup>, Jorge Guerrero<sup>2</sup>, [Sandra Iturre](#)<sup>1</sup>.

1. Cátedra de Odontología Preventiva, FOUNT. 2. Cátedra de Anatomía General y Dentaria, FOUNT.

**102. 14:20 – 14:30: Factores socio-ambientales-genéticos y el desarrollo de lesiones cariosas en pacientes adultos: resultados preliminares (ID 2040)**

María Luz Carnino Ferreccio<sup>1</sup>, Julieta Aldana Don<sup>1</sup>, Ada Victoria Gutvay<sup>1</sup>, Mónica Graciela Bazaez<sup>1</sup>, Rubén Omar Magliano<sup>1</sup>, Mabel Brunotto<sup>2</sup>, [Federico José Busleiman](#)<sup>1</sup>.

1. Cátedra de Operatoria II B, FO, UNC. 2. Cátedra de Biología Celular, FO. UNC.

**103. 14:30 – 14:40: Desempeño de la atención primaria en centros de salud bucal: relación con la formación y experiencia de profesionales en Córdoba (ID 2051)**

[Agustín Fabián Ponce](#)<sup>1,2,3</sup>, Silvina Berra<sup>2,3</sup>, Marcela Bella<sup>1</sup>.

1. Departamento de Odontología Preventiva y Comunitaria I de la Facultad de Odontología. Universidad Nacional de Córdoba (UNC). 2. Centro de Investigaciones y Estudios sobre Cultura y Sociedad. Facultad de Ciencias Sociales. CONICET. 3. Escuela de Salud Pública. Facultad de Ciencias Médicas. UNC.

**104. 14:40 – 14:50: Empleo de materiales de estudio y rendimiento académico en estudiantes universitarios (ID 2058)**

Roxana Lía Basal, Melina Priscila Bander, Laura Silvia Pilone, María Amelia Paleo, Viviana Carmen Serrano, Silvina Suarez, Sabrina Degaetano, Pablo Dorati, Mauricio Saporitti.

Facultad de Odontología, UNLP.

**105. 14:50 – 15:00: Estado bucal de pacientes con trastornos de conducta alimentaria. Estudio Preliminar (ID 2065)**

[Sandra Iturre](#)<sup>1</sup>, María Marta Uasuf<sup>2</sup>, Mabel Alonso<sup>2</sup>, Alejandra Caram<sup>2</sup>.

1. Cátedra de Odontología Preventiva, FOUNT. 2. CEPTA - SIPROSA Tucumán.

**106. 15:00 – 15:10: Estudio de la variabilidad genética del gen *gtf-B* y su asociación con el proceso de caries en niños de infancia temprana (ID 2066)**

[Melisa Gimenez Evjanian](#)<sup>1</sup>, Raul Enrique Gonzalez Ittig<sup>2,3</sup>, Marina Teresita Bottiglieri<sup>4</sup>, Nogah Antonini<sup>4</sup>, Beatriz Vercelli, Luciana Plum<sup>3</sup>, Fabiana Pía Marina Carletto-Körber<sup>1</sup>.

1. Cátedra de Odontopediatría "A", Facultad de Odontología, Universidad Nacional de Córdoba. 2. Instituto de Diversidad y Ecología Animal CONICET. 3. Cátedra de Genética de Poblaciones, Facultad de Ciencias Exactas, Físicas y Naturales, Universidad Nacional de Córdoba. 4. Servicio de Microbiología, Clínica Universitaria Reina Fabiola, Córdoba.

**107. 15:10 - 15:20: Prevalencia de patologías de desarrollo en radiografías seriadas. Estudio preliminar (ID 2076)**

Romina Loiacono<sup>1</sup>, [Milagros Trigo Humaran](#)<sup>1</sup>, Diego Vázquez<sup>1</sup>, Pablo Salgado<sup>2</sup>.

1. Cátedra de Diagnóstico por Imágenes, FOUBA. 2. Cátedra de Microbiología y Parasitología, FOUBA.

**108. 15:20 – 15:30: Prevalencia de desviación entre la línea bipupilar y el horizonte real en posición natural de la cabeza: estudio observacional (ID 2088)**

[María Pía Burelli](#), Malena Aguilar Porta, Germán Albertini, Diego Beccheli, Aníbal Omar Capusotto.

Cátedra de rehabilitación integral de mediana y alta complejidad, FOUBA.

**109. 15:30 – 15:40: La variable unidades formadoras de colonias de estreptococos grupo mutans analizada en lenguaje R (ID 2089)**

Alberto Manlla<sup>1</sup>, [Silvina Tineo](#)<sup>2</sup>, José María Álvarez Giménez<sup>2</sup>, Martín Fernando Zalduendo<sup>3</sup>, Martín Fernando Zalduendo<sup>4</sup>, Diego Edgardo Silvera Estevez<sup>4</sup>, Carmen Fátima Vargas<sup>5</sup>, Marta Estela Saravia<sup>3</sup>.

1. Cátedra de Matemáticas, Facultad de Agronomía, Zootecnia y Veterinaria -UNT. 2. Cátedra de Microbiología y Parasitología -PFO - Facultad de Odontología -UNT. 3. Cátedra de Microbiología y Parasitología- LABOFOUNT - Facultad de Odontología -UNT. 4. Cátedra PFO - Facultad de Odontología -UNT. 5. Laboratorio de Biología Oral - Facultad de Odontología -UNT.

**110. 15:40 – 15:50: Evaluación de la eficacia de micropartículas de papaína en lesiones amelodentinarias (ID 2115)**

[Fiorella Ventura](#)<sup>1,2</sup>, Aldo Squassi<sup>1,2,3</sup>, Carlos Fernando Mendez<sup>2,3,4</sup>.

1. Cátedra de Odontología Preventiva y Comunitaria, FOUBA. 2. Instituto de Investigaciones en Salud Pública, UBA. 3. CONICET. 4. Cátedra de Farmacología, FOUBA.

**111. 15:50 – 16:00: Recuentos de estreptococos grupo MUTANS EGM: aplicación de protocolos preventivos en el binomio madre/hijo (ID 2131)**

[Silvina Tineo](#)<sup>1</sup>, José María Álvarez Giménez<sup>1,3</sup>, Martín Fernando Zalduendo<sup>2</sup>, Diego Edgardo Silvera Estevez<sup>2</sup>, Carmen Fátima Vargas<sup>3</sup>, Marta Estela Saravia<sup>1,3</sup>.

1. Cátedra de Microbiología y Parasitología, PFO, Facultad de Odontología UNT. 2. Cátedra Práctica Final Obligatoria, FOUNT. 3. Laboratorio de Biología Oral, FOUNT.

**112. 16:00 – 16:10: Recuento de estreptococos grupo mutans en alineadores termoplásticos para eva-**



## **luar protocolos de limpieza: estudio *in-vivo* (ID 2132)**

Andrea Carolina Yuste<sup>1</sup>, [Silvina Tineo](#)<sup>2,3</sup>, José María Álvarez Gimenez<sup>1,2</sup>, Martín Fernando Zalduendo<sup>3</sup>, Carmen Fátima Vargas<sup>1</sup>, Marta Leonor Rugani<sup>4</sup>, Marta Estela Saravia<sup>1,2</sup>.

1. Laboratorio de Biología Oral, FOUNT. 2. Cátedra de Microbiología y Parasitología, PFO, FOUNT. 3. Cátedra PFO, FOUNT. 4. Cátedra de Ortodoncia Posgrado, Facultad de Odontología UNCordoba.

## **113. 16:10 – 16:20: Prevalencia de Hipomineralización Molar Incisiva en niños asistentes a la Cátedra de Odontopediatría "A" de la Facultad de Odontología de la Universidad Nacional de Córdoba (ID 2146)**

[Carla Rotter Maurín](#), Melisa Giménez Evjanian, María Sol Armando, Mirtha Gandolfo, María Isabel Jeréz, Silvia Mina, Fabiana Pia Marina Carletto Körber.

Facultad de Odontología Universidad Nacional de Córdoba.

## SALA CARRANZA

### TEJIDOS DENTALES Y PERIODONTALES

**Coordinadores: MARISA BRUSCA/GANNA DMYTRENKO**

**Asistente de sala: RUBÉN PIÑA LUGO**

## **114. 14:00 – 14:10: Estudio del sistema endocannabinoide en tejidos periodontales y periimplantitis en humanos (ID 2136)**

[Ganna Dmytrenko](#)<sup>1</sup>, Fernando Correa<sup>1,2</sup>, Mariana Farina<sup>1,2</sup>, Marisol Murillo Murillo<sup>2</sup>, Javier Fernandez-Solari<sup>1</sup>, Andrea De Laurantiis<sup>1,2</sup>.

1. Cátedra de Fisiología, FOUBA. 2. CEFYBO-CONICET-UBA, Facultad de Medicina.

## **115. 14:10 – 14:20: El medio condicionante de diferenciación reduce la expresión de precursores mesenquimales presentes en cultivos primarios de Pulpa Dental Humana (ID 2007)**

[Vanesa Alejandra Merhar](#)<sup>1</sup>, Alejandra Karina De Couto Pita<sup>1</sup>, María Belén Benitez<sup>1</sup>, Eunice Kim<sup>1</sup>, Carlos Fernando Menendez<sup>1,2</sup>.

1. Cátedra de Farmacología, FOUBA. 2. Consejo Nacional de Investigaciones Científicas y Técnicas.

## **116. 14:20 – 14:30: Evaluación y asociación del estado periodontal con la portación de especies de Cándida en pacientes con artritis reumatoidea usando PCR (reacción en cadena de la polimerasa) (ID 2008)**

Virginia Marta Jewtuchowicz<sup>1,2,3</sup>, [Selene Aldana Felkar](#)<sup>1,2</sup>, Mariana Masso<sup>3</sup>, María Laura Garzon<sup>1,2</sup>, Roxana Mariel Murciaño<sup>1,2</sup>, María Isabel Brusca<sup>1,2</sup>.

1. Universidad Abierta Interamericana. 2. Especialidad Periodoncia, FOUBA. 3. Dpto. de Microbiología, Facultad de Medicina, UBA.

## **117. 14:30 – 14:40: Asociación de la enfermedad periodontal y enfermedad renal crónica (ID 2009)**

María Isabel Brusca<sup>1,2</sup>, [Juan Paglilla](#)<sup>1</sup>, María Eugenia Castillo<sup>1,2</sup>, Atilio Vela Ferreira<sup>1,2</sup>, Gustavo Zunini<sup>1,2</sup>, Virginia Marta Jewtuchowicz<sup>1,2,3</sup>.

1. Universidad Abierta Interamericana. 2. Especialidad Periodoncia, FOUBA. 3. Dpto. de Microbiología, Facultad de Medicina, UBA.

## **118. 14:40 – 14:50: Eficacia de la terapia periodontal no quirúrgica mediante la utilización de la magnificación (ID 2025)**

[Lara Micheletti](#), María Virginia Antuña, Andrés Barros, Ileana Boccio, Jorgelina Decco, Ernesto Radica, Esteban Funosas, Gustavo Feser.

Facultad de Odontología. Universidad Nacional de Rosario.

## **119. 14:50 – 15:00: Utilización del láser de diodo para las frenectomías labiales. Estabilidad a largo plazo (ID 2026)**

[Lara Micheletti](#), María Virginia Antuña, Andrés Barros, Ileana Boccio, Jorgelina Decco, Anabella Quintero, Esteban Funosas, Gustavo Feser.

Cátedra de Periodoncia, Facultad de Odontología. Universidad Nacional de Rosario.

## **120. 15:00 – 15:10: Estudio de la diferenciación de células precursoras mesenquimales en cultivos celulares de Pulpa Dental Humana con morfogénesis radicular incompleta (ID 2029)**

María Belén Benitez, Franco Dell'Angélica, Valeria Miozza, Vanesa Merhar, [Alejandra Karina De Couto](#) [Pita](#).

Cátedra de Farmacología, FOUBA.

## **121. 15:10 – 15:20: Estudio de las características histomorfométricas de la encía de piezas primarias (ID 2042)**

[Daniela Bernado](#)<sup>1</sup>, Romina De Lucca<sup>2</sup>, Ana María Biondi<sup>1</sup>, Anabella Fiore<sup>2</sup>.

1. Cátedra de Odontología Integral Niños, FOUBA. 2. Cátedra de Histología y Embriología, FOUBA.

## **122. 15:20 – 15:30: Factores condicionantes de diferenciación de células pluripotenciales de pulpa dental (ID 2064)**



María Eunice Kim, Vanesa Merhar, María Belén Benítez, Carlos Méndez, Alejandra De Couto Pita.  
Cátedra de Farmacología, FOUBA.

**123. 15:30 – 15:40: Morfología de conductos radiculares de segundos premolares inferiores en TCHC (ID 2119)**

Fernando González Maglio<sup>1</sup>, Walter Cornes<sup>1</sup>, Ana Sánchez<sup>1</sup>, Ileana Bonzi<sup>1</sup>, Martina Iglesias<sup>1</sup>, Luis Ortenzi<sup>1</sup>, Lucila Vazquez<sup>1</sup>, Julieta Serafini<sup>1</sup>, Andrea Zabala<sup>1</sup>, Ana Soler<sup>1</sup>, Pablo Andrés Salgado<sup>2</sup>.

1. Cátedra de Diagnóstico por imágenes, FOUBA. 2. Cátedras de Microbiología y Parasitología y de Odontología Preventiva y Comunitaria, FOUBA. Instituto de Investigaciones en Salud Pública, UBA.

**124. 15:40 – 15:50: Polimorfismo del gen FCGR2A en pacientes con Síndrome de Down. Estudio preliminar (ID 1988)**

Mariana Armada<sup>1</sup>, Angélica Castro Escalante<sup>2</sup>, Martín Cifuentes<sup>3</sup>, Mónica Paola Bellazzi<sup>3</sup>, Carlos David Bruque<sup>3</sup>, Débora González<sup>4</sup>, Bettina Orman<sup>2</sup>, Teresita Ferrary<sup>1</sup>.

1. Cátedra de Medicina Interna, FOUBA. 2. Cátedra de Farmacología, FOUBA. 3. Unidad de Conocimiento Traslacional Hospitalaria Patagónica, Hospital de Alta Complejidad SAMIC, El Calafate, Santa Cruz. 4. Cátedra de Biofísica y Bioestadística, FOUBA.

**125. 15:50 – 16:00: Efecto del plasma rico en plaquetas como inductor osteogénico. Estudio preliminar in vivo e in vitro (ID 2144)**

Betiana Nebaí Salassa<sup>1</sup>, Melina Sosa De Lucca<sup>2</sup>, Ricardo Orzuza<sup>2</sup>, Joaquim Vives<sup>3</sup>, Silvia Friedman<sup>2</sup>, Verónica Julieta Miskztowicz<sup>2</sup>, Claudio Marcelo Fader<sup>1</sup>.

1. Instituto de Histología y Embriología de Mendoza (IHEM)- CONICET- UNCuyo. Cátedra de Bioquímica General y Estomatológica, Facultad de Odontología, UNCuyo. 2. Cátedra de Bioquímica General y Bucal. Unidad de Investigación de Bioquímica Traslacional y Metabolismo (UBiTyM), FOUBA. 3. Banc de Sang i Teixits (BST). Servei de Teràpia Celular.

**126. 16:00 – 16:10: En la periodontitis experimental: ¿Influye el recambio de la ligadura en la progresión de la pérdida ósea alveolar? (ID 2157)**

Ricardo Orzuza, Leonardo Cacciagiù, Morena Wiszniewski, Juan Galdoporpora, Silvia Friedman, Vanesa Macri, María Eugenia Antona.

Cátedra de Bioquímica General y Bucal, FOUBA.

**Domingo 17 de Noviembre | 9 a 12 hs.**

# PRESENTACIONES ORALES Y PÓSTERES ELECTRÓNICOS

## SALA HOUSSAY

### EDUCACION ODONTOLOGICA

Coordinadores: LORENA CABIRTA / JULIA CAROSI

Asistente de sala: SEBASTIÁN BIAGGINI

### PÓSTERES ELECTRÓNICOS

**127. 9:00 – 9:10: Rendimiento académico de estudiantes de grado en exámenes finales de la Cátedra de Fisiología FO-UNC: años 2021-2023 (ID 1934)**

Fernando Martín Wietz, Evelin Bachmeier, María Elena Migueles Goitea, Cintia P. Leonardi, Nancy F. Bonetto, Marcelo Adrián Mazzeo.

Cátedra de Fisiología, Facultad de Odontología, Universidad Nacional de Córdoba.

**128. 9:10 – 9:20: Evaluación de una intervención educativa en la percepción y conocimiento ético-legal en el ejercicio profesional de la odontología en Paraná, Argentina (ID 1958)**

Paola Luciani Reynoso<sup>1</sup>, Aldo Calzolari<sup>2</sup>.

1. Universidad Adventista del Plata (UAP), Facultad de Odontología. 2. Instituto de Educación Científica.

**129. 9:20 – 9:30: Enfoques de Aprendizaje en estudiantes del último año de la Facultad de Odontología de la Universidad de Buenos Aires (ID 1981)**

Nancy Beatriz Mende<sup>1</sup>, Agustín Freiberg Hoffmann<sup>2</sup>, Julia Fuks<sup>1</sup>, Marcelo Gabriel Fernández<sup>1</sup>.

1. Cátedra de Odontología Integral Niños FOUBA. 2. Universidad de Buenos Aires - Consejo Nacional de Investigaciones Científicas y Técnicas.



## 130. 9:30 – 9:40: Estilos de aprendizaje de estudiantes de primer año de la FOUNLP (ID 1990)

Leandro Juan Tomas, Paula Mariela Tomas, Lilián Mónica Pollicina, María José Azzarri, Valeria Raquel Vijandi Guillermo Felipe Pablo, Sebastián Jordan, Diana Laura Picotti, María Pía Moure, Patricio Alfredo Escobar Milesi  
Cátedra de Biofísica, FOUNLP.

## 131. RESUMEN NO PRESENTADO 9:40 – 9:50: Consideraciones Bioéticas y Jurídicas de los Derechos de Personas con Discapacidad (ID 2041)

Silvina Di Bastiano, Martín Zemel, Verónica Vanonio, Juliana Capurro, Marta Pérez, Laura Cocco, Germán Di Girolamo Pinto, Yanina Goyeneche, Anabella Elvira, Martín Alfaro, Constanza Canale, Sabrina Degaetano.  
Instituto de Investigaciones en Educación Superior, UNLP.

## PRESENTACIONES ORALES

### 132. 10:00 – 10:15: Reflexiones y aprendizajes sobre la salud colectiva en la formación de grado de Odontología: una investigación cualitativa basada en una propuesta pedagógica innovadora (ID 2067)

Natalia Agüero, Agustín Ponce, Pablo Gigena, Marcela Bella.  
Facultad de Odontología, Universidad Nacional de Córdoba.

### 133. 10:15 – 10:30: Estimación de la edad utilizando el Método de Demirjian en niños y niñas de Capital Federal y Provincia de Buenos Aires (ID 2055)

Alan Diego Briem Stamm<sup>1,2</sup>, Jorge Antonio Rusconi<sup>2</sup>, Carlos Raimundo Zemborain<sup>1,2</sup>.  
1. Cátedra de Odontología Legal, Forense e Historia de la Odontología, FOUBA. 2. División Odontología, Servicios de Diagnóstico por imágenes y de Ortodoncia, del Centro Asistencial Buenos Aires, de Gendarmería Nacional Argentina.

### 134. 10:30 – 10:45: Diferencias entre el color dentario real determinado con un espectrofotómetro y autopercibido por pacientes en FOUBA (ID 2104)

Dolores Vallvé, María Milagros Trigo Humaran, Natalia Giménez, Julia Nagami, Sebastián Tortoni, Carlos Aníbal González Zannotto, María Emilia Iglesias.  
Cátedra de Odontología Restauradora, FOUBA.

### 135. 10:45 – 11:00: Efecto de tratamientos de blanqueamiento in-office y ambulatorio en el color de incisivos y caninos in-vivo (ID 2105)

María Milagros Trigo Humaran, Luisina Meoli, Victoria Almada, Ivana Krauss, Anouk Styblo, Carlos Aníbal González Zannotto, María Emilia Iglesias.  
Cátedra de Odontología Restauradora, FOUBA.

### 136. 11:00 – 11:15: Trabajo clínico de estudiantes de grado en la cátedra de Odontología Restauradora de la FOUBA (ID 2106)

Sebastián Tortoni, María Milagros Trigo Humaran, Hernán Tartacovsky, María Agustina Boaventura Dubovik, Martín García Cuerva, María Emilia Iglesias.  
Cátedra de Odontología Restauradora, FOUBA.

### 137. 11:15 – 11:30: El uso del composite en la clínica de grado de la cátedra de Odontología Restauradora de la Facultad de Odontología de la UBA (FOUBA) (ID 2122)

Hernán Tartacovsky, María Milagros Trigo Humaran, María Agustina Boaventura Dubovik, Martín García Cuerva, María Emilia Iglesias.  
Cátedra de Odontología Restauradora, FOUBA.

### 138. 11:30 – 11:45: Cotejo de radiografías panorámicas y periapicales tomadas a los mismos pacientes con intervalos temporales de al menos 5 años de diferencia entre ambos registros con perspectiva de identificación humana (ID 2134)

Alan Diego Briem Stamm<sup>1</sup>, Luis Reinaldo Rannelucci<sup>1</sup>, Pamela Borgo Cosentino<sup>2</sup>, César Rodolfo Telechea<sup>1</sup>, Carla Georgina Arias<sup>1</sup>, Clarisa Yanina Gómez<sup>3</sup>.  
1. Cátedra de Odontología Legal, Forense e Historia de la Odontología, FOUBA. 2. Licenciatura en Criminalística, Instituto Universitario de la Policía Federal Argentina (IUPFA). 3. Policía Federal Argentina, Sección Unidad Criminalística de Alta Complejidad.

## PRESENTACIONES ORALES

### SALA PÉREZ ESQUIVEL

#### MATERIALES DENTALES Y BIOMATERIALES

Coordinadores: JORGE AREDES/LEO NART

Asistente de sala: MELINA SOSA DE LUCCA

### 139. 9:00 – 9:15: Evaluación de variación dimensional, porosidad, densidad y peso de restauraciones indirectas obtenidas mediante tecnología aditiva (ID 2030)

Cintia Alejandra Martínez<sup>1</sup>, Leonardo Jorge Nart<sup>2</sup>, Diego Jorge Vazquez<sup>2</sup>, Pamela Boragina<sup>1</sup>, Antonella Carolina Rajoy<sup>1</sup>,

Pablo Andrés Salgado<sup>3</sup>, Carlos Gastón Prieto<sup>1</sup>, Damián Luis De Moliner<sup>1</sup>, Jorge Esteban Aredes<sup>1</sup>.

1. Cátedra de Odontología Integral del Adulto Mayor y Clínica de Prótesis Removible, FOUBA. 2. Cátedra de Diagnóstico por Imágenes. 3. Cátedras de Microbiología y Parasitología y de Odontología Preventiva y Comunitaria e Instituto de Investigaciones en Salud Pública, FOUBA.

**140. 9:15 – 9:30: Respuesta biológica de un novel polímero biodegradable (PLA/β-TCP-2,5%) de estructura entramada como potencial sustituto óseo. (ID 2081)**

Camila Lourdes Frosasco<sup>1,2</sup>, Sandra Judith Renou<sup>1</sup>, Ezequiel Pérez<sup>2,3</sup>, Pablo Alejandro Fontanetti<sup>4</sup>, Mariela Gisele Domingo<sup>1</sup>, Daniel Gustavo Olmedo<sup>1,2</sup>.

Cátedra de Anatomía Patológica, FOUBA. 2. CONICET. 3. Instituto de Investigación y Desarrollo en Ingeniería de Procesos y Química Aplicada (CONICET-UNC). 4. Departamento de Biología Bucal, FOUNC.

**141. 9:30 – 9:45: Distribución y prevalencia de piezas dentarias en pacientes adultos mayores en AMBA (ID 2112)**

Elsa Beatriz Vega Barrionuevo<sup>1</sup>, Mirta Carolina Aubia<sup>1</sup>, Cintia Alejandra Martínez<sup>1</sup>, Adrián Alfredo Ochoa<sup>1</sup>, Damián Luis De Moliner<sup>1</sup>, Gabriela Andrea Demaria<sup>1</sup>, Raquel Alejandra Via<sup>1</sup>, Cecilia Vanesa Compagnucci<sup>1</sup>, Gabriela Karen Heredia<sup>1</sup>, Roxana Ramos Olazabal<sup>1</sup>, Leonardo Jorge Nart<sup>2</sup>, María Milagros Trigo Humaran<sup>2,4</sup>, Pablo Andrés Salgado<sup>3</sup>, Diego Jorge Vázquez<sup>2</sup>, Jorge Esteban Aredes<sup>1</sup>.

1. Cátedra de Odontología Integral del Adulto Mayor y Clínica de Prótesis Removible, FOUBA. 2. Cátedra de Diagnóstico por Imágenes, FOUBA. 3. Cátedras de Microbiología y Parasitología y Odontología Preventiva y Comunitaria, FOUBA, Instituto de Investigaciones en Salud Pública, UBA. 4. Cátedra de Odontología Restauradora, FOUBA.

**142. 9:45 – 10:00: Prevalencia y clasificación de áreas desdentadas en pacientes adultos mayores en AMBA (ID 2113)**

Mirta Carolina Aubia<sup>1</sup>, Cintia Alejandra Martínez<sup>1</sup>, Adrián Alfredo Ochoa<sup>1</sup>, Damián Luis De Moliner<sup>1</sup>, Elsa Beatriz Vega Barrionuevo<sup>1</sup>, Gabriela Andrea Demaria<sup>1</sup>, Raquel Alejandra Via<sup>1</sup>, Cecilia Vanesa Compagnucci<sup>1</sup>, Gabriela Karen Heredia<sup>1</sup>, Roxana Ramos Olazabal<sup>1</sup>, Leonardo Jorge Nart<sup>2</sup>, María Milagros Trigo Humaran<sup>2,4</sup>, Pablo Andrés Salgado<sup>3</sup>, Diego Jorge Vázquez<sup>2</sup>, Jorge Esteban Aredes<sup>1</sup>.

Cátedra de Odontología Integral del Adulto Mayor y Clínica de Prótesis Removible, FOUBA. 2. Cátedra de Diagnóstico por Imágenes, FOUBA. 3. Cátedras de Microbiología y Parasitología y Odontología Preventiva y Comunitaria, FOUBA, Instituto de Investigaciones en Salud Pública, UBA. 4. Cátedra de Odontología Restauradora, FOUBA.

**143. 10:00 – 10:15: Prevalencia y distribución de implantes dentales en pacientes adultos mayores en AMBA (ID 2114)**

Adrián Alfredo Ochoa<sup>1</sup>, Mirta Carolina Aubia<sup>1</sup>, Cintia Alejandra Martínez<sup>1</sup>, Damián Luis De Moliner<sup>1</sup>, Elsa Beatriz Vega Barrionuevo<sup>1</sup>, Gabriela Andrea Demaria<sup>1</sup>, Raquel Alejandra Via<sup>1</sup>, Cecilia Vanesa Compagnucci<sup>1</sup>, Gabriela Karen Heredia<sup>1</sup>, Roxana Ramos Olazabal<sup>1</sup>, Leonardo Jorge Nart<sup>2</sup>, María Milagros Trigo Humaran<sup>2,4</sup>, Pablo Andrés Salgado<sup>3</sup>, Diego Jorge Vázquez<sup>2</sup>, Jorge Esteban Aredes<sup>1</sup>.

Cátedra de Odontología Integral del Adulto Mayor y Clínica de Prótesis Removible, FOUBA. 2. Cátedra de Diagnóstico por Imágenes, FOUBA. 3. Cátedras de Microbiología y Parasitología y Odontología Preventiva y Comunitaria, FOUBA, Instituto de Investigaciones en Salud Pública, UBA. 4. Cátedra de Odontología Restauradora, FOUBA.

**144. 10:15 – 10:30: Condición Dentaria En Pacientes Adultos Mayores En AMBA (ID 2121)**

Damián Luis De Moliner<sup>1</sup>, Cintia Alejandra Martínez<sup>1</sup>, Mirta Carolina Aubia<sup>1</sup>, Adrián Alfredo Ochoa<sup>1</sup>, Elsa Beatriz Vega Barrionuevo<sup>1</sup>, Gabriela Andrea Demaria<sup>1</sup>, Raquel Alejandra Via<sup>1</sup>, Cecilia Vanesa Compagnucci<sup>1</sup>, Gabriela Karen Heredia<sup>1</sup>, Roxana Ramos Olazabal<sup>1</sup>, Pablo Andrés Salgado<sup>3</sup>, Leonardo Jorge Nart<sup>2</sup>, María Milagros Trigo Humaran<sup>2,4</sup>, Diego Jorge Vázquez<sup>2</sup>, Jorge Esteban Aredes<sup>1</sup>.

Cátedra de Odontología Integral del Adulto Mayor y Clínica de Prótesis Removible, FOUBA. 2. Cátedra de Diagnóstico por Imágenes, FOUBA. 3. Cátedras de Microbiología y Parasitología y Odontología Preventiva y Comunitaria, FOUBA, Instituto de Investigaciones en Salud Pública, UBA. 4. Cátedra de Odontología Restauradora, FOUBA.

## ODONTOPIEDIATRIA Y ORTODONCIA

**Coordinadores: AHMADI / CAROLA BOZAL**

**Asistente de sala: GUIDO REBOREDO**

**145. 10:45 – 11:00: Estudio prospectivo aleatorizado del dolor en ortodoncia con fotobiomodulación láser (ID 2116)**

Mahmood Ahmadi<sup>1</sup>, Ana Clara Casadoumeci<sup>2</sup>, Marina Iglesias<sup>1</sup>, Magalí García<sup>1</sup>, Yesica Doi<sup>1</sup>, Graciela Riguero<sup>1</sup>, Sandra Benítez Rogé<sup>1</sup>, Janick Cavalieri<sup>1</sup>, Andrea Delaurentis<sup>2</sup>, Claudia Mohn<sup>2</sup>, Alejandra Folco<sup>1</sup>.

1. Cátedra de Ortodoncia, FOUBA. 2. Cátedra de Fisiología, FOUBA.

**146. 11:00 – 11:15: Ortodoncia digital: Tratamientos híbridos con alineadores in office y distalador de Carriere Motion II (ID 2111)**

Marina Iglesias, Antonella Sciarrotta, Magalí García, Yesica Doi, Patricia Tarquini, Mahmood Ahmadi, Alejandra Folco. Cátedra de Ortodoncia, FOUBA.

**147. 11:15 – 11:30: Impacto de la diabetes en la expansión maxilar de ratas en crecimiento (ID 2150)**

Mónica Isabel Yamauchi<sup>1</sup>, Merlina Lopez<sup>2</sup>, Rodríguez Vanessa<sup>1</sup>, Luciana Marina Sanchez<sup>2</sup>, Romina De Lucca<sup>2</sup>, Carola Bettina Bozal<sup>2</sup>.

1. Sociedad Argentina de Ortodoncia. 2. Cátedra de Histología y Embriología, FOUBA

## 148. 11:30 – 11:45: Comparación de las dimensiones de las vías respiratorias en sujetos con diferentes patrones faciales verticales y horizontales (ID 2154)

Stephanie Arario<sup>1</sup>, Leonardo Jorge Nart<sup>1</sup>, Stephany Calvo<sup>1</sup>, Maria Milagros Trigo Humaran<sup>1</sup>, Matias De Luca<sup>1</sup>, Solana Sanchis<sup>1</sup>, Maria Luz Di Bartolo<sup>1</sup>, Maria Victoria Bielli<sup>1</sup>, Victoria Azcona<sup>1</sup>, Luciana Figueroa<sup>1</sup>, Pablo Salgado<sup>2</sup>, Diego Vazquez<sup>1</sup>. Cátedra de Diagnóstico por Imágenes, FOUBA. 2. Cátedras de Microbiología y Parasitología y de Odontología Preventiva y Comunitaria, FOUBA. Instituto de Investigaciones en Salud Pública. UBA.

## SALA CABRINI

### CARIOLOGIA Y EPIDEMIOLOGIA

Coordinadores: LUCIANA D'ERAMO/GLENDA ROSSI

Asistente de sala: WILLIAM PATITUCCI

## 149. 10:00 – 10:15: Asociación entre percepción de hipersensibilidad dentinaria y erosión dental (ID 2155)

Clara Afonso Ramirez<sup>1</sup>, María Florencia Escalante Vila<sup>1,2</sup>, Luciana D'Eramo<sup>1,2</sup>, Cynthia Mariel Rodriguez<sup>1</sup>, Pablo Salgado<sup>1,2,3</sup>, Aldo Squassi<sup>1,2,4</sup>.

1. Cátedra de Odontología Preventiva y Comunitaria, FOUBA. 2. Instituto de Investigaciones en Salud Pública, UBA. 3. Cátedra de Microbiología y Parasitología, FOUBA. 4. CONICET.

## 150. 10:15 – 10:30: Análisis temporal de la necesidad de tratamiento de caries de escolares en Ciudad de Buenos Aires (ID 2156)

Glenda Rossi<sup>1,2</sup>, Ana Laura Sorazabal<sup>1,2</sup>, Rocío Lazzati<sup>1,2</sup>, Fiorella Ventura<sup>1,2</sup>, Pablo Salgado<sup>1,2,3</sup>, Aldo Squassi<sup>1,2,4</sup>.

1. Cátedra de Odontología Preventiva y Comunitaria, FOUBA. 2. Instituto de Investigaciones en Salud Pública, UBA. 3. Cátedra de Microbiología y Parasitología, FOUBA. 4. CONICET.

## 151. 10:30 – 10:45: Asociación de inflamación gingival y presencia de placa con la percepción de hipersensibilidad dentinaria (ID 2153)

María Florencia Escalante Vila<sup>1,2</sup>, Luciana D'Eramo<sup>1,2</sup>, Cynthia Mariel Rodriguez<sup>1</sup>, Clara Afonso Ramirez<sup>1</sup>, Pablo Salgado<sup>1,2,3</sup>, Cassiano Kuchenbecker Rösing<sup>4</sup>, Aldo Squassi<sup>1,2,5</sup>.

1. Cátedra de Odontología Preventiva y Comunitaria, FOUBA. 2. Instituto de Investigaciones en Salud Pública, UBA. 3. Cátedra de Microbiología y Parasitología, FOUBA. 4. Universidade Federal do Rio Grande do Sul, Faculdade de Odontologia, Departamento de Periodoncia. 5. CONICET.

## 152. 10:45 – 11:00: Cambio de coloración en márgenes de restauraciones oclusales de resinas compuestas. Análisis retrospectivo a 10 años (ID 2149)

Myriam Boldrini<sup>1</sup>, Aldo Squassi<sup>2,3</sup>, Pablo Salgado<sup>2,3,5</sup>.

1. Cátedra de Preclínica de Odontología Restauradora, FOUBA. 2. Cátedra de Odontología Preventiva y Comunitaria, FOUBA. 3. Instituto de Investigaciones en Salud Pública, UBA. 4. CONICET. 5. Cátedra de Microbiología y Parasitología, FOUBA.

## 153. 11:00 – 11:15: Presencia de biofilm y determinantes de salud en infantes del partido de Avellaneda (ID 2129)

Ximena Pazos<sup>1</sup>, Glenda Rossi<sup>1,2</sup>, Silvia Medici<sup>1</sup>, Pablo Salgado<sup>1,2,3</sup>, Aldo Squassi<sup>1,2,4</sup>.

1. Cátedra de Odontología Preventiva y Comunitaria, FOUBA. 2. Instituto de Investigaciones en Salud Pública, UBA. 3. Cátedra de Microbiología y Parasitología, FOUBA. 4. CONICET.

## 154. 11:15 – 11:30: Asociación entre autorreporte de enfermedad, indicadores clínicos de estado periodontal y percepción de hipersensibilidad dentinaria (ID 2159)

Valentina Alberti Cancelo<sup>1</sup>, María Florencia Escalante Vila<sup>1,2</sup>, Pablo Salgado<sup>1,2,3</sup>, Aldo Squassi<sup>1,2,4</sup>, Luciana D'Eramo<sup>1,2,5</sup>.

1. Cátedra de Odontología Preventiva y Comunitaria, FOUBA. 2. Instituto de Investigaciones en Salud Pública, UBA. 3. Cátedra de Microbiología y Parasitología, FOUBA. 5. CONICET.

# POSTERS ELECTRÓNICOS

## SALA ERAUSQUIN

### TEJIDO OSEO

Coordinadores: AILIN GOMEZ/CHRISTIAN LEZON

Asistente de sala: RUBÉN PIÑA LUGO

## 155. 10:00 – 10:10: Contaminación ambiental aérea y desnutrición: efecto sobre la histomorfometría y la biomecánica del esqueleto apendicular (ID 2126)

Clarisa Bozzini<sup>1</sup>, Carola Bozal<sup>2</sup>, Melisa Kurtz<sup>3</sup>, Catalina Lamas<sup>2</sup>, Brenda Leiva<sup>2</sup>, Ivana Masci<sup>3</sup>, Alan Agüero Romero<sup>1</sup>, Deborah Tasat<sup>3</sup>, Christian Lezon<sup>1</sup>.

Cátedra de Fisiología, FOUBA. 2. Cátedra de Histología y Embriología, FOUBA. 3. Instituto de Tecnologías Emergentes y Ciencias Aplicadas, Escuela de Ciencia y Tecnología, UNSAM.



**156. 10:10 – 10:20: Estudio de las variables de impactación de los caninos superiores y su relación con el incisivo lateral mediante tomografía de haz cónico (ID 2012)**

Martin Horacio Pujol<sup>1</sup>, Alejandra Antoniuk<sup>1</sup>, Julieta Serafini<sup>1</sup>, Lucila Vazquez<sup>1</sup>, Leonardo Nart<sup>1</sup>, Lorena Benitez<sup>1</sup>, Pablo Salgado<sup>2</sup>, Victoria Azcona<sup>1</sup>, Ariel Hiacelay<sup>1</sup>, Stephanie Arario<sup>1</sup>, Patricia Indkevitch<sup>1</sup>, Diego Vázquez<sup>1</sup>.

1. Cátedra Diagnóstico por Imágenes, FOUBA. 2. Cátedra de Microbiología y Parasitología, Cátedra de Odontología Preventiva y Comunitaria FOUBA, Instituto de Investigaciones en Salud Pública UBA.

**157. 10:20 – 10:30: Estudio tridimensional de la recuperación del hueso alveolar perdido por periodontitis experimental. Efecto del tratamiento local con PTH 1-34 a bajas dosis (ID 2037)**

Marina Soledad Bonanno<sup>1,2</sup>, Diego Jorge Vazquez<sup>3</sup>, Ailín Gómez<sup>2</sup>, Estefanía Magalí Zeni Coronel<sup>1</sup>, Mario Ricardo Davison<sup>4</sup>, Susana Noemí Zeni<sup>1</sup>.

1. Laboratorio de Osteopatías Metabólicas. INIGEM-CONICET, FFyB-UBA, Hospital de Clínicas. 2. Cátedra de Histología y Embriología, FOUBA. 3. Cátedra de Diagnóstico por Imágenes, FOUBA. 4. Carrera de Odontología, UNRN.

**158. 10:30 – 10:40: Cambios en parámetros histomorfométricos más importantes de los huesos maxilares evaluados por Tomografía computarizada de haz cónico. Estudio preliminar (ID 2050)**

María Eugenia Avendaño<sup>2</sup>, Marina Soledad Bonanno<sup>3,4</sup>, Ailin Gómez<sup>1</sup>, Mario Ricardo Davison<sup>5</sup>, Diego Jorge Vazquez<sup>1</sup>, Susana Noemí Zeni<sup>3</sup>.

Cátedra de Diagnóstico por Imágenes, FOUBA. 2. Servicio de Diagnóstico por Imágenes, Facultad de Odontología, Universidad Nacional de Cuyo. 3. Laboratorio de Osteopatías Metabólicas. Instituto de Inmunología, Genética y Metabolismo (INIGEM), CONICET, FFyB, UBA, Hospital de Clínicas "José de San Martín. 4. Cátedra de Histología y Embriología. FOUBA. 5. Carrera Odontología, Facultad Nacional de Río Negro.

**159. 10:40 – 10:50: Características morfométricas del conducto palatino anterior (ID 2099)**

Ana Sánchez<sup>1</sup>, Walter Cornes<sup>1</sup>, Fernando González Maglio<sup>1</sup>, Cintia Coiro<sup>1</sup>, Noelia Vitali<sup>1</sup>, Ileana Bonzi<sup>1</sup>, Luis Ortenzi<sup>1</sup>, Martina Iglesias<sup>1</sup>, Valentina Ortalli<sup>1</sup>, Pablo Salgado<sup>2</sup>.

1. Cátedra de Diagnóstico por imágenes, FOUBA. 2. Cátedras de Microbiología y Parasitología y de Odontología Preventiva y Comunitaria, FOUBA. Instituto de Investigaciones en Salud Pública. Universidad de Buenos Aires.

**160. 10:50 – 11:00: Prevalencia de Odontomas en una población argentina (ID 2100)**

Walter Cornes<sup>1</sup>, Lucila Vazquez<sup>1</sup>, Romina Loiacono<sup>1</sup>, Ailín Gómez<sup>1</sup>, Pablo Andrés Salgado<sup>2</sup>.

1. Cátedra de Diagnóstico por imágenes, FOUBA. 2. Cátedras de Microbiología y Parasitología y de Odontología Preventiva y Comunitaria, FOUBA. Instituto de Investigaciones en Salud Pública. Universidad de Buenos Aires.

**161. 11:00 – 11:10: Prevalencia de antrolitos en Tomografías computadas de haz cónico (ID 2102)**

Fernando Gonzalez Maglio<sup>1</sup>, Ana Sánchez<sup>1</sup>, Cintia Coiro<sup>1</sup>, Noelia Vitali<sup>1</sup>, Ileana Bonzi<sup>1</sup>, Martina Iglesias<sup>1</sup>, Valentina Ortalli<sup>1</sup>, Ana Soler<sup>1</sup>, Andrea Zabala<sup>1</sup>, Pablo Andrés Salgado<sup>2</sup>.

1. Cátedra de Diagnóstico por imágenes, FOUBA. 2. Cátedras de Microbiología y Parasitología y de Odontología Preventiva y Comunitaria, FOUBA. Instituto de Investigaciones en Salud Pública, UBA.

**162. 11:10 – 11:20: Comparación de edad cronológica y dos parámetros de crecimiento (ID 2118)**

Walter Cornes<sup>1</sup>, Rosina Bergonzi<sup>1</sup>, Juan Pablo Cordoba<sup>1</sup>, Jaqueline Paitan<sup>1</sup>, Victoria Quiroga<sup>1</sup>, Karina Rivero<sup>1</sup>, Ailín Gómez<sup>1</sup>, Pablo Andrés Salgado<sup>2</sup>

1. Cátedra de Diagnóstico por imágenes, FOUBA. 2. Cátedras de Microbiología y Parasitología y de Odontología Preventiva y Comunitaria, FOUBA. Instituto de Investigaciones en Salud Pública, UBA.

**163. 11:20 – 11:30: La exposición continua a hipoxia hipobárica altera el metabolismo óseo mandibular en ratas con periodontitis experimental (ID 2120)**

Giuliana Rugolo<sup>1</sup>, Pedro Álvarez Lloret<sup>2</sup>, Chiara Capelli<sup>3</sup>, Pilar Martínez<sup>1</sup>, Clarisa Bozzini<sup>1</sup>, Javier Fernández Solari<sup>1,4</sup>, Antonia Terrizzi<sup>1</sup>.

Cátedra de Fisiología, FOUBA. 2. Departamento de Geología, Facultad de Geología, Universidad de Oviedo, España. 3. Departamento de Mineralogía y Petrología, Facultad de Geología, Universidad de Granada, España. 4. CONICET.

**164. 11:30 – 11:40: Determinación del estadio de Carmen Nolla de caninos superiores en radiografías panorámicas (ID 2124)**

Ana Sanchez<sup>1</sup>, Julieta Serafini<sup>1</sup>, Alejandra Antoniuk<sup>1</sup>, Luisina Mazza<sup>1</sup>, Stephanie Arario<sup>1</sup>, Victoria Quiroga<sup>1</sup>, Teresita Cifuentes<sup>1</sup>, María Luz Di Bartolo<sup>1</sup>, Florencia Arrigo<sup>1</sup>, Pablo Salgado<sup>2</sup>, Patricia Indkevitch<sup>1</sup>, María Julia Carosi<sup>1</sup>, Ailin Gomez<sup>1</sup>, Diego Jorge Vázquez<sup>1</sup>.

Cátedra de Diagnóstico por imágenes, FOUBA. 2. Cátedras de Microbiología y Parasitología y de Odontología Preventiva y Comunitaria, FOUBA. Instituto de Investigaciones en Salud Pública. UBA.

**165. RESUMEN NO PRESENTADO 11:40 – 11:50: CBCT como herramienta para evaluar posibles cambios en los parámetros histomorfométricos más importantes de los huesos maxilares (ID 1965)**

María Eugenia Avendaño<sup>1</sup>, Marina Bonanno<sup>2</sup>, Mario Ricardo Davison<sup>3</sup>, Susana Zeni<sup>2</sup>.

Servicio de Diagnóstico por Imágenes. Facultad de Odontología. Universidad Nacional de Cuyo. 2. Instituto de Inmunología, Genética y Metabolismo. Departamento de Microbiología, Inmunología y Biotecnología. Facultad de Farmacia y Bioquímica, UBA. 3. Facultad de Odontología. Universidad Nacional de Río Negro.

**166. RESUMEN NO PRESENTADO 11:50 – 12:00: Análisis de la posición y diámetro de la desembocadura del mentoniano con TC CONE BEAM (ID 2127)**

Diego Enrique Agüero, Luis Fernando Wuscovi, Mercedes Mabel Jorrot, Lourdes Mariana Simón, Hugo Norberto Aragón.  
Cátedra de Radiología, FOUNT.



# RESÚMENES DE PRESENTACIONES

001

## ID 1960 VALORACIÓN DE LA MADURACIÓN ÓSEA DE LAS EPÍFISIS Y DIÁFISIS DEL TERCER DEDO DE LA MANO

María José Levalle, Marta Lidia Rimoldi, Miriam Ruiz, Dominga Mazzeo, Vanessa Lambruschini, Fabiana Hernández, Mariana Silingo, Betiana Gómez.  
Cátedra de Odontología Integral Niños, Facultad de Odontología de La Plata.

**Introducción:** El crecimiento de un organismo se caracteriza por modificaciones progresivas en la forma y en las proporciones internas y externas. A pesar de que el crecimiento es un proceso ordenado, hay momentos en que se intensifica y otros en que mantiene estable. La velocidad de crecimiento puede variar de acuerdo con las circunstancias. La edad cronológica no siempre valora el nivel de desarrollo y la maduración somática, por lo que se debe recurrir a determinar la edad ósea

**Objetivo/s:** Relacionar los indicadores de maduración ósea y la edad cronológica a través del análisis de imágenes radiográficas

**Materiales y Métodos:** Se realizó una investigación con diseño no experimental de tipo cuantitativo, descriptivo, transversal, en una muestra de una población infantil de 63 niños que concurrieron al Hospital Odontológico de la Facultad de Odontología de la Universidad Nacional de La Plata, con un rango etario de 6 a 13 años. Se utilizó radiografía periapical del dedo medio de la mano izquierda. Sobre las mismas se realizó el índice de Abdel-Kader.

**Resultados:** De los datos analizados el 30,1% (19) de los niños presenta estadio de maduración F; El 6,3% (5 niños) estadio G, siendo el estadio FG el que predomina con el 63,4 % (39 niños). El rango etario de dicho periodo es de 7 a 12 años, con una moda de 9 que corresponde a 15 niños. La edad más temprana para los valores FG se observó a los 7 años con predominio de mujeres en tanto que la edad más tardía para ese periodo se dio a los 12 años y correspondió al sexo masculino

**Conclusión/es:** La maduración esquelética es uno de los parámetros más confiables para evaluar el crecimiento y desarrollo de un individuo. La literatura reporta que las mujeres maduran a otro ritmo que los varones, aproximadamente uno o dos años antes que los hombres resultados coincidentes con este estudio.

002

## ID 1963 DEMANDA DE ATENCIÓN EN LA CÁTEDRA DE ODONTOLÓGIA INTEGRAL NIÑOS DE LA FOUBA

Cynthia Elba Baggini, Mariana Bertolino, Diana Fridman, Analía Miño.  
Cátedra de Odontología Integral Niños. FOUBA.

**Introducción:** La Catedra de Odontología Integral Niños de la F.O.U.B.A, es considerada un referente de la especialidad. Brinda atención de urgencias e integral a pacientes que concurren por demanda espontánea o derivados por instituciones tanto del sector público como privado.

**Objetivo/s:** Analizar y comparar la demanda de atención por urgencias y primera consulta en una comisión de la Cátedra de Odontología Integral Niños de la FOUBA durante los años 2020, 2021, 2022, y 2023.

**Materiales y Métodos:** Diseño retrospectivo, comparativo y observacional. Los registros de los pacientes ingresados obtenidos de la base de datos de la secretaría asistidos fueron volcados en una planilla Excel creada para tal fin, consignando género, edad y motivo de consulta (urgencias y primera consulta). Se calcularon medias, D.S y porcentajes utilizando el test de Chi cuadrado para las comparaciones.

**Resultados:** Se conformaron 4 grupos según el año de concurrencia; G20: 270, G21: 475; G22:546 G23:519 pacientes de 0 a 16 años. Respecto al género, fue femenino el 49%, 50%, 54% y 46.13% en G20, G21, G22 y G23 respectivamente (p= 0.2457). La edad media fue de 8.1±3.87; 10.04±3.36, 9.88±3.62 y 9.29 ± 3.56 años en cada uno de los grupos. (p<0,001). Concurrieron por urgencias 31,85%; 27,58%, 65,75% y 36.03%, y para primera consulta el 5,93%, 72,42% y 34,25% y 63.97 en 2020, 2021, 2022 y 2023 respectivamente (p < 0.001)

**Conclusión/es:** En el último año se observó una mayor concurrencia de pacientes de primera vez, y disminución de las urgencias respecto del año anterior 2022.



003

ID 1969

**PREVALENCIA DE HIPOMINERALIZACIÓN MOLAR FACULTADES DE ODONTOLÓGIA DE LA UNIVERSIDAD DE BUENOS AIRES Y DE LA UNIVERSIDAD NACIONAL DE CÓRDOBA**Diana E. Fridman<sup>1</sup>, Fabiana Carletto Korber<sup>2</sup>, Silvina Cortese<sup>1</sup>, Ana Biondi<sup>1</sup>.

1. Cátedra de Odontología Integral Niños, FOUBA. 2. Odontopediatría A, Facultad de Odontología, Universidad Nacional de Córdoba.

**Introducción:** La Hipomineralización Molar (HM), en la actualidad es considerada como una “enfermedad emergente” que, recientemente ha aumentado su frecuencia y alcance geográfico convirtiéndose en un problema de salud pública.

**Objetivo/s:** Estimar y comparar la prevalencia de HM en niños que demandan atención en las cátedras de Odontología Integral Niños de FOUBA y de Odontopediatría A de la Facultad de Odontología de la UNC

**Materiales y Métodos:** Diseño prospectivo, observacional, transversal y descriptivo incluyendo todos los niños nacidos entre 2006 y 2016 con por lo menos 4 primeros molares y 8 incisivos permanentes erupcionados, asistidos en las cátedras de Odontología Integral Niños (UBA) y de Odontopediatría A (UNC) entre abril y agosto de 2024. Se conformaron dos grupos: A (Buenos Aires) y B (Córdoba). El diagnóstico clínico fue realizado por docentes de ambas cátedras (Kappa: 0,89) con los criterios de Mathu-Muju y Wright. Se registraron en planillas diseñadas para tal fin sexo, año de nacimiento, presencia de HM y grado máximo de severidad de cada pieza dentaria afectada. La prevalencia de HM fue definida como el porcentaje de niños que presentaron por lo menos un molar permanente afectado, acompañado o no por lesiones en otras piezas. Los datos obtenidos fueron analizados utilizando porcentajes, Chi cuadrado y Test t de Student.

**Resultados:** Las muestras quedaron conformadas, A: 461 niños de edad media  $11.8 \pm 2.46$  años y B: 124 de  $9.35 \pm 1.58$  años. ( $p < 0.00001$ ). En relación al sexo no se observaron diferencias significativas entre ambos grupos. ( $p=0.1$ ). La prevalencia de HM fue de 30,81% en A y de 8,84% en B ( $p<0.001$ ). En ambos grupos todos los molares resultaron afectados en la misma proporción, mientras que la severidad leve fue la más frecuentemente hallada. La mayor severidad en A se halló en el 14,8% de los molares afectados mientras que en B no se observó en ninguno.

**Conclusión/es:** En estas muestras los niños que demandaron atención en la UNC mostraron menor prevalencia y menor severidad que los atendidos en la UBA.

004

ID 1972

**COMPLICACIONES DE LOS TRAUMATISMOS DENTOALVEOLARES EN PIEZAS PRIMARIAS Y PERMANENTES.**

Patricia Alurralde, Gisela Soliani, Soledad Bojaminsky Fontana, Mariana Bertolino.

Cátedra de Odontología Integral Niños, FOUBA.

**Objetivo/s:** Estimar la frecuencia y el tiempo de aparición de complicaciones en piezas primarias y permanentes tras un TDA. Analizar su relación con el tejido afectado.

**Materiales y Métodos:** Estudio descriptivo, retrospectivo (Comité de Ética N° 21/2021) en pacientes de 0 y 16 años que sufrieron TDA entre julio de 2014 y 2024 que concurren como mínimo a dos controles. Se conformaron 2 grupos: G1: dentición primaria-G2: dentición permanente. Se clasificaron los TDA según el tejido afectado: lesiones a tejidos duros (TD), al hueso de soporte (HS), al tejido de sostén (TS), combinadas (TCo). Se calcularon los porcentajes con IC 95%, Test chi-cuadrado para las comparaciones.

**Resultados:** La muestra quedó conformada por 333 pacientes ( $7,81 \pm 4,17$  años al momento del TDA), evaluándose 1181 piezas (G1:355-G2:826).

En G1, 21,97% presentaron: necrosis pulpar 57,69% (45.94 – 68.83), cambio de coloración 24,35% (15.32 – 35.42) y reabsorción radicular 17,94% (10.15 – 28.30). En G2, 16,10% presentaron: necrosis pulpar 66,17% (57.43 – 74.15), reabsorción radicular 22,56% (15.74 – 30.63), cambio de coloración 6,02% (2.62 – 11.52), obliteración pulpar 3,76% (1.21 – 8.56), anquilosis 1,50% (0.16 – 5.33).

En relación con el tejido afectado, en G1 los TD causaron el 36,36% de las consecuencias; TCo, el 22,73% y TS el 16,36% ( $p=0.0014$ ), siendo la necrosis pulpar 65,63% en TD, 55,56% en TS y 40% en TCo ( $p=0.64$ ). En G2, los TCo provocaron el 24,44% de las consecuencias, los TS 17,49% y los TD 14,20% ( $p=0.0534$ ). Presentaron necrosis pulpar el 83,33% de los TD, 59,46% los TS y 36,36% de los TCo ( $p=0.002$ ).

En cuanto al momento de manifestación de las complicaciones, en G1, la necrosis pulpar apareció en 33,39% al mes, aumentando al 37,5% a 3 meses, y alcanzando el 38,09% al año ( $p=0.2090$ ). En G2, necrosis pulpar se observó en el 12,2% al mes, 15,6% a 3 meses, 10,4% a 6 meses, y 11,9% al año ( $p=0.0451$ ).

**Conclusión/es:** En esta muestra la complicación más frecuente en ambas denticiones fue la necrosis pulpar, cuya frecuencia aumentó con el tiempo luego del TDA.

005

## ID 1975 FRECUENCIA DE OTRAS PIEZAS AFECTADAS EN PACIENTES PEDIÁTRICOS CON HIPOMINER- RALIZACIÓN MOLAR.

Jimena Alejandra Anchava, Silvina Gabriela Cortese, Ana María Biondi.  
Cátedra de Odontología Integral Niños, FOUBA.

**Introducción:** En 2001 se definió a la Hipomineralización Molar (HM) como una patología de origen sistémico que afecta uno o todos los primeros molares permanentes involucrando frecuentemente a incisivos permanentes.

**Objetivo/s:** Estimar la frecuencia de otras piezas afectadas en pacientes con HM que concurren para su atención a la cátedra de Odontología Integral Niños de FOUBA.

**Materiales y Métodos:** Diseño prospectivo, observacional, transversal y descriptivo incluyendo todos los niños con dentición completa asistidos en la cátedra de Odontología Integral Niños (UBA) entre abril y agosto de 2024. El diagnóstico clínico fue realizado por docentes (Kappa: 0.87) calibrados con los criterios de Mathu-Muju y Wright. Las variables registradas fueron: sexo, edad, presencia de HM y grados de severidad de cada pieza. Los datos obtenidos fueron analizados utilizando medias, porcentajes con sus respectivos IC 95% y Odds Ratio.

**Resultados:** Muestra 173 pacientes, edad media  $14 \pm 1,6$ , 58,39% de sexo femenino. El 27,74% IC (21,35-35,14) presentaron HM (edad  $13,54 \pm 1,86$ ; 66,7% femeninos) con lesiones en todos los grupos dentarios. Los primeros molares permanentes resultaron afectados en un 54,69% (47,34-61,89). En orden decreciente los incisivos 17,26% (13,63-21,42), segundos molares 12,5% (8,16-18,04), primeros premolares y caninos 10,94% (6,89- 16,25) y segundos premolares 8,85% (5,23-13,81). El 87,84% de las lesiones fueron leves, 8,23% moderadas y solo hubo hallazgo de severas en primeros (1,96%) y segundos molares (1,96%). Los incisivos superiores estuvieron más afectados que los inferiores (OR 5,38).

**Conclusión/es:** En esta muestra, si bien los primeros molares e incisivos fueron los más afectados, todos los grupos dentarios presentaron lesiones, con mayor frecuencia en los segundos molares.

006

## ID 1977 PREVALENCIA DE HIPOMINERALIZACIÓN MOLAR EN NIÑOS DE AMBA.

Mariana Bertolino, Silvina Gabriela Cortese, Ana María Biondi.  
Cátedra de Odontología Integral Niños, FOUBA.

**Introducción:** La literatura revela que en la actualidad 1 de cada 5 niños padece hipomineralización molar (HM) reportándose 14 millones de nuevos casos por año

**Objetivo/s:** Estimar la prevalencia de hipomineralización molar en niños con y sin demanda de atención de AMBA y compararla con los valores hallados en 2011.

**Materiales y Métodos:** Diseño prospectivo, observacional, transversal y descriptivo incluyendo todos los niños nacidos entre 2006 y 2016 con por lo menos 4 primeros molares y 8 incisivos permanentes erupcionados. Se conformaron dos grupos: Grupo A: pacientes asistidos en sistema público arancelado con demanda de atención espontánea (A1: Cátedra de Odontología Integral Niños FOUBA) y en 3 consultorios privados de la misma zona (A2) y Grupo B: niños sin demanda de atención pertenecientes a una escuela pública rural de la provincia de Buenos Aires y al Departamento de Salud del Centro Boado Garrigós (CABA). Los niños fueron evaluados por docentes de FOUBA Kappa: 0,92 IC 0,89-0,97 entre abril y agosto de 2024. Se registraron las siguientes variables: edad, presencia de HM y grados de severidad de cada pieza. Los datos obtenidos fueron analizados utilizando medias, porcentajes con IC 95%, test de Fisher para la comparación de las prevalencias y ANOVA para las edades.

**Resultados:** La muestra se conformó con 987 niños, edad media  $11,88 \pm 2,39$ , con una prevalencia de HM del 34,34% (31,37-37,41). A1 (n=441), A2 (n=443) y B (103) registraron edades medias de  $11,7 \pm 2,66$ ,  $11,92 \pm 2,38$  y  $11,91 \pm 2,38$  años respectivamente ( $p=0,766$ ). En A (n=884,  $11,9 \pm 2,8$  años) la prevalencia de HM fue de 37,13% y en B de 12,62% ( $p=0,000$ ). Los niños con demanda de atención y cobertura de salud revelaron los mayores valores de prevalencia (A2= 41.34%). Respecto a la severidad, los primeros molares revelaron mayor frecuencia de lesiones leves (44,28%) en A, mientras que en B se identificaron mayormente moderadas (62,5%). En 2011 con una muestra de 704 niños edad  $11,4 \pm 0,84$  se obtuvo una prevalencia de 13,92% siendo significativo el incremento comparado con los resultados actuales ( $p=0,000$ ).

**Conclusión/es:** En esta muestra se observó un incremento en la prevalencia de HM comparada con la hallada en 2011. Los niños sin demanda de atención mostraron baja frecuencia, pero con mayor severidad.

007

ID 1982

**MASTICACIÓN ALTERNADA Y UNILATERAL. ESTUDIO PRELIMINAR**María Laura Navarro, Elena Medina, Erica Rodríguez Rhis, Nancy Beatriz Mendel.  
Cátedra de Odontología Integral Niños. FOUBA.

**Introducción:** La masticación sin alternancia, sostenida en el tiempo, puede influir en el crecimiento y desarrollo de los maxilares generando asimetrías en los maxilares

**Objetivo/s:** Estimar la prevalencia del tipo de masticación alternada y sin alternancia, y su relación con asimetrías óseas y de la oclusión.

**Materiales y Métodos:** Diseño observacional, descriptivo y transversal. Fueron evaluados 47 pacientes de entre 6 y 16 años, edad promedio 9,8 años, 53% de sexo masculino y 47% femenino, que concurren a la Cátedra de Odontología Integral Niños FOUBA, entre marzo/septiembre 2024. Las variables consideradas fueron: tipo de masticación, evaluada según observación visual de cada paciente mientras mastica un trozo de zanahoria de 1 cm<sup>3</sup> durante 30 segundos (Saloni, 2005). Lado de la mínima dimensión vertical, realizada clínicamente con el equitest. Para establecer si hay asimetrías óseas, se analizó la radiografía panorámica junto con el Panorograma de simetría (Simoes, 2004). Tres docentes investigadores calibrados (Kappa => 0,7), pertenecientes a la cátedra realizan la recolección de datos. Se utilizó el método score de Wilson para estimar intervalos de confianza de porcentajes al 95% (IC95). Para evaluar asociación entre variables categóricas se utilizó la prueba Chi-cuadrado, con un nivel de significación del 5%.

**Resultados:** El 32% de los pacientes presentó masticación bilateral (19-42) y el 68% unilateral (52-80). Clínicamente, presentan una desoclusión simétrica el 9% (2,8-21,0) y asimétrica el 91% (79-97). Radiográficamente se observa el piso de órbita simétrico en el 21% (11-36) de los casos y asimétrico en el 79% (64-88), hay coincidencia del punto mentoniano con la línea media en el 40% (26-55) y sin coincidencia en el 59% (44-73), y el nivel de recambio dentario es simétrico en el 19% (9-33) de los pacientes, y asimétrico en el 81% (63-90). No se encontró diferencia significativa en las asimetrías clínicas y radiográficas entre los masticadores con y sin alternancia ( $p>0,05$ ).

**Conclusión/es:** En esta muestra se encontró un predominio de masticación sin alternancia, sin evidenciar diferencias significativas de asimetrías en ambos grupos.

008

ID 1983

**SECUELAS EN LA DENTICIÓN PERMANENTE TRAS UN TRAUMA EN LA DENTICIÓN PRIMARIA**Karina Melian, Analía Miño, Jimena Anchava.  
Cátedra de Odontología Integral Niños, FOUBA.

**Objetivo/s:** Determinar la frecuencia e identificar el tipo de secuelas en la dentición permanente tras un traumatismo dentoalveolar (TDA) en su predecesor. Relacionar la aparición de dichas secuelas con el tipo de tejido afectado y la edad al momento del TDA.

**Materiales y Métodos:** Estudio descriptivo, retrospectivo (Comité de Ética N°21/2021) incluyó pacientes menores de 6 años al momento del TDA en incisivos primarios, atendidos en la Cátedra OIN-FOUBA entre julio de 2014 y 2024. Se registraron: sexo, edad al momento del TDA, tipo de TDA según el tejido afectado: lesiones a tejidos duros (TD), al hueso de soporte(HS), al tejido de sostén (TS), combinadas (TCO); y tipo de secuela en el sucesor. Se calcularon edad media y su desvío standard, porcentajes con IC-95%, Test Chi cuadrado para las comparaciones.

**Resultados:** La muestra quedó constituida por 29 pacientes, 51.72% sexo masculino de  $4,37\pm 1,34$  años al momento del TDA. Se evaluaron 76 piezas dentarias permanentes. La frecuencia de secuelas fue 28.95%. En orden decreciente: opacidades 68.18%(45.06–86.20), hipoplasias 9.09%(1.03–29.20), alteración eruptiva 9.09%(1.03–29.20), malformación coronaria y radicular 9.09%(1.03–29.20), malposiciones 4,55%(0.05–22.86). Se observó una relación estadísticamente significativa entre el tipo de lesión traumática en la pieza primaria y la aparición de secuelas en el sucesor permanente ( $p=0.0193$ ). Los TCO produjeron el 61.54% de las secuelas. El 100% de las piezas traumatizadas antes de los 2 años presentaron secuelas: las luxaciones laterales causaron exclusivamente opacidades(100%), las intrusiones provocaron opacidades(75%) e hipoplasias(25%), y los TCO resultaron en 33.3% de opacidades, 33,3% de alteraciones eruptivas y 33.3% de malformaciones coronarias y radiculares. En TDA ocurridos entre 3 – 4 años presentaron secuelas el 21.63%, entre 5 – 6 años 8.58%, con diferencias significativas ( $p = 0.000$ )

**Conclusión/es:** En esta muestra se observaron diferencias significativas entre la edad en que ocurre el TDA y el tipo de traumatismo, con respecto a las secuelas observadas en la dentición permanente.

009

ID 1989

### ANÁLISIS DE LOS TRATAMIENTOS PULPARES EN DENTICIÓN PRIMARIA REALIZADOS EN LA CÁTEDRA ODONTOLÓGICA INTEGRAL NIÑOS DE FOUBA

Giselle Anahí Zacharczuk, Marina Andrea Toscano, Silvina Paula Escobar.  
Cátedra de Odontología Integral Niños, FOUBA.

**Objetivo/s:** Estimar el porcentaje de pacientes que requirieron tratamientos pulpares en dentición primaria (TPDP) durante el año 2023 en la Cátedra Odontología Integral Niños de FOUBA (COIN FOUBA). Comparar en función del sexo e identificar el tipo de tratamiento, agente pulpar o pasta de obturación, tipo de restauración y pieza dentaria más afectada.

**Materiales y Métodos:** Diseño descriptivo, retrospectivo y transversal presentado al Comité de Ética de la FOUBA. Se evaluaron todas las historias clínicas de pacientes entre 1 y 10 años inclusive que recibieron tratamiento integral en grado y posgrado en COIN FOUBA durante el año 2023. Se excluyeron aquellas con documentación incompleta. Para cada paciente se registró: edad, sexo, tipo de TPDP realizado en 2023, material empleado, tipo de restauración y pieza dentaria tratada. Los datos se ingresaron a una base de datos Excel para su análisis estadístico mediante porcentajes e intervalos de confianza del 95% y chi cuadrado para las comparaciones.

**Resultados:** La muestra quedó constituida por 777 pacientes de edad media 7,51 años (DS 1.84), 50,32% de sexo femenino. El 31,78% (28.54-35.21) de los pacientes requirió al menos un TPDP, no hallándose diferencias significativas en relación al sexo ( $p > 0.05$ ). Se realizaron 414 tratamientos pulpares, correspondiendo a pulpotomías el 89,85% (86.43-92.51), pulpectomías el 9,66% (7.07-13.02) y protecciones pulpares directas el 0,48% (0.06-1.77). El 79,83% (75,32-83,72) de las pulpotomías vitales o no vitales incluyó formocresol. El material de obturación radicular más utilizado fue la pasta lentamente reabsorbible de Maisto (77,5%, 48.70-91.52). El 58,70% (53.77-63.45) de las piezas tratadas se restauraron con corona de acero. Las piezas más afectadas fueron los segundos molares inferiores (8.5: 16,18% y 7.5: 14,97%).

**Conclusión/es:** En este estudio, cerca de la tercera parte de los niños atendidos requirió la realización de tratamientos pulpares en dentición primaria, siendo la pulpotomía el procedimiento más utilizado. A pesar del desarrollo de nuevas técnicas y del surgimiento de nuevos materiales el formocresol fue el agente más empleado.

010

ID 2003

### CARIES TEMPRANA DE LA INFANCIA: PREVALENCIA Y FACTORES DE RIESGO.

Marcelo Gabriel Fernández, Julia Aída Fuks, Teresa Noemi Levy, Valeria Mabel Matyus, Nancy Beatriz Mendel.  
Cátedra de Odontología Integral Niños, FOUBA.

**Objetivo/s:** Determinar la presencia de caries, placa visible y hábitos dietéticos en niños que concurren a salas de 3 años de jardines de infantes.

**Materiales y Métodos:** Se realizó un estudio descriptivo, transversal. La población meta fue de 85 niños que concurren a dos jardines de infantes de gestión pública de CABA y Avellaneda, entre los meses de abril y julio de 2024. Los padres autorizaron la participación de los mismos a través de la firma de un consentimiento informado. Tres docentes calibrados de la Cátedra de Odontología Integral Niños de la FOUBA realizaron un examen visual táctil en aulas bien iluminadas. Se calculó el índice ceod y el componente cd (Klein, Palmer, Knutson 1938, OMS 1997), y se registró la presencia de placa visible (Habibian M, 2001). A partir de un cuestionario validado (en la Cátedra), autoadministrado a los padres, se obtuvieron los datos de los hábitos alimenticios de la familia. Se estimaron intervalos de confianza al 95% (IC95) para porcentajes mediante el método score. Se calculó la media aritmética con DS para variable numérica, y la asociación de variables con Chi Cuadrado.

**Resultados:** La prevalencia de caries fue del 42.35% (31.5-53.2). El componente c del ceod fue de  $2.09 \pm 3.5$ . El 44% (33.4-55.2) de los niños de 3 años presentó placa visible. El 67% de los niños toma bebidas azucaradas en las comidas y el 55% (44-65.7) entre comidas. El 7% (3-15) se duerme con mamadera y el 23.5% (15-33.6) toma mamadera actualmente. El 95% (87-98) de los padres dicen cepillar los dientes diariamente. El 60% (49-70) de los niños duermen en colecho. Se encontró asociación significativa entre placa visible y caries ( $p = 0.01$ ).

**Conclusión/es:** En esta muestra se observó que los niños de 3 años presentan caries activas, tienen hábitos dietéticos considerados de alto riesgo cariogénico y presencia de placa visible.



011

### ID 2043 PIGMENTACIÓN POR CAFÉ DE RESINAS COMPUESTAS POLIMERIZADAS CON DISTINTAS UNIDADES DE CURADO

Mariana Rivelli<sup>1</sup>, María Alejandra Lei<sup>1</sup>, Gastón José Marquez<sup>1</sup>, Natalia Gonzalez<sup>1</sup>, Nahuel Toledo<sup>1</sup>, Pablo Salgado<sup>2</sup>, Mariana Picca<sup>1</sup>.  
1. Cátedra Materiales Dentales, FOUBA. 2. Cátedra de Microbiología y Parasitología, FOUBA.

**Objetivo/s:** El objetivo de este estudio fue evaluar el cambio de coloración de resinas compuestas fotopolimerizables con diferentes unidades de curado, luego de la inmersión en café.

**Materiales y Métodos:** Se prepararon probetas cilíndricas de 7 mm de diámetro y 2 mm de espesor con cuatro resinas compuestas: Palfique LX 5 OP A2 (Tokuyama), Profil posterior A2 (Silmet), Forma A2D (Ultradent), Forma WD (Ultradent). Se fotopolimerizaron durante 20 s con las unidades de fotocurado Valo X (Ultradent), Valo Grand (Ultradent), Coltolux Led (Coltene) y Woodpecker (Guilin Woodpecker Medical Instrument). Se pulieron con papel de lija al agua hasta grano 2500. Cada grupo quedó conformado con 5 probetas de cada material y polimerizados con distintas unidades de polimerización. Se registró color inicial con el espectrofotómetro EasyShade (Vita Zahnfabrik) en escala de color CIE Lab. Se preparó café (Café tostado molido tipo italiano fuerte) y se sumergieron las probetas en 10 ml a 37°C. Se limpiaron con agua destilada y se volvieron a tomar el color a los 7 días. Se calculó la diferencia de color  $\Delta E$  con la fórmula  $\Delta E = [(\Delta L)^2 + (\Delta a)^2 + (\Delta b)^2]$  donde  $\Delta L$ ,  $\Delta a$  y  $\Delta b$  son las diferencias de los valores L, a y b en los tiempos inicial y final. La media obtenida de cada grupo fue analizada por medio de ANOVA y test de Tukey. El nivel de significación fue establecido en  $p < 0,05$ .

**Resultados:** En  $\Delta E$  el resultado del ANOVA mostró una diferencia estadísticamente significativa para los materiales Forma WD y Profil posterior A2. El cambio de color es perceptible al ojo humano ( $\Delta E$  mayor a 3,3).

**Conclusión/es:** Bajo las condiciones experimentales de este trabajo puede concluirse que la unidad Valo X dieron menores valores de cambios de coloración en los grupos Forma WD y Profil posterior A2.

012

### ID 2044 EFECTO DE DIFERENTES UNIDADES DE FOTOCURADO EN LA MICRODUREZA DE RESINAS COMPUESTAS

Mariana Rivelli, María Alejandra Lei, Gastón José Márquez, Natalia González, Nahuel Toledo, Patricia Suriaga, Mariana Picca.  
Cátedra Materiales Dentales, FOUBA.

**Objetivo/s:** El objetivo de este estudio fue evaluar la microdureza Vickers top-bottom de distintas resinas compuestas polimerizadas con diferentes unidades de fotocurado.

**Materiales y Métodos:** Se seleccionaron cuatro resinas compuestas Palfique LX 5 OPA2 (Tokuyama), Profil posterior A2 (Silmet), Forma A2D (Ultradent), Forma WD (Ultradent). Se prepararon 20 probetas cilíndricas de cada material de 7 mm de diámetro y 2 mm de espesor. Las resinas compuestas se fotopolimerizaron durante 20 s con unidad LED (Woodpecker (W) Guilin woodpecker medical instrument; Coltolux (C) Coltene), Valo X (VX) y Valo Grand (VG) (Ultradent). Cada grupo quedó conformado con 5 probetas de cada material y polimerizados con distintas unidades de fotopolimerización. Se realizaron tres mediciones de microdureza Vickers al azar top y bottom con durómetro (fuerza 100 g, tiempo 10 s). Los resultados de microdureza se analizaron utilizando test de Anova y test de Tukey. El nivel de significación fue establecido en  $p < 0,05$ .

**Resultados:** El análisis de varianza indica efecto significativo de los factores producto y dispositivo, indica que no todos los dispositivos producen el mismo efecto en los distintos productos.

**Conclusiones:** En las condiciones experimentales de este trabajo puede concluirse que hubo diferencias significativas entre los factores producto y dispositivo.



013

**ID 2049**  
**RELACIÓN ENTRE TEMPERATURA DE CURADO DE LAS RESINAS COMPUESTAS E INJURIA DEL COMPLEJO DENTINO-PULPAR CON UNIDADES DE POLIMERIZACIÓN POLYWAVE**

Lucía Leandra Lauriola<sup>1</sup>, Luciana Marcarian<sup>1</sup>, Andrada Virginia<sup>1</sup>, Andrada Candela<sup>1</sup>, Christian Lezon<sup>2</sup>, Silvia Liliana Zaiden<sup>1</sup>.  
1. Cátedra de Preclínica de Odontología Restauradora, FOUBA. 2. Cátedra de Fisiología, FOUBA.

**Introducción:** El gran desafío para el clínico general es el cuidado del complejo dentinopulpar, desde la preparación hasta la restauración. Uno de los motivos de injuria pulpar es el aumento de temperatura generado por las Unidades de Polimerización Polywave (UPP) de alta potencia. Las mismas son actualmente utilizadas en búsqueda de activar una gama más amplia de fotoiniciadores, presentes en las de resinas compuestas.

**Objetivo/s:** Evaluar y comparar la temperatura de tres unidades de polimerización (UP) en 5 tiempos de trabajo, 0, 5, 10, 15 y 20 segundos (s). a una distancia de 0 mm.

**Materiales y Métodos:** Se seleccionaron 3 UPP de 4 led, nuevas, sin uso, con 3 luces led azules y 1 luz violeta, que presenten una irradiancia según guion técnico no superior a 2000 mw/seg en modo standards. Las unidades utilizadas para realizar este estudio fueron: Grupo 1 (G1) Grand Valo (ultradent), Grupo 2 (G2) Curing Ligth model Led II (woodpecker) y Grupo 3 (G3) Shift (Coxo). Se realizaron mediciones de irradiancia de cada UPP con un radiómetro LED lighth Meter LM -1, woodpecker, tolerancia  $\pm 10\%$  a una distancia de 0 mm en modo Standard. Las mediciones de temperatura se llevaron a cabo con un termómetro digital GP- 300, siendo registrado el tiempo con un cronómetro digital aplicación reloj de Iphone 15 pro max en los siguientes tiempos (T) ininterrumpidos a las 0, 5, 10, 15 y 20 seg.

**Resultados:** Los resultados obtenidos fueron para T 0 s: los promedios fueron G1  $26,82 \pm 1,63$  °C; G2  $26,64 \pm 1,63$  °C; G3  $27,7 \pm 0,05$  °C,  $p > 0,6943$ . T 5 s: los valores promedios registrados para G1  $67,9 \pm 0,53$  °C; G2  $78,86 \pm 0,51$  °C; G3  $60,94 \pm 0,42$  °C  $p < 0,01$ . T 10 s media G1  $68,7 \pm 0,36$  °C; G2  $78,52 \pm 0,68$  °C; G3  $62 \pm 0,28$  °C  $p < 0,01$ . T 15 s la media para los grupos G1  $69,9 \pm 0,59$  °C; G2  $78,78 \pm 0,72$  °C; G3  $63,48 \pm 0,56$  °C  $p < 0,01$ . Y a los T 20 s los datos fueron los siguientes G1  $70,94 \pm 0,65$  °C; G2  $79,14 \pm 0,53$  °C; G3  $65,24 \pm 0,99$  °C con un  $p < 0,01$

**Conclusión/es:** Se observó un aumento de temperatura en los T5s, T10s, T15s, T20s para los G1, G2 y G3 con diferencia significativa siendo la UP que mayor temperatura alcanzó la Curing Ligth model Led II (woodpecker) Grupo 2 y la de menor temperatura Shift (Coxo) Grupo 3, pero todas superaban los  $42,5$  °C.

014

**ID 2053**  
**ESTUDIO DESCRIPTIVO DE FLUORESCENCIA EN DISTINTOS MATERIALES RESTAURADORES FRENTE A DIFERENTES TIPOS DE LUCES**

Patricia Alexandra Suriaga Aray<sup>1</sup>, Ricardo Federico Schäfer<sup>2</sup>, Daniel Maquieira<sup>3</sup>, María José Molina<sup>1</sup>, Luciano Toriani<sup>2</sup>, Mariana Picca<sup>1</sup>.  
1. Cátedra de Materiales Dentales, FOUBA. 2. Schäfer Dental Lab. 3. Cátedra de Preclínica de Rehabilitación Protética, FOUBA.

**Objetivo/s:** Evaluar la fluorescencia de diversos materiales restauradores expuestos a condiciones lumínicas diferentes.

**Materiales y Métodos:** Se realizó un estudio descriptivo y observacional. Se diseñaron muestras de 1 cm de diámetro y 1 mm de espesor con el programa de diseño Meshmixer y se fresaron con máquina MOTION 3 de Amann Girrbach. Se fabricaron 19 muestras: 10 de Zirconia, 6 de Disilicato de Litio, 1 de Leucita, 1 de resina CAD CAM, y 1 de resina artesanal creada con el conformador #7015 de Smile. Las muestras fueron expuestas a diferentes fuentes de luz (fluorescente, led 365 nm, led 405 nm) montadas en trípodes independientes. Las imágenes fueron capturadas con un dispositivo móvil fijado a una misma distancia.

**Resultados:** Las probetas de Zirconia no mostraron fluorescencia frente a ninguna fuente de luz. El 16% de las probetas de disilicato de litio mostraron respuesta frente al tubo fluorescente, el 33% frente a la Led 365 nm y el 0% frente a la Led 405 nm. La respuesta de la probeta de Leucita fue positiva con el tubo fluorescente y led 365 nm, mientras que con la luz Led 405 nm no tuvo respuesta. La resina Cad Cam no se mostró fluorescente frente a ninguna luz y la Resina artesanal tuvo respuesta frente a todas, siendo super fluorescente ante los dispositivos leds 405 nm y 365 nm.

**Conclusión/es:** El 100% de los materiales estudiados no mostró fluorescencia ante la luz LED de 405 nm. La respuesta de fluorescencia fue variada frente a la luz LED de 365 nm y el tubo fluorescente.



015

ID 2063

**ANÁLISIS DE ESTABILIDAD DE COLOR, RUGOSIDAD SUPERFICIAL Y POROSIDAD DE UNA RESINA IMPRESA EN 3D PARA PRÓTESIS FIJAS PROVISIONALES EXPUESTA A DIFERENTES PROTOCOLOS DE PULIDO**Artur Ferronato Soto<sup>1</sup>, Giovanni Eduardo Adriano Júnior<sup>1</sup>, Matheus Germano Ramos da Silva<sup>1</sup>, Glauber Macedo Rama<sup>2</sup>, Juliana Silva Ribeiro de Andrade<sup>1</sup>, Maurício Malheiros Badaró<sup>1</sup>.<sup>1</sup>. Departamento de Odontología, Universidad Federal de Santa Catarina (UFSC). <sup>2</sup>. Departamento de Materiales Dentales y Prótesis, Universidad de São Paulo (USP).

**Objetivo/s:** Analizar longitudinalmente la estabilidad del color, y posteriormente la rugosidad y porosidad de una resina de impresión 3D expuesta a una solución colorante con diferentes protocolos de pulido.

**Materiales y Métodos:** Las coronas y los troqueles provisionales fueran proyectados virtualmente e impresos por el método aditivo. Hubo la aleatorización de las muestras asignadas en 5 grupos (n= 16): control (C) y barnices Megaseal (MS); Palaseal (PS); PriZmaseal (PZS); Cosmos Creation (CC). La evaluación del color (sistemas CIELab y NBS) se realizó con un espectrofotómetro después de imprimir, cementar, pulir y sumergir en café durante 1, 3, 6 y 12 meses simulados. La rugosidad se analizó cuantitativamente con perfilómetro y cualitativamente con microscopia electrónica de barrido, mientras que la porosidad se analizó mediante microtomografía (micro-CT).

**Resultados:** El grupo PZS cambió de color significativamente para todos los tiempos de inmersión (p<0,001), mientras que a 1, 3 y 6 meses PS, MS y CC fueron similares, y en la clasificación NBS solo PZS (27,13 ± 2,20) tuvo un cambio de color muy grande, mientras que PS (5,26 ± 2,09) fue apreciable y los demás tuvieron un cambio grande. La rugosidad (µm) para C (0,853 ± 0,343) y PS (0,849 ± 0,639) fue similar con valores más bajos, mientras que PZS (2,858 ± 2,108) tuvo valores más altos con una diferencia significativa (p=0,001). La porosidad (µm<sup>2</sup>) en el grupo MS tuvo los valores más altos, (520,220 ± 888,459) seguido de PZS (410,417 ± 794,223), con una diferencia entre grupos (p=0,001), este último con una mayor cantidad de poros (1711). Los datos de color fueron paramétricos, con pruebas ANOVA de una y dos vías aplicadas a comparaciones inter e intragrupos, respectivamente, con post-hoc Sidak (p<0,001), mientras que la rugosidad y porosidad tuvieron datos no paramétricos, fue aplicada la prueba de Kruskal-Wallis con post hoc Bonferroni (p=0,001).

**Conclusión/es:** Se concluyó que Palaseal promovió una mayor estabilidad del color y los menores cambios de superficie, mientras que PriZmaseal provocó los mayores cambios. Los demás protocolos de pulido fueran intermedios.

016

ID 2137

**RESISTENCIA A LA COMPRESIÓN EN PREMOLARES ENDODÓNTICAMENTE TRATADOS Y REHABILITADOS CON TRES TIPOS DE TÉCNICAS: SUSTITUTO DENTINARIO, ANCLAJE INTRARADICULAR Y REFUERZO CON FIBRAS**Paula Cebada<sup>1</sup>, Sofía Antonella Pascual<sup>1</sup>, Josefina Ingrassia<sup>1</sup>, Eliana Mamani<sup>1</sup>, Romina Chaintiou Piorno<sup>1</sup>, Pablo Martínez<sup>2</sup>, Francisco Somoza<sup>1</sup>, Mariana Picca<sup>2</sup>, Ariel Gualtieri<sup>1</sup>, Pablo Rodríguez<sup>1</sup>.<sup>1</sup>. Cátedra de Endodoncia, FOUBA. <sup>2</sup>. Cátedra de Materiales Dentales, FOUBA

**Introducción:** La restauración post endodóntica cumple un papel fundamental ya que se ha comprobado la existencia de un alto índice de fracasos asociados a la falta de un adecuado sellado a nivel coronal. Una de las problemáticas del diente endodónticamente tratado (DET) es la pérdida significativa de tejido coronario debido a la presencia de lesiones cariosas o no cariosas, restauraciones previas filtradas y/o la cavidad de acceso endodóntico. Se ha estudiado que lo que más contribuye a la disminución de la resistencia de una pieza dentaria ante cargas oclusales es la ausencia de uno o de los dos rebordes marginales.

Estrategias restauradoras:

- Anclajes intrarradiculares o postes
- Resinas de curado dual o sustitutos dentinarios
- Fibras de polietileno de alto peso molecular

**Objetivo/s:** Comparar la resistencia a la compresión de premolares inferiores endodónticamente tratados con cavidades mesio ocluso distales (MOD) y restaurados con distintos protocolos de reconstrucción post endodóntica (postes de fibra de vidrio, refuerzo con fibras o sustituto dentinario), in vitro.

**Materiales y Métodos:** Se utilizaron 40 premolares inferiores unirradiculares que fueron divididos en cuatro grupos experimentales (n=10). Las muestras del grupo control permanecieron intactas. 30 piezas dentarias fueron tratadas endodónticamente y se les realizaron preparaciones (MOD) estandarizadas. Un grupo fue restaurado mediante sustituto dentinario, en otro se utilizó poste de fibra de vidrio y en el último grupo experimental se emplearon fibras de refuerzo de polietileno. La anatomía final se reconstruyó con resina compuesta. Las muestras fueron sometidas a fuerzas compresivas axiales hasta la fractura en una máquina de ensayo universal tipo INSTRON modelo 1011. La resistencia a la compresión calculada en Newton se describió mediante los siguientes parámetros: mediana con intervalo de confianza al 95% (IC95), media, desviación estándar (DE), primer cuartil (Q1), tercer cuartil (Q3), mínimo (Mín) y máximo (Máx). Los datos se analizaron mediante la prueba de Kruskal-Wallis (p<0,05, significativo).

**Resultados:** La mediana (IC95) de la resistencia a la compresión (N) en protocolos control, con ParaCore, ParaPost y Ribbond fue de 557,4 (100,8 a 574,8), 345,1 (216,8 a 574,9), 427,5 (146,3 a 495,4) y 471,4 (194,2 a 565,5), respectivamente (p = 0,84).

**Conclusión/es:** La descripción de los datos muestrales sugiere que la mayor resistencia se obtendría mediante el protocolo con refuerzo con fibras, seguido por la utilización de anclaje intrarradicular y sustituto dentinario. Sin embargo, estas diferencias no llegaron a ser estadísticamente significativas.

017

ID 2151

### EVALUACIÓN DE LA MICRODUREZA VICKERS DE UN COMPOSITE BIOACTIVO, UN IONÓMERO VÍTREO MODIFICADO CON RESINAS Y UN COMPOSITE FOTOPOLIMERIZABLES

Mara Casal<sup>1</sup>, Ana María Biondi<sup>2</sup>, Gabriela Cortese<sup>2</sup>, Marcela Lespade<sup>1</sup>, Mariana Picca<sup>1</sup>, Pablo Salgado<sup>3</sup>, Analía Garrofé<sup>1</sup>.

1. Cátedra de Materiales Dentales, FOUBA.2. Cátedra de Odontología Integral Niños, FOUBA.3. Cátedras de Microbiología y Parasitología y de Odontología Preventiva y Comunitaria, FOUBA, Instituto de Investigaciones en Salud Pública, UBA.

**Objetivo/s:** El objetivo de este trabajo fue evaluar la microdureza Vickers de un composite bioactivo, un ionómero vítreo modificado con resinas y un composite fotopolimerizables.

**Materiales y Métodos:** Para la confección de las probetas (n=5) se utilizaron tres materiales restauradores: una resina compuesta 3M™ Filtek™ Z250 (3M) [Z], un ionómero vítreo modificado con resinas Vitremer™ (3M) [V] y un composite bioactivo ("alkasite") Cention N® (Ivoclar Vivadent) [C], utilizando como sistema adhesivo Single Bond™ Universal para [C] y [Z], y para [V] se utilizó el primer provisto por el fabricante. Para la fotopolimerización de los materiales se utilizó una unidad de curado Coltulux LED (Coltene), con longitud de onda de 450 a 470 nm, y una irradiancia de 1000 mW/cm<sup>2</sup>. Una vez fotopolimerizada cada probeta se determinó la microdureza Vickers (HV) de manera inmediata (t<sub>0</sub>) y a los 7 días (t<sub>1</sub>), utilizando un microdurómetro Vickers Future Tech modelo FM300, realizando en cada probeta tres indentaciones, con 300 g durante 15 segundos, en la superficie expuesta a la unidad de curado ("top") con la finalidad de analizar los valores de microdureza en la superficie de influencia de la radiación electromagnética. El almacenamiento durante 7 días se realizó con las probetas sumergidas en agua destilada dentro de una estufa a 37°C. Los resultados se analizaron estadísticamente mediante prueba no paramétrica ANOVA, y para comparar los tiempos 0 y 1 para cada uno de los materiales se utilizó el test de Student para muestras relacionadas (p<0.05).

**Resultados:** La mediana y el rango intercuartil (p<sub>25</sub> y p<sub>75</sub>) para cada material en t<sub>0</sub> fueron: [Z] 71,5 (p<sub>25</sub>: 56,3 / p<sub>75</sub>: 75,3); [V] 72,4 (p<sub>25</sub>: 70,0 / p<sub>75</sub>: 77,5); [C] 65,7 (p<sub>25</sub>: 64,1 / p<sub>75</sub>: 67,2). La mediana y el rango intercuartil (p<sub>25</sub> y p<sub>75</sub>) para cada material en t<sub>1</sub> fueron: [Z] 65,0 (p<sub>25</sub>: 64,7 / p<sub>75</sub>: 67,2); [V] 43,0 (p<sub>25</sub>: 42,5 / p<sub>75</sub>: 46,3); [C] 44,5 (p<sub>25</sub>: 40,1 / p<sub>75</sub>: 45,5). El análisis estadístico mostró diferencia significativa (p<0.05) para la variable material tanto en t<sub>0</sub> (Vitremer > Cention N y Z350) como en t<sub>1</sub> (Z350 > Cention N y Vitremer). Al comparar los tiempos 0 y 1 para cada uno de los materiales, se observan diferencias estadísticas entre t<sub>0</sub> y t<sub>1</sub> para Vitremer y Cention N (p=0,017 y 0,000, respectivamente), pero no se observa diferencia para Z350 (p=0,963).

**Conclusión/es:** Bajo las condiciones experimentales de este estudio podemos concluir que luego del almacenamiento de 7 días el composite bioactivo y el ionómero vítreo experimentaron disminución en la microdureza, no así en el composite de fotocurado.

018

ID 2152

### EVALUACIÓN DE LA INTERFAZ DE RESTAURACIONES DE COMPOSITE BIOACTIVO Y IONÓMERO VÍTREO MODIFICADO CON RESINAS REALIZADAS EN MOLARES PRIMARIOS

Marcela Lespade<sup>1</sup>, Ana María Biondi<sup>2</sup>, Mara Casal<sup>1</sup>, Gabriela Cortese<sup>2</sup>, Analía Garrofé<sup>1</sup>, Pablo Salgado<sup>3</sup>, Mariana Picca<sup>1</sup>.

1. Cátedra de Materiales Dentales, FOUBA.2. Cátedra de Odontología Integral Niños, FOUBA.3. Cátedras de Microbiología y Parasitología y de Odontología Preventiva y Comunitaria, FOUBA, Instituto de Investigaciones en Salud Pública, UBA.

**Objetivo/s:** El objetivo de este trabajo fue evaluar la interfaz diente-restauración en piezas primarias obturadas con dos alternativas de materiales restauradores.

**Materiales y Métodos:** Se utilizaron molares primarios sanos (n=5) en los que se realizaron preparaciones estandarizadas, una en cada cara proximal con una fresa redonda FG N°6. Las caras mesiales fueron obturadas con un composite bioactivo Cention N® (Ivoclar Vivadent) [C] y las caras distales con un ionómero vítreo modificado con resinas Vitremer™ (3M) [V]. En ambos casos se realizó un tratamiento previo de la superficie dentaria, para Cention se aplicó un adhesivo (Single Bond Universal, 3M) y para Vitremer se utilizó el primer específico provisto por el fabricante. Para la fotopolimerización de los materiales se utilizó una unidad de curado Led Curing Pen (Eighteenth), con longitud de onda de 385 a 515 nm, y una irradiancia de 1000 mW/cm<sup>2</sup>. Las muestras se almacenaron por 48 horas en agua destilada dentro de una estufa a 37°C. Para poder visualizar la interfaz se seccionó cada pieza dentaria, a nivel de ambas restauraciones, en sentido vestíbulo-lingual y se observó cada corte de con una lupa microscópica Zeiss - Modelo Axio Imager A1m y se registraron las imágenes con cámara fotográfica digital SONY Cybershot-zoom óptico 3X mod DSC w180. Las imágenes fueron analizadas con software para procesamiento de imágenes (ImageJ) mediante el cual se observó la interfaz y se registró la proporción de solución de continuidad (gap) entre el material y el sustrato dentinario respecto de la extensión total de la interfaz diente-restauración. Los resultados se analizaron estadísticamente mediante test de Student para muestras independientes (p<0.05).

**Resultados:** La proporción gap/superficie total registrada en las probetas para ambos materiales fueron: para Vitremer [V] 0; 9,2; 8,4; 4,9; 24,8; siendo la media 9,5, y para Cention N [C] 7,8; 4,7; 0; 0; 21,0, siendo la media 6,7. El análisis estadístico mostró ausencia de diferencia significativa (p=0,641) entre ambos materiales.

**Conclusión/es:** Bajo las condiciones experimentales de este estudio podemos concluir que la presencia de solución de continuidad en la interfaz diente-restauración se presenta de manera similar en el composite bioactivo y el ionómero vítreo utilizados.

019

ID 2033

**ESTUDIO PRELIMINAR -IN VITRO- DE TRES EMERGENTES IMPLANTARIOS SOBRE LA DIFERENCIACIÓN OSTEABLÁSTICA**Macarena Nicolini<sup>1</sup>, Rosario Macchi<sup>2</sup>, Juan M Galdoporpora<sup>1</sup>, Silvia M Friedman<sup>1</sup>, Andrea M Canellada<sup>2</sup>.<sup>1</sup>. Cátedra de Bioquímica General y Bucal. Unidad de Investigación de Bioquímica Traslacional y Metabolismo (UBiTyM), FOUBA. <sup>2</sup>.FFyB, UBA.

**Introducción:** En estudios previos hemos demostrado la respuesta biológica de tres materiales utilizados como pilares implantarios, Zirconia (Zr), Titanio (Ti) y Disilicato de litio (DSL), en cultivo de fibroblastos murinos. Asimismo, se analizaron la naturaleza y las propiedades fisicoquímicas de los materiales utilizados.

**Objetivo/s:** El objetivo de este trabajo fue evaluar el efecto de los tres emergentes implantarios sobre la diferenciación osteoblástica.

**Materiales y Métodos:** Los discos de Zr, Ti y DSL, se colocaron, por triplicado, en pocillos de 0,3 cm<sup>2</sup> de una placa de cultivo celular, y sobre los mismos se sembraron células preosteoblásticas murinas MC3T3-E1 (5 x 10<sup>3</sup> células/pocillo), en un volumen de 0,2 ml de  $\alpha$ MEM suplementado con glutamina, antibiótico y 10 % de suero fetal bovino (medio ND). Para inducir la diferenciación, las células se incubaron durante 7 y 14 días con ND suplementado con 50  $\mu$ g/ml de ácido ascórbico y 10 mM de  $\beta$ glicerofosfato (medio de diferenciación, MD). Como controles del ensayo, las células se cultivaron en presencia (MD) o ausencia (ND) del medio de diferenciación, en ausencia de los materiales implantarios. El medio de cultivo se renovó cada 3 días. La diferenciación de las células MC3T3-E1, con relación a los tres emergentes implantarios, se determinó midiendo la actividad de la fosfatasa alcalina (FAL).

**Resultados:** A los 7 días, Ti pero no Zr o DSL aumentó la actividad de FAL ( $p < 0.05$ ) respecto al control negativo (ND), mientras que ninguno de los materiales alteró significativamente los efectos ejercidos por el MD sobre la diferenciación de las células MC3T3-E1 ( $p > 0.05$ ). A los 14 días, los tres materiales aumentaron la actividad de la FAL respecto del control ND ( $p < 0.05$ ), siendo Zr el que presentó los mayores niveles, semejantes a los observados con el control MD ( $p = 0.100$ ). A diferencia de lo observado a los 7 días, Ti mostró a los 14 días una disminución significativa de la FAL respecto de la observada en el control MD ( $p = 0.043$ ). Sin embargo, Ti a los 7 vs. 14 días mostró DS ( $p < 0.05$ ).

**Conclusión/es:** Estos resultados preliminares sugieren que Ti es el material que mejor induciría la diferenciación temprana de los preosteoblastos, mientras que Zr mostró el mejor comportamiento a mayor tiempo de diferenciación; el aumento en la expresión de la fosfatasa alcalina es de fundamental importancia, dada la participación de esta enzima en el proceso de mineralización.

020

ID 1959

**DESARROLLO Y CARACTERIZACIÓN DE UN NUEVO GEL MUCOADHESIVO QUE CONTIENE NISTATINA COMPLEJADA CON B-CICLODEXTRINA PARA EL TRATAMIENTO DE CANDIDIASIS ORAL**Carolina Yoshi Campos Sugio<sup>1</sup>, Fernanda Balestrero Cassiano<sup>2</sup>, Amanda Aparecida Maia Neves Garcia<sup>1</sup>, Priscileila Colerato Ferrari<sup>3</sup>, Diana Gabriela Soares dos Passos<sup>2</sup>, Vanessa Migliorini Urban<sup>4</sup>, Karin Hermana Neppelenbroek<sup>1</sup>.<sup>1</sup>. Departamento de Prótesis y Periodoncia, Facultad de Odontología de Bauru, Universidad de São Paulo, Brasil. <sup>2</sup>. Departamento de Odontología Restauradora, Endodoncia y Materiales Dentales, Facultad de Odontología de Bauru, Universidad de São Paulo, Brasil. <sup>3</sup>. Departamento de Ciencias Farmacéuticas, Universidad Estatal de Ponta Grossa, Brasil. <sup>4</sup>. Departamento de Odontología, Universidad Estatal de Ponta Grossa, Brasil.

**Objetivo/s:** El presente estudio tuvo como objetivo desarrollar y caracterizar un gel mucoadhesivo que contiene nistatina complejada o no con  $\beta$ -ciclodextrina ( $\beta$ CD), evaluando sus propiedades reológicas, mucoadhesivas, eficacia antifúngica, citocompatibilidad y potencial de migración celular.

**Materiales y Métodos:** Se han desarrollado formulaciones mucoadhesivas (dispersión de quitosano 2% y hidroxietilcelulosa 6% - 1:3 v/v) que contienen nistatina a concentraciones de 16,1 mg/g (Grupo Nis 16.1), 32 mg/g (Grupo Nis 32) o complejada con  $\beta$ CD a 36 mg/g (Grupo Nis: $\beta$ CD, equivalente a 16,1 mg/g de Nis). Estas se compararon con el gel puro (Grupo Gel) y miconazol al 2% (Grupo Dk). Los geles mucoadhesivos fueron evaluados según 1) propiedades reológicas en reómetro oscilatorio (0,1 a 100,0 Hz) y 2) mucoadhesivos en un modelo ex vivo; 3) eficacia antifúngica mediante el ensayo de viabilidad celular XTT, concentración mínima inhibitoria (CMI) por microdilución en caldo y concentración mínima fungicida (CMF) en placas de agar sabouraud dextrosa; 4) citocompatibilidad evaluada mediante el ensayo de MTT, análisis de viabilidad celular en cultivos 3D (live-dead) y actividad metabólica usando Alamar Blue; 5) potencial de migración celular mediante el ensayo Scratch. Los datos obtenidos fueron sometidos a ANOVA y pruebas post-hoc ( $\alpha = 5\%$ ).

**Resultados:** Los grupos Dk y Nis 32 mostraron cambios reológicos significativos, así como menor adhesión y distancia de desprendimiento ( $p < 0,05$ ). Se observó una capacidad antifúngica limitada en los grupos Gel y Dk, en contraste con los grupos que contenían nistatina ( $p < 0,05$ ), incluso en concentraciones reducidas. El CMI y CFM estuvo entre 12,5% y 1,56%. En el ensayo MTT, se evidenció que Nis: $\beta$ CD redujo la citotoxicidad en la formulación. Solo el grupo Dk mostró citotoxicidad y una menor capacidad de migración celular ( $p < 0,05$ ).

**Conclusión/es:** En comparación con los grupos Gel y Dk, Nis: $\beta$ CD demostró una mejor citocompatibilidad sin comprometer sus propiedades reológicas, mucoadhesivas, antifúngicas o su capacidad de migración celular, lo que sugiere importantes ventajas terapéuticas para el tratamiento de la candidiasis oral.



021

ID 2005

## TUMORES PERICÍTICOS-PERIVASCULARES BUCALES: ESTUDIO DE UNA SERIE DE CASOS

Romina Belén Gorrino Baquero<sup>1</sup>, Liliana Graciela Olvi<sup>2</sup>, María Luisa Paparella<sup>3</sup>.

1. Laboratorio de Patología Quirúrgica, Cátedra de Anatomía Patológica, FOUBA. 2. Consultorio de Patología Ortopédica Osteoarticular y de Tejidos Blandos, CABA. 3. Consultorio de Patología Bucal, CABA.

**Introducción:** Los tumores pericíticos-perivasculares son patologías infrecuentes que se desarrollan en dermis profunda, tejido celular subcutáneo y tejidos blandos, y están constituidas por células mioides, células musculares lisas, pericitos, miopericitos y células glómicas. Las entidades patológicas que integran este grupo de tumores, según la última edición de la Clasificación de Tumores Óseos y Tejidos Blandos de la Organización Mundial de la Salud, son: tumor glómico, miopericitoma (incluido miofibroma), angioleiomioma. Estas patologías en la cavidad bucal son aún más raras, las publicaciones son escasas y mayoritariamente corresponden a casos aislados de las diferentes entidades.

**Objetivo/s:** Evaluar una serie de casos de tumores pericíticos-perivasculares de la cavidad bucal (TPCB).

**Materiales y Métodos:** Se recopilaron todos los casos de tumores pericíticos-perivasculares registrados en los archivos de dos centros diagnósticos de patología bucomaxilar en un período de 8 años. Se reevaluaron todos los preparados histológicos teñidos con hematoxilina-eosina, se reanalizaron caracteres morfológicos e histoarquitecturales. Se realizaron técnicas de inmunohistoquímica con los anticuerpos: CD31, CD34, ERG, AML, Desmina, Miogenina, B-Catenina. Se analizaron y tabularon los datos clínicos disponibles: edad, distribución por décadas, sexo, localización, signos y síntomas, diagnóstico presuntivo, tipo de biopsia realizada.

**Resultados:** Los TPCB representaron el 3% de las lesiones vasculares de la cavidad bucal. Todos los TPCB fueron benignos y correspondieron a: miofibroma 8/15 (53%), angioleiomioma 4/15 (27%), miopericitoma 2/15 (13%) y tumor glómico 1/15 (7%). Todos los casos mostraron positividad con CD31, CD34, AML; los angioleiomiomas y miopericitomas presentaron además positividad con Desmina; el tumor glómico mostró también positividad con B-Catenina (membrana-citoplasma). Independientemente de la entidad, la media de edad fue 45 años (12-69 años) con distribución similar en ambos sexos, la localización prevalente fue paladar 6/15 casos (40%), la lesión elemental tumor 15/15 (100%), y en 8/12 (67%) el tamaño fue  $\leq 1$  cm. El diagnóstico clínico fue granuloma piógeno 6/10 (60%) y tumor benigno de etiologías diversas 4/10 (40%). La biopsia extirpación se realizó en 14/15 (93%).

**Conclusión/es:** Los TPCB son raros, su diagnóstico requiere del exhaustivo estudio de caracteres clínicos, histopatológicos e inmunohistoquímicos. A nuestro entender, esta es la primera serie de TPCB reportada en nuestro país y en Latinoamérica, siendo una contribución a las escasas publicaciones registradas.

022

ID 2035

## ESTUDIO DE SOBREVIDA EN 23 PACIENTES EN BUENOS AIRES CON RANGO DE SEGUIMIENTO DE 11 A 141 MESES

Julio Moreno<sup>1</sup>, Eduardo Uhrlant<sup>1</sup>, Alberto Attaguile<sup>1</sup>, Daniel Brandizzi<sup>1,2</sup>.

1. Grupo Interdisciplinario de Cáncer Oral - (GldCO). 2. División Patología, Dpto. Radiobiología, Comisión Nacional de Energía Atómica.

**Introducción:** Más de 320000 personas murieron por cáncer bucal en todo el mundo en el año 2019. En EEUU las tasas de mortalidad aumentaron 0,6% por año desde 2009 al 2021 y se espera más de 58450 nuevos casos de cáncer bucal y orofaríngeo y más de 12230 muertes para año 2024. En estudios de centros de referencia en la Ciudad de Buenos Aires entre 1950 y 2004, se observa un aumento alarmante del cáncer bucal en mujeres y la sobrevida comparada con datos bibliográficos, muestra los valores más bajos comunicados en la literatura. Un 65 % de pacientes se diagnostican en etapas avanzadas de la enfermedad (TNM: estadios clínicos 3 y 4), la sobrevida a 5 años de realizado el diagnóstico fue entre 34 y 20 % respectivamente (Período 1992 -2000).

**Objetivo/s:** En este trabajo estudiamos la sobrevida de pacientes con carcinomas de células escamosas bucales (CCEB) de la ciudad Buenos Aires, atendidos por un grupo de trabajo interdisciplinario médico/odontológica (Período 2013-2024), los resultados fueron comparados con reportes previos (2013-2000).

**Materiales y Métodos:** Los 23 pacientes con CCEB abarcaron un período de 11 a 141 meses, fueron evaluados y estadificados clínicamente (clasificación TNM) en el momento del diagnóstico, se detectaron factores de riesgo para cáncer, recibieron tratamiento quirúrgico oncológico según estándar internacionales y fueron seguidos en un período entre 2013 y 2024. Los datos fueron analizados estadísticamente mediante test de Kaplan y Meier y comparados con reportes previos (período 1992-2000) mediante Rango Logaritmo de Mantel.

**Resultados:** La media de edad fue de 58 años (41-79 años). La distribución por sexo hombre/mujeres fue 0,77. La localización tumoral más frecuente fue lengua 87% n=20. La media de seguimiento fue 63  $\pm$ 40 meses y Rango Intercuartil 57. La sobrevida a 10 años fue del 95%. Se encontraron diferencias estadísticamente significativas cuando se comparó esta con datos de trabajos previos en Buenos Aires p<0.05.

**Conclusión/es:** Presentamos una interesante experiencia interdisciplinaria médica/odontológica de un grupo de 23 pacientes con carcinomas de células escamosas bucales con seguimiento de 11 a 141 meses. La sobrevida de esta población fue 95% a 10, superior a trabajos previos en Buenos Aires (34% a 5 años período 1922 - 2000 y 64 % 2000-2010 respectivamente). El buen pronóstico se asoció al diagnóstico temprano, sin demoras en el tratamiento oncológico o quirúrgico, al seguimiento estricto, a la detección precoz y el tratamiento de factores de riesgo carcinogénicos. La reaparición de enfermedad detectada en etapa tempranas y la buena interrelación médica odontológica completan esta mejora observable en la sobrevida. Este trabajo muestra que se pueden cambiar el mal pronóstico del cáncer bucal.

023

ID 2047

**ADMINISTRACIÓN INTRAORAL DE DEXAMETASONA: VALORACIÓN DE LA EFICACIA EN LA PREVENCIÓN DE SINTOMATOLOGÍA INFLAMATORIA POSTQUIRÚRGICA**

Patricia Viviana Indkevitch<sup>1</sup>, Yanina Langellotti<sup>1,2</sup>, Federico Stolbizer<sup>2</sup>, Pablo Salgado<sup>3</sup>, Gonzalo Heredia<sup>1</sup>, Carlos Mendez<sup>4</sup>, Sebastián Puia<sup>1</sup>.  
1. Cátedra de Cirugía I, FOUBA. 2. Cátedra de Cirugía II, FOUBA.3. Cátedra de Microbiología, FOUBA. 4. Cátedra de Farmacología I, FOUBA.

**Introducción:** El uso preoperatorio de corticoesteroides reduce significativamente el edema, el dolor y el trismus asociados al acto quirúrgico de los terceros molares retenidos. Subsiste, una discusión acerca de la necesidad de establecer el uso preoperatorio de corticoides en modo rutinario. Quienes defienden esa postura enfatizan, justamente el confort postoperatorio y la reducción en el uso de fármacos, mientras que quienes no lo justifican hacen centro en los posibles efectos sistémicos de los glucocorticoides y en la incomodidad de la administración intramuscular.

**Objetivo/s:** Evaluar la eficacia de la dexametasona aplicada por vía submucosa en el espacio pterigomandibular, en forma comparada con la aplicación intramuscular en el músculo glúteo, en ambos casos en forma preoperatoria, en la cirugía de los terceros molares inferiores retenidos.

**Materiales y Métodos:** Se analizaron ambas vías de administración en 40 pacientes, realizando un estudio experimental, prospectivo, longitudinal, utilizando un diseño cruzado, aleatorizado y ciego, donde cada individuo actúa como su propio control, administrando una sal soluble de dexametasona, en dosis menores a las que habitualmente se emplean para inyección intramuscular. Los datos fueron expresados para las variables cuantitativas como media y desvío estándar, Intervalos de confianza al 95% (IC95%); o mediana, cuartiles, rango intercuartil, mínimo y máximo; dependiendo de la distribución de las variables. Las variables categóricas se expresaron en frecuencias, porcentajes e IC95%. Las pruebas de Kolmogorov-Smirnov y Shapiro Wilks se utilizó para evaluar si las variables cuantitativas presentan distribución normal. Para rechazar la hipótesis nula fue considerada una significación estadística menor a 0,05 (Error de Tipo I). La comparación de medias se realizó con prueba t de Student para muestras independientes. En casos que la variable no tenga distribución normal se utilizarán test no paramétrico de Mann-Whitney. Para comparar la evolución longitudinal de las variables cuantitativas, se aplicó prueba t de Student para muestras relacionadas y Análisis de la varianza con medidas repetidas con post hoc de Bonferroni. Los datos cualitativos fueron tabulados usando tablas de doble entrada y la comparación se realizó utilizando test de X<sup>2</sup> con corrección de Yates o test exacto de Fisher a dos colas, según corresponda. Se compararon las proporciones en la escala de dolor agrupada para los tiempos evaluados con el test de McNemar. El análisis se realizó con el programa SPSS 29 paquete de estadística (SPSS Inc., IBM).

**Resultados:** Habiéndose realizado 56 cirugías, no se han registrado diferencias estadísticamente significativas para ninguna de las variables analizadas cuando se discrimina entre los dos sitios de aplicación.

**Conclusión/es:** La administración intraoral por vía submucosa en el espacio pterigomandibular resulta beneficiosa en tanto y en cuanto resulta menos molesta, invasiva y dolorosa para el paciente y es de fácil administración para el cirujano. A su vez, este estudio demuestra la eficacia antiinflamatoria de una sal soluble de dexametasona administrada en dosis menores a las comúnmente empleadas.

024

ID 2080

**ASPECTO HISTOLÓGICO DE LA INSERCIÓN INFERIOR DEL FRENILLO LABIAL SUPERIOR OBTENIDO POR FRENECTOMÍA LASER**

Ana Clara Casadoumecz<sup>1</sup>, Gisela Gualdoni<sup>2</sup>, Verónica Herminia Pavan<sup>3</sup>, Claudia Mohn<sup>1</sup>, María Agustina Saizar<sup>4</sup>, Romina Carmen De Lucca<sup>1</sup>.

1. Cátedra de Fisiología, FOUBA.2. Cátedra de Histología y Embriología, FOUBA.3. Cátedra de Odontología Integral Niños, FOUBA.4. Cátedra de Odontología Preventiva y Comunitaria, FOUBA.

**Introducción:** La aplicación de la técnica láser en el tratamiento del frenillo labial superior ofrece una solución efectiva y mínimamente invasiva, permitiendo corregir diastema interincisal, alteraciones en la fonación, úlceras traumáticas, entre otros. Según las estructuras anatómicas, los frenillos pueden ser: fibrosos, musculares, fibromusculares pero considerando toda la extensión del frenillo.

**Objetivo/s:** Discriminar las estructuras histológicas constitutivas de la inserción inferior de los frenillos labiales superiores obtenidos por frenectomía con láser.

**Materiales y Métodos:** Se obtuvieron 4 inserciones de frenillos labiales superiores según los criterios anatómicos y el nivel de inserción (Placek y col. 1974) de pacientes de la Unidad Láser FOUBA que firmaron consentimiento informado de acuerdo al Comité de Ética. Las muestras se tomaron desde la papila interincisiva a la unión mucogingival con un Láser de Diodo Gemini™-810 + 980, tip quirúrgico activado, potencia entre 1 a 1.3 watt. Inmediatamente a su extracción, las muestras fueron fijadas en formol al 10% y procesadas para su análisis histológico con la técnica de rutina (H&E, PAS, Tricrómico de Mallory). Sobre microfotografías obtenidas con un microscopio Nikon Ni Eclipse perteneciente a la Cátedra de Histología y Embriología de la FOUBA se estudiaron la estructura del epitelio, el tejido conectivo, presencia de fibras musculares esqueléticas, elementos vasculares y nerviosos y cuantificación de células inmunes en el corion. El recuento celular se realizó con el software Image J (n° de células / área de tejido conectivo).

**Resultados:** En todas las muestras se observó un epitelio estratificado simple y un corion que va de laxo a denso hacia la profundidad de la mucosa. El epitelio mostró abundantes papilas coriónicas que llegan hasta la superficie del epitelio (H&E). Mediante la histoquímica de PAS se evidenció la membrana basal, alta positividad en la capa superficial del epitelio sobre todo en región basal de las células, dado por la presencia de glucógeno y mastocitos y granulocitos (neutrófilos y eosinófilos) extravasados al tejido conectivo del corion (mastocitos: 14 - 6/mm<sup>2</sup> área corion; granulocitos; 12 - 6/mm<sup>2</sup> área corion). En el Tricrómico se evidenció aún más el tejido conectivo denso irregular con haces compactados de fibras colágenas, tejido muscular liso perteneciente a la túnica media de los vasos sanguíneos, nervios y cúmulos de adipocitos uniloculares en dos de los pacientes. No se observaron fibras musculares estriadas esqueléticas en ninguna de las muestras estudiadas.

**Conclusión/es:** La técnica de láser utilizada para la frenectomía permite extraer el frenillo sin remover el tejido de los músculos de la región.



025

ID 2034

## ESTUDIO DE LOS PARÁMETROS CLÍNICOS Y POLIMORFISMOS DE NUCLEÓTIPO SIMPLE ASOCIADOS A LA ARTRITIS REUMATOIDEA Y LA ENFERMEDAD PERIODONTAL

Angelica Castro Escalante<sup>1</sup>, Pablo Salgado<sup>2</sup>, Ana M. Beron<sup>3</sup>, Gustavo Medina<sup>3</sup>, Marisol Delea<sup>4</sup>, Hector Martin Cifuentes<sup>5</sup>, Carlos David Bruque<sup>6</sup>, Guillermo Corró<sup>6</sup>, Débora A. Gonzalez<sup>2</sup>, Teresita Ferrary<sup>2</sup>, Betina Orman<sup>1</sup>  
1. Cátedra de Farmacología, FOUBA.2. Cátedra de Microbiología, FOUBA.3. División Reumatología Hospital de Clínicas José de San Martín, UBA.4. Unidad de Conocimiento Traslacional Hospitalaria Patagónica, Hospital de Alta Complejidad SAMIC, El Calafate, Santa Cruz, Argentina.5. Cátedra de Biofísica y Bioestadística, FOUBA.6. Cátedra de Medicina Interna, FOUBA.

**Introducción:** La artritis reumatoidea (AR) es una enfermedad autoinmune sistémica y crónica del tejido conjuntivo. Resultados previos de nuestro laboratorio informaron que los pacientes con AR presentan una mayor prevalencia y severidad de enfermedad periodontal (EP) que la población general. En la fisiopatología de la EP y de la AR estarían vinculados los genes TNFAIP3 y FCGR2A, asociados con la regulación de la producción de citoquinas proinflamatorias y la respuesta inmune.

**Objetivo/s:** Estudiar la relación de los parámetros clínicos y séricos con la severidad de la EP en pacientes con AR e individuos control (C). Estudiar la asociación de polimorfismos de nucleótido simple (SNP) rs1801274 y elrs6920220 de los genes FCGR2A y TNFAIP3 con la severidad de la EP en pacientes con AR y C.

### Materiales y Métodos

Se reclutaron 40 pacientes con AR y 21 pacientes C. Se realizó el diagnóstico periodontal y los índices que reflejan el estado de salud dentaria, gingival y el control de placa. También se midió la salivación en reposo y estimulada. La actividad de la AR se evaluó mediante el DAS28 y parámetros séricos. Las PCRs punto final se realizaron a partir de muestras de sangre y se usaron primers específicos para el rs1801274 y el rs6920220. Los productos se secuenciaron mediante la técnica de Sanger. La estadística se realizó utilizando el software SPSS22 y una  $p < 0.05$  se consideró significativa.

**Resultados:** Los pacientes con una AR activa valorada por un elevado DAS28 presentaron estadíos más severos de EP  $p = 0,045$ . Los pacientes con AR presentaron una disminución del flujo salival en reposo y estimulado en relación al grupo C,  $p = 0,04$  y  $p = 0,02$ . Los índices de Löe y Silness y de Silness y Löe presentaron diferencias significativas (DS) entre el grupo AR y el grupo C  $p = 0,003$  y  $p = 0,009$ . Los pacientes del grupo AR presentaron estadíos más severos (III y IV) de EP y de extensión generalizada en relación con el grupo C  $p = < 0,001$  y  $p = 0,005$ . Para el rs1801274 en los pacientes AR predomina la heterocigosis (AG) en los estadíos más severos de la EP  $p = 0,04$ . El rs 6920220 del gen TNFAIP3 para el alelo wild type (GG) mostró DS en relación con la severidad de la EP entre los grupos AR y C  $p = 0,008$ .

**Conclusión/es:** Este estudio permite concluir que los pacientes AR con enfermedad más activa presentaron hiposalivación y un estado de salud gingivoperiodontal deteriorado con respecto a los pacientes C. Se asoció la presencia de la variante AG del rs1801274 con estadíos más severos de EP. Para el rs6920220 GG presenta DS en relación a la severidad de EP entre los grupos.

026

ID 2125

## COMPARACIÓN DE TÉCNICAS DE AUMENTO DE TEJIDOS PERIIMPLANTARIOS. EVALUACIÓN VOLUMÉTRICA E HISTOLÓGICA

Sabrina Laura Seni<sup>1</sup>, Macarena Pasart<sup>2</sup>, Daniela Anastasio<sup>2</sup>, Ana Clara Casadoumeq<sup>3</sup>, Sandra Judith Renou<sup>4</sup>, Daniel Gustavo Olmedo<sup>4,5</sup>, María Marta Fernández<sup>2</sup>

1. Cátedra de Cirugía Bucocomaxilofacial I, FOUBA.2. Cátedra de Rehabilitación Integral de Mediana y Alta Complejidad, FOUBA. 3. Cátedra de Fisiología, FOUBA. 4. Cátedra de Anatomía Patológica, FOUBA. 5. CONICET.

**Introducción:** El aumento de tejido blando periimplantario es una práctica frecuente en la rehabilitación. La técnica con injerto de tejido conectivo, considerada patrón de oro, está asociada a mayor morbilidad. Las matrices de colágeno resultan una alternativa y no se han realizado estudios que evalúen la utilización de doble capa de matriz dérmica acelular.

**Objetivo/s:** Analizar clínica e histológicamente la variación volumétrica de la mucosa periimplantaria 90 días post-aumento mediante una matriz de colágeno acelular.

**Materiales y Métodos:** Se seleccionaron 9 pacientes desdentados unitarios, con colapso vestibular y espesor mucoso de hasta 3 mm. Se realizó una cirugía guiada con implante y aumento del tejido blando, utilizando matriz Mucoderm®: 3 pacientes matriz simple (MS), 3 matriz doble (MD) y 3 con injerto de tejido conectivo (TC). Se realizaron escaneos pre-cirugía (Pre) y a 90 días (Post), se superpusieron para determinar el cambio volumétrico midiendo el espesor de la mucosa en 4 puntos vestibulares (P1-P2-P3-P4) y uno oclusal (PO). Los datos fueron analizados estadísticamente mediante ANOVA ( $p < 0.05$ ). En la apertura del implante se realizó la toma biopsica de un cilindro de tejido sobre el tapón de cierre para su evaluación histopatológica (inclusión en parafina, coloración con H-E ó Picosirius red) e inmunomarcadas (anti-CD31) para elementos vasculares (anti-CD31).

**Resultados:** El análisis volumétrico mostró un aumento estadísticamente significativo a nivel vestibular para los puntos P3 y P4 en todas las variables evaluadas (ejemplo, grupo MS PreP3:  $x \pm 1.35 \pm 0.3$  vs PostP3:  $x \pm 2.91 \pm 0.3$ ,  $p < 0.05$ ). Por oclusal (PO) no se observaron diferencias estadísticamente significativas para ninguna de las variables ( $p \geq 0.05$ ). El análisis histológico reveló epitelio queratinizado y tejido conectivo sin infiltrado inflamatorio. En los grupos MS y MD se observó mayor densidad de tejido conectivo en el sector inferior de las muestras. En los grupos MS e TC se evidenció en el sector inferior mayor neoformación vascular (CD31+), con forma y distribución irregular. La técnica Picosirius red permitió identificar colágeno tipo I y III pero no su procedencia.

**Conclusión/es:** La técnica de doble matriz de colágeno acelular parecería ser clínica e histológicamente una alternativa biológicamente eficaz para incrementar el espesor de la mucosa vestibular.

027

ID 1976

**EL MÓDULO BETA V.05 MEJORA LA EXACTITUD Y PRECISIÓN DIAGNÓSTICA DEL ARTICULADOR VIRTUAL: ESTUDIO OBSERVACIONAL ANALÍTICO**Matías Medina<sup>1</sup>, Augusto Toma<sup>1,2</sup>, Carolina De la Cal<sup>1,2</sup>, Gabriel Sánchez<sup>1,2,3,4</sup>.

1. Cátedra de Biofísica y Bioestadística, FOUBA. 2. Instituto de Investigaciones en Salud Pública, FOUBA. 3. CONICET. 4. Escuela de Medicina y Odontología, Universidad de Niigata.

**Introducción:** El flujo digital en odontología está revolucionando la forma en la que se realizan la planificación y tratamientos en la práctica profesional. Esta integración de tecnologías digitales incluye desde el uso de hardware especializado para la toma de impresiones digitales hasta el uso de software para el procesamiento del mismo. Estos últimos, permiten recolectar y analizar gran cantidad de datos de sumo interés para el odontólogo.

**Objetivo/s:** El objetivo del trabajo fue determinar la eficacia diagnóstica del articulador virtual (AV) Exocad con módulo v.05 beta frente al registro clínico (RC) de puntos de contacto dentario en máxima intercuspidad (MI), propulsión (P) y lateralidad centrífuga derecha (LD) e izquierda (LI).

**Materiales y Métodos:** Utilizamos un diseño analítico observacional. Participaron 41 varones (22 años de edad, dentición completa de 28 piezas) reclutados libre y voluntariamente en el Dpto. de investigación del Hospital de Niigata. Registramos el número de puntos de contacto dentario de los pacientes en MI, P, LD y LI con papel de articular SHOFU ©. Determinamos distancia bicigomática y plano de orientación con un arco facial MORITA ©. Realizamos montaje en articulador virtual Exocad © v.05 lo que determina el equilibrio oclusal a través de ecuaciones diferenciales de las trayectorias condíleas e incisales relacionadas con la altura de las cúspides, la orientación de los planos oclusales y de compensación, y se registró el número de puntos de contacto en MI, P, LD y LI. Determinamos la distribución de frecuencia de acuerdo y discrepancia entre los puntos de contacto del RC vs. AV. Se calcularon el error relativo porcentual y el intervalo de confianza del 95%, y se aplicó la prueba de comparación de proporciones y ji2 ( $p < 0.05$ ).

**Resultados:** El porcentaje de error en el articulador virtual fue de 11.12%(3.12-15.12%) en MI, 10.62%(3.85-17.39%) en P, 12.61%(9.7-15.52%) en LD y 12.14%(9.02-15.26%) en LI. En todos los casos, resultó un error significativamente menor al 20-25% promedio de otros AV ( $z=3,7$ ;  $p < 0,05$ ). Las discrepancias globales resultaron significativamente mayores en el sector anterior con respecto al posterior ( $ji2 = 4,8$ ;  $p=0,03$ ).

**Conclusión/es:** Los resultados obtenidos indican que la resolución por interacción diferencial de la ecuación diferencial determinante del equilibrio oclusal incluida en el módulo beta v0.5 mejora la exactitud y eficacia de la precisión diagnóstica y reduce el porcentaje de error en el articulador virtual Exocad© en la odontología rehabilitadora.

028

ID 1991

**ESTADO NUTRICIONAL Y LESIONES DE CARIES TEMPRANA EN INFANTES DE BARRIOS MARGINALES**Mariana Preliasco<sup>1</sup>, Mario Ricardo Davison<sup>1</sup>, Alejo Davison<sup>1</sup>, María Marcela Chaile<sup>1</sup>, Sandra J Renou<sup>1,2</sup>, María de los Ángeles Laborde<sup>1</sup>,Betina Butto<sup>1</sup>, Noemí E Bordon<sup>1,2,3</sup>.

1. Universidad Nacional de Río Negro.2.FOUBA.3. IISAP/UBA.

**Introducción:** Los patrones de dieta establecidos en la infancia tienen una influencia significativa sobre el estado nutricional, el rendimiento físico y el desempeño intelectual durante el curso de vida (Arredondo,2021). La caries de la infancia temprana (CIT) es la enfermedad infantil más frecuente, fuertemente influida, tanto por factores biomédico, como por determinantes sociales de salud y suele ir acompañada de comorbilidades graves que impactan sobre familias, comunidades y sistema de salud.

**Objetivo/s:** Determinar la correlación existente entre estado nutricional y lesiones de caries dental de la infancia temprana en infantes de barrios marginales de la ciudad Cipolletti (Pcia. Río Negro; Argentina).

**Materiales y Métodos:** Fueron incluidos 132 niños sanos entre 6 y 59 meses de edad, concurrentes por demanda espontánea a Centros de Atención Primaria de Salud (CAPS) en Ferri, Obrero, La Costa y 2 de Febrero. La muestra se dividió según edad, en dos grupos: G1 (n=44) entre 6-24 meses y G2 (n=88) entre 25-59 meses. La recolección de datos fue realizada por examinadores calibrados ( $K=0.82$ ). Se implementaron: (a) consentimientos informados, (b) historia clínica médico-odontológica (UNRN), incluyendo lesiones de caries dental (INTC) y estado nutricional, según Índice de Masa Corporal (CAPS) Los datos fueron analizados y aplicada estadística descriptiva e inferencial (coeficiente de correlación de Pearson).

**Resultados:** 1.- Prevalencia de estado nutricional (G1/G2): eutrófico 61%/44%, desnutrición leve y crónica 30%/11% y sobrepeso, obesidad y obesidad severa 9%/45%.

2.- Análisis estado nutricional/INTC:

(a) G1: eutrófico/INTC=00; obesidad/INTC=02; desnutrición crónica/INTC= 03 ;

(b) G2, concentró mayor correspondencia entre ambas variables: eutrófico/INTC=02 y sobrepeso/INTC entre 03-14 (coeficiente de correlación de Pearson:0.60).

**Conclusión/es:** Los niños de 6-24 meses (G1) con desnutrición y obesidad presentaron lesiones iniciales de caries, mientras que los niños 25-59 meses (G2) con sobrepeso, presentaron lesiones de caries moderadas o severas. La relación positiva entre estado nutricional en infantes con obesidad/sobrepeso e INTC alcanzó niveles moderados.

029

ID 2052

### ESTABILIDAD DE CONCENTRACIÓN DE FLUORURO EN DENTÍFRICOS COMERCIALIZADOS PARA NIÑOS EN ARGENTINA

Lidia Audrey Rocha Valadas<sup>1</sup>, Ana Sorazabal<sup>1</sup>, Pablo Salgado<sup>1</sup>, Angela Argentieri<sup>1</sup>, Firmiano Chiara Santabaya Colares<sup>2</sup>, Aldo Squassi<sup>1</sup>.  
1. FOUBA. 2. Universidade Federal do Ceará.

**Introducción:** Dentífricos fluorurados son las formulaciones más utilizadas para la prevención y el control de las caries. Sin embargo, existe una gran preocupación de las legislaciones sobre el uso de formulaciones fluoradas en la primera infancia y el mayor riesgo de fluorosis, en comparación con la preocupación de una concentración que asegura una actividad anticaries.

**Objetivo/s:** El objetivo de este estudio fue evaluar la estabilidad de la concentración de fluoruro, en los principales dentífricos infantiles comercializados en Argentina.

**Materiales y Métodos:** Se evaluó 13 marcas diferentes de dentífricos infantiles en dos momentos, el primero (T1) después de la compra y un año después (T2). La concentración de fluoruro total (TF) y fluoruro total soluble (FST) de dos muestras de cada marca ( $\mu\text{g/g F}$ ). Cada muestra se analizó por duplicado utilizando un electrodo específico de iones calibrado con estándares de fluoruro y los resultados se expresaron en ppm ( $\mu\text{g F / g}$ ). Las diferencias entre FT y FST y entre T1 y T2 se analizaron utilizando el test t de Student.

**Resultados:** Se determinaron las concentraciones de F- total (FT) y F- soluble total (FST). Todos los dentífricos mostraron una concentración de F- inferior a 1,100 ppm F en T1 y T2. En 100% de las muestras hubo una reducción del contenido de fluoruro en T2 comparada a T1 para FT ( $p=0,0195$ ). Para FST 7% de las muestras tuvieron el contenido reducido ( $P=0,057$ ). Cuando comparado en T2, la fracción total y la soluble total, 100% de las muestras presentaron una reducción significativa ( $p=0,0247$ ).

**Conclusión/es:** Un año después todas las muestras presentaron una reducción de contenido en la fracción total y soluble, lo que compromete la actividad anticaries.

030

ID 2085

### SALUD BUCAL Y CALIDAD DE VIDA EN PERSONAS MAYORES BAJO ATENCIÓN EN UN HOSPITAL ODONTOLÓGICO UNIVERSITARIO. ESTUDIO PRELIMINAR

Silvana Ferrarini<sup>1</sup>, Celina Cornejo<sup>1,2,3</sup>, Stephany Huaccha Flores<sup>1,2</sup>, Jorge Aredes<sup>4</sup>, Pablo Salgado<sup>1,2,3</sup>, Aldo Squassi<sup>1,3,5</sup>.  
1. Cátedra de Odontología Preventiva y Comunitaria, FOUBA. 2. Cátedra de Microbiología y Parasitología, FOUBA. 3. Instituto de Investigaciones en Salud Pública, FOUBA. 4. Cátedra de Odontología Integral del Adulto Mayor y Clínica de Prótesis Removible, FOUBA. 5. CO-NICET

**Objetivo/s:** Evaluar el impacto de la salud bucal sobre la calidad de vida de personas mayores que demandan atención en el Hospital Odontológico Universitario de la Facultad de la Universidad de Buenos Aires (HOU-FOUBA).

**Materiales y Métodos:** Se realizó un estudio descriptivo de corte transversal sobre una muestra no probabilística de pacientes mayores de 65 años de ambos sexos, concurrentes a un servicio especializado del HOU-FOUBA. Se excluyeron personas con deterioro cognitivo y analfabetas, eliminándose aquellos pacientes que tenían datos incompletos. Se aplicaron los cuestionarios OHIP-14sp y OHIP-EDENT y se recolectaron datos sociodemográficos. Cuatro odontólogos calibrados realizaron la inspección y registro del estado dentario de los pacientes y el diagnóstico de caries utilizando criterios ICDAS II. Se calculó la distribución de frecuencias y porcentajes (IC95%) para variables cualitativas y la media, mediana y desvío estándar para las cuantitativas.

**Resultados:** La muestra final estuvo constituida por 46 pacientes. 16 pacientes presentaron edentulismo, con una edad media de 73 años en mujeres (62,5%) y 75 años en hombres (37,5%). El nivel educativo predominante fue primario incompleto (37,5%), seguido por primario completo (18,8%) y secundario completo (18,8%). El dominio con mayor impacto en la calidad de vida fue "Discomfort Psicológico" (60,3%), mientras que "Discapacidad Social" fue el de menor impacto (13,2%). Los 30 pacientes dentados presentaron una media de 12 dientes presentes, con una edad media de 71 años en mujeres (60,0%) y 74 años en hombres (40,0%). En este grupo, el nivel educativo predominante fue primario completo (20,0%) y universitario completo (26,7%). La prevalencia de caries fue  $L\neq 0$ : 93,3%,  $L=1-2-3$ : 80,0%,  $L=5-6$ : 60,0%. En cuanto al impacto en la calidad de vida en este grupo, los dominios con mayores puntuaciones fueron "Limitación Funcional" (19,7%), "Dolor Físico" (25,3%) y "Discomfort Psicológico" (25,7%), mientras que "Discapacidad Social" presentó la menor puntuación (5,7%).

**Conclusión/es:** El impacto de la salud bucal en la calidad de vida en personas mayores varía en función de la dentición. Los pacientes dentados presentan un menor impacto general en su calidad de vida relacionada con la salud bucal, destacando el "Discomfort Psicológico" como el dominio de mayor impacto.



031

ID 2090

**LACTANCIA MATERNA Y CARIES DE PRIMERA INFANCIA**Constanza Leyes<sup>1</sup>, Yesica Sosa<sup>2</sup>, Ana Gabriela Bordon Yameti<sup>2</sup>, Alejandra Villamarin<sup>1</sup>, Aldo Squassi<sup>1,2,3</sup>, Pablo Salgado<sup>1,2,4</sup>, Graciela Klemonsksis<sup>1,2</sup>.

1. Cátedra de Odontología Preventiva y Comunitaria. 2. Instituto de Investigaciones en Salud Pública. 3. CONICET. 4. Cátedra de Microbiología y Parasitología, FOUBA.

**Objetivo/s:** Describir y analizar la relación entre la lactancia materna y la caries de infancia temprana en niños de comunidades vulnerables de Argentina.

**Materiales y Métodos:** Se realizó un estudio analítico transversal con una muestra de 75 infantes de 2 a 3 años de edad. Se realizó: (a) una entrevista estructurada con el adulto responsable para recoger información sobre variables independientes (lactancia y uso de sucedáneos) y factores potencialmente intervinientes (consumo de alimentos ultraprocesados); (b) un examen clínico para evaluar el estado de caries según criterios ICDAS II, realizado por odontólogos entrenados (variable dependiente). Se obtuvo el consentimiento informado de los tutores legales y el asentimiento de los infantes para el examen clínico. Se calcularon frecuencias (%) para variables cualitativas y la mediana con percentiles 25% y 75% para variables cuantitativas. Para la comparación entre grupos se emplearon las pruebas U de Mann-Whitney y  $\chi^2$ .

**Resultados:** La prevalencia de caries fue del 40% (6,7% con lesiones en niveles ICDAS 5-6; 5,3% con índice INTC>6). El 91% de los niños recibió lactancia materna (mediana de 12 meses), y el 53% tuvo lactancia materna exclusiva (mediana de 4 meses). El leche de fórmula fue el sucedáneo más comúnmente utilizado (83%). Tras la lactancia materna, el consumo predominante fue de leche de vaca (62,5%). Los alimentos ultraprocesados de consumo diario más frecuente fueron: productos de panadería (54%), cereales/galletas dulces (50%), lácteos azucarados (42%), bebidas azucaradas (41%) y golosinas (33%), sin diferencias significativas entre los grupos. La duración de la lactancia en el grupo con caries visibles tuvo una mediana de 15 meses, mientras que en el grupo sin caries visibles fue de 9 meses (p=0,74).

**Conclusión/es:** La frecuencia de lactancia materna y el consumo de alimentos ultraprocesados fue elevada en ambos grupos. Aunque la duración de la lactancia fue ligeramente mayor en el grupo con lesiones de caries, la diferencia no resultó estadísticamente significativa.

032

ID 2128

**FRECUENCIA Y SEVERIDAD DE CARIES EN REGISTROS HISTÓRICOS DE UN OBSERVATORIO DE SALUD BUCAL**José Quevedo<sup>1</sup>, Teresa Serra Capó, Ana Laura Sorazabal<sup>1,2</sup>, Pablo Salgado<sup>1,2,3</sup>, Glenda Rossi<sup>1,2</sup>, Aldo Squassi<sup>1,2,4</sup>.

1. Cátedra de Odontología Preventiva y Comunitaria, FOUBA. 2. Instituto de Investigaciones en Salud Pública, UBA. 3. Cátedra de Microbiología y Parasitología, FOUBA. 4. CONICET.

**Objetivo/s:** Describir la frecuencia y severidad de las caries de individuos registrados en el Observatorio de Salud Bucal del Instituto de Investigación de Salud Pública (IISAP)

**Materiales y Métodos:** Se realizó un análisis retrospectivo de 3405 registros históricos de pacientes atendidos en diferentes programas de la Cátedra de Odontología y Comunitaria (FOUBA) e incluidos en la base de datos del Observatorio de Salud Bucal (IISAP), entre el 1 de marzo de 2022 y el 30 de septiembre de 2024. Las variables incluyeron edad (agrupada en 7 categorías: G1 = hasta 3 años, G2 = 4-5 años, G3 = 6-12 años, G4 = 13-19 años, G5 = 20-49 años, G6 = 50-64 años, G7 = 65 años o más), género, tipo de cobertura de salud (pública u otra) y estado dentario evaluado según criterios ICDAS II, clasificados en lesiones cariosas (L = 1-6), lesiones cavitadas (L = 3-6) y piezas ausentes (PA). Se describieron las variables cualitativas mediante frecuencias y porcentajes, y para las variables cuantitativas se calcularon la mediana, mínimo y máximo.

**Resultados:** De los pacientes analizados, el 53% eran mujeres, y el 57,1% contaba con cobertura pública de salud. La frecuencia de caries (L1-6) fue de 30,9% en G1, 69,9% en G2, 79,1% en G3, 88% en G4, 91,7% en G5, 92,3% en G6, y 91,4% en G7. La mediana de piezas ausentes (PA) fue de 4 (rango 0-12) en G4, 4 (rango 0-20) en G5, 7 (rango 0-25) en G6, y 20 (rango 0-30) en G7. En cuanto a las lesiones cavitadas (L3-6), el porcentaje por grupo fue de 21,8% en G1, 65,0% en G2, 74,8% en G3, 82,4% en G4, 88% en G5, 88,5% en G6 y 71,4% en G7.

**Conclusión/es:** La frecuencia de caries es alta y la severidad aumenta con la edad. Estos resultados destacan la importancia de implementar estrategias de prevención y control de caries en todas las edades, con especial atención a las poblaciones con cobertura pública de salud.

033

### ID 2158 EFECTO DE FUERZAS ORTODÓNCICAS SOBRE LA PULPA DE RATAS HIPERCOLESTEROLÉMICAS. ESTUDIO PRELIMINAR

Tomás Rodríguez<sup>1</sup>, Gisela Gualdoni<sup>1</sup>, Osvaldo Zmener<sup>3</sup>, Pablo Alejandro Rodríguez<sup>2</sup>.

1. Cátedra de Histología y Embriología, FOUBA. 2. Cátedra de Endodoncia, FOUBA. 3. Facultad de Ciencias Médicas, Universidad del Salvador.

**Introducción:** La aplicación de fuerzas ortodóncicas produce importantes cambios histológicos y estructurales sobre la pulpa dental de ratas sanas, sin embargo, poco se sabe del efecto de esas fuerzas en animales con hipercolesterolemia.

**Objetivo/s:** Describir el aspecto histológico de la pulpa dental en ratas hipercolesterolémicas sometidas a fuerzas ortodóncicas.

**Materiales y Métodos:** 12 ratas Wistar macho de  $200 \pm 50$  g fueron divididas en dos grupos: dieta control (DC) y dieta hipercolesterolémica (DHC). Utilizando el sistema PIC (propio individuo como control) a todos los animales se les instaló un aparato de ortodoncia experimental (OE) en el hemimaxilar inferior izquierdo que ejerce una fuerza hacia distal de 17 g luego de la extracción del segundo molar. El hemimaxilar derecho se consideró control sin ortodoncia en ambos grupos. Los animales fueron eutanasiados a los 7 días luego de la instalación del aparato y se extrajeron ambos hemimaxilares. Con microtomografía de rayos X se evaluó el cierre de espacio en mm (Microtomógrafo Skyscan 1272, Bruker. Software 3DSlicer). En cortes orientados y coloreados con hematoxilina-eosina se describió la histología pulpar (Microscopio Nikon Eclipse Ni). Análisis Estadístico: t-Student  $p < 0,05$ .

**Resultados:** La fuerza ortodóncica aplicada mostro el mismo cierre de espacios en el grupo DHC+OE y el grupo DC+OE ( $0,23 \pm 0,05$  mm vs  $0,24 \pm 0,02$  mm,  $p > 0,05$ ) respectivamente. El tejido pulpar mostro alteración de la capa de odontoblastos con interrupciones localizadas y mayor concentración de células inflamatorias (especialmente plasmocitos) en DHC+OE respecto a DHC que presentó aumento de la vascularización pulpar y mayor cantidad de células inflamatorias. DC+OE mostro aumento de fibras colágenas, escasas células inflamatorias y leve alteración estructural de la capa de odontoblastos vs el grupo DC que presentó estructura pulpar normal. Las alteraciones pulpares descritas se exacerbaron en animales con ortodoncia y dieta hipercolesterolemia.

**Conclusión/es:** La aplicación de una fuerza ortodóncica sobre el primer molar inferior de la rata produce alteraciones pulpares que se incrementan en condiciones de hipercolesterolemia.

034

### ID 2147 ESTUDIO DE VACÍOS EN LA OBTURACIÓN DEL CONDUCTO CON SELLADORES BIOCERÁMICO Y RESINOSO

Gabriela Martín, Alicia Bonafé, Carla Pedraza, Yamila Zanoni, Cecilia Rourera, Soledad Salduna, Cecilia De Caso.  
Carrera de Especialización en Endodoncia, Universidad Católica de Córdoba.

**Objetivo/s:** Comparar presencia de áreas vacías en la obturación endodóntica, según el sellador (resinoso o biocerámico) y la técnica utilizada (cono único o compactación lateral).

**Materiales y Métodos:** Se seleccionaron 30 premolares inferiores humanos, extraídos; con un solo conducto. Los conductos fueron instrumentados con el sistema WaveOne Gold (Dentsply Sirona) e irrigados con hipoclorito de sodio. Posteriormente, se adaptó un cono de gutapercha y para la obturación, la muestra se dividió en 3 grupos ( $n=10$ ). Grupo AHB CU: con sellador AH Plus biocerámico (Dentsply) y cono único; grupo AHP CU: con sellador AH Plus resinoso (Dentsply) y cono único; y AHP CL: con sellador AH Plus resinoso y compactación lateral. Finalizada la obturación y para simular las condiciones orales, las muestras fueron almacenadas en estufa a  $37^\circ$  durante 72 hs, en ambiente húmedo, hasta lograr el fraguado de los selladores. Posteriormente, se realizó un corte a 5 mm del ápice, el cual fue observado con microscopio óptico (Olimpus) y fotografiado. Las imágenes fueron analizadas con el Software Image Pro-Plus para cuantificar los espacios vacíos, para lo cual se midió el área expresada en  $\mu\text{m}^2$ . Los datos fueron analizados con el Software InfoStat y para el análisis estadístico se utilizó el test ANOVA. En todos los casos se estableció el nivel de significación del 5%.

**Resultados:** Las áreas vacías fueron menores en el grupo AHB CU ( $17746 \pm 19737 \mu\text{m}^2$ ), en comparación con el sellador resinoso, tanto para la técnica de cono único AHP CU ( $50362 \pm 52184 \mu\text{m}^2$ ), como la de compactación lateral AHP CL ( $40225 \pm 36849 \mu\text{m}^2$ ), sin embargo, las diferencias no resultaron estadísticamente significativas ( $p=0,31$ ). Al contrastar ambos selladores sin discriminar la técnica utilizada, no hubo diferencias significativas ( $p=0,09$ ).

**Conclusión/es:** Las áreas vacías son un componente no deseado en la obturación endodóntica, no obstante, ambos selladores, AH Plus biocerámico y AH Plus resinoso, mostraron la presencia de vacíos en el nivel estudiado, independientemente de la técnica usada.



035

ID 2036

**EVALUACIÓN DE TRATAMIENTOS ENDODÓNTICOS REALIZADO POR ESTUDIANTES DE GRADO: ADAPTACIÓN Y ANÁLISIS DE NUEVOS PARÁMETROS CLÍNICOS**Belén Natalí Dextler, Martina Rosón Fontán, Eugenia Pilar Consoli Lizzi, Romina Chaintiou Piorno, Ariel Félix Gualtieri, Pablo Alejandro Rodríguez.  
Cátedra de Endodoncia, FOUBA.

**Introducción:** La Asociación Americana de Endodoncistas (AAE) ofrece la herramienta EndoCase (ECA) para evaluar la dificultad endodóntica, pero algunos parámetros no son prácticos. Este estudio adapta ECA con nuevos criterios para una evaluación más efectiva

**Objetivo/s:** 1) Caracterizar y establecer la dificultad del tratamiento endodóntico realizado por alumnos de grado de la Cátedra de Endodoncia de la Facultad de Odontología de la Universidad de Buenos Aires (FOUBA) con un formulario ECA adaptado y 2) Relacionar el nivel de dificultad y los resultados obtenidos en cuanto a calidad del tratamiento

**Materiales y Métodos:** Estudio transversal y observacional en 149 pacientes seleccionados al azar, atendidos por alumnos de grado de la Cátedra de Endodoncia de la FOUBA en el periodo de marzo-septiembre 2024. Se utilizó el formulario evaluativo de dificultad de caso ECA modificado, recolectando los datos a través de la aplicación Google Forms. Se evaluó la calidad de tratamiento con un examen radiográfico postoperatorio teniendo en cuenta parámetros de homogeneidad, longitud de la obturación, y sellado coronario correctos. Las variables se describieron mediante frecuencias absolutas y porcentajes con intervalos de confianza al 95% (IC95), estimados con el método de Wilson. Para comparar frecuencias se empleó la prueba Chi-cuadrado ( $p < 0,05$ , significativo)

**Resultados:** Los diagnósticos registrados con más frecuencia fueron necrosis pulpar/absceso alveolar crónico (28%, IC95: 22% a 36%) y necrosis pulpar/periodontitis apical crónica (27%, IC95: 20% a 34%). Dentro de los 149 casos registrados, la dificultad fue baja, moderada y alta en 21 (14%, IC95: 9% a 21%), 75 (50%, IC95: 42% a 58%) y 53 (36%, IC95: 28% a 44%), respectivamente. Se registraron 29 tipos diferentes de dificultades. Las más representadas fueron dientes con destrucción extensiva de la corona (27%, IC95: 22% a 32%), acceso previo sin complicaciones (12%, IC95: 8% a 16%), reabsorción apical mínima (9%, IC95: 6% a 13%), dolor o inflamación moderados (8%, IC95: 6% a 12%) y leve limitación para abrir la boca (8%, IC95: 5% a 11%). La técnica de tratamiento fue correcta en 140 casos (94%; IC95: 89% a 97%), e incorrecta solamente en 9 (6%; IC95: 3% a 11%); esta diferencia fue significativa ( $p < 0,05$ )

**Conclusión/es:** Los resultados de este trabajo muestran que la complejidad de los casos atendidos por este grupo de alumnos es moderada con resolución exitosa.

036

ID 2101

**ESTUDIO EXPERIMENTAL DE LA RESPUESTA DEL TEJIDO PULPAR A FITOCANNABINOIDES**Romina Chaintiou Piorno<sup>1</sup>, Mariela Lacave<sup>2</sup>, Pablo Alejandro Rodríguez<sup>1</sup>, Javier Fernández Solari<sup>3,4</sup>, Claudia Ester Mohn<sup>3,4</sup>.  
1. Cátedra de Endodoncia, FOUBA. 2. Cátedra de Histología y Embriología, FOUBA. 3. Cátedra de Fisiología, FOUBA. 4. CONICET.

**Objetivo/s:** Estudiar el comportamiento del tejido pulpar frente a distintos compuestos utilizados en terapia de pulpa vital (VPT) en ratas con pulpitis moderada.

**Materiales y Métodos:** Se utilizaron ratas Wistar hembras de 250 gr (n=4 por grupo). Se indujeron pulpitis moderadas en los primeros molares inferiores, en los cuales se procedió a realizar la pulpotomía seguida de la aplicación de diferentes materiales como estrategia de VPT. En un grupo se utilizó Biodentine; en otro, se utilizó una resina de fitocannabinoides con proporción de THC/CBD 1:1 (Therapy) y en un tercer grupo, THC/CBD 1:1.3 (Moby Dick). Se realizó el sellado coronario con composite y se procedió a la eutanasia a los 7 y 14 días post tratamiento siguiendo las normas CICUAL-FOUBA. Los hemimaxilares fueron procesados para su estudio histológico con H&E. Se evaluó de manera descriptiva el comportamiento del tejido pulpar a los distintos tratamientos. Se cuantificó el porcentaje de hueso interradicular y los resultados se analizaron con ANOVA y post test de Newman-Keuls, siendo significativas las diferencias con  $p < 0,05$ .

**Resultados:** Transcurridos los 7 días post VPT, en el primer grupo se observó una barrera celular de aspecto similar a la predentina en el tercio coronario del conducto radicular en contacto con el Biodentine, el tejido pulpar presentó buena vascularización. El ligamento periodontal se encontró conservado al igual que el tejido óseo interradicular. En el segundo y tercer grupo la respuesta fue similar, observándose una barrera de aspecto semejante a la predentina en tercio coronario del conducto radicular en contacto con la resina, seguida de abundante infiltrado inflamatorio en tercio medio radicular. Se encontró pérdida ósea interradicular respecto a BD ( $74.02 \pm 2.2\%$ ) con Therapy ( $60.93 \pm 4.9\%$ ,  $p < 0,05$ ) y con Moby Dick ( $54.45 \pm 2.8\%$ ,  $p < 0,01$ ). A los 14 días post VPT en el primer grupo se observó la evolución favorable al tratamiento realizado, no siendo así en los grupos con fitocannabinoides donde la patología pulpar mostró una progresión adversa y se intensificó la pérdida ósea interradicular en el grupo Moby Dick ( $47.8 \pm 4.3\%$ ,  $p < 0,001$ ) respecto a Biodentine ( $72.8 \pm 2.2\%$ ).

**Conclusión/es:** Los resultados de este trabajo muestran que el Biodentine resulta más favorable para la VPT que las resinas de cannabinoides usadas.

037

ID 1986

## INFLUENCIA DE LOS ANDAMIOS SOBRE LOS RESULTADOS DE LOS PROCEDIMIENTOS DE ENDODONCIA REGENERATIVA: METAANÁLISIS

Viviana Báez<sup>1</sup>, Ariel Félix Gualtieri<sup>2</sup>, Lorena Corcos<sup>1</sup>, María Pía Visconti<sup>1</sup>, Antonella Sciarrota<sup>1</sup>, Pablo Alejandro Rodríguez<sup>1</sup>.

1. Cátedra de Endodoncia, FOUBA. 2. Cátedra de Odontología Legal, Forense e Historia de la Odontología, FOUBA.

**Introducción:** Los procedimientos de endodoncia regenerativa requieren de una matriz biológica (andamio) para lograr la regeneración de tejidos en el espacio pulpar y la maduración radicular completa.

**Objetivo/s:** Evaluar, mediante un metaanálisis, los resultados de los tratamientos de endodoncia regenerativa con 3 andamios (coágulo, membrana colágena y concentrados plaquetarios), en relación a 3 variables: aumento del espesor dentinario, aumento de la longitud radicular y cierre apical.

**Materiales y Métodos:** Se implementaron búsquedas bibliográficas en PubMed-MEDLINE, Scopus y Lilacs-BVS, abarcando artículos publicados entre 2008 y 2020. Se siguieron los esquemas PRISMA y PICOS. El estudio incluyó 30 artículos, con un total de 668 endodoncias regenerativas. Después de analizar el riesgo de sesgo, se realizaron metaanálisis descriptivos con modelos de efectos fijos o aleatorios, según lo que correspondía. Como medidas de heterogeneidad se utilizaron Q de Cochran e I<sup>2</sup>. p<0,05 fue considerado significativo. El protocolo fue registrado en PROSPERO.

**Resultados:** Cuando el andamio fue un coágulo, los porcentajes de intervenciones con aumento de espesor dentinario, aumento de longitud radicular y cierre apical fueron los siguientes, respectivamente: 59% (IC95 50%-68%; Q=83, p<0,05; I<sup>2</sup>=66%), 61% (IC95 51%-69%; Q=73, p<0,05; I<sup>2</sup>=63%) y 69% (IC95 60%-76%; Q=56, p<0,05; I<sup>2</sup>=56). Cuando fue una membrana de colágeno, los porcentajes de intervenciones con aumento de espesor dentinario, aumento de longitud radicular y cierre apical fueron los siguientes, respectivamente: 73% (IC95 55%-85%; Q=28, p<0,05; I<sup>2</sup>=72%), 67% (IC95 50%-80%; Q=26, p<0,05; I<sup>2</sup>=69%) y 74% (IC95 59%-85%; Q=16, p<0,05; I<sup>2</sup>=55%). Cuando fue un concentrado plaquetario, los porcentajes de intervenciones con aumento de espesor dentinario, aumento de longitud radicular y cierre apical fueron los siguientes, respectivamente: 65% (IC95 40%-83%; Q=33, p<0,05; I<sup>2</sup>=79%), 68% (IC95 54%-80%; Q=13, p=0,08; I<sup>2</sup>=46%) y 61% (IC95 41%-79%; Q=33, p<0,05; I<sup>2</sup>=75%).

**Conclusión/es:** Los resultados obtenidos sugieren un mejor desempeño de la matriz colágena, seguida por los concentrados plaquetarios y, en último lugar, el coágulo de sangre. Futuros estudios clínicos controlados aleatorizados podrían esclarecer estos resultados y aumentar las evidencias actuales.

038

ID 1961

## PERIODONTITIS APICAL: RELACIÓN ENTRE EL DIAGNÓSTICO HISTOPATOLÓGICO Y EL TAMAÑO DE LA LESIÓN

Li Ting Lee<sup>1</sup>, Luis Nicolas Alfie<sup>1</sup>, Eugenia Miklaszewski<sup>1</sup>, María Eugenia Santillan<sup>1</sup>, Ariel Félix Gualtieri<sup>2</sup>, Florencia Neput<sup>1</sup>, Pablo Alejandro Rodríguez<sup>1</sup>.

1. Cátedra de Endodoncia, FOUBA. 2. Cátedra de Odontología Legal, Forense e Historia de la Odontología, FOUBA.

**Introducción:** En toda microcirugía apical el material extraído debe someterse obligatoriamente a un análisis histopatológico para arribar a un diagnóstico de certeza. Es imposible determinar el diagnóstico de cada entidad patológica luego del tratamiento endodóntico convencional, ya que, por razones éticas, sólo cuando se está presente ante el fracaso clínico radiográfico de un tratamiento o retratamiento, es factible acceder mediante una microcirugía al estudio del tejido periapical. Por ende, es imprescindible aprovechar esta instancia de tratamiento para estudiar la prevalencia y la evolución de las patologías periapicales y poder profundizar conocimiento sobre los detalles que podrían condicionar su aparición y pronóstico. El Quiste Inflamatorio Radicular (QIR) y Granuloma Apical (GA) comparten la etiología representando distintos estadios transicionales de la misma lesión y son comúnmente hallados en el ápice de las piezas dentarias con necrosis pulpar.

**Objetivo/s:** Estudiar la relación entre el diagnóstico histopatológico y el tamaño radiográfico de las lesiones periapicales.

**Materiales y Métodos:** Se analizaron las historias clínicas de todos los pacientes concurrentes a la Cátedra de Endodoncia de la Facultad de Odontología de Buenos Aires entre julio 2022 y marzo 2024 que requirieron microcirugías endodónticas, registrando los siguientes datos: sexo y edad del paciente, pieza dentaria tratada y resultado del análisis histopatológico (granuloma apical: GA; quiste inflamatorio radicular: QIR). Asimismo, se recolectaron las imágenes preoperatorias de todos los casos. Todos aquellos pacientes que no contaban con la historia clínica completa y todas las imágenes radiográficas correctas del tratamiento realizado fueron excluidos del estudio. En total se incluyeron en el estudio 107 casos. Las imágenes en formato .tiff fueron procesadas con el software libre y gratuito ImageJ (Versión 1.54g), mediante el cual un operador realizó la medición del área de cada una de las lesiones en mm<sup>2</sup>. Los datos fueron analizados mediante prueba Chi-cuadrado, odds ratio (OR), regresión logística y curva ROC (p < 0,05, significativo).

**Resultados:** El área de la lesión estuvo entre 4,64 a 411,42 mm<sup>2</sup>. Se encontró una asociación significativa entre el área de lesión y el diagnóstico (p < 0,05): para superficies mayores a 97,89 mm<sup>2</sup>, el 92% de los casos fueron QIR y el 8% GA; en cambio, cuando la superficie fue menor o igual que 97,89 mm<sup>2</sup>, los diagnósticos de QIR y GA estuvieron representados con porcentajes de 17% y 83%, respectivamente. El análisis de regresión logística indicó que la superficie de la lesión contribuye significativamente a la predicción del diagnóstico (p < 0,05): un incremento de la superficie de la lesión está asociado con una mayor probabilidad de presentar QIR (OR = 1,03; IC95: 1,02 a 1,04). El análisis de ROC estimó un punto de corte óptimo en 97,89 mm<sup>2</sup>: superficies de lesión mayores que 97,89 mm<sup>2</sup> predicen un diagnóstico de QIR con una sensibilidad de 84% (IC95: 73% a 93%) y una especificidad de 92% (IC95: 80% a 98%).

**Conclusión/es:** Los resultados sugieren que mientras mayor es la superficie de la lesión, mayor es la probabilidad de que el diagnóstico sea QIR. Una superficie mayor a 97,89 mm<sup>2</sup> permitiría diagnosticar QIR con buena capacidad predictiva.

039

ID 2097

**IMPACTO DEL CONSUMO DE UNA DIETA CON ALTO CONTENIDO DE SAL DURANTE EL CRECIMIENTO SOBRE LA MANDÍBULA Y SU ASOCIACIÓN CON MARCADORES DEL METABOLISMO ÓSEO**Melina Sosa De Lucca<sup>1</sup>, Leonardo Cacciagu<sup>1,2</sup>, Clarisa Bozzini<sup>3</sup>, Ricardo Orzuza<sup>1</sup>, Esmeralda Lopez Quispe<sup>1</sup>, Vanesa Touceda<sup>1</sup>, Vanesa Elisa Macri<sup>1</sup>, Silvia Friedman<sup>1</sup>, Veronica Mikstowicz<sup>1,3</sup>.

1. Cátedra de Bioquímica General y Bucal. Unidad de Investigación de Bioquímica Traslacional y Metabolismo (UBiTYM), FOUBA. 2. Hospital General de Agudos Teodoro Álvarez. Laboratorio Central. Sección Bioquímica. Buenos Aires. Argentina. 3. Cátedra de Fisiología, FOUBA. 4. Cátedra de Histología y Embriología, FOUBA. 5. CONICET.

**Objetivo/s:** Estudiar en un modelo animal en crecimiento el efecto del consumo de una dieta con alto contenido de sal sobre las características histológicas y las propiedades biomecánicas estructurales de la mandíbula y su asociación con marcadores del metabolismo óseo.

**Materiales y Métodos:** Ratas Wistar macho fueron divididas al destete en: Control (C, n=5), alimentadas con dieta comercial y Dieta rica en sal (DAS, n=6), con dieta conteniendo NaCl 8%, y agua "ad libitum", durante 8 semanas. El peso corporal, consumo de agua y dieta se registraron semanalmente. A t=final se recolectó orina de 24hs en jaulas metabólicas para evaluar marcadores de función renal y metabolismo óseo. Los animales se anestesiaron y eutanasiaron por punción cardíaca para la obtención de suero y posterior determinación de marcadores bioquímicos. Las hemimandíbulas izquierdas se procesaron por técnica histológica determinando mediante el software Image J el volumen óseo interradicular (VO/VT%), espesor del ligamento periodontal (LP), y densidad de lagunas con osteocitos (N.Ot/mm<sup>2</sup>) y vacías (N.E.Lc/mm<sup>2</sup>) en una sección central y representativa del hueso interradicular. Las hemimandíbulas derechas se conservaron para el análisis de las propiedades biomecánicas estructurales mediante el test mecánico de flexión a tres puntos. Se midió la longitud de la tibia como marcador de crecimiento. Se utilizó el test T de Student o U de Mann-Whitney y los test de Pearson o Spearman para el análisis de datos. Significancia p<0,05. El protocolo fue aprobado por CICUAL-FOUBA.

**Resultados:** DAS presentó mayor ingesta calórica y consumo de agua (p<0,01 y <0,001, respectivamente) y menor peso corporal final (p<0,001). El peso mandibular disminuyó en DAS (p<0,001), aún luego de corregir por la longitud de la tibia (p<0,01), acompañado de un menor VO/VT% (p=0,007). DAS presentó menor resistencia a la fractura (p=0,038) y carga elástica límite (p=0,029). En DAS aumentó significativamente la natriuria (p< 0,01), calciuria (p<0,01), fosfaturia (p<0,01) y el clearance de creatinina (p<0,001). El peso mandibular se asoció directamente con VO/VT% (p=0,01). El peso mandibular y el VO/VT% se asociaron negativamente con la calciuria (p=0,008 y p=0,026, respectivamente) y con la fosfaturia (p=0,006 y p=0,015, respectivamente). A diferencia de C, DAS presentó lagunas osteocíticas vacías.

**Conclusión/es:** El consumo una dieta con elevado contenido de sal durante el crecimiento, impacta negativamente sobre las características histológicas y las propiedades estructurales de la mandíbula como resultado del aumento en la excreción urinaria de calcio y fosfatos.

040

ID 1985

**QUISTE NASOLABIAL: ESTUDIO DE UNA SERIE DE CASOS**Yamil Emilio Fasah<sup>1</sup>, Lucas F. Polti<sup>2</sup>, Federico Stolbizer<sup>1</sup>, María Luisa Paparella<sup>3</sup>.

1. Cátedra de Cirugía II, FOUBA. 2. Laboratorio de Patología Quirúrgica, Cátedra de Anatomía Patológica, FOUBA. 3. Consultorio de Patología Bucal, CABA.

**Introducción:** El quiste nasolabial fue excluido, sin argumentaciones, en las últimas ediciones de la Clasificación de la Organización Mundial de la Salud. Es un quiste de desarrollo-embriionario que, si bien no compromete directamente la cavidad bucal, debiera considerarse entre los diagnósticos diferenciales de las patologías del área bucomaxilofacial. Las series de casos de quiste nasolabial son escasas y en su mayoría enfocadas a propuestas terapéuticas.

**Objetivo/s:** Evaluar aspectos clínicos e histopatológicos del quiste nasolabial y establecer su prevalencia.

**Materiales y Métodos:** Se recopilaron 16 casos de quiste nasolabial en un período de 63 años. Se analizaron aspectos clínicos. Se evaluaron caracteres morfológicos e histoarquitecturales y expresión inmunohistoquímica de Ki67 (proteína nuclear reguladora del ciclo celular, es utilizado como marcador de proliferación celular). Estudio observacional, retrospectivo y descriptivo de una serie de casos.

**Resultados:** El quiste nasolabial representó el 0.02% de toda la patología bucomaxilar. Todos los casos se presentaron en mujeres, la media de edad fue 47 años (34-65 años) con pico en la cuarta década de vida. Los diez casos, que disponían de información clínica, presentaron tumoración desplazable, borramiento del surco nasolabial, elevación del ala de la nariz y asimetría facial; dos casos (20%) presentaron epistaxis; tres casos (30%) dolor. El tamaño fue entre 2 a 4cm (8 casos, 53%). El diagnóstico presuntivo fue quiste nasolabial (11 casos, 73%). En todos los casos se realizó enucleación con abordaje intrabucal. Microscópicamente, se observó pared quística con revestimiento epitelial de espesor variable, crecimiento endo-exofítico de tipo papilar (13 casos, 81%) con células caliciformes (15 casos, 94%), ciliadas (15 casos, 94%), en tachuela (13 casos, 81%), y estructuras acinares intraepiteliales (5 casos, 31%) y rosetoides (4 casos, 24%). En todos los casos el tejido conectivo presentó acentuada vascularización, congestión, extravasación hemática e infiltrado inflamatorio. El Ki67 fue <10%, mayor en zonas papilares.

**Conclusión/es:** El quiste nasolabial es una entidad patológica definida que debiera ser reconocida a pesar de su baja prevalencia. La expresión aumentada del Ki67 en áreas papilares justificaría su crecimiento.





041

ID 2002

## ESTUDIO DE UNA SERIE DE 24 CASOS DE CEMENTOBLASTOMA

Krissy María Villegas Padilla<sup>1</sup>, María Luisa Paparella<sup>2</sup>.

1.Laboratorio de Patología Quirúrgica, Cátedra de Anatomía Patológica, FOUBA. 2. Consultorio de Patología Bucal, CABA.

**Introducción:** El cementoblastoma es reconocido por la Organización Mundial de la Salud como un tumor odontogénico benigno mesenquimático caracterizado por la formación de cemento celular similar al hueso que se fusiona a la raíz dentaria y la reabsorbe. Este tumor fue también descrito en el grupo de lesiones fibro-óseas benignas de los huesos maxilares y plantea el diagnóstico diferencial con otras entidades incluidas bajo esta denominación.

**Objetivo/s:** El objetivo de este trabajo fue evaluar caracteres clínico-radiográficos y microscópicos de una serie de 24 casos de Cementoblastoma.

**Materiales y Métodos:** Se recopilaron 24 casos de cementoblastoma en un período de 64 años. Se evaluaron caracteres clínicos e imagenológicos. Se analizaron caracteres microscópicos correspondientes a trabécula y tejido intertrabecular. Estudio observacional retrospectivo y descriptivo de una serie de casos.

**Resultados:** El cementoblastoma representó el 1,4% de los tumores odontogénicos registrados en nuestro archivo. La media de edad fue 25 años (5-44años) con igual distribución en ambos sexos. La localización prevalente fue mandíbula (20 casos-83%), molares izquierdos (11 casos-55%). El tamaño tumoral varió entre 1 y 2 cm. Clínicamente, presentaron aumento de volumen (7 casos-29%) y dolor (16 casos-67%). Ocho casos (33%) disponían de estudios por imágenes, 2 casos (25%) con antecedente de exodoncia, en 6 casos (75%) se observó fusión del tumor a la raíz dentaria y en 2 casos (33%) la cápsula mostró continuidad con el espacio periodontal. Microscópicamente, en todos los casos se observó formación de trabéculas cemento-óseas con apariencia pagética hiper celular, esclerosis (19 casos-96%), necrosis focal (12 casos-50%), actividad blástica-clásica (17 casos-71%), aspecto irradiado periférico (7 casos-29%). El tejido intertrabecular fue laxo (18 casos-75%) con infiltrado inflamatorio (5 casos-21%). En los casos en que se analizaron piezas dentarias (7 casos-29%) se observó reabsorción radicular.

**Conclusión/es:** El cementoblastoma es un tumor odontogénico raro que guarda similitud con otras patologías que asientan en el reborde alveolar. Los hallazgos clínico-patológicos observados en esta serie de cementoblastoma permiten establecer el diagnóstico, separándolo de otras patologías que asientan en el reborde alveolar y plantean el diagnóstico diferencial. A nuestro entender, esta es la primera serie de cementoblastoma reportada en nuestro país y en Latinoamérica.

042

ID 2004

## INCIDENCIA DE FRACTURAS DE LA TABLA ÓSEA VESTIBULAR EN EXODONCIAS DEL SECTOR ANTERO-SUPERIOR

Oswaldo Calabrese, Luis Rodrigo Belotti, Julián Robles, Matías Mazzucco, Sacha Rossi Grosó, Lucía Gagey, Leandro Monqaut, Inés María Zorrilla.

Cátedra A de Cirugía II Facultad de Odontología UNC.

**Introducción:** La exodoncia es una técnica quirúrgica que debe realizarse de forma cuidadosa para evitar la fractura de tablas óseas vestibulares (FTOV), las mismas provocan problemas estéticos, funcionales, pérdida de hueso alveolar, colapso de los tejidos duros, blandos y dificultad para la rehabilitación protésica o implantaria.

**Objetivo/s:** Evaluar la incidencia de FTOV en exodoncias del sector anterosuperior del maxilar superior, considerando sexo, edad y tamaño de la fractura, realizadas por alumnos de la Cátedra A de Cirugía II (CADCII) de la Facultad de Odontología de la Universidad Nacional de Córdoba (FOUNC).

**Materiales y Métodos:** Estudio retrospectivo, observacional y de corte transversal, donde se analizaron datos de historias clínicas (HC) de pacientes que requirieron extracciones simples en dientes anterosuperiores, realizadas por alumnos de la CADCII FOUNC entre 2014-2023. Las variables estudiadas fueron: sexo, edad, tamaño de la fractura. Se realizó una estadística descriptiva y un análisis de correlación de los datos

**Resultados:** De las 4694 HC, 833 correspondieron a exodoncias de dientes anterosuperiores (17,75%), 339 en pacientes masculinos (40,7%) y 494 en femeninos (59,3%). Se registraron 74 fracturas de la tabla ósea vestibular (8,8%), 49 menores o iguales a 2mm (66,21%) y 25 mayores a 2mm (33,79%). De las 49 fracturas menores o iguales a 2mm, 35 ocurrieron en pacientes masculinos (71,42%) y 14 en femeninos (28,58%). De las 25 fracturas mayores a 2mm, 20 ocurrieron en pacientes masculinos (80%) y 5 en femeninos (20%). La distribución de las fracturas por grupo de edad fue la siguiente: de 18 a 30 años: 3 fracturas (4,06%), de 31 a 45 años: 9 fracturas (12,16%), de 46 a 60 años: 17 fracturas (22,97%), mayores de 60 años: 45 fracturas (60,81%). Existiendo una correlación significativa entre sexo, edad y fracturas.

**Conclusión/es:** Bajo las condiciones de este estudio se pudo establecer la alta incidencia de fracturas de la tabla ósea vestibular en exodoncias del sector anterosuperior sobre todo en pacientes de sexo masculino y mayores de 60 años. Consideramos muy importante que los estudiantes reciban formación en exodoncia atraumática y conservadora, para, así de esta manera reducir la incidencia de fracturas de las tablas óseas vestibulares.

## 043

### ID 2117 BIOTIPO FACIAL: COMPARACIÓN DE DOS MÉTODOS DE OBTENCIÓN MEDIANTE TELERRADIOGRAFÍA

Ana Sánchez<sup>1</sup>, Ileana Bonzi<sup>1</sup>, Cintia Coiro<sup>1</sup>, Walter Cornes<sup>1</sup>, Fernando González Maglio<sup>1</sup>, Ana Soler<sup>1</sup>, Noelia Vitali<sup>1</sup>, Andrea Zabala<sup>1</sup>, Ailín Gómez<sup>2</sup>, Diego Vázquez<sup>1</sup>, Pablo Andrés Salgado<sup>2</sup>  
1. Cátedra de Diagnóstico por imágenes, FOUBA. 2. Cátedras de Microbiología y Parasitología y de Odontología Preventiva y Comunitaria, FOUBA. Instituto de Investigaciones en Salud Pública. UBA.

**Objetivo/s:** Comparar un método cualitativo para determinar el biotipo facial en telerradiografías de perfil con el método Gold Standard, índice Vert de Ricketts.

**Materiales y Métodos:** Se realizó una investigación radiográfica cefalométrica, transversal, observacional, diseño analítico, correlacional. La muestra estuvo conformada por 95 telerradiografías laterales con trazado cefalométrico de Ricketts tomadas de la base de datos de la Cátedra de Diagnóstico por Imágenes de la Facultad de Odontología de la UBA. Las radiografías fueron evaluadas por un operador utilizando una guía visual con 8 características craneofaciales basadas en las observaciones descritas por Jarabak y Fitzzell. Se confeccionó una tabla para registrar los datos de biotipología de los pacientes, obtenidos mediante dicha observación cualitativa: braquifacial y dolicofacial, comparando con el biotipo aportado por el índice Vert del cefalograma de Ricketts. Análisis Estadístico: análisis de concordancia con Test Kappa de Cohen con probabilidad para cada método entre la observación cualitativa versus el método de Ricketts. Se evaluó la sensibilidad y especificidad tomando como Gold Estándar el método de Ricketts.

**Resultados:** La aplicación de la prueba de Kappa de Cohen arrojó un valor de 0,7 y una probabilidad condicional para braquifacial de 0,868 y para dolicofacial 0,815 ( $p < 0,001$ ). Por otra parte, la sensibilidad y especificidad respectivamente fue para braquifacial de 94,3% y dolicofacial de 73,3%.

**Conclusión/es:** Se determinó que existe concordancia mediana entre ambos procedimientos por lo que la utilización del método cualitativo presenta relativa validez diagnóstica con respecto al método Vert de Ricketts para la valoración del biotipo facial del paciente en telerradiografía de perfil.

## 044

### ID 2123 DETERMINACIÓN DEL ESTADÍO DE CARMEN NOLLA DE PRIMEROS MOLARES INFERIORES EN RADIOGRAFÍAS PANORÁMICAS

Ileana María Amalia Bonzi<sup>1</sup>, Julieta Serafini<sup>1</sup>, Alejandra Antoniuik<sup>1</sup>, Luisina Mazza<sup>1</sup>, Stephanie Arario<sup>1</sup>, Patricia Indkevitch<sup>1</sup>, Victoria Quiroga<sup>1</sup>, Teresita Cifuentes<sup>1</sup>, María Luz Di Bartolo<sup>1</sup>, Florencia Arrigo<sup>1</sup>, Pablo Salgado<sup>2</sup>, Ailín Gómez<sup>1</sup>, María Julia Carosi<sup>1</sup>, Diego Jorge Vázquez<sup>1</sup>  
1. Cátedra de Diagnóstico por imágenes, FOUBA. 2. Cátedras de Microbiología y Parasitología y de Odontología Preventiva y Comunitaria, FOUBA. Instituto de Investigaciones en Salud Pública. UBA.

**Objetivo/s:** Identificar el estadio de Carmen Nolla en primeros molares inferiores con radiografías panorámicas y correlacionar con la edad cronológica.

**Materiales y Métodos:** Se realizó estudio retrospectivo, observacional de corte transversal sobre 95 pacientes, con panorámica realizada en la Cátedra de Diagnóstico por imágenes-FOUBA. Criterios de inclusión: edad 5-10 años, con primeros molares inferiores permanentes sin patología. Se determinó estadio de desarrollo dentario según escala de Carmen Nolla. Se estudiaron variables: edad, sexo, estadio de Nolla. Se comparó estadio de desarrollo radicular de lado derecho con izquierdo. Para variables cualitativas se utilizaron frecuencia y porcentaje, pruebas de chi-cuadrado, Fisher exacto para edad y estadio. Para correlacionar estadio entre lado derecho e izquierdo, Tau\_b de Kendall. Valores  $p < 0,001$  se consideraron estadísticamente significativos.

**Resultados:** N= 95, distribución por sexo: femenino 45 (47,4%)

Distribución de pacientes por edad, 5años=7,4%; 6años=16,8%; 7años=28,4%; 8años=27,4%; 9años=11,6% y 10años=8,4%.

Para lado izquierdo, la distribución de estadio según edad fue:

5años: estadio 7 (42,9%)  
6años: estadio 8 (68,8%)  
7años: estadio 9 (55,6%)  
8años: estadio 9 (73,1%)  
9años: estadio 10 (63,6%)  
10años: estadio 10 (75%)

Para lado derecho, la distribución fue:

5años: estadio 8 (57,1%)  
6años: estadio 8 (56,3%)  
7años: estadio 9 (48,1%)  
8años: estadio 9 (76,9%)  
9años: estadio 10 (72,7%)  
10años: estadio 10 (62,5%)

Hubo diferencia estadísticamente significativa en el desarrollo radicular según edad ( $p < 0,001$ ) y correlación en estadio de Nolla entre lado derecho e izquierdo: 0,896  $p = 0,001$  Tau\_b de Kendall.

**Conclusión/es:** Generalmente a los 5 años, los primeros molares inferiores presentan  $\frac{1}{3}$ - $\frac{2}{3}$  de formación radicular, correspondiendo a Estadios 7 y 8 de Nolla. Con la edad y el desarrollo, alcanzan su formación radicular completa y cierre apical, correspondiendo a Estadios 9 y 10.



045

**ID 2148**  
**ESTUDIO HISTOLÓGICO CUALITATIVO DE UN MODELO EXPERIMENTAL DE OSTEONECROSIS DE LOS MAXILARES (ONAM)**

Milton Tomas Nervegna, Carlos Willems, Carlos Andres Bárcenas, Mariela Lacave, Luciana Marina Sanchez.  
Cátedra de Histología y Embriología, FOUBA.

**Introducción:** ONAM es una patología que se ha incrementado y, aunque se han logrado avances significativos en su manejo clínico, su fisiopatología aún no está completamente dilucidada. Dado que el desarrollo de modelos experimentales de investigación traslacional de esta patología continúa siendo controversial y escaso,

**Objetivo/s:** El objetivo del presente trabajo ha sido la puesta a punto de un nuevo modelo experimental de ONAM en ratas Wistar y compararlo con el previamente realizado en nuestro laboratorio (SAIO, 2021).

**Materiales y Métodos:** Se utilizaron 8 Ratas Wistar macho de 3 meses de edad divididas en 4 grupos (n=2): Control (C), Dexametasona (DX), Zoledronato (ZOL) y DX+ ZOL. Las drogas fueron administradas de la siguiente manera: DX 1mg/kg diario subcutáneo durante 3 semanas desde inicio y ZOL: 0.1mg/kg subcutáneo 1 vez por semana desde el inicio hasta 5º semana. En la 3ª semana se practicó la exodoncia del 2º molar inferior derecho y el fresado del alvéolo post exodoncia. En la 8ª semana se realizó la eutanasia de todos los animales y se resecaron las mandíbulas las cuales fueron procesadas por descalcificación para la obtención de cortes M-D analizados histológicamente bajo observación de microscopio óptico de campo claro (H-E y Mallory) y de polarización (Picrosirius red). Las observaciones obtenidas fueron comparadas con las de experiencias realizadas previamente en nuestro laboratorio.

**Resultados:** Comparado con los resultados obtenidos previamente, los cortes coloreados con H&E del grupo ZOL+DX mostraron un proceso inflamatorio de mayor envergadura que el resto de los grupos. Si bien los animales del grupo ZOL y del grupo DX presentaron áreas de necrosis, en los animales del grupo ZOL+DX estas resultaron más extensas y presentaron secuestros óseos. Estos hallazgos se evidenciaron en los cortes coloreados con Mallory. Los cortes coloreados con Picrosirius red revelaron una birrefringencia mayor en el grupo ZOL+DX que en el resto de los grupos compatible con desorganización del colágeno de la matriz.

**Conclusión/es:** Teniendo en cuenta los resultados obtenidos, el nuevo modelo experimental llevado a cabo demuestra mayor número de criterios compatibles con ONAM que el previamente presentado. Es necesario analizar una mayor cantidad de casos para obtener datos estadísticamente significativos.

046

**ID 1971**  
**CAMBIOS VOLUMÉTRICOS EN ALVÉOLOS POSTEXODONCIA CON Y SIN PRESERVACIÓN ALVEOLAR**

Sabrina Senil<sup>1</sup>, Teresita Ferrary<sup>2</sup>, Angélica Castro Escalante<sup>3</sup>, Alejandra Antoniuk<sup>4</sup>, Pablo Salgado<sup>5</sup>, Sebastián Puía<sup>1</sup>, Betina Orman<sup>5</sup>.

1. Cátedras de Cirugía Bucomaxilofacial I, FOUBA. 2. Cátedra de Medicina Interna, FOUBA. 3. Cátedra de Farmacología, FOUBA. 4. Cátedra de Diagnóstico por Imágenes, FOUBA. 5. Cátedra de Microbiología, FOUBA.

**Introducción:** La preservación alveolar es una técnica muy conocida y estudiada. Sin embargo, se le ha dado poca importancia a la interrelación del tejido blando y del tejido óseo a nivel de los alvéolos postexodoncia.

**Objetivo/s:** Evaluar el cambio dimensional en el alvéolo post exodoncia a nivel del tejido blando, óseo y su interrelación, con cicatrización espontánea (CE) y con preservación alveolar (PA).

**Materiales y Métodos:** Se diseñó un modelo volumétrico/ tomográfico. Los archivos STL obtenidos al inicio del tratamiento y a seis meses se superpusieron con archivos DICOM a tiempo (t) 0 y 180. Se midió el espesor del tejido blando a t 0 y 180. Para el cambio volumétrico del contorno lineal se superpusieron los archivos STL a t 0 y 180. Para el contorno horizontal, se midió el ancho del reborde por la superposición de archivos STL. Para la evaluación del tejido óseo, se midieron las tablas vestibulares, palatinas y ancho del reborde óseo en los archivos DICOM a t 0 y 180. El análisis estadístico de las variables discretas y continuas se realizó utilizando el software SPSS22 y una p<0.05 se consideró significativa.

**Resultados:** La diferencia del espesor de tejido blando post/pre entre ambos grupos para dos puntos mostró diferencias significativas p=0,025 (CI 95% 0,252-3,098) y p=0,014 (CI 95% 0,353-2,417). Para el contorno vestibular las diferencias post/pre no presentaron diferencias significativas (DS). El contorno total, tampoco mostro DS (p=0,62). El análisis de tejido óseo post/pre mostró DS para las tablas vestibular p=0,03 y palatina p=0,02. El ancho de tejido óseo mostró una reducción para el grupo de preservación alveolar de 0,95±0,48 mm y para el grupo de cicatrización espontánea de 2,61±2,56 mm, no evidenciando DS (p=0,15). El área ósea se redujo a t 180 (p=0,017).

**Conclusión/es:** A t 180 se observaron cambios dimensionales lineales y volumétricos en ambos. Para el grupo PA, el comportamiento del tejido blando fue diferente al del tejido óseo cuyo espesor se redujo a t 180. En el grupo CE se observó un aumento del espesor de tejido blando a t 180. La remodelación ósea subyacente fue más pronunciada en el grupo CE. Sin embargo, ambos grupos lograron conservar el contorno tanto lineal como volumétrico del reborde, lo que sugiere una compensación de la remodelación del reborde con tejido blando en el grupo CE. La interrelación del tejido duro y blando resulta muy dinámica, teniendo ambos influencia directa en la conservación del contorno del alvéolo postexodoncia.

047

ID 1970

**COMPORTAMIENTO DE RESINAS FLUIDAS EN OBTURACIONES OCLUSALES, SOMETIDAS A CICLAJE TÉRMICO: EVALUACIÓN IN VITRO DE MICROFILTRACION MARGINAL MEDIANTE MICROSCOPIA ÓPTICA Y CONFOCAL DE BARRIDO LÁSER (C.S.L.M.)"**Nicolás Peralta de Elías<sup>1</sup>, Martín A. Farah<sup>2</sup>, Sebastián Fontana<sup>3</sup>.<sup>1</sup>. Departamento de Rehabilitación Bucal, Cátedra de Operatoria II "B", Facultad de Odontología, Universidad Nacional de Córdoba (UNC). <sup>2</sup>. Departamento de Rehabilitación Bucal, Cátedra de Materiales Dentales, Facultad de Odontología, UNC. <sup>3</sup>. Departamento de Ciencias Básicas, Cátedra de Histología y Embriología "A", Facultad de Odontología, UNC.

**Objetivo/s:** Estudiar el efecto del termociclado en obturaciones de resinas fluidas en preparaciones de mínima invasión. Analizar con microscopía óptica (convencional y confocal) la microfiltración (MFM) de materiales sometidos a 10000 ciclos.

**Materiales y Métodos:** Se tallaron cavidades en 60 premolares superiores sin caries y formaron 3 grupos: G1 (Ácido Ultraetch, adhesivo Optibond FL y resina Revolution, n20); G2 (adhesivo Single Bond Universal y resina Filtek Z350 XT Flow, n20); G3 (resina autoadhesiva Dyad Flow, n20). La mitad de los dientes fue grupo control y la otra sometida a 10000 ciclos en termocicladora (5 a 55 °C) fabricada ad-hoc. Los dientes se sumergieron 24 hs. en fucsina básica a 0,5% y se obtuvieron secciones vestibulo-linguales con cortadora. Se observó en microscopio Olympus BX-50 y se midió la penetración del colorante en la interfaz. Se obtuvieron imágenes en CSLM y se cuantificó la MFM en tercios oclusal (O), medio (M) y apical (A) de las cavidades. Se determinaron frecuencias relativas de filtración. Para el contraste estadístico se usaron pruebas de Chi<sup>2</sup> y Anova-Tukey en función del tipo de datos. Significación estadística: P<0.05.

**Resultados:** La MFM fue infrecuente en dientes sin termociclar (G1: 0%; G2: 2,5%; G3: 5%), sin diferencias estadísticamente significativas entre grupos (p=0,36). Para dientes termociclados, en G1 no se observó MFM mientras que en G2 fue (37,5%) y G3 (60%) (p<0,01). La frecuencia de filtración difirió significativamente entre G1 y, G2 y G3. Al analizar la MFM en dientes ciclados, se verificaron diferencias significativas entre el grupo G1 (0 µm), G2 (98 µm) y G3 (159 µm;) (p<0,05). Mediante CSLM, con una submuestra de 18 secciones (6 por grupo) se evaluó el espesor del *gap* en tres zonas de la cavidad, resultando las diferencias no estadísticamente significativas entre las zonas (p=0,25). Los espesores medios de los *gaps* fueron mayores en A y O (4,02 µm y 3,90 µm respectivamente), en contraste con M (1,36 µm). En cuanto a los grupos, los valores medios fueron: G1=2,71 µm; G2=5,86 µm y G3=0,70 µm, con diferencias estadísticamente significativas sólo entre los grupos G2 y G3 (p=0,02).

**Conclusión/es:** La aplicación del termociclado reveló diferentes magnitudes de MFM. La técnica adhesiva convencional según este estudio sigue siendo esencial para lograr mejor adhesión a esmalte.

048

ID 1980

**USO DE RESINAS CON REFUERZO DE FIBRAS PARA EVITAR LA PROPAGACIÓN DE FISURAS EN RESTAURACIONES COMPLEJAS DE CLASE II**Mercedes Juárez Peñalva<sup>1</sup>, Josefina Tabora<sup>1</sup>, Ignacio Mazzola<sup>2</sup>, Gustavo Fabián Molina<sup>2</sup>.<sup>1</sup>. Cátedra de Protopodencia I "A", Facultad de Odontología, Universidad Nacional de Córdoba. <sup>2</sup>. Cátedra de Materiales Dentales, Facultad de Odontología, Universidad Nacional de Córdoba.

**Introducción:** La pérdida de los rebordes marginales en cavidades oclusales de molares y premolares aumenta el riesgo de fractura del remanente coronario.

**Objetivo/s:** Evaluar la propagación de fisuras en restauraciones MOD de molares con recubrimiento de cúspides funcionales y/o con resinas con refuerzo de fibras como sustituto dentinario.

**Materiales y Métodos:** Se restauraron 96 cavidades MOD en terceros molares sanos de reciente extracción asignados a 4 grupos según la preparación cavitaria y 3 subgrupos según el material para sustituto dentinario (n=8): A- c/fisura simulada (2 mm de profundidad a 45° en el piso debajo de las cúspides funcionales); B- c/fisura + 2 mm de recubrimiento de cúspides funcionales; C- s/fisura y s/recubrimiento; D- s/fisura y c/recubrimiento; Subgrupo1- resina flow c/fibra (EverX Flow, GC America, USA); Subgrupo2- resina condensable c/fibra (EverX Posterior, GC America, USA); Subgrupo3- resina fluida (Filtek Flow, 3M, USA). Para todas las restauraciones se aplicó el mismo protocolo adhesivo y se finalizaron con una resina nanohíbrida (Filtek Z350, 3M, USA), polimerizando 40 s con LED 1400 mW/cm<sup>2</sup> cada estrato de 2 mm. Las muestras fueron almacenadas 48 h a 37° C 100 % de humedad. La prueba de compresión se realizó con máquina universal de ensayo (Digimes X8000) a una velocidad de carrera de 1 mm/min. Los elementos fueron posicionados perpendicularmente, aplicando la fuerza a través de una punta roma sobre la vertiente interna de las cúspides funcionales hasta el momento de la fractura. Los valores medios (ds) se analizaron mediante ANOVA y las diferencias con test exacto de Fisher y corrección de Bonferroni para p ≤ 0.05.

**Resultados:** Los valores más altos se registraron en los grupos C1, D1 y D2, con 1855.4 (521.7), 1569.6 (307.3) y 1609.0 (344.7) N respectivamente. Se observaron diferencias significativas entre estos tres grupos y el grupo B3 con 735.0 (277.3) (p = 0.01); los valores medios de los demás subgrupos estuvieron entre 1015 y 1457 N con amplias variaciones en cada uno de ellos. No se asoció la tendencia a la fractura con la simulación de fisuras o con la protección cuspidéa.

**Conclusión/es:** Las resinas con refuerzo de fibra como sustituto dentinario permiten absorber y disipar las fuerzas compresivas que reciben las cúspides funcionales en cavidades complejas de clase II, evitando la propagación de fisuras.

049

ID 2016

### MICRODUREZA VICKERS EN PIEZAS DENTARIAS INFILTRADAS IN VITRO

María Alejandra Lei<sup>1</sup>, Ana Laura Sorazabal<sup>2</sup>, Ricardo Luis Macchi<sup>1</sup>, Mariana Picca<sup>1</sup>.

1. Cátedra de Materiales Dentales, FOUBA. 2. Cátedra de Odontología Preventiva y Comunitaria, FOUBA.

**Objetivo/s:** El objetivo del presente trabajo fue evaluar la microdureza Vickers de las piezas dentarias infiltradas con distintas técnicas y materiales a base de resinas.

**Materiales y Métodos:** Se usaron 44 premolares permanentes sin caries extraídos. Se registraron tres mediciones iniciales (T1) en la superficie vestibular con el microdurómetro Vickers (Future Tech FM300) (50 g y 10 s). Cuatro de ellos fueron reservados como grupo control y los restantes se sometieron a dos ciclos de desmineralización mediante una solución de CaCl<sub>2</sub> (2,2 mM), NaH<sub>2</sub>PO<sub>4</sub> (2,2 mM), ácido acético (0,05 M) con un pH 4,5, durante 96 h y a 37 °C. En las muestras tratadas, se registró la microdureza (T2) y se los dividió en 10 grupos (n=4). En la mitad de ellos se hizo un tratamiento con ácido fosfórico al 37% (Super Etch, SDI) por 3 min y en la otra con ácido clorhídrico al 15% por 2 min. En cada uno de los cinco grupos de cada una de estas condiciones experimentales se infiltró la superficie con Enamel Bond (Densell), Permaseal (Ultradent), Brilliant Flow (Coltene), Sealant P&F (Densell) o resina ICON (DGM) y se registró la microdureza posinfiltrado (T3). Luego se sometieron a un tratamiento de envejecimiento artificial acelerado (EAA) en cámara de exposición UV con lámpara fluorescente, con ciclos de 4 h de radiaciones ultravioletas a 60 °C y 4 h de condensación de vapor de agua a 50 °C de forma sucesiva por dos semanas y luego se midió nuevamente la microdureza (T4). Los resultados fueron analizados estadísticamente mediante análisis de varianza y pruebas no paramétricas cuando estaba indicado, así como comparaciones múltiples por contrastes ortogonales y prueba de Tukey. El nivel de significación fue establecido en P<0,05.

**Resultados:** Se encontró un efecto estadísticamente significativo (P<0,001) del tipo de infiltrado y de la condición de valoración de la microdureza y para la interacción entre ambos. Las comparaciones múltiples mostraron que la microdureza inicial disminuía con el proceso de desmineralización y era menor que la registrada después de la infiltración. El grupo de ácido fosfórico con resina Brilliant Flow es el que mostró menores valores en la variable luego de la infiltración. El envejecimiento no produjo modificación notoria en la situación observada posinfiltrado.

**Conclusión/es:** Bajo las condiciones de este estudio se puede estimar que la microdureza del esmalte, que disminuye con los procesos de desmineralización, puede ser parcialmente recuperada mediante las técnicas de infiltración con resinas.

050

ID 2018

### ESTABILIDAD DE COLOR EN PIEZAS DENTARIAS TRATADAS CON LA TÉCNICA DE INFILTRACIÓN DE RESINAS

María Alejandra Lei<sup>1</sup>, Ana Laura Sorazabal<sup>2</sup>, Ricardo Luis Macchi<sup>1</sup>, Mariana Picca<sup>1</sup>.

1. Cátedra de Materiales Dentales, FOUBA. 2. Cátedra de Odontología Preventiva y Comunitaria, FOUBA.

**Objetivo/s:** El objetivo del presente trabajo fue evaluar el cambio de color de las piezas dentarias infiltradas con distintas técnicas y materiales a base de resinas.

**Materiales y Métodos:** Se usaron 44 premolares permanentes sin caries extraídos. Se registraron tres mediciones iniciales (T1) en la superficie vestibular con el espectrofotómetro EasyShade (Vita Zahnfabrik) en escala de color CIE Lab. Cuatro de ellos fueron reservados como grupo control y los restantes se sometieron a dos ciclos de desmineralización mediante una solución de CaCl<sub>2</sub> (2,2 mM), NaH<sub>2</sub>PO<sub>4</sub> (2,2 mM), ácido acético (0,05 M) con un pH 4,5, durante 96 h y a 37 °C. En las muestras tratadas, se registró nuevamente el color de la misma forma (T2) y se los dividió en 10 grupos (n=4). En la mitad de ellos se hizo un tratamiento con ácido fosfórico al 37% (Super Etch, SDI) por 3 min y en la otra con ácido clorhídrico al 15% por 2 min. En cada uno de los cinco grupos de cada una de estas condiciones experimentales se infiltró la superficie con Enamel Bond (Densell), Permaseal (Ultradent), Brilliant Flow (Coltene), Sealant P&F (Densell) o resina ICON (DGM) y se registró el color posinfiltrado (T3). Luego se sometieron a un tratamiento de envejecimiento artificial acelerado (EAA) en cámara de exposición UV con lámpara fluorescente, con ciclos de 4 h de radiaciones ultravioletas a 60 °C y 4 h de condensación de vapor de agua a 50 °C de forma sucesiva por dos semanas y luego se midió nuevamente el color (T4). Se calculó la diferencia de color ΔE con la fórmula  $\Delta E = [(\Delta L)^2 + (\Delta a)^2 + (\Delta b)^2]$  donde ΔL, Δa y Δb son las diferencias de los valores L, a y b en los distintos tiempos de valoración. ΔE1= T2 y T1, ΔE2= T3 y T1 y ΔE3= T4 y T1. Los resultados fueron analizados estadísticamente mediante análisis de varianza y pruebas no paramétricas cuando estaba indicado, así como comparaciones múltiples por prueba de Tukey. El nivel de significación fue establecido en P<0,05.

**Resultados:** En ΔE y las dimensiones L y a, el resultado del ANOVA mostró un efecto estadísticamente muy significativo para el factor condición de valoración (P<0,001) y no significativo el factor grupo ni la interacción entre ellos. Si bien el cambio de color es perceptible al ojo humano (ΔE mayor a 3,3), no se diferencia estadísticamente del grupo control.

**Conclusión/es:** Bajo las condiciones de este estudio se puede estimar que el cambio de color de las piezas dentarias infiltradas es similar a la de una pieza dentaria sin tratamiento luego de someterse al EAA.



051

ID 2020

**EVALUACIÓN DE MICRODUREZA DE RESINA CONVENCIONAL VS IMPRESA PARA RESTAURACIONES INDIRECTAS**Cintia Alejandra Martínez<sup>1</sup>, Analía Garrofé<sup>2</sup>, Adrián Alfredo Ochoa<sup>1</sup>, Pablo Andrés Salgado<sup>3</sup>, Alejandro Pineda Rodríguez<sup>1</sup>, Damián Luis De Moliner<sup>1</sup>, Jorge Esteban Aredes<sup>1</sup>.<sup>1</sup>. Cátedra de Odontología Integral del Adulto Mayor y Clínica de Prótesis Removible, FOUBA. <sup>2</sup>. Cátedra de Materiales Dentales, FOUBA. <sup>3</sup>. Cátedra de Microbiología y Parasitología, Cátedra de Odontología Preventiva y Comunitaria FOUBA, Instituto de Investigaciones en Salud Pública UBA.

**Introducción:** Los materiales de base polimérica se utilizan ampliamente para producir restauraciones indirectas mediante tecnología aditiva.

**Objetivo/s:** El objetivo del estudio es evaluar la dureza superficial de dos resinas impresas comparadas con una resina para inserción indirecta. CETICA-FOUBA 040/2023.

**Materiales y Métodos:** Se confeccionaron discos de resina (7x2 mm) para cada grupo (n=10): Crowntec (Saremco, Suiza) (Grupo S); Permanent Crown Resin (FormLabs, EE.UU) (Grupo F) y SR Nexco (Ivoclar Vivadent, Alemania) (Grupo N), siguiendo las indicaciones de los fabricantes. Los grupos S y F se imprimieron a 0° con un espesor de capa de 50µm utilizando impresoras 3D Phrozen Sonic 4K 2022 y FormLabs 3B+. Luego de 48 horas (t<sub>0</sub>), cada muestra fue sometida a 5 indentaciones con durómetro Microhardness Tester FM-300, utilizando una carga de 25 gf y un tiempo de permanencia de 5 s. Las muestras fueron almacenadas en agua destilada a 37°C y el ensayo se repitió luego de transcurridas 48 horas (t<sub>1</sub>). Las mediciones de cada superficie fueron promediadas y registradas como número de dureza Vickers (VHN). Los datos fueron analizados mediante HSD Turkey (p<0,05) y T de Dunnet bilateral (p<0,001).

**Resultados:** La media y DS de valores de dureza registrados para cada grupo en t<sub>0</sub> fue N<sub>0</sub> = 44,8±5,6 (min 37,4- máx 56,2), S<sub>0</sub>=33,9 ±4,8 (min 27,4- máx 40,3), F<sub>0</sub>=29,0±5,2 (min 23,2- máx 38,4) y en t<sub>1</sub> fue N<sub>1</sub>=42,3±4,7 (min 35,0-máx 48,4), S<sub>1</sub>=29,2 ±3,3 (min 24,8-máx 34,7), F<sub>1</sub>=28,3 ±4,7 (min 24,2-máx 37,0). Se encontraron diferencias estadísticas entre N vs S y N vs F en t<sub>0</sub> y t<sub>1</sub> (p<0,001).

**Conclusión/es:** Bajo las condiciones de este estudio podemos concluir que la dureza superficial de las resinas impresas estudiadas es menor que la de resina convencional y que no existen diferencia significativa en la dureza superficial de ambas resinas impresas evaluadas en t<sub>0</sub> y t<sub>1</sub>.

052

ID 2039

**MOVIMIENTO DENTARIO ORTODÓNICO EN CONDICIONES DE HIPOMINERALIZACION**

Guido Lautaro Reboredo, William Eduardo Patitucci, Juliana Rodríguez.

Cátedra de Histología y Embriología, FOUBA.

**Objetivo/s:** Estudiar morfométricamente e histomorfométricamente el movimiento dentario ortodónico en un modelo de hipomineralización.

**Materiales y Métodos:** Se utilizaron 11 ratas Wistar hembras de 30 días de edad (80±10 g) y fueron divididas en dos grupos: Control e HIP. El grupo HIP recibió 20 mg/kg de etidronato disódico vía intraperitoneal, cinco veces por semana durante 4 semanas, mientras que el grupo control recibió un volumen equivalente de solución fisiológica. A la semana 3 de iniciado el ensayo, se anestesió a los animales y se les colocó un dispositivo de ortodoncia experimental en el primer molar inferior izquierdo, ejerciendo 25gF hacia mesial. Luego de 6 días, los animales fueron anestesiados, eutanasiados, se extrajeron y hemiseccionaron las mandíbulas. Se tomaron radiografías digitales y mediante el software Image J se determinaron las diferencias entre las distancias intercuspeada, intercervical e interradicular inicial y final entre el primer y segundo molar. Luego, las muestras fueron procesadas histológicamente para la obtención de cortes orientados y coloreados con H&E. Mediante microfotografías digitales y el software Image J se determinó la altura (µm) y actividad de tablas óseas mesial y distal (%). Los datos fueron analizados mediante el Test T de Student considerándose significativo p<0.05.

**Resultados:** El grupo HIP presentó un desplazamiento del primer molar hacia mesial significativamente menor (p<0.05) tanto a nivel cuspeado y cervical como interradicular respecto del grupo control. Además, la tabla ósea mesial del grupo HIP presentó una altura significativamente mayor (C: 1468±143; HIP: 1971±64) (p<0.05) y una actividad ósea significativamente menor (resorción: C: 31.7±8.9; HIP: 15.4±1,2/ formación: C: 26.4±4.4; HIP: 10.4±5.7) (p<0.05) que el grupo control. Sin embargo, la tabla ósea distal no presentó diferencias significativas entre grupos en los parámetros medidos.

**Conclusión/es:** La hipomineralización reduce el movimiento dentario ortodónico probablemente debido a alteraciones de la actividad osteoclástica.

053

ID 2094

## ESTUDIO COMPARATIVO DE LOS EFECTOS DE LA EXPOSICIÓN PRE Y POSNATAL DE AMOXICILINA SOBRE LA ERUPCIÓN DENTARIA (ED)

Merlina López, Carola Bettina Bozal, Luciana Marina Sánchez.  
Cátedra de Histología y Embriología, FOUBA.

**Introducción:** En nuestro laboratorio hemos observado que la exposición a amoxicilina en las etapas tempranas del desarrollo acelera la ED a expensas de cambios en el alvéolo en formación, pero no en el desarrollo dental.

**Objetivo/s:** Dado que la odontomorfogénesis comienza en la etapa prenatal concomitantemente a la ED, el objetivo fue comparar en ratas lactantes los resultados de la exposición pre y posnatal a amoxicilina sobre dicho proceso.

**Materiales y Métodos:** Se emplearon 3 ratas Wistar hembra preñadas asignadas aleatoriamente a 3 grupos que recibieron desde el 13° día de gestación hasta el parto, diariamente y por gavage, grupos E1 y E2, 500 mg/kg de peso de amoxicilina y grupo C, solución fisiológica en las mismas condiciones que E1 y E2. Desde el nacimiento y hasta el 15° día posnatal, cuando se realizó la eutanasia de todos los animales (n=8 por cada grupo), las crías de los grupos E1 y C continuaron recibiendo el mismo tratamiento de acuerdo con su grupo y las del grupo E2 no recibieron tratamiento. Los hemimaxilares fueron procesados con la técnica de descalcificación. Sobre microfotografías de cortes bucolinguales a nivel de la raíz mesial del 1° molar se cuantificó grado de ED, desarrollo dental (DD), desarrollo radicular (DR) y de la vaina radicular de Hertwig (HERS) y la base del alveolo (BA). Los datos fueron analizados con el Test de ANOVA de una vía y Bonferroni post hoc, considerando una  $p < 0.05$  estadísticamente significativa.

**Resultados:** El grado de ED no tuvo diferencias entre los animales del grupo expuesto a amoxicilina solo durante la gestación y el grupo control (C:  $905,4 \pm 116,81 \mu\text{m}$  E2:  $826,01 \pm 78,68 \mu\text{m}$ ) sin embargo resultó significativamente mayor en los animales expuestos al fármaco pre y posnatalmente (C:  $905,4 \pm 116,81 \mu\text{m}$  E1:  $708,59 \pm 98,37 \mu\text{m}$ ). El DD no mostró diferencias entre los grupos (C:  $2,95 \pm 0,14 \text{mm}$  E1:  $1,88 \pm 0,17 \text{mm}$  E2:  $2,01 \pm 0,12 \text{mm}$ ) y el DR (E1:  $693,67 \pm 62,15 \mu\text{m}$  vs E2:  $831,38 \pm 40,33 \mu\text{m}^*$ ) y de HERS (E1:  $67,57 \pm 12,59 \mu\text{m}$  vs E2:  $106,38 \pm 30,78 \mu\text{m}^*$ ) resultaron significativamente mayores en E2 con respecto a E1 al igual que los valores para BA (E1:  $65,1 \pm 31,14 \text{mm}^2$  E2:  $190,69 \pm 44,67 \text{mm}^2$  \*)

**Conclusión/es:** La exposición sólo prenatal a amoxicilina no altera la ED ni el desarrollo dentario lo cual podría deberse a un efecto protector de la placenta como barrera selectiva al pasaje del antibiótico, demostrando que el mayor efecto deletéreo lo ejerce cuando la exposición es también posnatal.

054

ID 1987

## CRONOLOGÍA Y SECUENCIA DE ERUPCIÓN PARA LA DENTICIÓN PERMANENTE

Marina Andrea Toscano, Jimena Alejandra Anchava, Silvina Gabriela Cortese, Ana María Biondi.  
Cátedra de Odontología Integral Niños, FOUBA.

**Objetivo/s:** Estimar la edad media de erupción de todas las piezas dentarias permanentes, exceptuando terceros molares, en niños de la Ciudad de Buenos Aires (CABA). Comparar las medias de erupción de cada pieza entre sexos, maxilares, y homólogos contralaterales. Identificar la secuencia eruptiva para cada maxilar.

**Materiales y Métodos:** Estudio observacional, prospectivo y transversal que incluyó todas las piezas permanentes de todos los niños de ambos sexos entre 4 y 15 años atendidos en FOUBA y en 4 consultorios de CABA (marzo-julio 2024). Se identificó pieza dentaria presente cuando al menos un cúspide o borde incisal hubiera atravesado el epitelio gingival (Carr 1962). La edad media de erupción se estimó mediante el método de Kärber. Se calcularon intervalos de confianza (I.C.) 95%, asumiendo una diferencia significativa (a nivel 5%) si ninguno de los I.C. de una de las dos medias contenía a la otra media. La secuencia de erupción se obtuvo al ordenar las edades medias.

**Resultados:** Se analizaron 1063 niños (532 femeninos), edad media 9.92 años (DS: 2.66). Las primeras piezas en erupción fueron los incisivos centrales inferiores (ICI) y las últimas los segundos molares superiores (2°MS). No se observaron diferencias significativas entre hemiarquadas derecha e izquierda. El grupo incisivo-canino inferior erupcionó significativamente antes que sus correspondientes superiores. En las niñas la erupción se mostró anterior a los varones, siendo la diferencia significativa para todas las piezas dentarias excepto para los ICS, 1°MS y 1°MI. La secuencia eruptiva superior fue: 6 - 1 - 2 - 4 - 3 - 5 - 7 en las niñas y 6 - 1 - 2 - 4 - 5\* - 3\* - 7 en los varones. Para el maxilar inferior: 1 - 6 - 2 - 3\* - 4\* - 5 - 7 y 1 - 6 - 2 - 4 - 3 - 5 - 7 en niñas y niños respectivamente (\*erupción casi simultánea).

**Conclusión/es:** En esta muestra de CABA, la secuencia de erupción presentó la particularidad de iniciarse en ambos sexos con los ICI. La edad media de erupción fue simétrica respecto a ambas hemiarquadas, anterior para el grupo incisivo-canino inferior y más precoz en las niñas. En el 1er período transicional, la secuencia eruptiva fue la misma en niñas y niños, observándose ligera variabilidad en el 2do período para caninos y premolares, finalizando en ambos grupos con la erupción de los 2°MS.



055

ID 2013

**DESPLAZAMIENTO DE CANINOS POR QUISTES RADICULARES ASOCIADOS A PATOLOGÍA PULPAR DE PIEZAS PRIMARIAS POSTERIORES**Melisa Ienco, Manuela Guanzini, Betania Cecenarro, Verónica H. Pavan.  
Cátedra de Odontología Integral Niños, FOUBA.

**Objetivo/s:** Identificar en pacientes que concurren a la Cátedra de Odontología Integral Niños FOUBA la frecuencia de caninos permanentes desplazados, por lesiones quísticas radiculares en el sector de molares primarios y su distribución en los maxilares. Relacionar la edad con la necesidad de tratamiento ortodóncico.

**Materiales y Métodos:** Diseño observacional, retrospectivo y transversal. Criterios de inclusión: Historias clínicas completas, estudios radiográficos e informe de anatomía patológica con diagnóstico de quiste inflamatorio radicular (QIR) en molares primarios, entre 2010 y 2024. Se analizaron: edad, sexo, caninos desplazados, piezas primarias involucradas en la lesión, necesidad de tratamiento ortodóncico. Los pacientes fueron divididos en dos grupos etarios: G1 4 a 9 y G2 10 a 15 años. Análisis estadístico: media, desvío estándar, intervalos de confianza del 95% y Chi cuadrado.

**Resultados:** n: 42 pacientes, sexo masculino 54.7%. Edad promedio  $8.9 \pm 2.6$  años (rango 4 a 15 años). Se identificaron 44 QIR, 13.63% en maxilar superior y 86.34% en el inferior. Provocaron desplazamiento de caninos el 83.33% (35.79-99.57) y el 15.78% (5.98-31.29) en maxilar superior e inferior respectivamente. Del total de caninos afectados el 45.45% (16.62-76.73), 36.34% (10.76-69.31) y el 18.18% (2.11-51.85) correspondieron a las piezas 1.3, 4.3 y 3.3 respectivamente. G1 quedó conformado por 22 niños, edad  $6.9 \pm 1.5$  años, 63.6% varones, y G 2 por 20, de  $11.2 \pm 1.4$  años, 55% mujeres. La frecuencia de caninos desplazados fue 27.27% para la pieza 4.3 en G1 y 27.27% para la pieza 1.3 en G2. Las lesiones producidas por las piezas 54 y 55 causaron desplazamiento en el 45.45%. No se encontraron diferencias significativas en la necesidad de tratamiento ortodóncico en relación con la edad  $p=0.782$ , pero sí entre necesidad de tratamiento y maxilar afectado ( $p=0.006$ ) y entre el desplazamiento canino y el maxilar involucrado ( $p=0.002$ ).

**Conclusión/es:** Dadas las características anatómicas del maxilar superior se acrecientan las posibilidades de desplazamiento y necesidad de tratamiento de los caninos superiores desplazados por los quistes radiculares.

056

ID 2093

**IMPACTO DE LA EXPOSICIÓN A DEXAMETASONA PRENATAL SOBRE LA ERUPCIÓN Y LA FORMACIÓN DENTARIA**Rubén Manuel Piña Lugo, Carola Bettina Bozal, Luciana Marina Sánchez.  
Cátedra de Histología y Embriología, FOUBA.

**Introducción:** La administración de dexametasona en lactantes inhibe el proceso de formación ósea, incluso el que acompaña a la erupción dentaria (ED).

**Objetivo/s:** Hasta el momento se desconoce si la exposición crónica a dexametasona prenatal afecta dichos procesos, por ello, el objetivo de este estudio fue determinar en ratas lactantes el efecto de una exposición crónica prenatal a dexametasona sobre la ED y el desarrollo del alvéolo en formación.

**Materiales y Métodos:** Se emplearon 2 ratas Wistar hembra de 2-3 meses de edad asignadas aleatoriamente a grupos: experimental (E), bajo tratamiento con glucocorticoides de manera crónica mediante inyecciones intramusculares semanales de 7 mg/kg de dexametasona (Decadron, Sidus, Argentina) durante 5 semanas y control (C) que recibió solución fisiológica en las mismas condiciones que el E. A la 6<sup>o</sup> semana las ratas fueron apareadas. Luego de la confirmación del apareamiento, las ratas preñadas continuaron recibiendo la inyección semanal correspondiente a cada grupo experimental hasta el nacimiento de las crías, a las cuales se les practicó la eutanasia a los 15 días de edad (n=8 por grupo). Las hemimandíbulas resecaadas fueron procesadas histológicamente con técnica por descalcificación y coloración H-E. A través del software Image Pro Plus, sobre microfotografías de cortes bucolinguales a nivel de la raíz mesial del 1<sup>o</sup> molar se cuantificó grado de ED, desarrollo dental (DD), longitud radicular (LR), la altura de las tablas vestibular (HTV) y lingual (HTL), la base del alveolo (BA). Los datos fueron analizados con el Test t de Student, considerando una  $p < 0.05$  estadísticamente significativa.

**Resultados:** En los animales expuestos prenatalmente al glucocorticoide con respecto al C el grado de ED (C:  $330,46 \pm 65,55 \mu\text{m}$  E:  $745,06 \mu\text{m}$ ), la LR (C:  $603,64 \pm 78,24 \mu\text{m}$  E:  $218,31 \pm 39,22 \mu\text{m}$ ) y la HTV (C:  $1561,32 \pm 120,01 \mu\text{m}$  E:  $1355,81 \pm 216,84 \mu\text{m}$ ) fueron significativamente menores. Los demás parámetros no mostraron diferencias entre los grupos (DD: C:  $1366,07 \pm 76,43 \text{mm}$  E:  $1250,87 \pm 132,82 \text{mm}$ ; BA: C:  $56,34 \pm 19,07 \text{mm}$  E:  $46,25 \pm 18,31 \text{mm}$  2; HTL: C:  $946,98 \pm 93,35 \mu\text{m}$  E:  $966,57 \pm 99,12 \mu\text{m}$ ).

**Conclusión/es:** La exposición prenatal a dexametasona retrasa la ED alterando el desarrollo radicular concomitante a la formación del alvéolo dentario.

057

ID 1939

### VARIABILIDAD GENÉTICA DEL GEN SPA-P DE STREPTOCOCCUS MUTANS Y EXPERIENCIA DE CARIES

Fabiana Pia Marina Carletto Körber<sup>1</sup>, María Soledad Acosta Joffré<sup>2</sup>, Noelia Soledad Vera<sup>2</sup>, Juan Enrique Martínez<sup>3</sup>, Paula Fidelio<sup>3</sup>, María Graciela Jiménez<sup>2</sup>, Lila Susana Cornejo<sup>4</sup>, María Rosa Mourelle Martínez<sup>5</sup>, Raúl Enrique González Ittig<sup>6,8</sup>.

1.Facultad de Odontología, Universidad Nacional de Córdoba (UNC). 2.Facultad de Ciencias Exactas, Físicas y Naturales. Cátedra de Genética de Poblaciones y Evolución. UNC. 3.Facultad de Ciencias Médicas. UNC. 4.Equipo Interdisciplinario de Investigación en Promoción Contextualizada PROCON. UNC. 5.Facultad de Odontología, Universidad Complutense de Madrid. 6. Instituto de Diversidad y Ecología Animal CONICET.

**Objetivo/s:** Analizar el polimorfismo del gen spa-P en cepas de *S. mutans* y su relación con experiencia de caries en niños de 6-8 años.

**Materiales y Métodos:** Se calcularon los índices ceod, CPOD y SiC de 52 historias clínicas de los niños/as (varones n=23, mujeres n=29). En las cepas de *S. mutans* aisladas de saliva estimulada de los niños/as, se extrajo el ADN y se secuenció el gen spa-P. Se alinearon las secuencias e identificaron los haplotipos del gen y se construyó una red de relaciones genealógicas con el método Median-joining. Se calcularon los índices de diversidad nucleotídica y haplotípica, el índice de neutralidad  $F_s$  y se calculó el índice  $F_{ST}$  para analizar las diferencias genéticas del grupo SIC y NoSIC (significancia estadística  $p < 0.01$ ). Este trabajo fue aprobado por el Comité de Ética de la FO-UNC 22/2023.

**Resultados:** El valor medio de ceod+CPOD=7.11 y SiC=12.47. Se identificaron 34 haplotipos del gen spa-P, siendo el 4 el más frecuente y compartido por cepas de 12 niños. La red de relaciones genealógicas reveló una combinación de haplotipos con poca diferenciación genética y otros separados por numerosas mutaciones. Se detectaron 5 haplotipos compartidos entre los grupos SIC y NoSIC. Con los índices de diversidad molecular, se obtuvieron valores de diversidad nucleotídica de 0.018 +/- 0.011 (SIC) y 0.022 +/- 0.012 (NoSIC) y de diversidad haplotípica 0.978 +/- 0.031 (SIC) y 0.926 +/- 0.038 (NoSIC). Para el grupo SIC, el índice  $F_s = -9.76745$  ( $p < 0.01$ ) fue significativo, pero no fue significativo para el grupo NoSIC ( $F_s = -0.79931$ ;  $p = 0.413$ ). La comparación entre los grupos SIC vs NoSIC, fue no significativa ( $F_{ST} = -0.022$ ;  $p = 0.94288$ ).

**Conclusión/es:** Este estudio evidenció que si bien el tercio de ceod+CPOD más alto (SIC) presentó mayor diversidad haplotípica, la diferenciación genética con el grupo de menor ceod+CPOD no fue significativa.

058

ID 2096

### CALIDAD DE VIDA Y SALUD BUCAL EN ADULTOS INSTITUCIONALIZADOS DEL SISTEMA PENITENCIARIO DE BUENOS AIRES

Ana María Morasso<sup>1</sup>, María Lujan Perez Meyer<sup>2</sup>, Luciana D'Eramo<sup>3,4</sup>, Damian Nuñez<sup>5</sup>, Noemí Bordoni<sup>3,4</sup>, Aldo Squassi<sup>3,4,6</sup>.

1. Doctorado en Ciencias de la Administración, Facultad de Ciencias Económicas, Universidad Nacional de La Plata (UNLP). 2. Escuela de Desarrollo Social y Humano, Universidad Nacional San Antonio de Areco (UNSAEA). 3. Cátedra de Odontología Preventiva y Comunitaria, FOUBA. 4. Instituto de Investigaciones en Salud Pública, UBA. 5. Especialidad en Odontología Legal, Facultad de Medicina, Universidad del Salvador (USAL). 6. CONICET.

**Objetivo/s:** Describir el estado de salud bucal y el impacto de la condición bucal sobre la calidad de vida en adultos institucionalizados en el sistema penitenciario

**Materiales y Métodos:** Se realizó un estudio descriptivo transversal en establecimientos penitenciarios del sistema penal de Buenos Aires (N = 1296). Se seleccionó una muestra de conveniencia (n = 155) mediante muestreo sistemático, utilizando registros institucionales. El estudio fue realizado por un único observador, con la autorización del personal directivo, y se obtuvo el consentimiento informado de los institucionalizados. Las variables incluyeron sexo, edad, antecedentes laborales y nivel educativo. Las variables relacionadas con la salud bucal y su impacto en la calidad de vida se evaluaron con los indicadores CPOD y OHIP-14. Los datos del cuestionario se transcribieron utilizando una escala tipo Likert. Se calcularon distribuciones de frecuencia, medidas de tendencia central y dispersión de cada variable. El procesamiento estadístico incluyó prueba de chi cuadrado, Kruskal-Wallis y el coeficiente de Spearman.

**Resultados:** La edad media fue 45,90 años (SD 10,39). El índice CPOD promedio fue 15,10 (SD 4,42), con baja correlación entre CPOD y edad ( $\rho = 0,098$ ). Los componentes P (dientes perdidos) y C (dientes cariados) representaron el 45,89% y 41,67% del índice CPOD, respectivamente. La media de piezas sanas fue 16,89 (SD 4,42). El nivel educativo medio mostró una asociación significativa con los antecedentes laborales ( $\chi^2 = 19,94$ ,  $p = 0,011$ ). La media del puntaje total del OHIP-14 fue 21,43 (SD 2,79). No se encontró una asociación significativa entre el nivel educativo y el impacto percibido en la calidad de vida (OHIP-14,  $p = 0,2168$ ), ni entre el CPOD y el nivel educativo ( $p = 0,1625$ ).

**Conclusión/es:** Los resultados muestran elevada necesidad de tratamiento odontológico en la población penitenciaria, con un impacto moderado en la calidad de vida.

059

**ID 2135**  
**EFFECTIVIDAD DE UN PROGRAMA PREVENTIVO ESCOLAR EN LA CIUDAD DE BUENOS AIRES.**  
**ESTUDIO PRELIMINAR**

Teresa Serra Capó<sup>1</sup>, Celina Cornejo<sup>1,2,3</sup>, Ana Laura Sorazabal<sup>1,3</sup>, José Quevedo<sup>1</sup>, Francisco Somoza<sup>4</sup>, Pablo Salgado<sup>1,2,3</sup>, Glenda Rossi<sup>1,3</sup>, Aldo Squassi<sup>1,3,5</sup>.  
 1. Cátedra de Odontología Preventiva y Comunitaria, FOUBA. 2. Cátedra de Microbiología y Parasitología, FOUBA. 3. Instituto de Investigaciones en Salud Pública, UBA. 4. Cátedra de Endodoncia, FOUBA. 5. CONICET.

**Objetivo/s:** Evaluar la efectividad del Programa de Aplicación de Barniz de Flúor (PBF) de la Ciudad de Buenos Aires, sobre escolares de 6 y 7 años concurrentes a escuelas de gestión pública, en términos de estabilización y reducción de incidencia de lesiones incipientes de caries, después de un año de intervención.

**Materiales y Métodos:** Se seleccionó una muestra no probabilística de 129 escolares de primer grado que participaron en el PBF. Se realizaron exámenes dentales basales (t0) y de control a los 12 meses (t1), de acuerdo con criterios ICDAS II para evaluar la presencia y actividad de las lesiones de caries. Las lesiones se clasificaron en tres grupos: lesiones ICDAS 0 (L=0), lesiones incipientes (L=1-2) y lesiones cavitadas (L=3-6). Ocho odontólogos realizaron el registro dentario bajo condiciones estandarizadas. Análisis estadístico: Para describir las variables cualitativas se utilizaron frecuencias, porcentajes e intervalos de confianza al 95% (IC 95%). Para comparar el estado entre t0 y t1 se aplicó la prueba de proporciones relacionadas.

**Resultados:** La muestra final estuvo conformada por 82 escolares que recibieron dos aplicaciones. El 91,5% (IC 95%: 84-96,6%) presentó lesiones de caries (L>0) en t0. En t0, el 85,2% de las superficies evaluadas se clasificaron como L=0, el 2,7% como L=1-2 (lesiones incipientes), y el 11,8% como L=3-6 (lesiones cavitadas). En t1, el 95% de las superficies se mantuvo en L=0. De las lesiones incipientes (L=1-2) observadas en t0, el 34,9% revirtió a L=0, mientras que el 6,3% pasó de L1-2 activas a inactivas. El 51,0% de las lesiones incipientes se mantuvo activa, el 1,9% progresó a L=3-6 inactivas, y el 3,7% progresó a L=3-6 activas.

**Conclusión/es:** El Programa de Aplicación de Barniz de Flúor (PBF) implementado en la Ciudad de Buenos Aires mostró, tras 12 meses de seguimiento, su efectividad en la reducción de la incidencia de caries y en la estabilización de las lesiones incipientes en escolares de 6 a 7 años.

060

**ID 2139**  
**PREVALENCIA DE CARIES DE INFANCIA TEMPRANA EN LA CIUDAD AUTÓNOMA DE BUENOS AIRES**

Celina Cornejo<sup>1,2,3</sup>, Glenda Rossi<sup>1,3</sup>, Rocío Lazzati<sup>1,3</sup>, Constanza Leyes<sup>1</sup>, Gabriela Alvaredo<sup>1</sup>, Graciela Klemonska<sup>1,2,3</sup>, Pablo Salgado<sup>1,2,3</sup>, Aldo Squassi<sup>1,3,4</sup>.

1. Cátedra de Odontología Preventiva y Comunitaria, FOUBA. 2. Cátedra de Microbiología y Parasitología, FOUBA. 3. Instituto de Investigaciones en Salud Pública, UBA. 4. CONICET.

**Objetivo/s:** Estimar la prevalencia de caries de infancia temprana (ECC) en infantes de diferentes grupos etarios que asisten a centros de primera infancia y jardines de infantes en la Ciudad Autónoma de Buenos Aires (CABA).

**Materiales y Métodos:** Se incluyeron 490 infantes (edad mediana de 36 meses, rango de 12 a 72 meses) de ambos sexos, que asisten a centros de primera infancia y jardines en la CABA. Se obtuvo el consentimiento informado de los tutores legales y el asentimiento de los infantes. Los infantes fueron agrupados según la edad: G1: hasta 2 años (n=218), G2: 3 años (n=190), y G3: 4 y 5 años (n=82). El examen dentario fue realizado por investigadores calibrados en los diferentes centros. Se registraron las lesiones de caries de acuerdo con criterios ICDAS II y la necesidad de tratamiento de caries mediante el Índice de necesidad de tratamiento de caries (INTC). Los indicadores se operacionalizaron en: libre de caries (L=0), lesiones incipientes (L1 - L2) y lesiones cavitadas (L3 - L4) y (L5 - L6), e INTCC 00-02, 03-06, y 07-14. Se calcularon frecuencias, porcentajes e intervalos de confianza al 95% (IC 95%). Se utilizó la prueba de Chi-cuadrado para evaluar la asociación entre la presencia de lesiones incipientes y cavitadas en los diferentes grupos.

**Resultados:** La prevalencia de caries (L1-6) en el total de la muestra fue del 50,2% (IC95%: 45,8-54,6); L1-2: 26,9% (IC95%: 23,2-31,0); L3-L4: 25,5% (IC95%: 21,8-29,5); L5-L6: 20% (IC95%: 16,6-23,7). Los valores del INTC fueron: 00-02: 58,6% (IC95%: 54,1-63,0); 03-06: 35,8% (IC95%: 31,5-40,2); 07-14: 5,6% (IC95%: 3,8-8,0). Se observaron diferencias significativas en la frecuencia de lesiones (L1-6) entre los grupos: G1=34,4%, G2=58,9%, G3=72,0% (p<0,001); L1-2: G1=20,6%, G2=35,3%, G3=24,4% (p<0,001); L3-4: G1=12,8%, G2=31,6%, G3=45,1% (p<0,001); y L5-6: G1=8,7%, G2=21,6%, G3=46,3% (p<0,001).

**Conclusión/es:** Los infantes que asisten a centros de primera infancia y jardines en la CABA presentan una alta frecuencia de lesiones de caries en todos los grupos etarios, con una prevalencia creciente a medida que aumenta la edad.



061

**ID 2140**  
**FRECUENCIA Y DISTRIBUCIÓN DE LESIONES INICIALES DE CARIES EN PACIENTES QUE ASISTEN A UN HOSPITAL ODONTOLÓGICO UNIVERSITARIO**

Rocío Lazzati<sup>1,3</sup>, Ana Laura Sorazabal<sup>1,3</sup>, Pablo Salgado<sup>1,2,3</sup>, Aldo Squassi<sup>1,3,4</sup>.

1. Cátedra de Odontología Preventiva y Comunitaria, FOUBA. 2. Cátedra de Microbiología y Parasitología, FOUBA. 3. Instituto de Investigaciones en Salud Pública, UBA. 4. CONICET.

**Objetivo/s:** Determinar la prevalencia y distribución de lesiones iniciales de caries (LIC) en pacientes con dentición permanente que asistieron a la clínica del Hospital Odontológico de la Universidad de Buenos Aires entre 2018 y 2022.

**Materiales y Métodos:** Se llevó a cabo un estudio descriptivo de corte transversal sobre una muestra de 569 pacientes (mediana de edad: 26 años [rango 13-70]) que asistieron a la Cátedra de Odontología Preventiva y Comunitaria de la FOUBA. Se obtuvo el consentimiento informado de los pacientes y se realizó un examen clínico de estado dentario y periodontal. La presencia de lesiones de caries fue evaluada de acuerdo con criterios ICDAS II. Se consideraron LIC a aquellas lesiones código 1 y 2 de ICDAS II. El examen fue realizado por recurso humano pre-profesional supervisado por docentes entrenados. Las lesiones se analizaron a nivel de superficie y se clasificaron en dos grupos: porcentaje de superficies libres con LIC y porcentaje de superficies oclusales y proximales con LIC. Se calculó la prevalencia de al menos una LIC y la prevalencia de LIC en superficies libres. Se realizaron análisis descriptivos, calculando distribución de frecuencias, porcentajes e intervalos de confianza para las variables categóricas. Para las variables cuantitativas, se calcularon la media, el desvío estándar y el intervalo de confianza.

**Resultados:** La prevalencia de al menos una LIC fue del 62,9%. En promedio, los pacientes presentaron LIC en el 3,2% de las superficies, con un 90,5% de superficies sanas y un 6,4% de superficies con lesiones moderadas o severas. En superficies libres, el 45,7% de los pacientes presentó al menos una LIC, con un promedio del 4,2% de superficies afectadas. El 91,5% de las superficies libres estaban sanas, mientras que el 4,4% presentaron lesiones moderadas o severas. En superficies oclusales y proximales, el 48,9% de los pacientes presentó al menos una LIC. En promedio, el 2,4% de las superficies oclusales y proximales presentaron LIC, con un 89,8% de superficies sanas y un 7,8% de superficies con lesiones moderadas o severas.

**Conclusión/es:** Los pacientes que asisten a una clínica del hospital odontológico universitario presentan una alta prevalencia de lesiones iniciales de caries, con una distribución similar entre las diferentes superficies dentarias.

062

**ID 2145**  
**NECESIDAD DE TRATAMIENTOS ENDODÓNTICOS Y ESTADO DE PIEZAS ENDODÓNTICAMENTE TRATADAS EN ADULTOS QUE ASISTEN A UN SERVICIO DE URGENCIAS ODONTOLÓGICAS**

Myriam Boldrini<sup>1</sup>, Alfio Triverio<sup>1</sup>, Cecilia Kumani<sup>1</sup>, Daniela Bessone<sup>1</sup>, Ignacio Pari<sup>1</sup>, Aldo Squassi<sup>2,3</sup>, Pablo Salgado<sup>2,3,5</sup>.

1. Cátedra de Preclínica de Odontología Restauradora, FOUBA. 2. Cátedra de Odontología Preventiva y Comunitaria, FOUBA. 3. Instituto

**Objetivo/s:** Determinar la necesidad de tratamientos endodónticos y estado de piezas endodónticamente tratadas en pacientes adultos que acuden a un servicio de urgencias odontológicas, mediante evaluación radiográfica.

**Materiales y Métodos:** Se examinaron aleatoriamente 500 radiografías panorámicas de personas adultas que concurren al Servicio de Urgencias Odontológicas y Orientación de Pacientes de la Facultad de Odontología de la Universidad de Buenos Aires. Fueron evaluadas la totalidad de las piezas por examinadores que recibieron instrucciones previas a efectos de estandarizar las observaciones. Los datos fueron cargados en una planilla, discriminando 6 condiciones posibles para cada pieza: tratamiento endodóntico correcto, necesidad de tratamiento endodóntico por caries penetrante visible radiográficamente, necesidad de retratamiento por presencia de patología periapical y/o deficiencia en el sellado endodóntico, pronóstico comprometido, necesidad de exodoncia y pieza ausente. Los resultados serán descriptos con frecuencia absoluta (n) y frecuencia relativa (%) según grupo dentario y condición indicada.

**Resultados:** La frecuencia de piezas sanas varió entre 37.6% (pieza 36) y 93.6% (pieza 41). La condición pieza ausente fue más frecuente en terceros molares: 47.4% (pieza 48), 45.8% (pieza 38), y 45.5% (pieza 18). Los incisivos centrales inferiores mostraron la menor tasa de ausencia: 3.2% (pieza 41) y 5.4% (pieza 31). En premolares, la ausencia varió entre 8.8% (pieza 34) y 29.4% (pieza 14 y 24). La necesidad de tratamiento endodóntico fue más alta en la pieza 25 (5.2%) y la pieza 11 (4.5%). El tratamiento endodóntico correcto osciló entre 0.4% (pieza 18) y 7.3% (pieza 16). La necesidad de retratamiento alcanzó un máximo de 3.0% en la pieza 21. El pronóstico comprometido fue más frecuente en la pieza 24 (2.4%). La necesidad de exodoncia fue mayor en molares: 5.8% (pieza 17), 5.6% (pieza 18), y 5.2% (pieza 36).

**Conclusión/es:** Los resultados muestran una alta variabilidad en el estado de salud dental, con molares requiriendo más intervenciones. La baja prevalencia de tratamientos endodónticos correctos sugiere la necesidad de mejorar estos servicios. Estos hallazgos son relevantes para la planificación de servicios odontológicos y estrategias de prevención en la población adulta.



063

ID 2070

**VARIANTES GENÓMICAS RELACIONADAS A RESISTENCIA ANTIFÚNGICA EN CANDIDA DUBLINIENSIS AISLADAS DE BIOFILM SUBGINGIVAL**Verónica Ángeles Dubois<sup>1</sup>, Susana Liliana Molgatini<sup>1</sup>, Pablo Andrés Salgado<sup>1,2</sup>, Laura Alejandra Gliosca<sup>1</sup>.

1. Cátedra de Microbiología y Parasitología, FOUBA. 2. Cátedra de Odontología Preventiva y Comunitaria, FOUBA.

**Introducción:** *Candida dubliniensis* (cd) ha sido erróneamente identificada como *Candida albicans* (Ca) subestimando su diagnóstico. Los últimos reportes informan un aumento de candidiasis sistémica y mayor resistencia antifúngica en pacientes inmunocomprometidos.

**Objetivo/s:** Identificar variantes relacionadas a la resistencia antifúngica mediante análisis bioinformático de genoma completo.

**Materiales y Métodos:** Se aislaron 31 cepas de Cd de biofilm subgingival de pacientes que conviven con el VIH (PVVS). Se realizó la extracción del ADN genómico y la posterior secuenciación mediante NGS. Los datos de las secuencias fueron procesados para identificar el polimorfismo de nucleótidos únicos (SNP), utilizando PerSVade (v1.02). El genoma de referencia fue CD36 ASM2694v. Se realizó genómica comparativa para identificar las variantes homocigotas y heterocigotas en genes relacionados a la resistencia antifúngica. Los aislamientos se clasificaron como: susceptibles (WT) y no susceptibles (no-WT).

**Resultados:** 13 aislamientos presentaron 2 sustituciones homocigotas (T423A y A649G) en el gen ERG20 relacionado a la resistencia a Anfotericina B. Respecto a las equinocandinas, en 1 aislamiento se observó la variante homocigota Y1102D, en 3 la variante F460L y en otros 3 la variante A979V en el gen CD36\_05280 ortólogo con GSL1 en Ca y FKS1 en *Nakaseomyces glabrata* (Ng). 1 aislamiento presentó variantes homocigotas en los genes FKS1 (R382C), FKS2 (C1220R). La variante D296E en el gen CHS8 se encontró en 1 aislamiento y en otro la variante Q121K en el gen ECM33. En relación a los azoles, 3 aislamientos presentaron la variante (F126L) homocigota en ERG11. 1 aislamiento presentó la variante homocigota en el gen CDR2 (T346K) y otros 3 aislamientos presentaron la variante homocigota en el gen ortólogo de Ng UPC2B y ZCF22 de Ca. Se observó la pérdida del codón stop en el gen CDR1 con una variante homocigota (\*756Y) en 12 aislamientos.

**Conclusión/es:** Se identificaron mutaciones en genes ortólogos de Ca y Ng que plantean interrogantes sobre la evolución y el origen de la resistencia en Cd, lo que permitió clasificar a las cepas en no-WT.

064

ID 1966

**DESCONTAMINACIÓN DE LIMAS DE ENDODONCIA: VALORACIÓN DE LA CARGA MICROBIANA POR DOS MÉTODOS DE LAVADO**María Gabriela Scatena<sup>1</sup>, Javier Andrés Socolovsky<sup>2</sup>, Florencia Martínez<sup>2</sup>, Silvina Ruth Barembaum<sup>2</sup>.

1. Cátedras "B" de Química Biológica.FO-UNC. 2. Cátedras "B" de Introducción a la Física y Química Biológicas.FO-UNC.

**Introducción:** Durante la endodoncia se produce un detrito que puede contener tejido necrótico, bacterias y subproductos de sangre. Las limas de endodoncia (LE) pueden provocar la contaminación cruzada de microorganismos ya que son instrumentos con intrincada topografía y es crítica su limpieza previo a la esterilización. El método de limpieza manual (LM) consume mucho tiempo en comparación al lavado automático (LA) por ultrasonido.

**Objetivo/s:** Comparar la capacidad de eliminación del biofilm adherido a LE mediante métodos de LM versus LA.

**Materiales y Métodos:** Las LE (EUTELROCK serie ISO15-40) fueron incubadas con inóculos (1,5 x 10<sup>8</sup> UFC/ml) de: *Escherichia coli* ATCC 25922 (Ec n=6), *Staphylococcus aureus* ATCC 25923 (Sa n=6) y *Candida albicans* ATCC 5314 (Ca n=6), por 24 h a 37 °C. Luego se lavaron: 1- Con LA (lavadora GDK, modelo CD-7920) por 600s a 46000 Hz 2- Con LM durante 600s por inmersión y agitación, en ambos lavados se usó detergente enzimático (DE, 25 °C). LE lavadas por ambos métodos fueron enjuagadas con agua y sumergidas en caldo tioglicolato (48h a 37°C). Las muestras que mostraron desarrollo microbiano fueron sembradas en: Agar Levine, Manitol y Agar Sabouraud glucosado. Se realizó el recuento de UFC/ml. Los experimentos se realizaron por triplicado y los datos fueron analizado por el test de t y ANOVA, p ≤ 0,05.

**Resultados:** Con el LM el crecimiento microbiano general fue del 67%, mientras que con el LA disminuyó a un 33%. SA resultó ser lábil a ambos tipos de lavados. EC fue eliminada en un 100% con LA mientras que si creció con LM (p > 0,005). CA presentó crecimiento en ambos tipos de lavados, pero con una disminución significativa en LA (Me 45000 para LA y Me: 600000 para LM, p < 0,005).

**Conclusión/es:** El LA mostró ser más eficiente que el LM en los tres MO estudiados para las LE. El LA con DE mostraron ser eficiente al eliminar de SA y EC y disminuir CA.

Este estudio sugiere la importancia del lavado automático complementado con DE para el proceso de lavado del instrumental odontológico.

065

**ID 1967**  
**EFICACIA DEL USO DE MICROONDAS PARA LA DESCONTAMINACIÓN DE CEPILLOS DE DIENTES: EVALUACIÓN MICROBIOLÓGICA**

María Gabriela Scatena<sup>1</sup>, Ariadna María Lobo<sup>2</sup>, Javier Andrés Socolovsky<sup>2</sup>, Florencia Martínez<sup>2</sup>, Silvina Ruth Barembaum<sup>2</sup>.  
1. Cátedras "B" de Química Biológica.FO-UNC.2. Cátedras "B" de Introducción a la Física y Química Biológicas.FO-UNC

**Introducción:** El cepillo de dientes juega un papel esencial para la eliminación del biofilm bucal. Sin embargo, se contaminan con microorganismos provenientes de la boca y del ambiente. La descontaminación regular podría mejorar la higiene oral, pero se necesitan métodos simples y efectivos

**Objetivo/s:** Detectar y cuantificar *E. coli*, *S. mutans*, *Lactobacillus spp* y *Candida spp* en cepillos de dientes antes y luego de la descontaminación con microondas (MO), y correlacionar los resultados con los hábitos de higiene.

**Materiales y Métodos:** Treinta voluntarios completaron una encuesta sobre sus hábitos de higiene y utilizaron dos cepillos idénticos durante 15 días consecutivos cada uno. El primer cepillo se utilizó como recuento basal y el segundo para someterlo a la descontaminación con MO (800 W, 5 min) luego de su uso. Luego fueron colocados en caldo tioglicolato (37 °C, 6 h), agitados y sembrados por agotamiento de estrías en: agar Levine EMB para *E. coli*; agar Mitis salivarius para *S. mutans*; agar Rogosa para *Lactobacillus*; y agar Sabouraud glucosado para *Candida*. Las placas fueron incubadas a 37 °C por 48 h, en aerobiosis (*E. coli* y *Candida*) y anaerobiosis (*S. mutans* y *Lactobacillus*). Se realizó el recuento de UFC/mL. Se comparó el recuento de bacterias del cepillo utilizado por cada voluntario antes y después de su descontaminación mediante una prueba t de Student.

**Resultados:** 53% de las muestras presentó crecimiento microbiano. Se detectó *E. coli* en tres muestras, dos de las cuales fueron de personas que se cepillan en el mismo espacio donde está el baño. La descontaminación con MO mostró una disminución significativa en los crecimientos de *S. mutans* y *Candida* ( $p < 0.05$ ).

**Conclusión/es:** Si bien el estudio posee un número reducido de voluntarios, los hallazgos sugieren que la descontaminación con MO podría ser una herramienta útil para reducir la carga microbiana en los cepillos dentales, ofreciendo una alternativa sencilla y accesible para mejorar la higiene bucal.

066

**ID 2091**  
**ANÁLISIS DE 10 AÑOS EN CONTROLES BIOLÓGICOS PARA LA VALIDACIÓN DEL PROCESO DE ESTERILIZACIÓN EN LA CÁTEDRA DE MICROBIOLOGÍA Y PARASITOLOGÍA FOUBA**

María Candela Cires Gonzalez<sup>1</sup>, María Celia Cutrera<sup>1</sup>, Daiana Giselle Olivieri<sup>1</sup>, Nancy Patricia Palacios<sup>1</sup>, Sandra Beatriz Perez<sup>1</sup>, Pablo Andrés Salgado<sup>1,2,3</sup>.  
1. Cátedra de Microbiología, FOUBA.2. Cátedra de Odontología Preventiva y Comunitaria, FOUBA. 3. Instituto de Investigaciones en Salud Pública. UBA.

**Introducción:** Los controles biológicos (CB) para autoclaves y estufas forman parte de los métodos de validación del proceso de esterilización garantizando el correcto funcionamiento del equipo.

**Objetivo/s:** Analizar los resultados de los CB realizados en la Cátedra de Microbiología y Parasitología entre 2014 y 2023, evaluando demanda y procedencia de los solicitantes.

**Materiales y Métodos:** Estudio analítico, retrospectivo, longitudinal. Muestra 3405 CB. Utilizaron tiras de papel impregnadas con esporos bacterianos de *Bacillus anthracis* ATCC 9372 y *Geobacillus stearothermophilus* ATCC 7953 (Kit Terragene®. Bionova®), medio de cultivo con indicador de pH. Procesamiento: se sembró las tiras de papel con los esporos en medio de cultivo, incubados a 37°C por 48 hs para estufa o 60°C por 24 hs para autoclave. Desarrollo bacteriano negativo el proceso de esterilización fue exitoso. Se analizó: la fecha de la muestra, solicitante, tipo de equipo y resultado del CB. Análisis estadístico: se calcularon frecuencias, porcentajes e IC95%. Se uso Test de Chi cuadrado.

**Resultados:** El 51,9% de los CB fueron de clínicas de FOUBA; 32,9% consultorios particulares, 8,2% Hospitales públicos y 7,0% de otros usuarios. El 35,6% estufas y 64,4% autoclaves. CB resultaron negativos en 93,6%; no se observaron diferencias estadísticas en los 10 años (máximo en 2018: 95,2% y mínimo en 2015: 90,6%). Frecuencia CB: 16,2% ocasionalmente; 20,2% 1 vez al año; 24,1% cada 6 meses; 23,7% cada 3 meses y 15,8% cada mes. En Hospitales públicos 31,1% lo hacen mensualmente y en consultorios particulares 1,7% ( $p < 0,001$ ). Si realizaban controles físicos 21,1% y químico 32,5% no respondieron.

**Conclusión/es :** En esta serie temporal de 10 años, de la mitad de los solicitantes fueron de las clínicas de FOUBA. El 36,4% solo lo realizan una vez al año u ocasionalmente. A lo largo de los 10 años estudiados no se encontró diferencias en los resultados de los controles biológicos.

067

ID 2110

**AISLAMIENTOS DE CANDIDA SPP EN MUESTRAS SALIVALES DE PERSONAS MAYORES Y SU RELACIÓN CON VARIABLES MÉDICO/ODONTOLÓGICAS**María Celia Cutrera<sup>1,2</sup>, Verónica Dubois<sup>1,2</sup>, Celina Cornejo<sup>1,2,3</sup>, Silvana Ferrarini<sup>2</sup>, Stephany Huaccha Flores<sup>1,3</sup>, Jorge Aredes<sup>4</sup>, Aldo Squassi<sup>2,3,5</sup>, Laura Gliosca<sup>1,2</sup>, Pablo Salgado<sup>2,3,5</sup>

1. Cátedra de Microbiología y Parasitología, FOUBA. 2. Instituto de Investigaciones en Salud Pública, UBA.3. Cátedra de Odontología Preventiva y Comunitaria, FOUBA.4. Cátedra de Odontología Integral del Adulto Mayor y Clínica de Prótesis Removible, FOUBA.5. CONICET

**Objetivo/s:** Relacionar los aislamientos de Candida spp. obtenidas a partir de muestras salivales de personas mayores con variables médico/odontológicas.

**Materiales y Métodos:** Diseño observacional, descriptivo y prospectivo. Recurso profesional calibrado ( $K > 0,75$ ) relevó datos de comorbilidades inmunitarias, metabólicas/endócrinas, cardiovasculares, neurodegenerativas, inmunomoduladoras, infecciosas crónicas. Indicadores odontológicos: tasa de flujo salival, ausencia de piezas dentarias, portación de prótesis y uso de colutorio diario. La muestra de estudio quedó conformada por 40 personas mayores que asistieron al Hospital Odontológico Universitario (FOUBA). Las salivas no estimuladas, fueron homogeneizadas y sembradas en medio cromogénico (CHROMagar TM Candida) e incubadas en aerobiosis a  $35 \pm 2^\circ\text{C}$ . A las 48 hs se realizó el recuento manual de levaduras totales (LT) y de los fenotipos derivados según el color de las colonias. Para las variables cualitativas se calcularon frecuencias y porcentajes, cuantitativas mediana y rango.

**Resultados:** Femenino  $n=26$  (65,0%), edad mediana: 71 años (64-89). Con ausencia de piezas dentarias 13 (32,5%); portadores de prótesis 21 (52,5%). Tasa de flujo salival mediana de 1,0 ml/min (0,1-2,5). LT sin desarrollo: 27,5%; LT  $< 30$  UFC/ml: 37,5% y LT 30 a 300 UFC/ml: 5%,  $> 300$  UFC/ml: 30,0%. El 62,5% de LT presentaron fenotipo verde claro. La frecuencia de aislamiento de Candida spp. en pacientes con ausencia de piezas dentarias fue de 84,5% (11/13); en los portadores de prótesis: 75% (21/28), con algún tipo de comorbilidad inmunitaria 83,3% (10/12), comorbilidades metabólicas/endocrinas: 81,8% (9/11) y cardiovasculares 66,7% (14/21).

**Conclusión/es:** Candida spp. fue aislada en la mayoría de las muestras procesadas, el fenotipo verde claro fue el prevalente. El tamaño muestral no permitió establecer asociaciones significativas entre los aislamientos de Candida spp y las variables empleadas.

068

68. ID 2060

**USO DE DOS SISTEMAS DE ACTIVACIÓN PARA REMOCIÓN DEL BARRO DENTINARIO. ESTUDIO CON MICROSCOPIO ELECTRÓNICO DE BARRIDO**Romina Loiacono<sup>1</sup>, Alejandra Miguéles<sup>1</sup>, Pablo Pérez Rodríguez<sup>1</sup>, Romina Barbiero<sup>1</sup>, Ariel Gualtieri<sup>2</sup>, Pablo Rodríguez<sup>1</sup>.

1. Cátedra de Endodoncia, FOUBA.2. Cátedra de Odontología Legal, forense e historia de la odontología, FOUBA.

**Introducción:** Durante el tratamiento endodóntico, la preparación química es fundamental para la eliminación del contenido del conducto radicular. Diferentes ácidos han sido utilizados para tal fin, actuando principalmente sobre la capa inorgánica del barro dentinario, generado durante la preparación mecánica. Estas soluciones pueden ser activadas para potenciar sus cualidades disminuyendo el riesgo biológico.

**Objetivo/s:** El objetivo de este trabajo fue comparar la eficacia de 2 sistemas de activación sobre el ácido fosfórico al 3% para la eliminación de la porción inorgánica del barro dentinario.

**Materiales y Métodos:** Se utilizaron 20 premolares inferiores unirradiculares a los que se les aplicó el siguiente protocolo mecánico- químico: instrumentación con Protaper Gold hasta instrumento F2 e irrigación con hipoclorito de sodio 2.5% entre cada instrumento. El último lavaje se realizó con ácido fosfórico al 3% durante 2 minutos. Se dividieron las muestras en 2 grupos los cuales fueron activados con XP-Endo® Finisher o AF MAX 1 por 30 segundos. Cada muestra fue cortada longitudinalmente y llevada al MEB para el análisis de la superficie interna en los diferentes tercios, de acuerdo a la clasificación de Rome et. al. Los datos se expresan como mediana (Q1-Q3). Los resultados se analizaron mediante las pruebas t-Student agrupada o U de Mann-Whitney, según lo que correspondía ( $p < 0,05$ , significativo).

**Resultados:** Sin discriminar por tercios, el score fue de 2,0 (1,0-3,0) y 2,0 (1,0-3,0) para XP-endo Finisher y AF MAX 1, respectivamente ( $p = 0,64$ ). En el tercio cervical, 1,5 (1,0-3,0) y 2,0 (1,0-2,0) ( $p = 0,68$ ). En el medio, 1,0 (0,0-2,0) y 1,5 (1,0-2,0) ( $p = 0,38$ ). En el apical, 3,0 (2,0-3,0) y 3,0 (2,0-3,0) ( $p = 0,69$ ).

**Conclusión/es:** La descripción de los datos sugiere que con XP-endo Finisher se alcanzaría un nivel de remoción de barro levemente mayor (menor score) que con AF MAX 1. Sin embargo, las diferencias observadas de score entre ambos instrumentos no llegaron a ser estadísticamente significativas.





069

ID 2103

### INVESTIGACIÓN EXPERIMENTAL IN VIVO DE MATERIALES PARA TERAPIA DE PULPA VITAL

Romina Chaintiou Piorno<sup>1</sup>, Mariela Lacave<sup>2</sup>, Romina De Lucca<sup>2</sup>, Pablo Alejandro Rodríguez<sup>1</sup>, Javier Fernández Solari<sup>3,4</sup>, Claudia Ester Mohn<sup>3,4</sup>.

1. Cátedra de Endodoncia, FOUBA. 2. Cátedra de Histología y Embriología, FOUBA. 3. Cátedra de Fisiología, FOUBA. 4. CONICET

**Objetivo/s:** Comparar el material gold standard (Biodentine) con dos nuevos materiales para ser usados en terapia de pulpa vital (VPT).

**Materiales y Métodos:** Ratas Wistar hembra de 250 gr (n=3 por grupo) fueron utilizadas para evaluar la eficacia de diferentes materiales a utilizar como estrategia en VPT. Para ello se procedió a generar pulpitis moderada en los primeros molares inferiores y posterior pulpotomía. Seguidamente, se aplicó Biodentine (grupo 1), biogel de PVA aditivado con trisilicato de sodio (grupo 2), y sílice nanoparticulado (500nm) (grupo 3). Se realizó el sellado coronario con composite y se procedió a la eutanasia a los 7 días post tratamiento siguiendo las normas CICUAL-FOUBA. Los hemimaxilares fueron procesados para su estudio histológico con H&E donde se analizó de manera descriptiva la respuesta del tejido pulpar a los distintos tratamientos. Se cuantificó el porcentaje de hueso interradicular y los resultados se analizaron con ANOVA y post test de Newman-Keuls, siendo significativas las diferencias con  $p < 0,05$ .

**Resultados:** A los 7 días post VPT en el grupo 1 se observó una barrera celular de aspecto similar a la predentina en el tercio coronario del conducto radicular en contacto con el Biodentine, el tejido pulpar presentó buena vascularización. El ligamento periodontal se encontró conservado al igual que el tejido óseo interradicular con  $73,53 \pm 3,38$  % de volumen óseo. El grupo 2 presentó barrera indefinida de aspecto predentinario en el tercio coronario del conducto radicular en contacto con el material y abundante infiltrado celular en el tercio coronario medio radicular con abundante irrigación y vitalidad pulpar. El ligamento periodontal y el hueso interradicular estaban conservados ( $71,61 \pm 1,02$  %). El grupo 3 presentó una delgada barrera similar a predentina en el tercio coronario del conducto radicular en contacto con el sílice. El resto de pulpa radicular presentó abundante celularidad e intensa vascularización. Tanto el ligamento periodontal como el hueso interradicular presentaron una arquitectura estable y organizada ( $68,9 \pm 0,46$  %). No se encontraron diferencias significativas en el volumen óseo interradicular entre los distintos materiales usados.

**Conclusión/es:** Los resultados sugieren que los tres materiales tienen potencial terapéutico en el tratamiento de la pulpitis moderada. Es necesario evaluar el progreso del tratamiento en el tiempo para

confirmar su potencial uso para la VPT respecto al Biodentine.

070

ID 2015

### EVALUACIÓN TOMOGRÁFICA DE LA MORFOLOGÍA INTERNA DE PREMOLARES INFERIORES

Alicia Beatriz Labarta<sup>1</sup>, Ana Guillén Zambrano<sup>2</sup>, Daniela Barbara Flores<sup>1</sup>, Sol Chihadeh<sup>1</sup>, Sofía Franchetti<sup>1</sup>, Ariel Félix Gualtieri<sup>2</sup>, Pablo Alejandro Rodríguez<sup>1</sup>.

1. Cátedra de Endodoncia, FOUBA. 2. Cátedra de Odontología Legal, Forense e Historia de la Odontología, FOUBA.

**Objetivo/s:** Evaluar mediante tomografía computarizada de haz cónico (CBCT), la morfología interna de premolares inferiores en una población que concurrió a cátedra de Endodoncia, Facultad de Odontología, Universidad de Buenos Aires, entre marzo-diciembre de 2023, establecer su tipología según clasificación de Vertucci y determinar la longitud de bifurcación en relación al ápice radicular.

**Materiales y Métodos:** Se estudiaron 791 premolares inferiores. Criterio de inclusión: piezas con ápice cerrado, ausencia de reabsorciones radiculares y de tratamiento endodóntico. Variables registradas: número de pieza, tipología y longitud de la bifurcación en relación al ápice. Se evaluó el conducto en plano axial: corte cervical a 3 milímetros de unión amelocementaria, corte apical a 3 milímetros del ápice y corte medio a distancia media entre lecturas anteriores. Para analizar distancia ápice-bifurcación se trazaron sobre corte sagital, una línea A u otra B, que pasaron por el ápice y la bifurcación respectivamente. Una perpendicular a las anteriores dio la medida en milímetros lineales. Las variables categóricas se describieron mediante frecuencias absolutas y porcentajes con intervalos de confianza 95% (IC95). La longitud de bifurcación se expresó como media  $\pm$  DE. Para analizar los resultados se emplearon pruebas Chi-cuadrado y ANOVA factorial de dos factores, según lo que correspondía ( $p < 0,05$ , significativo)

**Resultados:** La distribución según tipología de Vertucci no fue uniforme, para el total de premolares ( $p < 0,05$ ), como para primeros ( $p < 0,05$ ) y segundos ( $p < 0,05$ ). En los tres casos predominó tipo I: 80% (IC95: 77% a 83%), 72% (IC95: 68% a 76%) and 88% (IC95: 84% a 91%), respectivamente. La longitud de bifurcación varió significativamente entre tipologías ( $p < 0,05$ ), pero no presentó diferencias significativas entre primeros y segundos premolares ( $p = 0,06$ ). No hubo interacción entre tipología y pieza dentaria ( $p = 0,06$ ). La longitud de bifurcación en tipos II, III y V fue  $8,7 \pm 2,2$ ,  $4,6 \pm 1,4$  y  $7,6 \pm 1,8$ , respectivamente (II vs. III,  $p < 0,05$ ; II vs. V,  $p < 0,05$ ; III vs. V,  $p < 0,05$ ).

**Conclusión/es:** Los premolares inferiores suelen presentar conductos adicionales. Si la radiografía preoperatoria evidencia una anatomía atípica está indicado realizar una CBCT para conocer la complejidad anatómica que posee la pieza dentaria a tratar.



071

ID 2059

**LONGITUD DE TRABAJO EN MOLARES INFERIORES, ESTUDIO RETROSPECTIVO TRANSVERSAL, PRIMERA PARTE**María Florencia García, Francisco Blotta, Pablo Spoletti.  
Universidad Nacional de Rosario.

**Introducción:** La longitud de trabajo (LT) es la distancia entre un punto de referencia coronario y un punto apical donde la preparación y obturación del conducto radicular (C) deben llegar. En la cátedra de endodoncia registramos la LT de los pacientes atendidos conservando las radiografías del tratamiento.

**Objetivo/s:** Comparar el promedio de las longitudes de trabajo de 1° y 2° molares inferiores (MI) registrados en la cátedra de endodoncia con los de la población asiática y estadounidense.

**Materiales y Métodos:** Analizadas 556 fichas de pacientes atendidos y tomando como criterio de inclusión: 1° y 2° MI con integridad coronaria, ápice maduro, 3 o más C y excluyendo aquellos donde fue imposible abordar el tercio apical o tenían reabsorción radicular, seleccionamos 548 fichas (1° MI: n=350 y 2° MI: n= 198) registrando las LT (determinadas con método radiográfico) de 1691 C (1°MI: n=1088, 2°MI: n=603). Se construyeron promedios de la LT de cada conducto, registrando al C distal único (MI con 3C) como DV. Se compararon con la LT promedio de pacientes asiáticos y estadounidenses utilizando los tests de Kruskal-Wallis y Mann-Whitney ( $p < 0,05$ ). En el análisis eliminamos el 4° C (DL) del 2° MI (n=9) ya que la literatura con la que comparamos no reporta ese dato.

**Resultados:** El promedio de LT fue: 1° MI MV 19,6 mm; ML: 19,7 mm; DV: 20,4 mm; DL: 19,6 mm; en el 2° MI: MV 19,2 mm; ML: 19,4 mm; DV: 19,8 mm; DL: 19,7 mm. En general, las diferencias en los promedios de las LT con los asiáticos fueron en un rango entre 0,2 y 1,4 mm, y con los estadounidenses 0,1 y 1,8 mm; con un promedio de 0,73 y 1 mm respectivamente. Al comparar nuestros promedios de LT de todos los C registrados con los de los asiáticos y los estadounidenses obtuvimos una  $p=0,0002$  (test de KruskalWallis). Al realizar el test de Mann-Whitney obtuvimos una  $U=0,5$   $p= 0,001$  con los asiáticos, y  $U=1$   $p=0,002$  con los estadounidenses; siendo todas las diferencias estadísticamente significativas.

**Conclusión/es:** Este trabajo nos permitió construir promedios de la LT de los 1° y 2° MI en la población seleccionada. Al comparar los promedios de las LT, los nuestros se encontraron por debajo de los de los estadounidenses y por encima de los asiáticos.

072

ID 2107

**EVALUACIÓN IN VIVO DE LA RESPUESTA TISULAR ANTE MATERIALES DE USO ENDODÓNTICOS**Alejandra Mabel Migueles<sup>1</sup>, Pablo Alejandro Rodríguez<sup>1</sup>, Sandra Judith Renou<sup>2</sup>.  
1. Cátedra de Endodoncia, FOUBA. 2. Cátedra de Anatomía Patológica, FOUBA.

**Introducción:** Ante una patología pulpar de larga data los tejidos apicoperiapicales se verán afectados. Lo indicado es realizar el tratamiento del sistema de conductos. El Ah-Plus se utiliza ampliamente en la obturación. Si el tratamiento fracasa, la indicación es realizar la microcirugía apical, con una obturación retrógrada de Biodentine™ (Septodont), para promover la regeneración de los tejidos del sector periapical. Hemos demostrado, en estudios previos in vivo (SAIO 2017, 2018 y 2020), la biocompatibilidad del AH Plus® y del Biodentine™ a los 7, 30 y 60 días post-implantación.

**Objetivo/s:** Evaluar la respuesta de la médula ósea hematopoyética ante el AH Plus® y el Biodentine™ (Septodont), en un modelo in vivo, a los 120 días post-implantación.

**Materiales y Métodos:** Se utilizaron 10 ratas macho Wistar de 120 gr de peso corporal, bajo anestesia IP de solución (Ketamina 50 mg-Holliday, Argentina/Xilazina 2%-Kensol Köin, Argentina). Se implantaron en interior de la médula hematopoyética de la tibia de la rata tubos de silicona con AH Plus® (Grupo AP: tibias derechas) y Biodentine™ (Grupo BD: tibias izquierdas). A los 120 días post-implantación se practicó la eutanasia utilizando Tiopental sódico 1 gr/1ml (Thiopenthal-Scott Cassara-Alemania). Las tibias fueron resecadas en formol buffer, radiografiadas y desmineralizadas en ácido fórmico para su procesamiento e inclusión en parafina. Se realizaron cortes histológicos longitudinales al eje mayor de la tibia y se colorearon con H-E. Student t test ( $p < 0,05$ ).

**Resultados:** Se observó, a los 120 días post-implantación, mediante microscopía óptica la formación de tejido óseo laminar en relación a los biomateriales evaluados, en ningún caso se observó respuesta inflamatoria. No hubo diferencias estadísticamente significativas con relación al área de tejido óseo neoformado entre el AH Plus® y el Biodentine™ ( $2.5 \pm 1.2 \mu\text{m}^2$  vs  $2.1 \pm 0.9 \mu\text{m}^2$  ( $p < 0,05$ )).

**Conclusión/es:** Los resultados obtenidos en este estudio in vivo demuestran que tanto el AH Plus® como el Biodentine™ tienen un comportamiento osteoconductor similar promoviendo la neoformación ósea a los 120 días post-implantación.

073

## ID 2108 EXPLORACIÓN DEL CONDUCTO EN C MEDIANTE TOMOGRAFÍA COMPUTADA DE HAZ CÓNICO

Lorena Elizabeth Benitez<sup>1</sup>, Jacqueline Paitan<sup>1</sup>, Florencia García, Gilda Julieta Serafini<sup>1</sup>, Luciana Figueroa<sup>1</sup>, Roxana Molachino<sup>1</sup>, Matías De Luca<sup>1</sup>, Martín Horacio Pujol<sup>1</sup>, Victoria Azcona<sup>1</sup>, Diego Jorge Vazquez<sup>1</sup>, Pablo Salgado<sup>2</sup>.  
1. Cátedra de Diagnóstico por Imágenes, FOUBA. 2. Cátedra de Microbiología y Parasitología, Cátedra de Odontología Preventiva y Comunitaria FOUBA, Instituto de Investigaciones en Salud Pública UBA.

**Objetivo/s:** Evaluar la anatomía de los molares en C mediante la exploración de CBCT y clasificarlos según su tercio radicular utilizando la clasificación de Fan et al. (2004) para describir como varía la anatomía por tercios.

**Materiales y Métodos:** Se realizó un estudio descriptivo, retrospectivo de pacientes sumando un total 50 molares evaluados, atendidos en la Cátedra de Diagnóstico por Imágenes de FOUBA. Todos los pacientes presentaron una CBCT realizada con el equipo Plan Meca Pro Max® 3D Max. Los volúmenes fueron explorados y procesados con el software Romexis viewer. Se exploraron 50 molares por un operador calibrado en la extensión radicular observando en un corte transversal el tercio coronal, medio y apical para clasificar su anatomía según la clasificación de Fan et al (2004) en la cual los conductos se clasificaron en forma de C de acuerdo a su aspecto clínico anatómico:

Categoría C1: Forma de C ininterrumpida, sin separación ni división.

Categoría C2: Forma de punto y coma, C discontinua, pero ángulos  $\alpha$  o  $\beta$  no menor de 60°.

Categoría C3: 2 o 3 conductos separados y ambos ángulos,  $\alpha$  y  $\beta$ , menores de 60°.

Análisis estadístico: se calculó la distribución de frecuencias, porcentajes e intervalo de confianza al 95%. Para comparar las frecuencias, se aplicó test de Chi cuadrado con pruebas Exactas, Método Montecarlo con 10000 muestras.

**Resultados:** La distribución de sexo fue de 43 (86,0%) pacientes de sexo femenino. Todos los casos en el maxilar inferior. En cuanto a las piezas dentarias la distribución fue de 1 (2,0%) pieza 4.6; 1 (2%) pieza 4.8; 4 (8,0%) pieza 3.8; 21 (42,0%) pieza 3.7 y 23 (46,0%) pieza 4.7. Según la clasificación de Fan, para el primer tercio coronal C1: 28 (56,0%); C2: 11 (22,0%); C3: C2: 11 (22,0%). Al comparar las piezas 3.7 y 4.7 con la clasificación de Fan se observó para el tercio coronal fue más frecuente para las dos piezas C1: 13 (61,9%) para pieza 3.7 y 10 (43,5%) para pieza 4.7. ( $p=0,467$ ). En el tercio medio fue más frecuente C2: 9 (42,9%) para pieza 3.7 y C3: 12 (52,2%) para pieza 4.7 ( $p=0,502$ ). En el tercio aplica para las dos piezas fue más frecuente C3: 11 (52,4%) para pieza 3.7 y 15 (65,2%) para pieza 4.7 ( $p=0,489$ ). A partir de los resultados obtenidos podemos establecer que este tipo de anatomía se da con mayor frecuencia en los segundos molares inferiores, fue C1 en el primer tercio coronal C3 en el tercio medio y C3 en el tercio apical. Al comparar las piezas 3.7 y 3.8 no se observaron diferencias estadísticas en los tres tercios para la clasificación de Fan.

**Conclusión/es:** A partir de los resultados obtenidos podemos establecer que este tipo de anatomía se da con mayor frecuencia en los segundos molares inferiores, fue C1 en el primer tercio coronal C3 en el tercio medio y C3 en el tercio apical. Al comparar las piezas 3.7 y 3.8 no se observaron diferencias estadísticas en los tres tercios para la clasificación de Fan.

074

## ID 2056 ACEITE DE COCO VIRGEN EN EL TRATAMIENTO DE ULCERACIONES TRAUMÁTICAS PROVOCADAS POR APARATOS DE ORTODONCIA

Viviana Elizabeth Karaben, María Eugenia Pomarada, Lelia Inés Ramirez, Ana Eloisa Rea.  
Cátedra de Farmacología, Facultad de Odontología de la UNNE.

**Introducción:** Las ulceraciones traumáticas provocadas por aparatos de ortodoncia son lesiones frecuentes que remiten entre los 7 y 14 días, cuando se elimina el agente irritante. El dolor que provocan muchas veces dificulta el habla y la alimentación de los pacientes y en consecuencia su calidad de vida.

**Objetivo/s:** El objetivo del estudio fue evaluar la efectividad del aceite de coco virgen (VCO) en la reducción del dolor y el tiempo de curación de estas lesiones.

**Materiales y Métodos:** Se realizó un ensayo clínico, doble ciego en 30 pacientes mayores de 18 años con diagnóstico de ulceración traumática provocada por aditamentos de ortodoncia. En el grupo VCO (experimental) se utilizó aceite de coco virgen para el tratamiento y el grupo control V (vaselina) en todos los tiempos de estudio. La unidad de análisis fue la ulceración traumática de la mucosa oral. Se analizaron las variables: edad; sexo; ubicación de la lesión; agente causal; intensidad del dolor; remisión de la lesión y reacciones adversas a través de estadística descriptiva y prueba estadística no paramétrica de Chi cuadrado, con significancia de  $p < 0.05$  entre los grupos.

**Resultados:** El grupo VCO (experimental) presentó mayor número de casos con menor intensidad de dolor que el grupo control V (vaselina-control) en todos los tiempos de estudio. El 85% de las lesiones del grupo VCO se curaron antes de los 9 días (tiempo 3) en relación al grupo V (42%). Ambos tratamientos lograron el 100% de remisión de signos y síntomas en un tiempo menor a 14 días. Ambos grupos se comportaron favorablemente con la aplicación de las técnicas utilizadas. Los pacientes refirieron una sensación de alivio y confort al colocarse el producto en las lesiones destacando que el grupo VCO manifestó su satisfacción en cuanto al sabor agradable del producto.

**Conclusión/es:** Los registros obtenidos con respecto a la disminución del dolor y del tiempo de curación fueron favorables a pesar del tamaño de la muestra lo que permite vislumbrar un futuro prometedor para este tipo de tratamiento en lesiones traumáticas de la mucosa oral.

075

ID 2073

**PRESENCIA DE CANDIDA SPP, ESCHERICHIA COLI Y STAPHYLOCOCCUS SPP EN HILOS DE SUTURA DE SEDA Y NYLON EN MUCOSA BUCAL : ESTUDIO PRELIMINAR**

Agustina Ceballos Schiavoni<sup>1</sup>, Ricardo Caviva<sup>2</sup>, Graciela del Valle Castillo<sup>1</sup>, María Gabriela Scatena<sup>3</sup>, Javier Andrés Socolovsky<sup>1</sup>, Fernando D García<sup>4</sup>, Silvina Ruth Barembaum<sup>1</sup>.

1. Cátedra A de Introducción a la Física y Química Biológicas.2. Cátedra A de Estomatología.3. Cátedra B Química Biológica. 4. Cátedra B de Cirugía II. Universidad Nacional de Córdoba.

**Introducción:** Las suturas facilitan la cicatrización, pero pueden actuar como superficies retentivas para microorganismo (MO) que pueden facilitar la contaminación y desencadenar infecciones.

**Objetivo/s:** Evaluar la presencia de *Candida spp*, *Escherichia coli* y *Staphylococcus spp* en hilos de sutura de seda y Nylon utilizados en la mucosa bucal.

**Materiales y Métodos:** De un total de 49 pacientes que acudieron a la Cátedra "A" de Clínica Estomatológica y "B" de Cirugía II de la FO-UNC se utilizó hilo de seda (SS) en 35 y en 14 hilo de Nylon (SN). Se tomaron muestras para estudios microbiológicos en dos momentos, antes de la sutura (PRE) con hisopo estéril y a los siete días: hilos de la porción externa (POST-1) y de la porción interna (POST-2). Las muestras fueron incubadas 24h. a 37°C en caldo tioglicolato con indicador y las que viraron sembradas por estrías en medios selectivos para *Candida spp*, *E. coli* y *Staphylococcus spp*. Se realizó el recuento de UFC/mL. Se analizaron los datos utilizando el programa INFOSTAT vs 2018 UNC (p<0,05).

**Resultados:** Se evidenció crecimiento de MO: en PRE: 17 pacientes (35%), en el POST-1: 22 pacientes (25%) y en POST-2: 19 (39%). Al comparar tipos de hilos: SN POST-1 un 57% dio + mientras que para POST-1 de SS un 31%. Para POST-2 se encontró un 50 % en el SN y un 43% para los de SS, sin embargo, estas diferencias no fueron significativas (p>0,05). Al discriminar por MO, se observó: en el PRE: 10 (20%) para *Candida spp.*, 10 (20%) *Staphylococcus spp.* y negativo para *E. coli*. Para POST-1: *Candida spp*: 7% y 20% para SN y SS respectivamente; para *S. aureus spp*: 21% y 14% para SN y SS. POST-2: *Candida spp*: solo en SS 20%, y para *S. aureus*: 29% y 9% para SN y SS respectivamente.

**Conclusión/es:** Estos resultados preliminares permiten observar que hay un mayor crecimiento de MO en la SN respecto a SS. Sin embargo, *Candida spp.* tiene mayor presencia en la SS mientras que *S aureus* en la SN.

076

ID 2142

**HIPERPLASIA Y DISPLASIA EPITELIAL EN MUCOSA AFECTADA POR CANDIDA**

Karina Mayocchi<sup>1</sup>, Agustina Arcuri<sup>1</sup>, María Jose Levalle<sup>1</sup>, Marcelo Arcuri<sup>1</sup>, Rubén Martín Mayocchi<sup>1</sup>, María Cecilia Tranchida<sup>2</sup>, Natalia Ferreri<sup>2</sup>, María Belén Serafino<sup>3</sup>, Karina Valeria Sirimarco<sup>1</sup>, Merlina Domínguez Migliacco<sup>1</sup>, Romina Canzoneri<sup>1</sup>, Susana Cozzi<sup>1</sup>.

1. CRIT (Comité Regional de Investigación de Tumores) FOLP. 2. Instituto Spegazzini.3. Htal Rossi La Plata

**Introducción:** Se ha evidenciado la presencia de *Cándida* en las capas queratinizadas de lesiones displásicas del epitelio oral. Las neoplasias bucales son diversas y heterogéneas, pero comparten la presencia de algunos procesos críticos necesarios para que se desencadene el proceso carcinogénico, como la proliferación celular y la apoptosis. La proliferación celular se puede determinar a través de la medición del antígeno Ki-67 y el índice de supresión apoptótica y arresto del ciclo celular mediante la expresión de la proteína p53.

**Objetivo/s:** Determinar la presencia del género *Candida* en patologías tumorales y describir las modificaciones celulares halladas en la mucosa afectada.

**Materiales y Métodos:** Se seleccionaron 4 pacientes con patologías neoplásicas (un ameloblastoma folicular, 3 carcinoma a células escamosas) y una candidiasis crónica lingual, del Comité Regional de Investigación Tumoral (CRIT) FOLP, Hospital Odontológico Universitario, UNLP. Se procede según protocolo de Comité de bioética a realizar biopsia incisión, cultivo de explantes tumorales, citología por desgarró y hisopado de la lesión tumoral para micología. El cultivo se realizó en DMEM-F12 adicionado con SFB al 10%, 48hs, 37 °C en el LBMB (Laboratorio de Biología Molecular y Biotecnología FOLP), los extendidos se colorearon con GIEMSA y HE. Se recolectó muestra para siembra, cultivo y tipificación de levaduras, en medio APG en el Instituto Spegazzini. Las pruebas fenotípicas se realizaron mediante técnica MALDI-TOF de Secuenciación del ADN ribosomal del Laboratorio de Levaduras del Instituto Malbran. El estudio Inmunohistoquímico para Ki-67 y p53 se realizó utilizando la técnica Avidina-Biotina inmunoperoxidasa, a través de la ejecución de varios cortes.

**Resultados:** Se observaron colonias en la superficie explantos blanquecinas de aspecto cremoso y aterciopelado en el ameloblastoma, y dos carcinomas a células escamosas y en la candidiasis crónica. En el extendido directo se observaron hifas y pseudohifas coloreadas con gran cantidad de levaduras de aspecto dimórfico. En el cultivo mediante APG puede observarse formación de colonias blanco-cremosas de aspecto redondeado que se mantienen hasta varios repiques, se conservan en el cepario del Instituto Spegazzini con sus códigos respectivos. Diagnóstico de certeza: *Candida albicans* (LPSc1775 y 1777). En el ameloblastoma se identificó además *Cystobasidium slooffiae* (LPSC 1776) y en candidiasis crónica *Meyerozyma guilliermondii* (LPSc1778 y 1779) (LPSC 1776) y en candidiasis crónica *Meyerozyma guilliermondii* (LPSc1778 y 1779). En las infecciones superficiales, *Cándida* se limitó a las capas superficiales del epitelio; se observó infiltración del epitelio con neutrófilos y microabscesos. Las formas predominantes fueron pseudohifas. Se ha observado células atípicas y aumento de la multiplicación celular. Existe una relación directa entre la inmunotinción nuclear de la proteína Ki67 en las células del ameloblastoma y la presencia de displasia epitelial de los carcinomas. **Conclusión/es:** Numerosos autores coinciden que metabolitos de biopelículas fúngicas prevalentes con *C. albicans* pueden alterar la morfología de las células epiteliales normales y neoplásicas, cambiando la expresión de protooncogenes y los genes del ciclo celular. Existe una relación directa entre la inmunotinción nuclear de la proteína Ki67 en las células epiteliales y mayor presencia de displasia. Podemos concluir que la presencia de *Candida albicans* en la patología tumoral podría estar como infección agregada, pero no se descarta el rol de *Candida* en la génesis tumoral.



077

ID 1968

### CAMBIOS DE COLOR Y ADHESIÓN DE IONÓMERO VÍTREO EN DENTINA CARIADA TRATADA CON NANOCLUSTERS DE PLATA EN ÁCIDO POLIMETACRÍLICO

María Belen Cabalen, Gustavo Fabian Molina.  
Facultad de Ciencias de la Salud, Universidad Católica de Córdoba.

**Objetivo/s:** Evaluar y comparar (1) el cambio de color de lesiones artificiales de caries en dentina tratadas con nanoclusters de plata (AgNCl) sintetizados en ácido polimetacrílico (PMAA) y fluoruro diamino de plata (SDF); y (2) la adhesión de un cemento de ionómero vítreo con y sin la aplicación de AgNCl/PMAA o SDF.

**Materiales y Métodos:** Se utilizó un N=8. Se seccionaron 24 terceros molares sanos de reciente extracción para obtener láminas de 4mm en sentido ocluso-radicular. Cada lámina fue recubierta en todas sus superficies con esmalte de uñas, dejando la superficie de dentina oclusal expuesta. Las muestras fueron sometidas durante 66 horas en solución desmineralizante para generar lesiones artificiales. Las muestras se dividieron en grupos y se trataron con: (A) AgNCl/PMAA; (B) SDF 38% y (C) sin tratamiento. Se aplicaron AgNCl/PMAA o SDF sobre las superficies expuestas con un microbrush durante 10 s. Las muestras se incubaron durante 24 h a 37°C con una humedad relativa del 100 %. El color de la superficie se midió según el sistema CIE-L\*a\*b\* antes y después de la desmineralización (R0 y R1), 24 h y una semana después del tratamiento (R2 y R3), utilizando un espectrofotómetro. Los grupos A y B recibieron una aplicación adicional de AgNCl/PMAA o SDF antes de unir el cemento de IV convencional (Fuji IX-Gold Label, GC Corp, Tokyo, Japan) usando un molde de 5 mm de diámetro x 3 mm de alto. Para evaluar la adhesión, se utilizó una máquina universal de ensayo con una velocidad de cruceta de 1 mm/min. El análisis estadístico se realizó mediante ANOVA, Student-t y prueba de Scheffe con una significación de  $p < 0.05$ .

**Resultados:** El grupo A presentó un color estable  $p = 0.24$  entre R1-R2 y R1-R3 en comparación con cambios de color significativos en el grupo B ( $p = 0.02$ ). La adhesión fue mayor ( $p < 0.01$ ) en el Grupo A ( $10.4 \pm 2.7$  MPa) frente a los Grupos B ( $3.3 \pm 1.3$  MPa) y C ( $4.0 \pm 0.4$  MPa), donde no se observaron diferencias entre estos últimos ( $p = 0.77$ ).

**Conclusión/es:** Los resultados de este estudio demostraron que el uso de una solución de AgNCl/PMAA para tratar lesiones de caries artificiales no pigmentó la dentina desmineralizada y mejoró la resistencia adhesiva de un cemento de IV de alta viscosidad en comparación con el SDF al 38%.

078

ID 1979

### ESPESOR DE DESADAPTACIÓN DE RESINAS BULK FILL APLICADAS CON DIFERENTES ENFOQUES ADHESIVOS EN CAVIDADES DE CLASE 1 SIMPLE

Carlos Alfredo Rozas, Germán Mirotti, Mónica Paola Lutri, María Elín Kraemer, Natalia Monserrat, María Celeste Piconi, Alicia Lucía Caballero, Mario Sezin.  
Cátedra de Operatoria I "A". Departamento de Rehabilitación Oral. Facultad de Odontología. UNC.

**Introducción:** Al obturar en bloque cavidades profundas se podrían generar desadaptaciones con los sustratos dentarios debido a un mayor potencial de alta tensión de contracción.

**Objetivo/s:** Comparar in vitro los espesores de desadaptación de dos resinas compuestas bulk fill aplicadas en bloque y con enfoque adhesivo de grabado selectivo de esmalte y grabado total en cavidades de clase 1 simple.

**Materiales y Métodos:** En 8 molares se tallaron cavidades simples de 4 mm de profundidad. Se dividieron según el enfoque adhesivo y el material de obturación. Grupo 1 y 2: ácido fosfórico al 35% en esmalte, adhesivo universal single bond. Grupo 3 y 4: ácido fosfórico al 35% en esmalte y dentina, adhesivo universal single bond. Posteriormente se obturaron con tetric N ceram bulk fill los grupos 1 y 3 y filtek bulk fill los grupos 2 y 4. Polimerización con LED. Los dientes se cortaron, pulieron y visualizaron las desadaptaciones con microscopio Olympus BX 50.

**Resultados:** Valores de desadaptación en mm: Grupo 1 esmalte  $0,7 \pm 0,9$ , dentina  $6,9 \pm 1,5$ . Grupo 2 esmalte  $1,2 \pm 0,5$ , dentina  $6,2 \pm 2,4$ . Grupo 3 esmalte  $1,3 \pm 0,4$ , dentina  $5,3 \pm 1,6$ . Grupo 4 esmalte  $1,0 \pm 0,6$ , dentina  $5,2 \pm 1,0$ . Las diferencias entre sectores fueron significativas (test-T para muestras relacionadas  $p < 0,05$ ). Las diferencias entre grupos fueron no significativas en esmalte (ANOVA  $p = 0,34$ ) y dentina (ANOVA:  $p = 0,16$ ), aunque más favorable en los grupos Filtek y grabado total. La influencia del enfoque adhesivo y el material resultó significativa con grabado total (Laterales  $p = 0,16$ ; ángulos  $p = 0,03$ ; piso  $p = 0,09$ ), no así al considerar el factor material (Laterales  $p = 0,94$ ; ángulos  $p = 0,38$ ; piso  $p = 0,46$ ) (ANOVA de dos vías).

**Conclusión/es:** Las desadaptaciones en esmalte fueron infrecuentes y puntualizadas en tramos cortos. En dentina las desadaptaciones fueron más frecuentes y en trayectos continuos, sobre todo en ángulos y piso pulpar. Se observó cierta tendencia favorable en las obturaciones con filtek bulk fill y con enfoque de grabado total.



079

ID 2014

**CONTROL DE CALIDAD HISTOLÓGICO DE ESTRUCTURAS TISULARES A BASE DE COLÁGENO Y TRATADAS CON GENIPIN PARA SU USO EN INGENIERÍA TISULAR**

Mario Aníbal Rodríguez<sup>1</sup>, Jesús Chato Astráin<sup>2</sup>, Miriam Pareja-Malagón<sup>2</sup>, Belén Ferrer<sup>1</sup>, Lucas Sorbera Ferrer<sup>1</sup>, Fernando Campos<sup>2</sup>, Miguel Alaminos<sup>2</sup>, Víctor Carrié<sup>2</sup>, Ricardo Fernández-Valadez<sup>2</sup>, María del Carmen Sánchez-Quevedo<sup>2</sup>, Ismael Ángel Rodríguez<sup>1,2</sup>.  
 1. Cátedra de Histología e Ingeniería Tisular, Facultad de Odontología, Universidad Nacional de Córdoba. 2. Grupo Ingeniería Tisular, Departamento de Histología, Universidad de Granada, España. 3. División de Cirugía Pediátrica, Hospital Universitario Virgen de las Nieves, Granada, España.

**Introducción:** Las estructuras tisulares a base de colágeno son prometedores andamiajes para la generación de tejidos artificiales por técnicas de ingeniería tisular.

**Objetivo/s:** El objetivo de este trabajo fue realizar un control de calidad histológico de estructuras tisulares a base de colágeno entrecruzadas con genipin con la finalidad de poder ser utilizadas en ingeniería de tejidos.

**Materiales y Métodos:** Se utilizaron estructuras tisulares descelularizadas a base de colágeno (ETC) procedentes de pericardio porcino (SUS-MEM, TISSUM, Córdoba, Argentina), las cuales se trataron con concentraciones crecientes de genipin (GP) (0.01%, 0.1% y 1%) durante 24 horas. Se realizaron ensayos ex-vivo de viabilidad celular y se evaluaron los cambios en el perfil fenotípico de los macrófagos. Posteriormente, se seleccionó la ETC 0,01% para realizar análisis in vivo mediante implante subcutáneo de las mismas en ratones de laboratorio BALB/c. A los 10 y 30 días post-implantación, se analizó la biocompatibilidad local, sistémica y biodegradabilidad mediante ensayos histológicos y hemograma. Los controles ex vivo e in vivo fueron ETC sin tratamiento. Para el análisis estadístico se utilizó Mann-Whitney ( $p < 0,05$ ).

**Resultados:** Los resultados ex-vivo demostraron que ETC-GP en todas las concentraciones no exhibieron efectos citotóxicos en los macrófagos, según lo determinado por los ensayos de viabilidad celular. Asimismo, se observó macrófagos en contacto con ETC-GP con una mayor tendencia a la polarización de un fenotipo pro-regenerativo. El análisis in vivo mostró que la ETC-GP 0,01% se biointegraba en el tejido celular subcutáneo y poseía mayor resistencia a la biodegradabilidad que ETC sin GP ( $p < 0,05$ ). Los estudios histológicos en órganos y de hemograma confirmaron biocompatibilidad sistémica.

**Conclusión/es:** El control de calidad histológico de las ETC-GP reveló en los estudios ex vivo biocompatibilidad y la presencia de macrófagos con una tendencia hacia un fenotipo pro-regenerativo. El análisis in vivo confirmó la adecuada biointegración de ETC-GP 0,01% y una mayor resistencia a la biodegradabilidad que ETC sin tratamiento. Estos hallazgos destacan el potencial que poseen las estructuras tisulares a base de colágeno entrecruzadas con genipin para su aplicación en ingeniería de tejidos.

080

ID 2017

**ANÁLISIS HISTOLÓGICO DE BIOCOMPATIBILIDAD Y BIODEGRADABILIDAD DE UN NUEVO BIOMATERIAL A BASE DE ÁCIDO HIALURÓNICO. ESTUDIO "IN VIVO" EN RATAS**

Rosario Martínez<sup>1</sup>, Santiago Daniel Palma<sup>1,2</sup>, Nahuel Camacho<sup>2</sup>, Belén Ferrer<sup>1</sup>, Lucas Sorbera<sup>1</sup>, Lucas Ontivero<sup>1</sup>, Guadalupe Dorado<sup>1</sup>, Ismael Rodríguez<sup>1</sup>.

1. Cátedra de Histología y Embriología "B", Facultad de Odontología, Universidad Nacional de Córdoba. 2. UNITEFA, CONICET.

**Introducción:** En la actualidad el ácido hialurónico (AH) es utilizado en armonización bucofacial. Ante la necesidad de lograr mayor persistencia biológica de los mismos, nuestro grupo de investigación desarrolló un nuevo biomaterial a base de ácido hialurónico.

**Objetivo/s:** El objetivo de este trabajo fue analizar la biocompatibilidad y biodegradabilidad de un nuevo biomaterial a base de ácido hialurónico en un modelo in vivo de ratas Wistar.

**Materiales y Métodos:** Se utilizó un nuevo biomaterial a base de ácido hialurónico, esferas de povidexano e hidroxapatita de calcio (AH-P-HA), que fue inyectado en tejido celular subcutáneo de ratas Wistar macho. El grupo control recibió inyección de solución fisiológica. La eutanasia fue realizada a las 24 hs, 7, 30 y 60 días. Se realizó un análisis descriptivo de biodegradabilidad y biocompatibilidad local mediante técnicas histológicas de rutina, histoquímica e inmunohistoquímica.

**Resultados:** En relación al análisis de biodegradabilidad, se observó que AH-P-HA persistía en el tejido celular subcutáneo a los 60 días, mostrando a su vez una progresiva biointegración evidenciada por el aumento de fibroblastos, fibras de colágeno y proteoglicanos entre el biomaterial. A su vez, este patrón pro-regenerativo se correlacionó con la presencia de macrófagos tipo II. Respecto a la biocompatibilidad local de AH-P-HA, se observó una reacción inflamatoria linfoplasmocitaria con la presencia de linfocitos T y B que disminuyó progresivamente en el transcurso de los 60 días.

**Conclusión/es:** El análisis histológico, permitió conocer la reacción biológica generada por AH-P-HA en el modelo in vivo, demostrando la presencia de biocompatibilidad local y persistencia del mismo en los tiempos estudiados.

081

ID 2019

### EVALUACIÓN HISTOLÓGICA DE BIODEGRADABILIDAD DE UNA MEMBRANA DE FASCIA LATA LIOFILIZADA EN UN MODELO EXPERIMENTAL IN-VIVO DE RATAS WISTAR

Tomas Magaquian<sup>1</sup>, Raquel Vivian Gallará<sup>2</sup>, Mario Anibal Rodríguez<sup>1</sup>, Gerardo Sanchez<sup>1</sup>, Cecilia Sobrero<sup>3</sup>, Carolina Lacerra<sup>3</sup>, Ismael Ángel Rodríguez<sup>1</sup>.

1. Cátedra de Histología, Embriología e Ingeniería Tisular "B", Facultad de Odontología, Universidad Nacional de Córdoba (UNC). 2. Cátedra de Química Biológica "A", Facultad de Odontología, UNC. 3. Banco de Tejidos, Laboratorio de Hemoderivados, UNC.

**Introducción:** La regeneración tisular guiada abarca técnicas que se valen de la aplicación de biomateriales como las membranas reabsorbibles de colágeno. Sin embargo, en ocasiones no se disponen de datos que evidencien los tiempos de biodegradabilidad.

**Objetivo/s:** Analizar histológicamente la biodegradabilidad de una membrana de fascia lata liofilizada en un modelo in vivo de ratas Wistar.

**Materiales y Métodos:** Se utilizó una membrana de fascia lata liofilizada (Hemoderivados-UNC) que fue implantada en tejido celular subcutáneo de seis ratas Wistar macho. La implantación se realizó en el dorso de los cuartos delanteros, siendo el miembro derecho utilizado como receptor experimental (membrana). Como control se utilizó el miembro izquierdo sometido a procedimiento quirúrgico sin implantación de la membrana. A los 30 días se realizó la eutanasia y se obtuvieron muestras que fueron procesadas con técnicas de tinciones histológicas de rutina e histoquímica (Tricrómico de Masson y Picrosirius) para la realización de un análisis descriptivo.

**Resultados:** El análisis histológico descriptivo permitió observar a los 30 días con H/E, en la zona del tejido celular subcutáneo, la presencia de estructuras acidófilas homogéneas, compatibles con una membrana colágena de fascia lata. Asimismo, se observó que las mismas estaban rodeadas de un infiltrado inflamatorio. Estos datos se confirmaron con las técnicas de picrosirius y tricrómico al evidenciarse estructuras homogéneas rojas y azules respectivamente, compatibles con un biomaterial de naturaleza colágena. Por otra parte, los controles mostraron a los 30 días una restitución del tejido celular subcutáneo con un aspecto ortotípico.

**Conclusión/es:** El análisis histológico mostraría la persistencia de la membrana colágena de fascia lata en tejido celular subcutáneo de ratas Wistar a los 30 días. Estudios futuros deberían analizar la biodegradabilidad y su biocompatibilidad en un esquema temporal.

082

ID 1974

### RELACIÓN ENTRE LA ECOGRAFÍA DE LA ARTICULACIÓN TEMPOROMANDIBULAR (ATM) DERECHA Y LA PRESENCIA DE ANTICUERPOS ANTIPROTEÍNA CITRULINADA (ACPA)

Karen Rhys, Carla Gobbi, Eduardo Albiero, Paula Alba.

Universidad Nacional de Córdoba.

**Introducción:** Los anticuerpos antiproteína citrulinada (ACPA), se dirigen contra péptidos y proteínas citrulinadas propias. Presentes en la mayoría de pacientes con artritis reumatoide (AR). Son los biomarcadores de AR más importantes, de gran especificidad y asociación con la destrucción articular.

**Objetivo/s:** Describir la información ecográfica de la articulación temporomandibular (ATM) derecha en relación a la presencia de anticuerpos ACPA.

**Materiales y Métodos:** Estudio observacional, descriptivo y transversal. Se estudiaron consecutivamente 72 pacientes del Servicio de Reumatología del Hospital Córdoba. Según criterios ACR 2010. Se realizaron ecografías de la ATM derecha y dosaje de ACPA.

**Resultados:** Se encontró una diferencia estadísticamente significativa en las medianas de los títulos de ACPA según la presencia de derrame en la ATM derecha, de  $U=312,5$  y  $p=,040$ . En pacientes con un derrame articular leve en la ATM derecha ( $n=55$ ), la mediana de los títulos de ACPA fue de 90 (rango intercuartílico: 11-1001, rango = 990). En contraste, aquellos con un derrame moderado ( $n=17$ ) mostraron una mediana de 74 (rango intercuartílico: 14-1001, rango = 987). Los análisis de datos se realizaron con el software estadístico IBM SPSS Statistics v27 para Windows.

**Conclusión/es:** No se hallaron otros trabajos en los que se relacione la información de las ecografías de las ATM con la presencia positiva de anticuerpos ACPA. Pero sí trabajos en manos y pies.

Se concluye que la información ecográfica sobre la inflamación puede detectarse en pacientes ACPA positivos e identificar sinovitis preclínica, lo que sería un pronóstico de progresión de la enfermedad para desarrollar una artritis clínica.

083

ID 1984

**CONCORDANCIA ENTRE DISPOSITIVOS DE MEDICIÓN MANDIBULAR**María Belén Grifo<sup>1</sup>, Gabriel Antonio Sánchez<sup>2</sup>, Mariano Axel Ramón Amer<sup>1</sup>.

1. Cátedra de Anatomía General y Estomatológica, FOUBA. 2. Cátedra de Biofísica y Bioestadística, FOUBA.

**Introducción:** La medición de mandíbulas resulta de interés, no sólo para el estudio integral de su anatomía, sino también para las ciencias forenses y antropológicas. Algunas medidas deben ser registradas con dispositivos específicos, mandibulómetros, pero los existentes en el país son antiguos y poco se conoce acerca de la concordancia de medición con otros diseños contemporáneos.

**Objetivo/s:** Establecer la concordancia entre dos dispositivos de medición: mandibulómetro (FCNyM de la UNLP) vs. mandibulómetro de fabricación propia de la Cátedra de Anatomía General y Estomatológica (FOUBA).

**Materiales y Métodos:** Estudio comparativo de dos dispositivos de medición: mandibulómetro de la FCNyM de la UNLP (diseño antiguo de platinas fijas) y mandibulómetro de fabricación propia de la FOUBA (platinas móviles, similar a los modelos de SERITEX o SANDOX®). Se registraron medidas de longitud del cuerpo mandibular (LCM) (mm), altura de la rama ascendente (AR) (mm) y ángulo mandibular (AM)(Deg) en una muestra aleatoria de 25 mandíbulas, según tamaño muestral calculado (alfa = 0,05 y beta = 0,8) para una DS individual del 5% entre medidas y una diferencia mínima del 4,6% entre medias. Se calcularon la media, DS y el coeficiente de concordancia W de Kendall para, luego, analizar las diferencias entre medias por prueba t y la significancia de la concordancia por  $\text{ji}^2$  ( $p < 0,05$ ).

**Resultados:** El coeficiente W fue 0,82, evidenciando concordancia significativa entre los dispositivos ( $\text{ji}^2 = 39,6$ ,  $p = 0,023$ ). El mandibulómetro de la cátedra de Anatomía (FOUBA) sobreestima medidas de LCM ( $79,4 \pm 5,3$  mm vs.  $76,5 \pm 4,1$  mm,  $t=2,18$ ,  $p=0,04$ ) y AR ( $61,2 \pm 7,0$  mm vs.  $56,1 \pm 8,2$  mm.,  $t=2,43$ ,  $p=0,02$ ), mientras que subestima la medida del AM ( $128,7 \pm 5,7$  Deg vs.  $122,2 \pm 6,9$  Deg,  $t= 3,83$ ,  $p=0,0007$ ). Las discrepancias medias observadas corresponden, respectivamente, al 3,5% (LCM), 8,3% (AR) y 5% (AM).

**Conclusión/es:** El dispositivo de la Cátedra de Anatomía (FOUBA) guarda la concordancia necesaria con otro mandibulómetro de diseño y uso previos, siendo plausible su empleo en la medición mandibular para el registro de las variables LCM, AR y AM.

084

ID 2023

**ESTUDIO CLÍNICO DE LA MORFOMETRÍA DEL TERCER MOLAR EN RELACIÓN A PARÁMETROS CEFALOMÉTRICOS**Pablo Walter Trinks<sup>1</sup>, Gabriel Antonio Sánchez<sup>2,3,4</sup>, Federico Stolbizer<sup>5</sup>.

1. Cátedra de Anatomía, FOUBA. 2. IISAP, FOUBA. 3. CONICET. 4. Cátedra de Biofísica, FOUBA. 5. Cátedra de Cirugía II, FOUBA.

**Introducción:** El tercer molar puede presentar una alta variabilidad morfológica, característica interesante para su estudio y planificación de tratamientos odontológicos.

**Objetivo/s:** Determinar correlación entre medidas morfométricas de terceros molares ex situ (3oM), medidas del arco dental en modelos de estudio de yeso (ModY), y medidas mandibulares y del tercio medio de la cara sobre radiografías panorámicas (RXp).

**Materiales y Métodos:** Estudio analítico observacional de 61 pacientes adultos. Sobre 3oM (n=99) medimos: longitudes oclusoapical (LOA), oclusocérvicovestibular (LOCV), oclusocérvicolingual (LOCL); diámetros mesiodistal (DMD) y vestibulolingual (DVL). Sobre RXp determinamos digitalmente altura, ancho, longitud de la rama (AR, AnchR, LR) y cuerpo mandibular (LCM); altura del cóndilo (AC), ancho nasal (AN), planos Bi-Ta, Bi-Orb y Orb-C6. Sobre ModY establecimos: longitud del arco (LA), diámetros intercanino (DIC), interpremolar (DIPM) e intermolar (DIM). Calculamos media, ES y evaluamos correlación univariada (r Pearson y test t,  $p < 0,05$ ).

**Resultados:** Medidas (mm) dentarias: LOAsup=18,0±0,3, LOAinf=18,6±0,3, LOCVsüp=7,2±0,1, LOCVinf=7,6±0,1, DVLSüp=11,1±0,2, DVLinf=9,9±0,2, DMDsüp=9,5±0,2, DMDinf=11,1±0,2. Medidas sobre RXp: AR=61,0±1,5, AnchR=36,5±1,1, LCM=110,0±2,2, AC=22,0±1,0, LR=59,0±1,5, AN=34,7±1,2, Bi-Ta=198,4±2,7, Bi-Orb=97,9±2,5, Orb-C6=53,0±1,7. Medidas medias sobre ModY: LAsüp=26,7±0,2, LAinf=21,5±0,3, AICsüp=24,1±0,2, AICinf=19,5±0,2, AIPMsüp=31,1±0,3, AIPMinf=29,0±0,3, AIMsüp=45,6±0,3, AIMinf=40,6±0,3. Observamos tendencia correlacional entre medidas longitudinales de la mandíbula, arco, cara y 3oM entre sí, al igual que entre las medidas transversales. Resultaron significativas el 10% de las correlaciones posibles en 3oM superiores y el 48% en inferiores. Las correlaciones LR(DMD):  $r=0,98$ ,  $t=24,4$ ; AR(DMD):  $r=-0,94$ ,  $t=10,3$ ; LCM(LOCV):  $r=0,49$ ,  $t=3,9$ ; y, AIM(DMD):  $r=0,63$ ,  $t=3,84$ , resultaron muy significativas ( $p < 0,01$ ).

**Conclusión/es:** La correlación encontrada ayudaría a estimar más eficientemente las medidas del tercer molar a partir de radiografías panorámicas y modelos de estudio de yeso durante la planificación de intervenciones quirúrgicas.

085

ID 2038

### EFFECTO DEL ÁCIDO HIALURÓNICO SOBRE LA SERCA1A, 2A Y 2B EN MÚSCULO MASETERO.

Augusto Francisco Toma<sup>1,2</sup>, Santiago Corti<sup>1</sup>, Matias Marcelo Medina<sup>1</sup>, Olga Antonenko<sup>1</sup>, Gabriel Antonio Sánchez<sup>1,2,3</sup>.

1. Cátedra de Biofísica y Bioestadística, FOUBA. 2. Instituto de Investigaciones en Salud Pública, FOUBA. 3. CONICET.

**Introducción:** El avance de la medicina y de la odontología con criterio estético y funcional involucra el empleo de biomateriales de relleno dérmico, articular y peri muscular, utilizando agentes como la toxina botulínica y el ácido hialurónico. Poco se conoce acerca del efecto de estos agentes sobre proteínas involucradas en la contracción y relajación muscular.

**Objetivo/s:** Evaluar el efecto del ácido hialurónico sobre las isoformas 1a, 2a y 2b de la Ca-ATPasa del retículo sarcoplásmico del musculo masetero.

**Materiales y Métodos:** Investigación experimental sobre la SERCA de musculo masetero de conejo (n=10). Las isoformas fueron aisladas por ultra centrifugación diferencial y separadas por cromatografía de alta afinidad. La actividad enzimática para cada una de las isoformas fue ensayada en medio in vitro conteniendo 0.1 mg/mL SERCA, 0.1 mMol/L Ca-EGTA, 100 mMol/L KCL, 3 mMol/L MgCl<sub>2</sub>, 3 mMol/L ATP, 10 mMol/L calcimicina, y 0%, 0.5%, 1%, 2%, 3.5% and 5% ácido hialurónico, a 37oC y pH 7.2. Las determinaciones de producción de Pi fueron por el método colorimétrico de Fiske y fueron tomadas como un índice de actividad de la enzima. ANOVA (p<0.05) fue usado para comparar los resultados de los valores de la actividad enzimática para cada una de las concentraciones de ácido hialurónico.

**Resultados:** Esta investigación no evidenció inhibición selectiva de la SERCA por ácido hialurónico en fibras musculares del musculo masetero. El ácido hialurónico no inhibió significativamente la actividad de la SERCA, ya sea para la isoforma SERCA 1a (F=1.66, p=0.12), ni SERCA 2a (F=1.5, p= 0.15) ni la SERCA 2b (F=1.64, p=0.12). La inhibición observada de la actividad enzimática no fue mayor al 5% del valor máximo obtenido (250 mMol Pi. mg protein-1 . hr-1) para las concentraciones de ácido hialurónico usadas como control (0%). Aunque no resultó significativa, la máxima inhibición fue observada para la SERCA 2a a una concentración del 5% de ácido hialurónico.

**Conclusión/es:** La inhibición de la SERCA por las concentraciones de ácido hialurónico utilizadas para tratamientos faciales no supondría potenciales efectos miotóxicos a consecuencia de la inyección de la droga en la región orofacial.

086

ID 2062

### ESTUDIO RETROSPECTIVO DE PACIENTES CON LUXACIÓN DISCAL ANTERIOR SIN RECAPTURA

Daniel Anibal Rodríguez<sup>1</sup>, César Ángel Ossola<sup>1</sup>, Carolina de la Cal<sup>2</sup>.

1. Cátedra de Fisiología, FOUBA. 2. Cátedra de Biofísica y Bioestadística, FOUBA.

**Introducción:** La luxación discal sin recaptura en la articulación temporomandibular es una patología donde el disco queda por delante del cóndilo mandibular en el movimiento de apertura bucal, generando un bloqueo en la trayectoria del mismo y dolor, provocando limitación en la dinámica mandibular. Una de las complicaciones que puede presentarse es el plegamiento discal. En este trabajo analizamos la luxación discal con y sin plegamiento en relación con la hipoplasia condilar (no degenerativa).

**Objetivo/s:** El objetivo de este trabajo fue analizar la relación entre la luxación discal anterior sin recaptura con el tamaño condilar en pacientes con disfunción temporomandibular.

**Materiales y Métodos:** Se realiza un estudio retrospectivo de pacientes con diagnóstico de luxación discal anterior sin recaptura, teniendo como criterio de exclusión la disminución de tamaño condilar por proceso degenerativo. El análisis fue realizado sobre 30 historias clínicas de pacientes de ambos sexos, adultos. Los datos que se tuvieron en cuenta fueron la presencia y tipo de dolor articular, la limitación en la apertura bucal y el desvío mandibular en la apertura. Se analizaron los tamaños condilares como cóndilo conservado (CC) o cóndilo disminuido (CD) sobre radiografías panorámicas, condilografías y resonancias magnéticas de ambas articulaciones temporomandibulares.

**Resultados:** Los resultados obtenidos fueron evaluados mediante test de Chi<sup>2</sup> (p<0.05) y se determinó la frecuencia relativa entre las variables: tamaño condilar (CC o CD) y luxación discal anterior sin reducción (disco plegado=DP o disco no plegado= DNP). Se registró una diferencia muy significativa entre pacientes que presentaron cóndilos de tamaño normal y luxación discal anterior con y sin plegamiento en relación con pacientes con cóndilo reducido de tamaño (p=2.4x10-8). Con respecto a las frecuencias relativas, la probabilidad de aparición de pacientes con CC+DNP= 0.5; CC+DP= 0.2; CD+DNP= 0.3; CD+DP=0.03.

**Conclusión/es:** Por todo esto, podemos decir que las luxaciones discales anteriores con y sin plegamiento discal son menos frecuentes en pacientes con cóndilo disminuido de tamaño.



087

ID 2133

**ESTUDIO DE LAS NEURONAS DEL GANGLIO TRIGEMINAL LUEGO DE UNA AXOTOMIA PULPAR EN RATAS**María Eugenia Miyashiro<sup>1</sup>, Yamila Boix<sup>1</sup>, Yeremi Torres<sup>1</sup>, Alejandra Paganelli<sup>2</sup>, Hugo Ríos<sup>2</sup>, Mariela Canzobre<sup>1,2</sup>.<sup>1</sup>. Cátedra de Histología y Embriología, FOUBA. <sup>2</sup>. Instituto de Biología Celular y Neurociencias "Prof. E. De Robertis", Facultad de Medicina, UBA

**Introducción:** Ante la lesión de un nervio sensitivo periférico los somas de las neuronas ganglionares sufren modificaciones metabólicas y morfológicas. Los cambios morfológicos más evidentes tras la axotomía son la dispersión de los cuerpos de Nissl (cromatolisis) y la excentricidad nuclear.

**Objetivo/s:** Analizar tamaños neuronales y cambios morfológicos o en la distribución de los cuerpos de Nissl de los somas de la rama mandibular del ganglio trigeminal, luego de una axotomía pulpar en ratas.

**Materiales y Métodos:** Se utilizaron 8 ratas Wistar de 50 días. La axotomía pulpar fue realizada mediante la apertura cameral del primer molar inferior izquierdo y la eutanasia se realizó a los 4 días. Los ganglios experimentales (izquierdos) y controles (derechos) fueron procesados según el método de Nissl modificado con azul de toluidina. Los resultados fueron analizados con Image Pro plus y Prueba T ( $p < 0.05$ )

**Resultados:** En ambos grupos se midieron los diámetros y se cuantificaron los somas de las neuronas ganglionares, que presentaban núcleos con nucleolos evidentes en el plano de corte. Se las clasificó según su tamaño (diámetro) en pequeñas  $< 30\mu\text{m}$ , medianas  $30\text{-}40\mu\text{m}$  y grandes  $>40\mu\text{m}$ , lo que evidenció una proporción similar (70%, 25% y 5% respectivamente) en ambos grupos. Sin embargo, el grupo experimental mostró un mayor porcentaje de neuronas pequeñas con ausencia de cuerpos de Nissl en la zona perinuclear, respecto del grupo control (GE:  $23\% \pm 5,9$ ; GC:  $13\% \pm 4,3$   $p:0,003$ ).

**Conclusión/es:** La axotomía de fibras A $\delta$  y C a nivel pulpar mostró una desorganización de los cuerpos de Nissl (cromatolisis) en somas de neuronas pequeñas consideradas nociceptivas (diámetro  $< 30\mu\text{m}$ ). Posiblemente, esta reacción y la cromatolisis neuronal en la región mandibular del ganglio trigeminal representan cambios metabólicos necesarios para una posterior regeneración axonal pulpar.

088

ID 2077

**ALTERACIONES DE LA ERUPCIÓN DENTARIA EN DIFERENTES CONDICIONES ÓSEAS METABÓLICAS**

Fernanda Paz Sarli Galvez Guido Reboredo, Luciana Marina Sanchez, Gisela Soledad Gualdoni.

Cátedra de Histología y Embriología, FOUBA.

**Objetivo/s:** Estudiar las alteraciones de la erupción dentaria en la etapa pre-eruptiva en dos diferentes condiciones óseas metabólicas generadas experimentalmente en la rata.

**Materiales y Métodos:** Ratas Wistar lactantes fueron sometidas a 10 días de inyección intraperitoneal con 7,5 o 20 mg/kg de Etidronato Disódico (E7,5 y E20, respectivamente) a partir de los 4 días de edad representando la etapa pre-eruptiva. Los controles (C) recibieron solución fisiológica durante el mismo periodo. A los 15 días de edad se eutanasiaron las ratas para extraer las mandíbulas que fueron radiografiadas (morfometría de erupción y desarrollo dentario, Image J) y luego procesados para histología y coloreados con Hematoxilina-eosina (histomorfometría del % de tejido óseo alveolar, Image J). Se utilizó ANOVA de una vía y test de Tukey como post-hoc (Infostat), considerándose significativo  $p < 0,05$ .

**Resultados:** La erupción dentaria disminuye significativamente en ambos grupos E respecto al C, siendo aún menor en el grupo E20 (C:  $0,823 \pm 0,112\text{mm}$ ; E7,5:  $1,197 \pm 0,085\text{mm}$ ; E20:  $1,329 \pm 0,210\text{mm}$ ; C vs E7,5:  $p=0,02$ ; C vs E20:  $p=0,002$ ). El desarrollo dentario tiende a ser menor en los grupos E respecto al C de forma dosis dependiente sin diferencias significativas (C:  $1,331 \pm 0,156\text{mm}$ ; E7,5:  $1,257 \pm 0,059\text{mm}$ ; E20:  $1,146 \pm 0,152\text{mm}$ ;  $p=0,16$ ). El % del hueso alveolar aumentó significativamente en el grupo E20 respecto a C y E7,5 (C:  $23,99 \pm 6,74\%$ ; E7,5:  $22,97 \pm 4,87\%$ ; E20:  $46,31 \pm 5,69\%$ ; E20 vs C:  $p=0,0005$ ; E20 vs E7,5:  $p=0,0002$ ). Histológicamente, los grupos E presentaron mayor altura de la cresta ósea y menor espesor del ligamento periodontal y espacios medulares que el grupo C, lo que condice con la mayor proporción de tejido óseo alveolar. En los tejidos dentarios se observó mayor proporción de matriz del esmalte sin mineralizar, mayor cantidad de dentinoide y menor desarrollo radicular.

**Conclusión/es:** Las alteraciones óseas inducidas por antirresortivos retardan la erupción dentaria y la odontomorfogénesis a nivel de la mineralización de los tejidos dentarios.

089

ID 2079

## IMPACTO DE LA RECUPERACIÓN NUTRICIONAL SOBRE EL DESARROLLO MANDIBULAR Y LA ERUPCIÓN DENTARIA DURANTE EL CRECIMIENTO

Sebastián Biagini<sup>1</sup>, Carola B. Bozal<sup>1</sup>, Luciana M. Sánchez<sup>1</sup>, Magalí Zeni Coronel<sup>2</sup>, F. Klarreich Schwartz<sup>2</sup>, L. Aceval<sup>2</sup>, M. L. Pita Martin de Portela<sup>2</sup>, Susana Zeni<sup>2</sup>, Mariana Seijo<sup>2</sup>.

1.Cátedra de Histología y Embriología, FOUBA.2. Laboratorio de Osteopatías Metabólicas, INIGEM/CONICET/UBA.

**Introducción:** La nutrición regula el crecimiento y es el factor modificable más importante del desarrollo y mantenimiento del esqueleto. La recuperación nutricional se caracteriza por una velocidad de crecimiento acelerado tratando de alcanzar una correcta masa ósea al final del desarrollo afectado por inadecuación calórico-proteica.

**Objetivo/s:** Evaluar el impacto del reaporte proteico sobre el desarrollo mandibular y el grado de erupción dentaria en un modelo experimental de ratas en crecimiento.

**Materiales y Métodos:** Ratas macho al destete se dividieron en 2 grupos: Grupo control (C): recibió dieta AIN-93G durante toda la experiencia (50 días); Grupo de reaporte nutreico (R): durante los primeros 7 días recibieron una dieta AIN-93M que aporta 4% de proteínas y luego se alimentaron con una dieta AIN-93G conteniendo 18% de proteína hasta el final del experimento. Luego de la eutanasia se extrajeron las mandíbulas y se realizaron radiografías digitales estandarizadas sobre las cuales se midió crecimiento mandibular (método de Eratalay) y grado de erupción dentaria. Los datos se expresan como media±DS. Se compararon estadísticamente con el test t de Student considerando una p<0.05 como significativa.

**Resultados:** El grupo R no mostró diferencias significativas respecto de C en los parámetros estudiados de crecimiento mandibular (Área (µm<sup>3</sup>): C 110.39±7.71, R 104.46±3.22; Largo (µm): C 21.39±0.45, R 21.48±0.27; Base (µm): C 19.76±0.66, R 19.91±0.24; Altura (µm): C 10.87±0.25, R 10.49±0.29), ni en el grado de erupción dentaria (Altura mesial (µm): C 0.44±0.09, R 0.33±0.11; Altura distal (µm): C 0.69±0.26, R 0.71±0.17).

**Conclusión/es:** Los resultados muestran que los animales que reciben una dieta que suplemente el aporte proteico tienen un desarrollo mandibular y grado de erupción dentaria similar al de ratas con norma dieta durante el crecimiento, sugiriendo que el reaporte podría estar favoreciendo el desarrollo de estos parámetros.

CICUAL: REDEC-2023-1535-E-UBA-DCT\_FFYB. UBACYT 2023 200220220400137BA.

090

ID 2074

## ESTUDIO MICROTOMOGRÁFICO DEL TEJIDO ÓSEO INTERRADICULAR EN RESPUESTA AL MOVIMIENTO ORTODÓNCICO ACELERADO CON TERAPIA DE MICROOSTEOPERFORACIONES

Victoria Fernandez<sup>1</sup>, Carlos Ezequiel Rios<sup>2</sup>, María Lorena Cabirta<sup>3</sup>, Juan Carlos Elverdin<sup>2</sup>, Romina Carmen De Lucca<sup>1</sup>, Florencia Lujan Nuñez<sup>2</sup>.

**Introducción:** En la clínica ortodóncica se practican maniobras para acelerar el movimiento dentario, entre ellas las microosteoperforaciones (MOPs). Estudios realizados en nuestro laboratorio sugieren que la terapia de MOPs acelera el movimiento de molares de rata y aún más en condiciones de hiposalivación.

**Objetivo/s:** Evaluar microtomográficamente los tejidos de soporte dentario durante el movimiento ortodóncico (O) acelerado con MOPs.

**Materiales y Métodos:** 48 ratas Wistar macho 200-250gr se dividieron en 4 grupos: Control (C), MOPs, O y O+MOPs. Se les colocó un resorte de NiTi desde el 1er molar superior (1MS) derecho hasta los incisivos superiores (IS) con una fuerza de 50gr (T0), las MOPs se realizaron por mesial del 1MS con fresa de 1/4mm a baja velocidad. La eutanasia se realizó a las 48hs y a los 7 días. Se obtuvieron imágenes microtomográficas (13µm) para evaluar el porcentaje (%) de volumen de tejido óseo interradicular 1MS y el espacio del ligamento periodontal (LP). Los datos fueron analizados con ANOVA de una vía, considerando p<0,05 diferencia significativa.

**Resultados:** A las 48 horas el volumen de tejido óseo interradicular fue significativamente menor en el grupo O+MOPs comparado con los grupos O, C y MOPs (O+MOPs: 44,0±4,03 vs O: 59,0±1,3; C: 65,0±3,2; MOPs: 64,0±3,7). A los 7 días, esta disminución fue más notable en O+MOPs en comparación con los grupos O, C y MOPs (O+MOPs: 37,0±6,4 vs O: 67,0±4,1, C: 74,0±3,8; MOPs: 69,0±5,7). A las 48 hs el espacio del LP (µm) fue mayor en los grupos O, MOPs y O+MOPs vs C (MOPs: 97±25; O: 117±15 O+MOPs: 130±20vs C: 65±15), y a los 7 días aumentó significativamente en O y en O+MOPs comparado con los grupos C y MOPs (O: 125±20; O+MOPs: 197±15 vs C: 91±15; MOPs: 103±25), por lo tanto, el volumen de tejido óseo interradicular disminuye aumentando el espacio del LP en respuesta al movimiento dentario acelerado por MOPs.

**Conclusión/es:** Las MOPs generan una pérdida ósea interradicular que podría actuar negativamente en la inserción de las piezas dentarias sometidas a movimiento ortodóncico.

091

ID 2046

**PREVALENCIA DE LA PÉRDIDA PREMATURA DE PIEZAS TEMPORALES EN PACIENTES QUE ASISTIERON AL CENTRO UNIVERSITARIO EN LOS AÑOS 2021, 2022 Y 2023**Karen Vanesa Rhys, Micaela Casali.  
Universidad Adventista del Plata.

**Introducción:** La dentición primaria es importante en el crecimiento y desarrollo del niño, al igual que en el habla, masticación, apariencia, prevención de malos hábitos, orientación y erupción de piezas permanentes

**Objetivo/s:** Determinar la prevalencia de la pérdida prematura de piezas temporales en pacientes que asistieron al Centro Odontológico Universitario durante los años 2021, 2022 y 2023

**Materiales y Métodos:** El presente estudio es observacional, descriptivo y retrospectivo. Se evaluaron las Historias Clínicas y radiografías panorámicas disponibles de pacientes de la cátedra de Odontopediatría ingresadas en los años 2021, 2022 y 2023 en el Centro Odontológico Universitario (COU). Se utilizaron las radiografías panorámicas, las pérdidas dentales se clasificaron de acuerdo con la tabla cronológica de erupción del diente permanente propuesto por Nolla y se consideró pérdida prematura de la pieza temporal, si su respectivo sucesor se encontraba en los estadios de 0 a 7. Fue aprobado por el CIEIS de la UAP.

**Resultados:** Del total de las extracciones indicadas/realizadas, 22.8% fueron prematuras. Se identificó que el 61% de los casos de pérdida prematura ocurrieron en pacientes masculinos. Se encontró diferencia estadísticamente significativa entre la variable sexo y pérdida prematura ( $p=0.044$ ). La edad más frecuente para la pérdida de piezas temporales fue a los 8 años (30% de los casos). Los molares inferiores primarios tuvieron una mayor prevalencia de pérdida prematura (50%) siendo el segundo molar temporal inferior izquierdo el afectado con mayor frecuencia. El 82.6% de los eventos estuvo vinculado a la presencia de caries. El 56.5% de las piezas sucesoras a las piezas temporales extraídas prematuramente se encontraban en un estadio 7 de desarrollo (1/3 de la raíz completa). El 81% finalizó con el tratamiento propuesto.

**Conclusión/es:** La prevalencia de la pérdida prematura de piezas temporales fue significativa. Con actitud preventiva es esencial promover una concientización social sobre la importancia de mantener la dentición temporal sana.

092

ID 2045

**NIVEL DE CONOCIMIENTO SOBRE LA IMPORTANCIA DEL PRIMER MOLAR PERMANENTE EN UNA LOCALIDAD DE ENTRE RÍOS**Karen Vanesa Rhys, Gabriela Sacalxot.  
Universidad Adventista del Plata.

**Introducción:** Las piezas dentarias son fundamentales para los niños, ya que permiten una masticación adecuada, favorecen el desarrollo del habla y guían la erupción correcta de los elementos dentarios permanentes. Los padres y/o tutores desempeñan un papel crucial en el cuidado de la dentición de los niños.

**Objetivo/s:** Determinar el nivel de conocimiento y comprensión que tienen los padres y/o tutores acerca de la importancia del primer molar permanente

**Materiales y Métodos:** Estudio observacional, descriptivo, transversal. Se encuestaron padres y/o tutores para averiguar el nivel de conocimiento sobre la importancia del primer molar permanente en una localidad de Entre Ríos. El instrumento fue el Cuestionario: Conocimiento sobre la pérdida del primer molar permanente, realizada en la Universidad de Ciencias Médicas de la Facultad de Estomatología de Santiago de Cuba. La participación fue anónima y confidencial. Todos los participantes debieron previamente haber firmado el Consentimiento Informado. Trabajo aprobado por el CIEIS de la UAP. Fue criterio de exclusión que fueran estudiantes o profesionales odontólogos

**Resultados:** De los padres y/o tutores encuestados: el 58,7% fueron de sexo femenino. 70,6% presentaba un nivel de educación universitaria y el 11,2 nivel superior técnico. El 55,2% mostró un nivel inadecuado en cuanto al conocimiento de la importancia del primer molar permanente. En cuanto al cuidado y prevención el 51% solamente acusó un conocimiento adecuado y el 14.7% total desconocimiento. El 48% desconoce las consecuencias por la pérdida de esta pieza. 79% desconoce las fechas y características de la erupción del primer molar permanente.

**Conclusión/es:** La mayoría de los padres y/o tutores no comprenden adecuadamente la importancia del primer molar permanente en la salud bucal. Este conocimiento es crucial, ya que cumple funciones en la masticación, la estética y sirve como guía para la erupción de otras piezas dentarias permanentes. Se hace evidente la necesidad de mejorar la educación y la concientización al aspecto.



093

ID 2027

### ANÁLISIS DE LA RESISTENCIA ADHESIVA DE BRACKETS CEMENTADOS CON DOS TIPOS DE RESINAS EMPLEANDO DIFERENTES TIEMPOS E INTENSIDAD DE FOTOACTIVACIÓN

Edgardo Daniel Acevedo<sup>1</sup>, Juan José Christiani<sup>2</sup>, González Silvia Raquel<sup>1</sup>.

1. Cátedra de Ortodoncia, Facultad de Odontología, Universidad Nacional del Nordeste. 2. Cátedra Preclínica de Prótesis, Facultad de Odontología, Universidad Nacional del Nordeste.

**Introducción:** En ortodoncia los sistemas de fotoactivación representan gran importancia en la cementación de los brackets, de estos depende que la resina adherida a la base del brackets quede firmemente unida al esmalte.

**Objetivo/s:** Se buscó evaluar la resistencia adhesiva mediante la aplicación de fuerzas de cizallamiento en brackets metálicos cementados con dos tipos de resinas utilizando diferentes tiempos e intensidad de fotoactivación.

**Materiales y Métodos:** Estudio experimental comparativo in vitro. La unidad de análisis fueron 40 piezas dentarias bovinas, divididas aleatoriamente en 4 grupos de 10 especímenes cada uno teniendo en cuenta la técnica de cementado: G1: se utilizó para la unión brackets-diente cemento de resina marca Transbond XT plus 3M® fotoactivado con una intensidad de 2500 mW / cm<sup>2</sup> durante 1 segundo. G2: Transbond XT plus 3M® fotoactivado con una intensidad de 2300 mW / cm<sup>2</sup> durante 3 segundos. G3: Enlight ORMCO® fotoactivado con una intensidad de 2500 mW / cm<sup>2</sup> durante 1 segundo. G4: Enlight ORMCO® fotoactivado con una intensidad de 2300 mW / cm<sup>2</sup> durante 3 segundos. Los grupos experimentales fueron sometidos a fuerzas de cizallamiento con máquina de ensayos universal INSTRON®. La resistencia a la tracción fue medida en MPa.

**Resultados:** Los valores obtenidos mediante el análisis de Varianza arrojaron un estadístico F = 0,48 con un p-valor = 0,6973. Lo que indica que no existe diferencia significativa por lo cual se acepta la hipótesis de igualdad de promedios entre las técnicas probadas.

**Conclusión/es:** Sin embargo, los estadísticos calculados y el análisis exploratorio gráfico llevan a pensar que, contrariamente a lo planteado en la hipótesis, la foto activación durante 3 segundos sería preferible a la foto activación durante 1 segundo, empleando el cemento de resina Enlight ORMCO®. Se sugiere incrementar el número de muestras para intentar detectar diferencias significativas entre los tiempos e intensidades de fotoactivación.

094

ID 2092

### ANÁLISIS DE LA CALCIFICACIÓN INTRACONDUCTO EN ENDODONCIA REGENERATIVA

Ingrid Clarisa Guitelman, Karina Lorena Martínez, Silvia Alvarez, Marcela Adriana Moya.

Cátedra Odontología Integral Niños, FOUBA.

**Objetivo/s:** Comparar la calcificación intraconducto asociada a revascularización (RAIC) utilizando dos materiales biocerámicos, y su relación con el factor etiológico, edad dentaria y calibre del foramen.

**Materiales y Métodos:** Diseño experimental (Comité de Ética 009/2017-018/2021). Fueron seleccionados pacientes de 6 a 14 años, que presentaran piezas dentarias permanentes jóvenes con diagnóstico de necrosis pulpar y concurren para su atención integral entre 03/2017 y 07/2024, brindaran asentimiento y sus responsables consentimiento. Se aplicó el protocolo de los procedimientos endodónticos regenerativos (REPs) según la AAE utilizando aleatoriamente trióxido mineral agregado (CPM®) o cemento de silicato tricálcico (Biodentine®) en el sellado del coágulo sanguíneo. Se realizaron controles clínico-radiográficos a 3, 6, 12 meses, 2, 3, 4 y 5 años. Se consideró un evaluador externo utilizando radiografías periapicales para la evaluación de: a) RAIC, puente dentinario, obliteración progresiva y total; b) Edad dentaria; c) Calibre del foramen. El factor etiológico se determinó clínicamente considerando si fue producido por caries o traumatismo. Se conformaron 2 grupos: CPM (GM) y Biodentine (GB). Los resultados obtenidos en ambos grupos fueron analizados mediante: test exacto de Fisher para a) y factor etiológico; y regresión logística ordinal en b) y c).

**Resultados:** Se incluyeron 29 pacientes, edad media 9,63±2,09 años. La muestra quedó conformada por 33 piezas dentarias GM: 18, GB: 15. Con respecto al tratamiento, los porcentajes de RAIC fueron 89% y 47% para GM y GB respectivamente (p=0.0265). Se hallaron diferencias significativas en la distribución del tipo de RAIC entre los dos grupos: puente dentinario (p=0.009) y obliteración progresiva (p=0.009). No se hallaron diferencias significativas en la disposición de la edad dentaria ni calibre del foramen entre los grupos con y sin RAIC (p = 0.44 y p= 0.20 respectivamente).

**Conclusión/es:** El grupo GM presentó mayor porcentaje de calcificación intraconducto, sin relación en esta muestra con la etiología, edad dentaria y calibre del foramen.



095

ID 2109

**INFORME DE LOS RESULTADOS A 6 AÑOS APLICANDO PROCEDIMIENTOS ENDODÓNTICOS REGENERATIVOS**Karina Lorena Martínez, Marcela Adriana Moya, Sheila Acosta, Ingrid Clarisa Guitelman.  
Cátedra Odontología Integral Niños.

**Objetivo/s:** Evaluar la evolución clínica y radiográfica de las piezas permanentes jóvenes con diagnóstico de necrosis pulpar tratadas mediante procedimientos Endodónticos Regenerativos (REPs).

**Materiales y Métodos:** Diseño experimental, aprobado por el comité de Ética 009/2017 y 018/2021. Fueron incluidas piezas dentarias permanentes jóvenes con diagnóstico de necrosis pulpar en niños de 6 hasta 14 años, sin compromiso sistémico que completaron el tratamiento. Se trataron según protocolo REPs de la AAE. Se utilizó para el sellado del tercio cervicorradicular Trióxido mineral agregado (MTA) o Sellador biocerámico (Biodentine). Se realizaron controles clínicos y radiográficos a 3, 6, 12, 18 meses 2, 3, 4, 5 y 6 años considerando fracaso clínico la presencia de dolor o tumefacción en la zona y como fracaso radiográfico la persistencia de radiolucidez apical. Se registraron decoloración, mediante la toma de fotografías y test de respuesta pulpar.

**Resultados:** La muestra quedó conformada por 35 piezas dentarias 19 en el grupo MTA (GM) y 16 en el grupo Biodentine (GB). La edad media fue de  $9,71 \pm 2,05$  años. El tratamiento reveló 68 y 94% de éxito respectivamente, tanto clínico como radiográfico a los 3 meses, que ascendió al 100% a los 12, 18 y 24 meses sin diferencias significativas. A 3 años descendió a 94 % en el grupo GM y a 80% grupo GB y 86% GM a los 5 años. 50% grupo GB y 83% grupo GM a los 6 años sin diferencias significativas ( $p=0.46$ ). Se incluyó la variable decoloración, se compararon dichos porcentajes mediante el Test exacto de Fisher obteniendo un valor de  $p=0.44$ . Se evaluaron los porcentajes de éxito terciario (positivo a test de respuesta pulpar) para ambos grupos sin diferencias significativas ( $p=0.08$ ).

**Conclusión/es:** Si bien los resultados de los tratamientos con protocolo de REPs son satisfactorios en el tiempo establecido, se requieren estudios con mayor número de casos.

096

ID 2130

**DISYUNCIÓN RÁPIDA PALATINA (MARPE): EVALUACIÓN DEL AUMENTO DE DIÁMETRO TRANSVERSAL NASAL Y MAXILAR. ESTUDIO PILOTO**Julián Rosero Mora, Danieska Karolina Fernandez, Amanda Guzman, Gabriela Vanessa Silva, Laura Marta Labate.  
Universidad Abierta Interamericana.

**Introducción:** El sistema respiratorio humano superior está integrado por fosas nasales, nasofaringe, orofaringe, laringofaringe y laringe. La forma y el diámetro de estas zonas determinan el volumen de aire que pasa a través de ellas. Las alteraciones en el desarrollo de estas zonas conducirán a anomalías craneofaciales y maloclusiones. Uno de los procedimientos más utilizados para corregir esta deficiencia transversal es la terapéutica de expansión maxilar rápida o disyunción.

**Objetivo/s:** Evaluar las variaciones transversales producidas por la técnica de disyunción rápida palatina (MARPE) a nivel del piso de fosas nasales, techo de la cavidad bucal y arcada maxilar superior.

**Materiales y Métodos:** Se presenta un estudio transversal, descriptivo y observacional de pacientes tratados en la Especialidad de Ortodoncia de la Universidad Abierta Interamericana, cuyo diagnóstico indica tratamiento con disyunción rápida palatina. Se evaluaron 10 pacientes de ambos sexos, tratados entre enero del 2021 a diciembre del 2022. Edad 12 a 60 años. Se registraron los datos del tratamiento en 2 tiempos: pre-disyunción y post disyunción, sobre dos estudios realizados a cada paciente, tomografías axiales computarizadas tipo Cone Beam y radiografías frontales. Se evaluó la variación del diámetro transversal de: piso de las fosas nasales (punto nasal derecho a punto nasal izquierdo, NR-NL). Techo de la cavidad bucal (CV6R-CV6L) Ancho transversal de la arcada superior (JR-JL) El proveedor de los enlaces de los estudios radiográficos fue el Grupo Médico Rostagno los datos fueron analizados con el T de Student para muestras apareadas.

**Resultados:** Los resultados mostraron un incremento significativo ( $p < 0,05$ ) postratamiento de los tres parámetros estudiados tanto en las mediciones sobre Rx frontales como sobre TAC sin diferencias significativas entre RX y TAC ( $p > 0,05$ ) (respectivamente NR-NL 2,2mm vs 2,17mm, JR-JL 1,9mm vs 1,58mm y CV6R-CV6L 3,3mm vs 3,92mm).

**Conclusión/es:** La expansión rápida del maxilar con la técnica de Marpe es efectiva para ampliar el piso de fosas nasales, techo de la cavidad bucal y arcada maxilar superior. Las mediciones de los tres parámetros estudiados sobre una Rx frontal son confiables y tan precisas como en las TAC.

097

## ID 2138 CARACTERÍSTICAS ANATOMOFUNCIONALES DE FRENILLOS LINGUALES EN NIÑOS DE 1 A 22 MESES

Verónica Pavan<sup>1</sup>, Ana Clara Casadoumeq<sup>2</sup>, Mariana Ríos<sup>1</sup>, Jessica Belén Bermeo Domínguez<sup>1</sup>, Soledad Daniela Bojaminsky Fontana<sup>1</sup>.  
1. Cátedra Odontología Integral Niños, FOUBA. 2. Cátedra de Fisiología, FOUBA.

**Objetivo/s:** Identificar las características anatómicas y funcionales de frenillos linguales en pacientes de 1 a 22 meses derivados a la Cátedra de Odontología Niños FOUBA.

**Materiales y Métodos:** Diseño observacional, retrospectivo y transversal. Fueron evaluadas las historias clínicas completas de pacientes no sindrómicos, que concurren derivados de hospitales por frenillos alterados, en una comisión entre 2022 y julio de 2024. Tres odontólogas y una fonoaudióloga, calibradas para la utilización del protocolo de evaluación clínica del frenillo de lengua de bebés (Martinelli 2015) registraron las siguientes variables de evaluación anatomofuncional: A) Postura habitual de los labios, B) Tendencias de la posición de la lengua durante el llanto, C) Forma de la punta cuando se eleva durante el llanto, D) Visualización del frenillo lingual, E) Espesor del frenillo, F) Fijación del frenillo en la cara ventral de la lengua, G) Fijación del frenillo en el piso de la boca. Cada variable posee una puntuación, si la suma es entre 0 y 7, no hay limitación de movimientos linguales (G1) y entre 8 y 12 (G2), sí los limita. Se utilizaron porcentajes con IC 95%, Chi cuadrado.

**Resultados:** La muestra quedó integrada por 49 pacientes, edad media  $4.79 \pm 4.49$  meses, R: 1-22 meses, correspondiendo el 63.26% (48.25-76.61) al sexo masculino. El 55.10% no presentó antecedentes familiares de frenillos alterados. Del total de pacientes, los ítems para cada variable observados fueron: A) labios entreabiertos 44.89%, B) lengua en la línea media con elevación de los laterales 61.22%, C) ligera fisura en el ápice 57.14%, D) visualización del frenillo 73.46%, E) espesor delgado 97.95%, F) fijación del frenillo entre el tercio medio y el ápice lingual 53.06%, G) fijación del frenillo en el piso de boca visible a partir de la cresta alveolar inferior 65.30%. El 53.06% y el 46.93% pertenecieron a G1 y G2 respectivamente, no hallándose diferencias significativas entre ambos grupos con respecto a antecedentes familiares de frenillo lingual alterado ( $p=0.499$ ).

**Conclusión/es:** Aproximadamente la mitad de los pacientes evaluados presentaron características anatomofuncionales que limitan los movimientos linguales.

098

## ID 1935 MELATONINA PREVIENE EL DAÑO OXIDATIVO PROVOCADO POR CICLOFOSFAMIDA EN GLÁNDULA PARÓTIDA DE RATAS

Fernando Martín Wietz<sup>1</sup>, Evelin Bachmeier<sup>1</sup>, Claudio Gastón Dubersarsky<sup>1</sup>, Daniela Josefina Porta<sup>1,2</sup>, María Angélica Rivoira<sup>1,2,3</sup>, Marcelo Adrián Mazzeo<sup>1</sup>.  
1. Cátedra de Fisiología, Facultad de Odontología, Universidad Nacional de Córdoba. 2. INICSA-CONICET-UNC. 3. Cátedra de Bioquímica y Biología Molecular, Facultad de Ciencias Médicas.

**Introducción:** Trabajos previos de nuestro laboratorio probaron el efecto redox de melatonina sobre glándula submandibular de ratas tratadas con Ciclofosfamida (Cf).

**Objetivo/s:** Se evaluó el efecto protector antioxidante de melatonina (MLT) en glándula parótida (P) de ratas tratadas con Cf.

**Materiales y Métodos:** Se utilizaron 40 ratas Wistar machos adultas divididas en 5 grupos (G): G1: control; G2: Control+Etanol: tratados con etanol al 1% durante 10 días consecutivos. Los días 11 y 12 recibieron una dosis de solución salina; G3: Cf: tratados con etanol al 1% durante 12 días, días 11 y 12 recibieron una dosis intraperitoneal (i.p.) de Cf de 50 mg/Kg de pc; G4: Cf + MLT: se administró diariamente MLT (5 mg/Kg pc, intraperitoneal, disuelta en etanol al 1%), días 11 y 12 recibieron Cf igual que G3; G5: MLT: tratamiento 12 días consecutivos con MLT (igual dosis de G4). Los animales fueron anestesiados, extirpándose ambas P y sacrificados, previo ayuno 12 hs. Se midió concentración de ácido úrico (AU), actividad de superóxido dismutasa (SOD), expresión de peróxidos lipídicos (PL) y acuosos (PA) en homogenato de P. Análisis estadístico: ANOVA y test de Bonferroni, considerando significativo  $p$  valor  $<0,05$ .

**Resultados:** El tratamiento con Cf disminuyó la concentración de AU y la actividad de SOD (AU: G1:  $2,11 \pm 0,10$ ; G2:  $2,06 \pm 0,09$ ; G3:  $1,01 \pm 0,10^*$ ; G4:  $1,94 \pm 0,11$ , G5:  $1,99 \pm 0,06^*$ , mg/mg prot.; SOD: G1:  $6,10 \pm 0,16$ , G2:  $6,22 \pm 0,20$ , G3:  $4,26 \pm 0,19^*$ , G4:  $5,95 \pm 0,28$ , G5:  $6,85 \pm 0,10$ , U/mg prot.,  $*p < 0,0001$  G3 vs G1, G2, G4 y G5). Además, Cf aumentó la formación PL y PA (PL: G1:  $0,0248 \pm 0,0098$ , G2:  $0,0268 \pm 0,0108$ , G3:  $0,0775 \pm 0,0194^{\neq}$ ,  $0,0333 \pm 0,0068$ ,  $0,0233 \pm 0,0087$ , Abs/mg prot.; HP: G1:  $0,0129 \pm 0,0021$ , G2:  $0,0130 \pm 0,0029$ , G3:  $0,0523 \pm 0,0035^{\neq}$ , G4:  $0,0153 \pm 0,0033$ , G5:  $0,0095 \pm 0,0013$ , Abs/mg prot;  $\neq p < 0,01$  G3 vs G1, G2, G4 y G5). El tratamiento con MLT previno todos estos efectos.

**Conclusión/es:** MLT mejoró el estado redox en P de ratas tratadas con Cf, por lo tanto, MLT podría ser utilizada como coadyuvante para prevenir las alteraciones redox provocadas por este citostático.

099

ID 1948

**PATRÓN DIURNO DE BIOMARCADORES SALIVALES EN RELACIÓN CON EL SUEÑO Y LA INGESTA DE ILEX PARAGUARIENSIS EN ADULTOS JÓVENES**Rolando Pablo Alejandro Juárez, Adriana Marcela Miño, Jorge Orlando Ponce, Armando Cesar Celia.  
Laboratorio de Investigaciones Científicas FOUNNE.

**Introducción:** Existe evidencia científica parcial y controversial sobre la correlación entre el sueño y la infusión de Ilex paraguariensis (IP) con cortisol (Corts), inmunoglobulina A (IgAs) y alfa-amilasa salival (AAs).

**Objetivo/s:** El objetivo de este estudio fue determinar los patrones diarios de Corts, IgAs y AAs en relación con el sueño y la ingesta de Ilex paraguariensis en adultos jóvenes.

**Materiales y Métodos:** Este estudio observacional, descriptivo y transversal incluyó una muestra de 30 estudiantes de odontología de pregrado. Se calculó el índice de masa corporal (IMC). Para evaluar la calidad del sueño y el consumo de IP se utilizó un cuestionario estructurado. Se recolectaron muestras de saliva entera no estimulada por la mañana y por la noche. El análisis de Corts se logró mediante inmunoensayo por quimioluminiscencia, IgAs por método inmunoturbidimétrico y AAs por método cinético. Se realizó estadística descriptiva e inferencial.

**Resultados:** La edad presentó un promedio de 22,93 años. No se observaron diferencias significativas en el sexo ( $p=0,7150$ ). El IMC promedio fue de  $25,46 \pm 4,15$  kg/m<sup>2</sup>. Los niveles de Corts matutinos ( $0,46 \pm 0,15$  µg/dl) fueron superiores a los de la tarde ( $0,13 \pm 0,03$  µg/dl,  $p<0,0001$ ). La concentración de IgAs matutina fue superior ( $22,42 \pm 5,78$  mg/dl) a la vespertina ( $8,97 \pm 4,33$  mg/dl,  $p<0,0001$ ). Los niveles de AAs por la tarde ( $153,05 \pm 41,81$  U/ml) fueron mayores a los de la mañana ( $47,08 \pm 21,99$  U/ml,  $p<0,0001$ ). Se observó correlación entre dificultad para dormirse y grado de somnolencia durante el día con Corts-AM ( $p<0,0001$ ). El tiempo transcurrido desde la ingesta de infusión de IP hasta la toma de muestra resultó en efectos estadísticamente significativos en relación con AAs-AM ( $p=0,0109$ ) y IgAs-AM ( $p=0,0048$ ).

**Conclusión/es:** Los biomarcadores estudiados presentaron una distribución diurna normal y diferente relación con las variables asociadas al sueño y el consumo de IP.

100

ID 1998

**ADHESIÓN DE DOS TIPOS DE BACTERIAS SOBRE CASQUETES DE NIQUEL-CROMO IN VITRO**Melany Ore Zuasabar, Sergio Daniel Lazo, Teresa Adela Butler, Ezequiel Escudero Giacchella, Marianela Soledad Spina.  
Laboratorio de Microbiología y Prótesis, FOUNLP.**RESUMEN NO PRESENTADO**

101

ID 2031

## EVALUACIÓN DEL ESTADO DE RESTAURACIONES SEGÚN CRITERIO CLÍNICO DE RYGE EN PACIENTES DE ODONTOLÓGIA PREVENTIVA FOUNT

Roxana López<sup>1</sup>, Carolina Chaya<sup>1</sup>, Víctor Castillo<sup>1</sup>, María Alejandra Granado<sup>1</sup>, Luis Sotomayor<sup>1</sup>, Jorge Guerrero<sup>2</sup>, Sandra Iturre<sup>1</sup>.

1. Cátedra de Odontología Preventiva, FOUNT. 2. Cátedra de Anatomía General y Dentaria, FOUNT.

**Introducción:** La mínima intervención en odontología (MIO) enuncian los principios de: remineralización de los tejidos desmineralizados, mínima intervención para realizar restauraciones dentales, y la reparación, en lugar del recambio de las restauraciones. En este contexto, los criterios clínicos de Ryge, es una herramienta para evaluar de manera estandarizada las restauraciones dentales, que contribuyen a la toma de decisiones de tratamiento, se evalúan diferentes categorías: integridad marginal, anatomía, textura superficial, color.

**Objetivo/s:** El objetivo de este trabajo fue evaluar el estado de restauraciones según el criterio clínico de Ryge en pacientes que concurren a Odontología Preventiva de FOUNT entre abril y septiembre de 2024.

**Materiales y Métodos:** Se realizó durante el diagnóstico inicial el criterio clínico de Ryge en una muestra de pacientes que concurren a Odontología Preventiva de FOUNT, por tres docentes de la materia (Kappa de Cohen=0,82) para evaluar (color, integridad marginal, anatomía y textura superficial) de restauraciones presentes en boca de resina compuesta y amalgama.

**Resultados:** En 26 pacientes de edad  $X=26,46 (\pm 10,45)$  se analizaron 95 restauraciones; 78 de resina compuesta y 17 de amalgama; 14 del sector anterior y 81 del sector posterior; 58 restauraciones simples y 37 compuestas o complejas. El 28,42 % fueron registrados Charlie (es inaceptable necesitan recambio de la restauración); de ellas por integridad marginal en 41,86%, por el color en el 32,55%, por la anatomía 23,25% ( el 75% de ellas del sector posterior ) y por textura superficial en 2,32%. Solo el 8,42% de las restauraciones registro Alfa (presentan excelente condición) en las cuatro categorías evaluadas. El 63,13% de las restauraciones registraron nivel Bravo (presentan algún defecto debe observarse en 6 meses).

**Conclusión/es:** El criterio clínico de Ryge permitió determinar que el 28,42% de las restauraciones requieren reemplazarse en esta muestra.

102

ID 2040

## FACTORES SOCIO-AMBIENTALES-GENÉTICOS Y EL DESARROLLO DE LESIONES CARIOSAS EN PACIENTES ADULTOS: RESULTADOS PRELIMINARES

María Luz Carnino Ferreccio<sup>1</sup>, Julieta Aldana Don<sup>2</sup>, Ada Victoria Gutvay<sup>1</sup>, Mónica Graciela Bazaaz<sup>1</sup>, Rubén Omar Magliano<sup>1</sup>, Mabel Brunotto<sup>2</sup>, Federico José Busleiman<sup>1</sup>.

1. Cátedra de Operatoria II B, FO, UNC. 2. Cátedra de Biología Celular, FO, UNC.

**Objetivo/s:** El objetivo de esta presentación es determinar la actividad cariogénica y asociarla a las características socio-ambientales en la población a genotipificar.

**Materiales y Métodos:** Estudio transversal (n=30), pacientes adultos (18-60 años), ambos sexos, atendidos en Operatoria II B-FO-UNC, en 2024. Se excluyeron pacientes con periodontitis u otro tipo de patología bucal. Los datos se recolectaron en historia clínica única, registrando: sexo, edad, condiciones socioeconómicas por Índice de Graffar (IG), hábitos de higiene bucal, actividad cariogénica según ICDAS y dieta cariogénica. El grupo estudio (n=18) incluyó pacientes con ICDAS código >2 y grupo control, con ICDAS código ≤2 (n=12). (Proyecto aprobado Comité de Ética CIEIS Facultad Odontología UNC-N°31/2024). Los datos se describieron mediante frecuencias absolutas/relativas%, media/EE, mediana según tipo de variable. Se aplicó la prueba T Student /Chi-cuadrado, fijando  $p < 0,05$  para diferencia /asociación significativa, respectivamente.

**Resultados:** Un 79,3% fueron del sexo femenino. Ambos sexos presentaron edades similares ( $p = 0,23$ ;  $34,2 \pm 13,0$  años varones y  $28,6 \pm 8,9$  años mujeres). El 93,1% de los pacientes correspondía a una clase social media/alta según IG. Los pacientes con ICDAS ≤2 presentaron un puntaje significativamente menor de IG ( $p = 0,0018$ ). El índice de dieta cariogénica fue en promedio mayor significativamente ( $p = 0,006$ ) en los pacientes con ICDAS >2. Una mediana de 7 caries se observó en los pacientes con caries activas. En las zonas FDI 1, 2 y 3 del diente presentaron una mediana de 5; 2 y 1 respectivamente.

**Conclusión/es:** Las características socioambientales y de salud bucal muestran una asociación entre las condiciones socioeconómicas bajas, un puntaje o score alto de dieta cariogénica y la presencia de caries activas (ICDAS >2). Estos resultados preliminares, y limitados por el número de pacientes incluidos en el estudio, muestran características semejantes a las descriptas para la población argentina; por lo cual será interesante reconocer las variantes genéticas relacionadas a la formación del esmalte, pudiendo estas indicar mayor susceptibilidad a desarrollar caries.



103

ID 2051

**DESEMPEÑO DE LA ATENCIÓN PRIMARIA EN CENTROS DE SALUD BUCAL: RELACIÓN CON LA FORMACIÓN Y EXPERIENCIA DE PROFESIONALES EN CÓRDOBA**Agustín Fabián Ponce<sup>1,2,3</sup>, Silvana Berra<sup>2,3</sup>, Marcela Bella<sup>1</sup>.

1. Departamento de Odontología Preventiva y Comunitaria I de la Facultad de Odontología, Universidad Nacional de Córdoba (UNC). 2. Centro de Investigaciones y Estudios sobre Cultura y Sociedad. Facultad de Ciencias Sociales. CONICET. 3. Escuela de Salud Pública. Facultad de Ciencias Médicas. UNC.

**Introducción:** La atención primaria (AP) es crucial para la equidad en el acceso a servicios de salud e incluye atributos esenciales (AE) y derivados (AD). Evaluar esas funciones desde la perspectiva de los odontólogos permite identificar áreas de mejora en los servicios de salud bucal.

**Objetivo/s:** Describir el nivel de cumplimiento de los atributos de la AP en los servicios de salud bucal públicos del municipio de Córdoba, y sus correlatos con el perfil profesional y la situación laboral de los odontólogos.

**Materiales y Métodos:** Se llevó a cabo un estudio transversal, en el que participaron 50 profesionales de 55 servicios de salud bucal de la red pública municipal de Córdoba en 2023. Se utilizó el cuestionario PCAT adaptado a salud bucal para medir los atributos de la AP. Se calcularon puntajes para AE y AD y se realizaron análisis bivariados y multivariados para identificar asociaciones estadísticamente significativas ( $p < 0,05$ ) entre el desempeño de la AP y características profesionales y laborales.

**Resultados:** En el 69% de los centros de salud se alcanzaron puntajes satisfactorios en los AE ( $\geq 6.6$ ) como la longitudinalidad, la coordinación e integralidad en la atención, mientras que el 60% lo hizo en AD, como en la orientación comunitaria e idoneidad cultural. Los análisis multivariados mostraron que en los centros con mejor desempeño, tanto en AE como AD fue más frecuente la presencia de odontólogos/os con más de 10 años de experiencia y con formación en salud comunitaria. El puntaje de los centros se asoció positivamente con la especialización en salud comunitaria de las profesionales que allí se desempeñan (PR=1.85, IC 95%: 1.32-2.59,  $p < 0.001$ ). Además, los centros que funcionan menos de 20 horas semanales se asociaron con una disminución significativa en los puntajes globales (AE+AD) (PR=0.46, IC 95%: 0.22-0.98,  $p = 0.045$ ). El género y la estabilidad laboral no mostraron asociación estadísticamente significativa.

**Conclusión/es:** La experiencia en AP y la formación en salud comunitaria de las/os odontólogos/os se asocian positivamente con un mejor desempeño de los atributos de la AP en los centros de salud bucal. Estos hallazgos confirman la pertinencia de la formación profesional acorde a los atributos de la AP con mayor énfasis en AD como la orientación comunitaria e idoneidad cultural para fortalecer los servicios de salud bucal públicos.

104

ID 2058

**EMPLEO DE MATERIALES DE ESTUDIO Y RENDIMIENTO ACADÉMICO EN ESTUDIANTES UNIVERSITARIOS**

Roxana Lía Basal, Melina Priscila Bander, Laura Silvia Pilone, María Amelia Paleo, Viviana Carmen Serrano, Silvina Suarez, Sabrina De-gaetano, Pablo Dorati, Mauricio Saporitti. Facultad de Odontología, UNLP.

**Introducción:** El análisis de los factores que inciden en el proceso de aprendizaje revela que uno de los principales motivos que conducen al éxito académico, lo constituye el ejercicio de correctos hábitos de estudio.

**Objetivo/s:** Explorar los hábitos de aprendizaje vinculados al manejo de materiales de estudio, en estudiantes universitarios y su incidencia sobre el rendimiento académico.

**Materiales y Métodos:** A una muestra representada por 107 estudiantes universitarios, se aplicó una encuesta correspondiente al Formulario de Hábitos de Estudio de Fernández Pozar (IHE. El IHE consta de 4 escalas, pero se consideró la escala III, para la realización del presente trabajo. Dichas preguntas indagan sobre la utilización de materiales de estudio y comprende a su vez tres ejes: a- manejo de libros, b-lectura, c-subrayado y resúmenes. Se cuantificaron las respuestas positivas y se dividieron en dos grupos positiva más del 50% (A) y menos del 50% (B) considerando a su vez el rendimiento académico de los participantes. Se analizó la independencia de los factores mediante los p-valores de los tests Gamma de Goodman y Kruskal y tau de Kendall. Se establecieron estimaciones las medidas de asociación y sus intervalos de confianza a nivel 95%.

**Resultados:** Eje lectura: grupo A -18 libros, 65 regulares y 13 promovidos-; grupo B -2 libros,8 regulares y 1 promovido-. Eje manejo de libros: grupo A- 20 libros, 68 regulares y 14 promovidos-; grupo B -0 libros,5 regulares y 0 promovidos-.Eje subrayado: grupo A- 20 libros, 59 regulares y 14 promovidos-; grupo B -0 libros,14 regulares y 0 promovidos. El análisis de Test de Kendall factores arrojó un p-valor de 0.824; 0.341; 0.312 en los ejes (a, b y c) por lo que no se rechaza la hipótesis nula, es decir no hay evidencia de que los factores sean dependientes. Gamma de Goodman y Kruskal dio p-valor valor 0.822; 0.2958; valor 0.822. indica que no se puede considerar a las variables como dependientes.

**Conclusión/es:** A partir de los resultados obtenidos se puede concluir que, si bien predominan las respuestas positivas de más del 50% de hábitos correctos de estudio, no puede afirmarse una correlación positiva entre los hábitos de estudio vinculados al manejo de materiales y el rendimiento académico.

105

**ID 2065**  
**ESTADO BUCAL DE PACIENTES CON TRASTORNOS DE CONDUCTA ALIMENTARIA. ESTUDIO PRELIMINAR**

Sandra Iturre<sup>1</sup>, María Marta Uasuf<sup>2</sup>, Mabel Alonso<sup>2</sup>, Alejandra Caram<sup>2</sup>.  
1. Cátedra de Odontología Preventiva, FOUNT.2. CEPTA - SIPROSA Tucumán.

**Introducción:** El Centro provincial de trastornos alimentarios CEPTA es un centro asistencial formado por un equipo de profesionales multidisciplinario especializados en el diagnóstico, tratamiento y rehabilitación de niños, adolescentes y adultos, con obesidad mórbida y trastornos de conducta alimenticia TCA (bulimia y anorexia). Brinda atención ambulatoria e integral con el fin de favorecer la adherencia al tratamiento y mejorar la calidad de vida de los pacientes. Es esencial la educación de los pacientes con trastornos de la conducta alimentaria sobre las prácticas de salud bucal preventiva.

**Objetivo/s:** El objetivo de este trabajo fue determinar la relación entre el pH salival y lesiones erosivas en pacientes que concurrieron a CEPTA durante los meses de agosto y septiembre de 2024.

**Materiales y Métodos:** Se realizó en pacientes que concurrieron a CEPTA, examen clínico consistió en Índice: Hemorragia al sondaje (IHS), Placa de Löe y Silness (IP), Cálculo dental (ICS) Erosión BEWE, CPOD, según criterio diagnóstico OPS/OMS, y medición de pH salival inmediatamente a la recolección de la muestra de saliva no estimulada, antes de cualquier procedimiento dental (con phcómetro digital, calibrado con solución buffer/estándar pH 7 y 4,), para la medición se enjuaga el electrodo con agua destilada, se colocó en la muestra de saliva, lectura del registro del pH. Se efectuó el análisis estadístico de los resultados mediante coeficiente de correlación de Pearson.

**Resultados:** Fueron evaluados 14 pacientes edad  $X=22,42(\pm 8,62)$ , 85,71% femeninos, 10 pacientes con bulimia, y 4 con anorexia,  $IP=1,05(\pm 0,38)$ ;  $IHS=0,27(\pm 0,14)$ ;  $ICS=6,92(\pm 5,69)$ ;  $C=4,8(\pm 3,6)$   $P=1,8(\pm 4,8)$   $O=1,1(\pm 1,4)$   $D=7,7(\pm 5,2)$ ;  $MB=2,5(\pm 3)$ ;  $pH\ salival=7,175(\pm 0,35)$ ;  $BEWE=2,78(\pm 2,99)$ . 10 pacientes presentaron erosión dental 8 de ellos con bulimia y 2 con anorexia. Al asociar el valor de pH salival y el puntaje acumulativo BEWE se encontró una correlación lineal moderada ( $r=0,32$  Pearson) en el grupo que presentaban erosión. No se encontró diferencia significativa al comparar  $X=7,21(\pm 0,29)$  del pH salival de los pacientes con bulimia con  $X=7,05(\pm 0,61)$  que presentaban anorexia ( $p > 0,05$ ) test t.

**Conclusión/es:** En este grupo de pacientes se encontró una asociación moderada entre el pH salival y lesiones erosivas.

106

**ID 2066**  
**ESTUDIO DE LA VARIABILIDAD GENÉTICA DEL GEN GTF-B Y SU ASOCIACIÓN CON EL PROCESO DE CARIES EN NIÑOS DE INFANCIA TEMPRANA**

Melisa Gimenez Eujanian<sup>1</sup>, Raul Enrique Gonzalez Ittig<sup>2,3</sup>, Marina Teresita Bottiglieri<sup>4</sup>, Nogah Antonini<sup>4</sup>, Beatriz Vercelli, Luciana Plum<sup>3</sup>, Fabiana Pia Marina Carletto-Körber<sup>1</sup>.  
1. Cátedra de Odontopediatría "A", Facultad de Odontología, Universidad Nacional de Córdoba. 2. Instituto de Diversidad y Ecología Animal CONICET. 3. Cátedra de Genética de Poblaciones, Facultad de Ciencias Exactas, Físicas y Naturales, Universidad Nacional de Córdoba. 4. Servicio de Microbiología, Clínica Universitaria Reina Fabiola, Córdoba.

**Objetivo/s:** Determinar la variabilidad genética del gen gtf-B y su relación con lesiones de caries.

**Materiales y Métodos:** La población de estudio estuvo constituida por 24 niños de ambos sexos de 2-4 años y consentimiento informado de los padres. Se realizó el examen clínico odontológico y se registró según criterio ICDAS (I), los elementos dentarios sanos (I0); con lesión de caries inicial (I1); moderada (I2) y severa (I3). Las muestras de saliva se sembraron en medio selectivo para el desarrollo de *S. mutans*; según el recuento bacteriano se clasificaron en  $\geq 10^5$  y  $< 10^5$  UFC/mL. Se realizó la extracción de ADN de las cepas según método de Bollet, se amplificó por PCR y secuenció el gen gtf-B. Se identificaron los haplotipos del gen y se construyó una red de relaciones genealógicas con el método Median-joining. Se estimó la diversidad nucleotídica y haplotípica. Se calculó la distancia genética Kimura 2 parámetros (K2P) entre pares de secuencias y se aplicó correlación de Spearman ( $p < 0,05$ ) con ICDAS (0-1-2-3) y UFC/mL  $\geq 10^5$  y  $< 10^5$ .

**Resultados:** De los niños examinados, se detectaron sanos  $n=3$ , con lesiones de caries: inicial  $n=2$ , moderada  $n=5$  y severa  $n=14$ . El recuento microbiológico  $\geq 10^5$  y  $< 10^5$  UFC/mL SM fueron 7 y 17, respectivamente. Se identificaron 12 haplotipos del gen gtf-B con una diversidad haplotípica  $0,9348 \pm 0,0248$  y diversidad nucleotídica  $0,0054 \pm 0,0032$ . Se observó correlación significativa entre ICDAS (0-1-2-3) y la distancia genética K2P ( $r=0,199$ ;  $p=0,0002$ ), pero no hubo correlación entre UFC/mL ( $\geq 10^5$  y  $< 10^5$ ) vs. ICDAS (0-1-2-3) ( $r=-0,04$ ;  $p=0,46$ ) ni con la distancia genética entre cepas ( $r=0,08$ ;  $p=0,24$ ).

**Conclusión/es:** Estos resultados muestran que se encontró una alta diversidad haplotípica en el gen gtf-B y aportan evidencia que hay cepas que se asocian a niños sin caries y otras a niños con lesión de caries severas.

107

ID 2076

**PREVALENCIA DE PATOLOGÍAS DE DESARROLLO EN RADIOGRAFÍAS SERIADAS. ESTUDIO PRELIMINAR**Milagros Trigo Humaran<sup>1</sup>, Romina Loiacono<sup>1</sup>, Diego Vázquez<sup>1</sup>, Pablo Salgado<sup>2</sup>.

1. Cátedra de Diagnóstico por Imágenes, FOUBA. 2. Cátedra de Microbiología y Parasitología, FOUBA.

**Introducción:** Las anomalías dentarias de desarrollo tienen su origen en estadios tempranos del desarrollo embrionario.

**Objetivo/s:** Determinar la prevalencia de patologías de desarrollo en 100 radiografías seriadas del año 2023 de la base de datos de la Cátedra de Diagnóstico por Imágenes de la Facultad de Odontología Universidad de Buenos Aires.

**Materiales y métodos:** Se confeccionó una planilla excel con las patologías dentarias de desarrollo. Dos observadores calibrados observaron cien radiografías seriadas (RS) del año 2023 presentes en la base de datos tomadas por el mismo equipo radiográfico. Aquellas serias que no tenían las 14 radiografías fueron descartadas. No se realizó exclusión por edad. Las RS fueron de 67 mujeres y 33 hombres (n=100). Los datos obtenidos fueron registrados en una planilla de Excel y posteriormente fueron analizados estadísticamente obteniendo la distribución de frecuencia y porcentajes.

**Resultados:** Del total de estudios analizados, un 64% presentó giroversión siendo un 11% por ausencia de pieza vecina. La mesioversión fue evidenciada en el 61% de los participantes de los cuales, el 52% presentaban ausencia de la pieza vecina. Un 18% presentó distoversión, de los cuales un 11% fue por ausencia de pieza dentaria vecina. Así mismo, se evidenció palatoversión en un 1%, también por ausencia de pieza vecina y no se evidenciaron pacientes con vestibuloversión. Se observaron 2% piezas dentarias con conoidismo, 29% con sinostosis, 64% con dilaceración, 1% con perla adamantina y otro 1% con taurodoncia. Se registraron un 1% de dientes supernumerarios en sextante 4 y 6 independientemente. La agenesia parcial se registró en el 2% de los casos y la microdoncia en el 1%. Respecto a los terceros molares, podemos decir que la mayor frecuencia observada fue de ausencia para las cuatro piezas (18: 66%; 28: 70%; 38: 67% y 48: 70%). No se observaron dientes supernumerarios en sextantes 1, 2, 3 y 5. Así mismo, no se obtuvieron registros de pacientes con agenesia total, macrodoncia, transposición dentaria, transmigración, diente ectópico, diente invaginado, geminación, fusión, raíz supernumeraria, talón cuspídeo, caninos retenidos, amelogenesis imperfecta, dentinogenesis imperfecta, displasia dentinal y diente en cáscara.

**Conclusión/es:** Las patologías dentarias de desarrollo observadas con mayor frecuencia fueron las giroversiones y las dilaceraciones, seguidas por la mesioversión y la sinostosis radicular.

108

ID 2088

**PREVALENCIA DE DESVIACIÓN ENTRE LA LÍNEA BIPUPILAR Y EL HORIZONTE REAL EN POSICIÓN NATURAL DE LA CABEZA: ESTUDIO OBSERVACIONAL**

María Pia Burelli, Malena Aguilar Porta, German Albertini, Diego Beccheli, Aníbal Omar Capusotto.

Cátedra de rehabilitación integral de mediana y alta complejidad, FOUBA.

**Introducción:** El análisis facial del paciente es un punto de partida vital para la planificación de casos que requieran un enfoque interdisciplinario. Usualmente, las fotografías se integran a los escaneos intraorales en los software de diseño, calibrando la línea bipupilar (BP) paralela al horizonte (HOR). Sin embargo, la literatura no es concluyente en determinar la prevalencia de la desalineación de la BP con respecto al HOR en posición natural de la cabeza (PNC), y el posible impacto en la planificación digital.

**Objetivo/s:** El objetivo del presente estudio observacional es determinar la prevalencia de la desalineación entre la línea bipupilar con el horizonte en fotografías faciales calibradas en posición natural de la cabeza.

**Materiales y Métodos:** Se seleccionaron 235 participantes (docentes, alumnos, pacientes) de la cátedra de rehabilitación integral de alta y mediana complejidad de la Facultad de Odontología de la Universidad de Buenos Aires (FOUBA). Se les tomaron fotografías faciales sistematizadas con la boca cerrada en PNC con una referencia vertical externa. Sobre cada imagen se dibujaron dos líneas horizontales (BP y HOR) y se estableció el ángulo entre ellas. Se realizó el análisis de los estadísticos descriptivos y la distribución de frecuencias. El estudio fue aprobado por el Comité de Ética de la FOUBA (n°885/15).

**Resultados:** La desalineación entre BP y HOR se expresó en frecuencias absolutas con un intervalo de confianza 95%. El 20,4% presentaban 0° de desviación (n=48); 30,6% presentaban +/-1° (n=72); 25,9% presentaban +/-2° (n=61); 15,3% presentaban +/-3° (n=36); 5,9% presentaban +/-4° (n=14); and 1,7% presentaban +/-5° (n=4). La prevalencia de individuos con 2 o más grados de desalineación entre BP y HOR fue 49%.

**Conclusión/es:** De acuerdo a los resultados obtenidos se puede concluir que aproximadamente la mitad de la población presenta 2 o más grados de discrepancia entre BP y HOR en la posición natural de la cabeza. El tratamiento de estos pacientes debe contemplar la desalineación tanto en el diagnóstico como en la planificación.

109

ID 2089

## LA VARIABLE UNIDADES FORMADORAS DE COLONIAS DE ESTREPTOCOCOS GRUPO MUTANS ANALIZADA EN LENGUAJE R

Alberto Manilla<sup>1</sup>, Silvina Tineo<sup>2</sup>, José María Álvarez Gimenez<sup>3</sup>, Martín Fernando Zalduendo<sup>3</sup>, Martín Fernando Zalduendo<sup>4</sup>, Diego Edgardo Silvera Estevez<sup>5</sup>, Carmen Fátima Vargas<sup>5</sup>, Marta Estela Saravia<sup>6</sup>

1. Cátedra de Matemáticas, Facultad de Agronomía, Zootecnia y Veterinaria -UNT. 2. Cátedra de Microbiología y Parasitología -PFO - Facultad de Odontología -UNT. 3. Cátedra de Microbiología y Parasitología- LABOFOUNT - Facultad de Odontología -UNT. 4. Cátedra PFO - Facultad de Odontología -UNT. 5. Laboratorio de Biología Oral - Facultad de Odontología -UNT.

**Introducción:** La variable Unidades Formadoras de Colonias (UFC) presenta alta variabilidad para su análisis con procedimientos paramétricos tradicionales, por incumplir el supuesto de normalidad. Alternativas son las transformaciones matemáticas o procedimientos no paramétricos. El Lenguaje R, que proporciona rutinas para aplicar las principales técnicas estadísticas, es un software de uso libre y código abierto.

**Objetivo/s:** Analizar en Lenguaje R la variable UFC de Estreptococos Grupo Mutans referida a riesgo microbiológico de caries.

**Materiales y Métodos:** Los datos estudiados corresponden a cuatro muestreos de 58 madres en tiempo 0, 3, 6 y 9 meses, antes y durante la aplicación de un protocolo preventivo. Se determinó el riesgo microbiológico de caries según Koller y Brathall originando tres grupos: sin riesgo, riesgo medio y riesgo alto. Se analizó con Two-Way ANOVA Test in R. Los residuos no se ajustaron a la normalidad, se transformó la variable con la función logaritmo e insistió con el mismo test. Al persistir la limitante, se recurrió a la prueba no paramétrica Friedman Test in R. Complementariamente se ajustó un modelo cuadrático entre las variables UFC y tiempo en meses, para estimar cuando se logra la categoría sin riesgo microbiológico

**Resultados:** Coincidieron los test paramétricos sobre la variable original y la variable transformada con el reporte del test no paramétrico. En madres de alto riesgo se determinaron diferencias significativas entre el muestreo inicial y los posteriores. En madres de riesgo medio la diferencia se dio entre el muestreo inicial y el mes 6. En madres sin riesgo, no hubo diferencias significativas. El modelo cuadrático estimó que a los 6 meses se logró el objetivo, sin riesgo microbiológico.

En el muestreo inicial el 50% de las madres registraba valores de UFC entre 18.5 y 119.0 (siendo Alto riesgo microbiológico es > 100), en los muestreos restantes entre 4.25 y 31.75 (Sin riesgo microbiológico es < 20)

**Conclusión/es:** El Lenguaje R aporta sencillas rutinas para aplicar tests que comparan más de dos muestras según una variable discreta como UFC y para ajustar un modelo que relacione dos variables cuantitativas referidas a riesgo de caries.

110

ID 2115

## EVALUACIÓN DE LA EFICACIA DE MICROPARTÍCULAS DE PAPAÍNA EN LESIONES AMELODENTINARIAS

Fiorella Ventura<sup>1,2</sup>, Aldo Squassi<sup>1,2,3</sup>, Carlos Fernando Mendez<sup>2,3,4</sup>.

1. Cátedra de Odontología Preventiva y Comunitaria, FOUBA. 2. Instituto de Investigaciones en Salud Pública, UBA. 3. CONICET. 4. Cátedra de Farmacología, FOUBA.

**Introducción:** Reportamos previamente la síntesis de micropartículas de alto peso molecular y tamaño definido mediante un procedimiento de entrecruzamiento de moléculas de papaína inducido por radiación, con potencial para la remoción de tejido cariado.

**Objetivo/s:** Determinar la capacidad de las micropartículas de papaína para degradar la matriz colágena del tejido dentinario afectado por lesiones de caries amelodentinarias.

**Materiales y Métodos:** Se obtuvieron 3 bloques de 5 x 5 mm de dentina de 2 molares permanentes con lesiones de caries amelodentinarias de categoría 5.2 (ICDAS II), provenientes de piezas con indicación de extracción, así como 3 bloques de dentina sana de piezas extraídas por indicación ortodóntica. En todos los casos se obtuvo el consentimiento informado previo. La actividad proteolítica se determinó mediante la cuantificación de residuos de tirosina por espectroscopía UV (280-340 nm), tras la incubación de los bloques de dentina a 37°C durante 60 minutos en el preparado de microesferas

suspendidas en buffer fosfato de sodio 50 mM, pH 7,0, con y sin cisteína 0,1 mM.

**Resultados:** La incubación de los bloques de dentina con microesferas de papaína activada incrementó significativamente ( $p < 0,05$  por ANOVA) la liberación de residuos de tirosina en la dentina afectada por caries en comparación con la dentina sana:  $171,50 \pm 10,21$  vs.  $131,50 \pm 4,95$ ; respectivamente.

**Conclusión/es:** Los resultados sugieren que el entrecruzamiento de moléculas de papaína inducido por radiación genera micropartículas enzimáticamente activas, capaces de degradar la matriz colágena del tejido dentinario afectado por lesiones de caries amelodentinarias.



111

ID 2131

**RECUENTOS DE ESTREPTOCOCOS GRUPO MUTANS EGM: APLICACIÓN DE PROTOCOLOS PREVENTIVOS EN EL BINOMIO MADRE/HIJO**

Silvina Tineo<sup>1</sup>, José María Álvarez Giménez<sup>1,3</sup>, Martín Fernando Zalduendo<sup>2</sup>, Diego Edgardo Silvera Estevez<sup>2</sup>, Carmen Fátima Vargas<sup>3</sup>, Marta Estela Saravia<sup>1,3</sup>.  
1. Cátedra de Microbiología y Parasitología, PFO, Facultad de Odontología UNT. 2. Cátedra Práctica Final Obligatoria, FOUNT. 3. Laboratorio de Biología Oral, FOUNT.

**Introducción:** EGM son considerados los más cariogénicos de cavidad oral. La colonización bacteriana y la adquisición temprana de EGM de los infantes está relacionada con las madres y es un marcador importante del riesgo de caries.

**Objetivo/s:** Determinar Riesgo Microbiológico de caries en Binomios madre/hijo mediante recuentos de unidades formadoras de colonias (UFC) de EGM, cuando se aplican protocolos preventivos.

**Materiales y Métodos:** En un estudio aprobado por Comité de Bioética, se recolectó muestras de saliva en binomios madres (N=52) hijos (N=52) menores de 3 años, según técnica de Köller y Bratthal modificada; se cultivó en medio SB20M y se realizó recuento de UFC para clasificar en: Sin riesgo, Riesgo Medio y Riesgo Alto. Se aplicó protocolo preventivo y se realizaron recuentos microbiológicos a los 3, 6 y 9 meses.

**Resultados:** Al comenzar el estudio, hubo 11 madres de Riesgo Alto, 23 Medio, 18 Sin riesgo. Hijos: 3 Riesgo Alto, 2 Riesgo Medio, y 47 Sin riesgo. Al finalizar: 19 madres Riesgo Medio y 33 Sin riesgo. Hijos: 2 Riesgo Alto, 3 Riesgo Medio y 47 Sin riesgo. El test de Freedman y de Wilcoxon indicó que en el estrato Madres de Riesgo Alto hay diferencias significativas entre las UFC del muestreo inicial respecto a los restantes muestreos 3, 6 y 9 meses (p-value=0,0001685). En el estrato riesgo Medio, las diferencias significativas fueron entre momento inicial y 6 meses (p-value=0.0044). El estrato de Madres Sin riesgo no indicó diferencias significativas (p-value > 0.05). Los recuentos de UFC en Hijos no mostraron diferencias significativas en los conteos (p-value > 0.05).

**Conclusión/es:** La aplicación del protocolo preventivo demostró ser eficaz al reducir las UFC de EGM en madres, y mantenerse en la categoría de "sin riesgo microbiológico" desde el sexto mes. En los infantes el riesgo microbiológico no se modificó durante el estudio. Se sugiere que el seguimiento de protocolos preventivos no debería ser menor a los 6 meses del tratamiento.

112

ID 2132

**RECuento DE ESTREPTOCOCOS GRUPO MUTANS EN ALINEADORES TERMOPLÁSTICOS PARA EVALUAR PROTOCOLOS DE LIMPIEZA: ESTUDIO IN-VIVO**

Andrea Carolina Yuste<sup>1</sup>, Silvina Tineo<sup>2,3</sup>, José María Álvarez Giménez<sup>1,2</sup>, Martín Fernando Zalduendo<sup>3</sup>, Carmen Fátima Vargas<sup>1</sup>, Marta Leonor Rugani<sup>4</sup>, Marta Estela Saravia<sup>1,2</sup>.  
1. Laboratorio de Biología Oral, FOUNT. 2. Cátedra de Microbiología y Parasitología, PFO, FOUNT. 3. Cátedra PFO, FOUNT. 4. Cátedra de Ortodoncia Posgrado, Facultad de Odontología UNC.

**Introducción:** El éxito en los tratamientos de ortodoncia no solo depende del profesional y la aparatología, otras variables deben tenerse en cuenta: el cuidado y responsabilidad del paciente a las indicaciones del profesional, los materiales utilizados, y la higiene de los aparatos, entre otras.

**Objetivo/s:** Evaluar dos protocolos de limpieza en alineadores termoplásticos en relación a la adherencia de unidades formadoras de colonias (UFC) de Estreptococos Grupo Mutans (EGM) sobre el material.

**Materiales y Métodos:** Trabajo aprobado por Comité de Bioética-UNT, fueron confeccionados alineadores termoformados Bio-art®), para el maxilar inferior de n=6 pacientes, con igual cantidad de piezas dentarias alineadas. Las placas fueron seccionadas en la línea media obteniendo dos cuerpos de prueba para comparar en el mismo paciente dos Protocolos de limpieza (AyB): PA lado derecho, protocolo con pastilla Corega y PB) lado izquierdo protocolo con clorhexidina. Estuvieron en boca 72 horas siguiendo las indicaciones de uso, solo retirados para ingesta de alimentos y limpieza nocturna. Cumplida las 72 horas, las 12 hemiplacas fueron retiradas, enjuagadas con PBS y colocadas en recipientes con 20 ml de medio de cultivo selectivo SB20M para EGM. Finalizada la incubación, fueron retiradas del cultivo y colocadas en solución azul tripán por 30 minutos, para poder observar recuento de adherencia de UFC de EGM con lupa estereoscópica (Protocolo LABOFOUNT). La estadística se realizó con el test t para muestras pareadas.

**Resultados:** Los resultados obtenidos se analizaron según el promedio de UFC, el Protocolo PA fue de 23,5±21,39 y para el PB 11,17 ± 10,78. La prueba t para muestras pareadas dio como resultado diferencia estadísticamente significativa con un p > 0,01.

**Conclusión/es:** Los resultados indican que, la metodología de limpieza PB usando Clorhexidina fue superior, por adherir menor cantidad de EGM que la PA. El Protocolo B, tiene como ventaja el menor costo y la simplicidad en los pasos de limpieza.

113

ID 2146

## PREVALENCIA DE HIPOMINERALIZACIÓN MOLAR INCISIVA EN NIÑOS ASISTENTES A LA CÁTEDRA DE ODONTOPEDIATRÍA "A" DE LA FACULTAD DE ODONTOLOGÍA DE LA UNIVERSIDAD NACIONAL DE CÓRDOBA

Carla Rotter Maurín, Melisa Giménez Evjanian, María Sol Armando, Mirtha Gandolfo, María Isabel Jeréz, Silvia Mina, Fabiana Pia Marina Carletto Körber.  
Facultad de Odontología Universidad Nacional de Córdoba.

**Objetivo/s:** Estimar la prevalencia de HMI en niños de 6 a 12 años, que demandaron atención odontológica en Odontopediatría "A" de la FO-UNC.

**Materiales y Métodos:** Se realizó un estudio prospectivo, observacional, transversal y descriptivo, en 257 niños que demandaron atención en el periodo comprendido entre marzo y junio de 2024. La población de estudio con diagnóstico de HMI, estuvo conformada por 18 niños de ambos sexos de 6-12 años (varones n=13 y mujeres n=5), evaluados por 6 docentes calibrados ( $Kappa \geq 0.7$ ), previo consentimiento informado y asentimiento. El diagnóstico clínico para HMI se realizó según criterios Mathu-Muju y Wright y para severidad de caries según ICDAS. Se registró: sexo, edad, presencia de HMI, número de incisivos, molares afectados, grado de severidad de HMI y caries. Los datos se analizaron con Test Exacto de Fisher y Test de Welch, Chi 2 de Pearson y Correlación de Spearman ( $p < 0,05$ ).

**Resultados:** La prevalencia de HMI fue del 7,0%. Al discriminar por sexo se observó una menor prevalencia en mujeres (4,3%) que en varones (9,2%), la diferencia entre sexos no resultó significativa (Chi 2 - Exacto de Fisher  $p=0,15$ ). La prevalencia según el tipo de diente: 1M (4,4%), ICS (3,1%), ICI e ILS (1,8%) e ILI (1,4%), fue significativamente mayor en 1M que en incisivos (IL e IC) (Chi 2 de Pearson  $p < 0,05$ ). Los niños con HMI eran mayores que los del grupo control (HMI:  $8,8 \pm 1,4$  años; CTRL:  $8,0 \pm 1,4$  años), las diferencias no fueron significativas (Test de Welch  $p=0,09$ ). La correlación entre los grados de severidad de HMI e ICDAS fue significativa (Corr. de Spearman:  $p < 0,05$ ).

**Conclusión/es:** En esta muestra de niños que concurren por demanda de atención mostraron una mayor prevalencia de HMI los varones, con severidad moderada en los primeros molares.

114

ID 2136

## ESTUDIO DEL SISTEMA ENDOCANNABINOIDE EN TEJIDOS PERIODONTALES Y PERIIMPLANTITIS EN HUMANOS

Ganna Dmytrenko<sup>1</sup>, Fernando Correa<sup>1,2</sup>, Mariana Farina<sup>1,2</sup>, Marisol Murillo Murillo<sup>2</sup>, Javier Fernandez-Solari<sup>1</sup>, Andrea De Laurantiis<sup>1,2</sup>.  
1. Cátedra de Fisiología, FOUBA.2. CEFYBO-CONICET-UBA, Facultad de Medicina.

**Introducción:** El sistema oxitocinérgico actúa cooperando con otros sistemas neuromoduladores, entre ellos, con el sistema endocannabinoide. En los trabajos previos hemos demostrado que la oxitocina puede actuar como un antiinflamatorio en la enfermedad periodontal actuando sobre su receptor en modelo animal y su efecto es mediado por interacción con el sistema endocannabinoide ya que el tratamiento sistémico con oxitocina modifica la expresión del receptor CB2.

**Objetivo/s:** En este trabajo nos propusimos estudiar el sistema endocannabinoide en las muestras peridentarias y/o periimplantarias humanas que comprende los receptores y las enzimas que los sintetizan y los degradan.

**Materiales y Métodos:** Realizamos ensayos de Western blot de muestras humanas provenientes de cirugías programadas. Los pacientes firmaron el consentimiento informado para el uso de las muestras. Estudiamos la expresión de receptores CB1 y CB2 y realizamos ensayos preliminares para detectar enzimas que participan en la síntesis y en la degradación de los mediadores lipídicos del sistema endocannabinoide, NAPE y FAAH respectivamente

**Resultados:** Observamos que ambos receptores cannabinoides CB1 y CB2 se expresan en las muestras humanas, aunque no pudimos demostrar un aumento significativo de la expresión en los tejidos inflamados que puede ser debido a la variación de muestras o inflamación subclínica presente en los tejidos gingivales humanos. Detectamos una expresión muy baja o ausente de NAPE en los tejidos gingivales sanos o inflamados peridentarios, pero llamativamente hay un aumento de expresión en los tejidos provenientes de periimplantitis. En cambio, observamos un aumento de expresión de FAAH en los tejidos inflamados, pero esta expresión no se observa en la periimplantitis.

**Conclusión/es:** La diferente expresión de los componentes del sistema endocannabinoide nos sugiere que los procesos inflamatorios involucrados en la periimplantitis y periodontitis no son similares lo que puede condicionar diferente comportamiento frente a la terapia antiinflamatoria en la clínica.

115

ID 2007

**EL MEDIO CONDICIONANTE DE DIFERENCIACIÓN REDUCE LA EXPRESIÓN DE PRECURSORES MESENQUIMALES PRESENTES EN CULTIVOS PRIMARIOS DE PULPA DENTAL HUMANA**Vanessa Alejandra Merhar<sup>1</sup>, Alejandra Karina De Couto Pita<sup>1</sup>, María Belén Benitez<sup>1</sup>, Eunice Kim<sup>1</sup>, Carlos Fernando Mendez<sup>1,2</sup>.  
1. Cátedra de Farmacología, FOUBA. 2. Consejo Nacional de Investigaciones Científicas y Técnicas.

**Introducción:** La endoglina, conocida también como CD105, es un antígeno de superficie presente en precursores mesenquimales que se une con gran afinidad a distintas isoformas del receptor del factor de crecimiento transformante  $\beta$ . En trabajos previos demostramos que la incubación de células provenientes de cultivos primarios de Pulpa Dental Humana (PDH) en medio condicionante de diferenciación (DMEM-OD) incrementa la expresión de genes que participan del proceso de mineralización y la formación de depósitos minerales, sugiriendo la presencia de precursores mesenquimales en el cultivo.

**Objetivo/s:** Identificar la presencia de precursores mesenquimales e investigar el efecto de la adición de factores condicionantes de diferenciación sobre la expresión del gen de CD105 en cultivos primarios de PDH.

**Materiales y Métodos:** Se establecieron cultivos primarios por explante a partir de pulpa dental humana disgregada mecánicamente. Las células fueron incubadas durante 24, 48 y 72 h, en medio de Dulbecco modificado por Eagle con 10% de suero fetal bovino (DMEM) como medio control o en medio condicionante DMEM-OD. La expresión del transcripto de CD105 se determinó por medio de transcripción reversa y reacción en cadena de polimerasa cuantitativa (RT-qPCR), utilizando como gen de referencia al de gliceraldehído-3-fosfato deshidrogenasa (GAPDH). La detección de precursores mesenquimales se realizó por citometría de flujo utilizando un anticuerpo específico contra CD105 conjugado con ficoeritrina.

**Resultados:** La incubación de las células en medio DMEM-OD indujo una reducción significativa ( $p < 0.05$ ) por prueba ANOVA en la expresión del transcripto de CD105 ( $2,39 \pm 0,3$  vs  $0,80 \pm 0,2$ ;  $0,68 \pm 0,4$  vs  $0,34 \pm 0,1$  y  $0,83 \pm 0,4$  vs  $0,31 \pm 0,1$ ) para DMEM y DMEM-OD a 24, 48 y 72 h de cultivo, respectivamente. La expresión de CD105, estimada como la población de células CD105+ por citometría de flujo, superó en todos los casos ( $n=3$ ) el 90% de las células presentes en los cultivos primarios de PDH.

**Conclusión/es:** Nuestros resultados confirman la presencia de precursores mesenquimales en cultivos primarios de PDH y demuestran que la incubación de estas células en medio condicionante DMEM-OD reduce la expresión de CD105 sugiriendo que el inicio del proceso de diferenciación hacia células especializadas se asocia con una menor expresión de este marcador.

116

ID 2008

**EVALUACIÓN Y ASOCIACIÓN DEL ESTADO PERIODONTAL CON LA PORTACIÓN DE ESPECIES DE CANDIDA EN PACIENTES CON ARTRITIS REUMATOIDEA USANDO PCR (REACCIÓN EN CADENA DE LA POLIMERASA)**Virginia Marta Jewtuchowicz<sup>1,2,3</sup>, Selene Aldana Felkar<sup>1,2</sup>, Mariana Masso<sup>3</sup>, María Laura Garzon<sup>1,2</sup>, Roxana Mariel Murciano<sup>1,2</sup>, María Isabel Brusca<sup>1,2</sup>.  
1. Universidad Abierta Interamericana. 2. Especialidad Periodoncia, FOUBA. 3. Dpto. de Microbiología, Facultad de Medicina, UBA.

**Introducción:** La artritis reumatoidea (AR), una enfermedad autoinmune inflamatoria, presenta una patogénesis similar a la periodontitis (P). Algunos autores relacionan bacterias periodontopatógenas con una mayor producción de anticuerpos anti-péptido cíclico citrulinado (anti -CCP) en AR, aunque se desconoce la asociación con *Candida* spp.

**Objetivo/s:** Evaluar la prevalencia de *Candida* spp. bucal y subgingival, en asociación a Artritis Reumatoidea y Periodontitis mediante PCR

**Materiales y Métodos:** De 87 pacientes adultos con AR (12 masculinos y 75 femeninos), se obtuvo el índice de la actividad de la enfermedad de artritis reumatoide (DAS-28), y se comparó con presencia de P y de *Candida* subgingival y bucal. Se obtuvo ADN a partir de las muestras con el equipo comercial de Qiagen y amplificamos con cebadores universales para hongos y específicos de especies. Se calcularon %, Intervalos de Confianza con un nivel de confianza del 95% (IC95%) con Epi Info.

**Resultados:** El 43% IC95%:0.267-0.567 de los pacientes con AR activa alta o moderada (media DAS-28: 4.01 a 6.03) presentaron P, mientras que solo el 20% con AR activa baja o leve (media Das-28 2.32 a 2.94) tuvieron P. En P se halló un 13.6% IC95%:0.052-0.274 de *Candida* subgingival. *C. albicans* fue predominante en ambos sitios. Otras especies emergentes fueron identificadas como *C. glabrata*.

**Conclusión/es:** En este estudio preliminar no hallamos relación entre *Candida* spp y anti-CCP. La periodontitis es común en pacientes con AR, en especial en aquellos con actividad alta o moderada. Si bien el nicho subgingival en pacientes con AR activa es apto para el desarrollo de *C. albicans*, la prevalencia fue menor que en individuos sin AR, lo que podría atribuirse al tratamiento antiinflamatorio que reciben. Resaltamos la importancia del control periodontal en pacientes con AR, debido a que están en riesgo de padecer infecciones diseminadas a partir del foco periodontal.



117

ID 2009

### ASOCIACIÓN DEL ENFERMEDAD PERIODONTAL Y ENFERMEDAD RENAL CRÓNICA

María Isabel Brusca<sup>1,2</sup>, Juan Paglilla<sup>1</sup>, María Eugenia Castillo<sup>1,2</sup>, Atilio Vela Ferreira<sup>1,2</sup>, Gustavo Zunini<sup>1,2</sup>, Virginia Marta Jewtuchowicz<sup>1,2,3</sup>.  
1. Universidad Abierta Interamericana. 2. Especialidad Periodoncia, FOUBA. 3. Dpto. de Microbiología, Facultad de Medicina, UBA.

**Introducción:** La Enfermedad renal crónica (ERC) en su etapa final se caracteriza por daño renal irreversible grave, como consecuencia de ello, estos pacientes deberán someterse a terapia renal sustitutiva (diálisis), o trasplante renal para su supervivencia. Debido a que la enfermedad gingivo periodontal (EP), es una patología crónica inflamatoria, constituye un factor de riesgo importante para la ERC.

**Objetivo/s:** El propósito de esta investigación fue evaluar el estado de salud bucal y en particular la prevalencia de la EP en asociación con enfermedad renal en pacientes bajo terapia de diálisis.

**Materiales y Métodos:** En este estudio se incluyeron 21 pacientes de ambos sexos (15 masculinos y 6 femeninos), de 18 a 69 años, que al momento de la consulta se encontraban bajo tratamiento de diálisis en un hospital público de la ciudad de Avellaneda, provincia de Buenos Aires. Se les realizó el examen clínico odontológico y se determinó la presencia o no de EP, mediante los parámetros clínicos periodontales (profundidad de bolsa, nivel de inserción, sangrado al sondaje, índice de placa, supuración, movilidad y compromiso de furcación). Se calcularon %, Intervalos de Confianza con un nivel de confianza del 95% (IC95%) y cálculo del valor p con nivel de significación  $\alpha \leq 0,05$  mediante Epi Info.

**Resultados:** En nuestra población se observó en general mala higiene bucal (66,7%, N=14). La prevalencia de enfermedad gingivo periodontal fue del 81% (N=17), IC95%: 0.581-0.946); 52,4% presentaron periodontitis (N=11, IC95%:0.303-0.736). Si bien todos los pacientes con  $\geq 12$  meses de diálisis presentaron EP (N=7 de 7), no se advirtieron diferencias estadísticamente significativas respecto a EP y el tiempo en diálisis que llevan los pacientes (EP con <12 meses de diálisis N=10 de 14), p(Fisher)= 0.265132.

**Conclusión/es:** Dado que en la periodontitis existe un estado inflamatorio permanente que agrava el pronóstico de la insuficiencia renal crónica, por lo que es necesario mantener una adecuada salud periodontal para evitar complicaciones sistémicas en pacientes vulnerables como los que presentan ERC, se sugiere la incorporación de dicha evaluación desde o incluso antes del ingreso a la terapia sustitutiva renal.

118

ID 2025

### EFICACIA DE LA TERAPIA PERIODONTAL NO QUIRÚRGICA MEDIANTE LA UTILIZACIÓN DE LA MAGNIFICACIÓN

Lara Micheletti, María Virginia Antuña, Andrés Barros, Ileana Boccio, Jorgelina Decco, Ernesto Radica, Esteban Fornos, Gustavo Feser.  
Facultad de Odontología, Universidad Nacional de Rosario.

**Introducción:** Las técnicas de raspaje y alisado radicular son complejas. La eficacia y el éxito de cada una de ellas depende de varios factores, pero en especial la capacidad del acceso a las superficies. El advenimiento de la magnificación en las terapias odontológicas ha mejorado las expectativas del éxito en los tratamientos de este tipo.

**Objetivo/s:** Determinar la eficacia de la terapia básica periodontal mediante la evaluación de parámetros clínicos periodontales y las superficies dentarias en las terapias periodontales con y sin magnificación.

**Materiales y Métodos:** Se realizó un estudio descriptivo comparativo entre 10 sujetos con periodontitis estadio 3 y 4 que fueron elegidos por conveniencia con indicación de al menos dos piezas para exodoncia. Se determinó índice gingival (IG), el índice de placa (IP), la profundidad de sondaje (PS), el nivel de inserción (NI) a tiempo 0 y a 90 días. Para valorar el dolor se realizó una escala visual analógica de Heft-Parker (EVA) y se registró el tiempo total utilizado (TIME). Los sujetos recibieron los dos tipos de tratamiento: Split-mouth y cuadrantes asignados por conveniencia. Con terapia convencional con instrumentación ultrasónica magneto restrictiva (G1) y la misma terapia con lupas de aumento prismático (5x) (G+). El tratamiento fue realizado por un especialista en Periodoncia y las mediciones clínicas por un examinador calibrado.

**Resultados:** Los IG a tiempo cero fueron G1 (2.23  $\pm$  0.34) G+ (2.14  $\pm$  0,23) y postratamiento G1 (1,02  $\pm$  0.12) y G+ (1.01  $\pm$  0.13). Los IP previos a tiempo cero fueron G1 (2.32  $\pm$  1.25) G+ (2.13  $\pm$  1,01) y postratamiento G1 (1,01  $\pm$  0.32) y G+ (1.10  $\pm$  0.22). Las PS fueron para G1 (5,12  $\pm$  1,32) y G+ (5,09  $\pm$  0.98) y pos terapia G1 (3.11  $\pm$  0.41) y G+ (2.13  $\pm$  0.22). Los NI fueron para G1 (6,12  $\pm$  2.31) y G+ (6.21  $\pm$  2.36) y G1 (4.12  $\pm$  2.33) G+ (3,75  $\pm$  1,89) a los tres meses. TIME para G1 (5,32  $\pm$  0.21) y para G+ (5,13  $\pm$  0.31). EVA para G1 (67  $\pm$  11 ) y G+ (81  $\pm$  14).

**Conclusión/es:** IG e IP mejoraron independientemente de la modalidad de terapia utilizada. PS y NI tuvieron mejoría estadísticamente significativas en G+ mientras que para TIME no hubo diferencia entre ambos métodos. EVA demostró una respuesta menos dolorosa en G1, pero sin diferencias significativas entre los dos tipos de terapia. Los resultados de este estudio sugieren que la magnificación podría favorecer el resultado post raspaje y alisado radicular.



119

ID 2026

**UTILIZACIÓN DEL LÁSER DE DIODO PARA LAS FRENECTOMÍAS LABIALES. ESTABILIDAD A LARGO PLAZO**

Lara Micheletti, María Virginia Antuña, Andrés Barros, Ileana Boccio, Jorgelina Decco, Anabella Quintero, Esteban Funosas, Gustavo Feser. Cátedra de Periodoncia, Facultad de Odontología. Universidad Nacional de Rosario.

**Introducción:** La presencia de frenillos en ciertos casos resulta perjudicial en algunos pacientes y en determinadas situaciones deben ser eliminados. La eliminación de estas bridas puede ser realizada mediante técnicas convencionales como bisturí, tijeras, electrobisturís o técnicas más novedosas como el láser de diodo.

**Objetivo/s:** Comparar el resultado de la técnica convencional de frenectomía y la técnica con láser de diodo en referencia a la estabilidad a largo plazo y la posibilidad de recidivas. Como objetivo secundario se comparó el disconfort postoperatorio y la cicatrización experimentada por los pacientes después de los procedimientos de frenectomía labial antero-superior y antero-inferior.

**Materiales y Métodos:** Se incluyeron 24 pacientes con una edad de 12 años ( $DE \pm 1,78$ ) con una indicación de eliminación del frenillo labial anterior derivada por ortodoncistas. Los sujetos que se incluyeron en el estudio fueron aquellos con frenillos y bridas clasificadas como papilares y papilares penetrantes y fueron divididos al azar. La muestra constó de 2 grupos de estudio, agrupando 12 pacientes en cada una. Un grupo fue sometido a la técnica quirúrgica clásica de frenectomía (GRUPO 1) y un segundo grupo recibió el tratamiento de láser de diodo (GRUPO 2). Se evaluaron las siguientes variables: Severidad del sangrado intraquirúrgico, la percepción del dolor por parte del paciente en el día 1 y en el día 7; utilizando una escala visual analógica (EVA) y los patrones de curación a los 7 días, a los 30 días, al año y a los 5 años de seguimiento.

**Resultados:** Según la severidad del sangrado intra-quirúrgico el GRUPO 2 obtuvo mejores resultados que el GRUPO 1 con diferencias significativas. Con respecto a la percepción del dolor en el día 1 y 7 ambos grupos presentaron diferencias significativas a favor del Láser. De acuerdo a los tipos de curación, el GRUPO 2 a los 7 y 30 días obtuvo un valor significativo con respecto al GRUPO 1. Sin embargo, no existieron diferencias significativas entre ambos grupos al año y a los 5 años.

**Conclusión/es:** El uso del láser en cirugía de tejidos blandos como en las frenectomías ha logrado resultados favorables y aceptación considerable ya que presenta una mejoría en los procesos de curación de los tejidos, tales como la reducción del riesgo de infección de la herida quirúrgica, menor sangrado intraoperatorio, menor percepción de dolor y menor contracción del tejido cicatrizal, además de una estabilidad equivalente a las cirugías convencionales a largo plazo.

120

ID 2029

**ESTUDIO DE LA DIFERENCIACIÓN DE CÉLULAS PRECURSORAS MESENQUIMALES EN CULTIVOS CELULARES DE PULPA DENTAL HUMANA CON MORFOGÉNESIS RADICULAR INCOMPLETA**

María Belén Benitez, Franco Dell'Angélica, Valeria Miozza, Vanesa Merhar, Alejandra Karina De Couto Pita. Cátedra de Farmacología, FOUBA.

**Introducción:** Las células precursoras mesenquimales de la pulpa dental muestran una alta capacidad de autorrenovación alcanzando un fenotipo de diferenciación que determina su especialización. El antígeno de superficie CD105 (endoglina) se presenta en la mayoría de las células de estirpe mesenquimales. La actividad mineralizante (AM) se evalúa mediante la formación de depósitos de calcio y por la actividad de la Fosfatasa Alcalina (ALKP), enzima que participa en la formación y calcificación de matriz de tejido óseo.

**Objetivo/s:** Evaluar la presencia de marcadores de células precursoras mesenquimales y de indicadores de diferenciación a células mineralizantes en medio de cultivos con factores de diferenciación.

**Materiales y Métodos:** Se establecieron cultivos de células de pulpa de molares retenidos con apicoformación parcial, incubadas en medio Dulbecco modificado por Eagle (DMEM) o en DMEM conteniendo factores de diferenciación (DMEM-OD) a diferentes días. La detección de células precursoras se determinó por la expresión del gen de CD105 por medio de transcripción reversa y reacción en cadena de polimerasa cuantitativa (RT-qPCR); y se corroboró por Western Blot. La actividad de ALKP se determinó espectrofotométricamente. La AM se analizó por tinción con rojo de alizarina.

**Resultados:** Cultivos en DMEM-OD mostraron una reducción en la expresión del transcripto de CD105, medida como expresión relativa a la del control en medio DMEM a todos los tiempos (0,4; 0,3; 0,2 y 0,2 para 7, 14, 21 y 28 días respectivamente). La AM se incrementó ( $p < 0,05$ ) a los 14, 21 y 28 días ( $0,46 \pm 0,13$ ;  $1,63 \pm 0,21$ ;  $2,76 \pm 0,05$  vs.  $0,16 \pm 0,01$  a 7 días OD-450) en DMEM-OD. La actividad de ALKP aumentó ( $p < 0,05$  test-t) a los 21 días ( $8,96 \pm 5,17$  vs  $31,26 \pm 4,65$  mU/g proteínas para DMEM y DMEM-OD respectivamente).

**Conclusión/es:** Se concluye que en los cultivos en medio DMEM-OD, conforme se reduce la expresión del transcripto CD105 se incrementa la AM en forma tiempo dependiente, observándose máxima actividad de ALKP a los 21 días.

121

## ID 2042 ESTUDIO DE LAS CARACTERÍSTICAS HISTOMORFOMÉTRICAS DE LA ENCÍA DE PIEZAS PRIMARIAS

Daniela Bernado<sup>1</sup>, Romina De Lucca<sup>2</sup>, Ana María Biondi<sup>1</sup>, Anabella Fiore<sup>2</sup>.

1. Cátedra de Odontología Integral Niños, FOUBA. 2. Cátedra de Histología y Embriología, FOUBA.

**Introducción:** Las características histológicas de la encía libre de piezas permanentes han sido ampliamente estudiadas, pero poco se sabe sobre las características histológicas de la misma en piezas primarias

**Objetivo/s:** Evaluar histomorfométricamente las variaciones de la encía libre de piezas primarias uni y multiradiculares.

**Materiales y Métodos:** 8 piezas primarias unirradiculares y 8 multiradiculares sanas con indicación de extracción por persistencia fueron evaluadas por un único operador determinando: profundidad del surco (SP) y sangrado al sondaje (Ss), utilizando sonda periodontal Carolina del Norte (Hu Friedy®). Posteriormente se realizó una incisión 1mm por debajo del surco marginal extrayendo las piezas con el rodete adherido. Se fijaron en formol buffer al 10% y se realizó su procesamiento para el estudio histológico. Al preparado obtenido coloreado con hematoxilina y eosina se le realizó la microfotografía con microscopio Nikon Eclipse NI, con cámara Nikon DS-FI2. Mediante el analizador de imágenes IMAGE FIJI se midieron espesores de las diferentes estructuras histológicas que se expresan como promedios y desvío estándar.

**Resultados:** Las mediciones revelaron: una SP clínica de  $0,9\text{mm} \pm 0,2$  e histológica de  $1,3\text{mm} \pm 0,8$ . En todas las piezas se observó un Ss negativo. En las piezas unirradiculares se encontró un espesor del epitelio del surco (ees) de  $0,26\text{mm} \pm 0,08$  con un estrato córneo (eecs) de  $1,53\text{mm} \pm 0,01$ ; un espesor de epitelio de encía libre (eel) de  $0,3\text{mm} \pm 0,06$  con un estrato córneo (eecl) de  $0,09\text{mm} \pm 0,04$ . El espesor del epitelio de unión (eeu) fue de  $0,04\text{mm} \pm 0,1$  y un conectivo subyacente (cs) de  $0,4\text{mm} \pm 0,04$ . Por último, el valor de la profundidad de papilas dérmicas (ppd) fue  $0,2\text{mm} \pm 0,07$ . En cuanto a las piezas multiradiculares el ees fue  $0,36\text{mm} \pm 0,01$  y su eecs  $0,14\text{mm} \pm 0,05$ . El eel fue de  $0,54\text{mm} \pm 0,24$  y su eec  $0,16\text{mm} \pm 0,02$ . El eeu fue de  $0,05\text{mm} \pm 0,01$  y el cs  $0,27\text{mm} \pm 0,08$ . La ppd presentó un valor de  $0,27\text{mm} \pm 0,08$ .

**Conclusión/es:** Dado el mayor espesor del estrato córneo y la menor proporción de corion subyacente en la encía de dientes primarios multiradiculares podría esperarse una menor respuesta inflamatoria a la microbiota oral.

122

## ID 2064 FACTORES CONDICIONANTES DE DIFERENCIACIÓN DE CÉLULAS PLURIPOTENCIALES DE PULPA DENTAL

María Eunice Kim, Vanesa Merhar, María Belén Benítez, Carlos Méndez, Alejandra De Couto Pita.

Cátedra de Farmacología, FOUBA.

**Introducción:** La pulpa dental (PD) presenta diferentes poblaciones celulares ubicadas histológicamente por zonas. En la periferia del tejido están los odontoblastos, células con capacidad de generar tejido mineralizado. Su diferenciación ocurre a partir de células precursoras pluripotenciales presentes en la zona central de la pulpa.

**Objetivo/s:** Estudiar el grado de proliferación celular (PC), el ciclo celular y la generación de depósitos de material mineral utilizando en el medio de cultivo, factores que promueven la diferenciación a células formadoras de tejido mineralizado.

**Materiales y Métodos:** Los cultivos son incubados en medio convencional (DMEM) y en medio condicionante de diferenciación que contiene dexametasona y SFB al 15% entre otros (DMEM-OD) durante 7, 14, 21 y 28 días. La PC se analizó colorimétricamente luego de la tinción con violeta de cristal y la actividad mineralizante (AM) por medio de la tinción con rojo de alizarina. El ciclo celular se analizó por citometría de flujo luego de la tinción con yoduro de propidio.

**Resultados:** En cultivo, las células proliferaron en medio DMEM hasta el día 28 ( $p < 0,001$ ) ( $1,9 \pm 0,01$ ;  $1,9 \pm 0,03$ ;  $1,8 \pm 0,13$  vs.  $1,3 \pm 0,05$  OD-550 a los 14, 21, 28 y 7 días respectivamente). La adición de dexametasona al medio DMEM redujo significativamente ( $p < 0,001$  por ANOVA de doble vía) la PC de 14 y 21 días ( $1,6 \pm 0,03$  vs.  $1,9 \pm 0,009$ ;  $1,5 \pm 0,07$  vs.  $1,9 \pm 0,03$  OD-550 para DMEM + dexametasona y DMEM respectivamente); en cambio, la AM se incrementó significativamente ( $p < 0,001$ ) a los 14, 21 y 28 días ( $0,29 \pm 0,01$ ;  $0,83 \pm 0,03$ ;  $0,83 \pm 0,1$  OD-405 vs.  $0,17 \pm 0,01$  a 7 días OD-450). Dexametasona incrementó la proporción de células en fase G2/M ( $43,1$  vs  $14,1\%$ ) a expensas de la fase G0/G1 ( $46,2$  vs  $77,1\%$ ) para DMEM + dexa y DMEM, respectivamente.

**Conclusión/es:** La adición de dexametasona al medio DMEM redujo significativamente la proliferación e incrementó los depósitos de mineralización en función del tiempo de incubación.

123

### ID 2119 MORFOLOGÍA DE CONDUCTOS RADICULARES DE SEGUNDOS PREMOLARES INFERIORES EN TCHC

Fernando González Maglio<sup>1</sup>, Walter Cornes<sup>1</sup>, Ana Sánchez<sup>1</sup>, Ileana Bonzi<sup>1</sup>, Martina Iglesias<sup>1</sup>, Luis Ortenzi<sup>1</sup>, Lucila Vazquez<sup>1</sup>, Julieta Serafini<sup>1</sup>, Andrea Zabala<sup>1</sup>, Ana Soler<sup>1</sup>, Pablo Andrés Salgado<sup>1</sup>.  
1. Cátedra de Diagnóstico por imágenes, FOUBA. 2. Cátedras de Microbiología y Parasitología y de Odontología Preventiva y Comunitaria, FOUBA. Instituto de Investigaciones en Salud Pública, UBA.

**Objetivo/s:** Determinar mediante TCHC la prevalencia del tipo de Vertucci en los conductos radiculares de segundos premolares inferiores en una población argentina.

**Materiales y Métodos:** Sobre una muestra de 58 pacientes que concurren a la Cátedra de Diagnóstico por Imágenes de la Facultad de Odontología de la Universidad de Buenos Aires fueron evaluados los 2° premolares inferiores mediante TCHC.

Criterios de inclusión: tomografías que incluyeron 3.5 y/o 4.5 en salud dental, periodontal y con ápice cerrado.

Criterios de exclusión: artefactos de adquisición, voxel >200 mm.

Se estudiaron las variables: edad, sexo, lado y tipo de morfología interna. Se realizó la exploración de las imágenes en el plano axial de los tercios apical, medio y cervical de las piezas 3.5 y 4.5 clasificándolos según Vertucci (variables anatómicas de los conductos radiculares, VII tipologías).

Para las variables cuantitativas se calculó media, mediana y DS. Para evaluar la concordancia se utilizó Kappa de fleiss

**Resultados:** La media de edad de los pacientes 32± 14 años, mínimo 14 años y máximo 67 años. La distribución según sexo fue 56,9% femenino (n=33).

La prevalencia de tipo para el total de la muestra fue:

- I (23%)
- II (37%)
- III (24%)
- IV (12%)
- V (3%)
- VI (1%)

La distribución según Tipo fue: para el lado derecho la de Tipo I n (87,9%) y para el lado izquierdo la de Tipo I n (82,5%).

La coincidencia de tipo entre lado derecho e izquierdo para el total de la muestra fue del 90% con un valor de Kappa =0,004 (IC95: 0,12 a 0,64)

**Conclusión/es:** El presente estudio brinda información de la mayor frecuencia de aparición de la morfología de los conductos, con el objetivo de contribuir a planificar las terapéuticas.

124

### ID 1988 POLIMORFISMO DEL GEN FCGR2A EN PACIENTES CON SÍNDROME DE DOWN. ESTUDIO PRELIMINAR

Mariana Armada<sup>1</sup>, Angélica Castro Escalante<sup>2</sup>, Martín Cifuentes<sup>3</sup>, Mónica Paola Bellazzi<sup>3</sup>, Carlos David Bruque<sup>3</sup>, Débora Gonzalez<sup>4</sup>, Betina Orman<sup>2</sup>, Teresita Ferrary<sup>1</sup>.

1. Cátedra de Medicina Interna, FOUBA. 2. Cátedra de Farmacología, FOUBA. 3. Unidad de Conocimiento Traslacional Hospitalaria Patagónica, Hospital de Alta Complejidad SAMIC, El Calafate, Santa Cruz. 4. Cátedra de Biofísica y Bioestadística, FOUBA.

**Introducción:** El síndrome de Down (SD) es un trastorno genético asociado con el par 21 por un fenómeno de no disyunción en el que, aproximadamente, 95% de los pacientes resulta con trisomía 21 pura. Quienes pueden presentar distintas afecciones sistémicas, involucrando diversos componentes anatómicos: corazón, sistema sanguíneo, inmunológico, esqueleto, músculos, glándulas endocrinas, como y la cavidad bucal. Los pacientes con SD presentan una alta prevalencia de enfermedad periodontal (EP) agresiva caracterizada por una rápida progresión y pérdida de tejido periodontal asociada a factores sistémicos, genéticos e inmunológicos. EL gen FCGR2A se asocia con el riesgo y la severidad de la EP.

**Objetivo/s:** Puesta a punto de la reacción en cadena de la polimerasa (PCR) punto en un polimorfismo del gen FCGR2A a partir de muestras de sangre de pacientes con SD y pacientes control con y sin EP.

**Materiales y Métodos:** Se reclutaron 19 pacientes con SD y 19 pacientes del grupo control, pareados por sexo, edad y etnia. Se diseñaron los primeros específicos del polimorfismo de nucleótido simple (SNP) utilizando el programa genome.ucsc.edu. Se realizó la extracción de ADN a partir de muestras de sangre venosa con la técnica de CTAB 2% y posteriormente las PCRs punto final. Los productos se corrieron en geles de agarosa y se analizó su tamaño en un transiluminador.

**Resultados:** Dentro del gen FCGR2A se estudió el SNP rs1801274 cuyo producto de PCR tiene un tamaño esperado de 678 pares de bases (pb). Los productos de PCR obtenidos se corrieron en geles de agarosa junto a un marcador 100pb de peso molecular. Todas las reacciones PCR dieron una única banda del tamaño esperado.

**Conclusión/es:** Este estudio preliminar muestra la puesta a punto de la obtención de los productos de PCR de un SNP del gen FCGR2A, implicado en el riesgo y la severidad de la EP. Los productos obtenidos se secuenciarán mediante el método de Sanger para identificar la presencia o no del polimorfismo.

125

**ID 2144**  
**EFFECTO DEL PLASMA RICO EN PLAQUETAS COMO INDUCTOR OSTEOGÉNICO. ESTUDIO PRELIMINAR IN VIVO E IN VITRO**

Betiana Nebaí Salassa<sup>1</sup>, Melina Sosa De Lucca<sup>2</sup>, Ricardo Orzuza<sup>2</sup>, Joaquim Vives<sup>3</sup>, Silvia Friedman<sup>2</sup>, Veronica Julieta Miksztowicz<sup>2</sup>, Claudio Marcelo Fader<sup>1</sup>.  
1. Instituto de Histología y Embriología de Mendoza (IHEM)- CONICET- UNCuyo. Cátedra de Bioquímica General y Estomatológica, Facultad de Odontología, UNCuyo. 2. Cátedra de Bioquímica General y Bucal. Unidad de Investigación de Bioquímica Traslacional y Metabolismo (UBITM), FOUBA. 3. Banc de Sang i Teixits (BST). Servei de Teràpia Celular.

**Introducción:** La enfermedad periodontal (EP) es una patología inflamatoria que provoca la pérdida progresiva del ligamento periodontal (LP) y del hueso alveolar, siendo la principal causa de pérdida dentaria en adultos. El plasma rico en plaquetas (PRP) ha mostrado su potencial como agente bioactivo para lograr la regeneración ósea.

**Objetivo/s:** Evaluar in vivo e in vitro la capacidad del PRP para inducir regeneración ósea.

**Materiales y Métodos:** In vivo: Se utilizó un modelo de EP en ratas Wistar, divididas en tres grupos: control (C), EP, y EP tratado con PRP (EP+PRP). A las ratas EP+PRP se les administró PRP autólogo en el saco periodontal cada 48 horas. Se realizó un análisis histomorfométrico de las hemimandíbulas para evaluar el volumen óseo interradicular (VO/VT%) y el espesor del LP.

In vitro: Células mesenquimales de gelatina de Wharton (WJ MSC) se sometieron a diferenciación osteogénica en presencia de PRP activado con gluconato de calcio, comparándose con un medio comercial inductor como control. La actividad de la fosfatasa alcalina fue evaluada como marcador de osteogénesis por histoquímica.

**Resultados:** In vivo: Se observó que el VO/VT% en el grupo EP disminuyó respecto a C, aumentando en EP+PRP. LP fue significativamente mayor en EP ( $p < 0,01$ ) y EP+PRP ( $p < 0,01$ ) respecto a C, sin diferencias entre los grupos experimentales.

In vitro: A los 7 días, en los resultados preliminares las WJ MSC mostraron mayor actividad de fosfatasa alcalina en el grupo osteogénico con PRP comparado con el control.

**Conclusión/es:** Estos resultados señalan que la utilización del PRP in vivo, favorece la regeneración parcial del hueso alveolar, y que en condiciones in vitro el uso del PRP acelera la diferenciación celular y anticipa la formación ósea dada por la expresión de la fosfatasa alcalina, sugiriendo la importancia del tratamiento con PRP por sus propiedades regenerativas.

126

**ID 2157**  
**EN LA PERIODONTITIS EXPERIMENTAL: ¿INFLUYE EL RECAMBIO DE LA LIGADURA EN LA PROGRESIÓN DE LA PÉRDIDA ÓSEA ALVEOLAR?**

Ricardo Orzuza, Leonardo Cacciagiù, Morena Wiszniewski, Juan Galdoporpora, Silvia Friedman, Vanesa Macri, María Eugenia Antona. Cátedra de Bioquímica General y Bucal, FOUBA.

**Objetivo/s:** Evaluar el impacto del recambio de la ligadura en la progresión de la pérdida ósea alveolar (POA) en un modelo de periodontitis experimental (PE).

**Materiales y Métodos:** Se lotearon 18 ratas Wistar macho adultas (200+50g) y se las dividió en 3 grupos. Grupo C (control), Grupo P+L (periodontitis con ligadura), Grupo P/RL (periodontitis con cambio de ligadura). Al Grupo P+L se le colocó una ligadura de lino en el cuello del 1M durante 4 semanas. Al Grupo P/RL se le cambió la ligadura cada semana durante 4 semanas. A tiempo final, las ratas fueron eutanasiadas por punción cardíaca. Se reseca-ron las mandíbulas y se tiñeron con azul de metileno (1g/100ml). La pérdida ósea alveolar (POA) se determinó con 3 métodos: 1) calibre digital (CD) para la distancia (suma de 6 mediciones lineales (mm)); 2) fotografías digitales (FD), desde el límite amelocementario a la cresta ósea alveolar: área (mm<sup>2</sup>); 3) radiovisiografías (RVG) se midió el hueso de soporte periodontal (HSP)%. Análisis estadístico: ANOVA+SNK  $p < 0.05$ .

**Resultados:** Los resultados confirman la utilidad del modelo de la ligadura para inducir resorción ósea alveolar. Sin embargo, quedó demostrado que el recambio semanal de ligaduras (P/RL) exacerbó significativamente la POA en comparación con P+L, donde las ligaduras no fueron removidas. Esto fue corroborado por los tres métodos estudiados: calibre digital CD: P/L 11.052.15 > P+L 7.771.03 > C 4.830.66; fotografías digitales FD: P/L 4.70.93 > P+L 3.630.49 > C 2.170.34; radiovisiografías RVS: P/L 35.67 > P+L 44.811.18 > C 532.1, ( $p < 0.001$ ).

**Conclusión/es:** Si bien el método de la ligadura es el más utilizado para inducir PE, estos resultados sugieren que la manipulación frecuente de los tejidos periodontales puede exacerbar la inflamación y la resorción ósea. Esta modificación del modelo tradicional con un recambio frecuente de la ligadura podría ser de mayor utilidad para el estudio de factores asociados a la P, donde se requiera generar una mayor agresividad. No obstante, se necesitan más estudios para ampliar esta conclusión.



127

ID 1934

**RENDIMIENTO ACADÉMICO DE ESTUDIANTES DE GRADO EN EXÁMENES FINALES DE LA CÁTEDRA DE FISIOLÓGIA FO-UNC: AÑOS 2021-2023**

Fernando Martín Wietz, Evelin Bachmeier, María Elena Migueles Goitea, Cintia P. Leonardi, Nancy F. Bonetto, Marcelo Adrián Mazzeo. Cátedra de Fisiología, Facultad de Odontología, Universidad Nacional de Córdoba.

**Introducción:** Es habitual el requerimiento de turnos especiales para instancias de exámenes finales en las Cátedras de FO-UNC por parte del claustro estudiantil, sin haberse efectuado una valoración a distancia sobre su utilidad académica respecto de los turnos planificados.

**Objetivo/s:** Comparar el rendimiento académico de los estudiantes de grado de la Cátedra de Fisiología FO-UNC en las instancias de exámenes finales planificados (habituales) para cada año académico con turnos exámenes incorporados en épocas diferentes a las planificadas (especiales).

**Materiales y Métodos:** Se recabo información de actas de exámenes finales de la Cátedra de Fisiología. Estas fueron agrupadas de siguiente modo: a) turnos habituales (febrero-marzo, julio-agosto y noviembre diciembre) 18 turnos en total y b) turnos especiales (mayo o septiembre) 6 turnos en total, correspondiente a los años 2021, 2022 y 2023. Las variables analizadas fueron: cantidad de alumnos inscriptos, ausentes, aprobados y reprobados. Los datos se expresaron en frecuencias relativas en porcentaje. La asociación de las diferentes categorías de alumnos y los tipos de turnos en cada año se realizó mediante prueba Chi-cuadrado, fijando un p-valor <0.05 para significación estadística. Se utilizó el programa Infostat versión profesional año 2022.

**Resultados:** El total de inscriptos fue de 1319 en los turnos habituales y de 309 alumnos en los turnos especiales. Los porcentajes de las variables: alumnos ausentes, reprobados y aprobados fueron: 45,31 (p-valor= 0,5876), 55,03 (p valor=0,3173) y 44,97 (p-valor= 0,3169) respectivamente. No se observaron asociaciones significativas entre la condición del alumno y el tipo de turno de examen.

**Conclusión/es:** El rendimiento académico de los alumnos en los turnos especiales fue similar a los programados. La demanda de estas instancias por parte del claustro estudiantil no mejoró las expectativas sobre el rendimiento académico esperado. Sería conveniente analizar otras alternativas superadoras para los exámenes finales con el objetivo de dar contención a los requerimientos de los alumnos de grado.

128

ID 1958

**EVALUACIÓN DE UNA INTERVENCIÓN EDUCATIVA EN LA PERCEPCIÓN Y CONOCIMIENTO ÉTICO-LEGAL EN EL EJERCICIO PROFESIONAL DE LA ODONTOLOGÍA EN PARANÁ, ARGENTINA**Paola Luciani Reynoso<sup>1</sup>, Aldo Calzolari<sup>2</sup>.<sup>1</sup>. Universidad Adventista del Plata ( UAP), Facultad de Odontología. <sup>2</sup>. Instituto de educación científica.

**Introducción:** Los aspectos éticos y legales son importantes en la relación odontólogo-paciente. A pesar de la Ley 26.529 del paciente (2009) y el aumento del número de demandas por mala praxis, hay un fuerte desconocimiento del consentimiento informado y la historia clínica por parte del odontólogo/a que puede hacerlo incurrir en responsabilidad moral, civil, penal o disciplinaria.

**Objetivo/s:** El objetivo general fue evaluar la mejora en los conocimientos ético-legales de los profesionales de la odontología mediante intervención educativa simposio presencial y virtual en Entre Ríos, Argentina.

**Materiales y Métodos:** Se realizó una investigación cuasi experimental de antes y después de una intervención educativa con metodología cuantitativa y entrevistas a informantes clave con metodología cualitativa. Los datos cuantitativos se analizaron por Test de Mcnemar.

**Resultados:** Se organizó el Primer Simposio de Bioética en Odontología de Entre Ríos con 165 participantes: 131 presenciales y 34 en forma virtual. Los profesionales participantes fueron encuestados antes y a los tres meses del Simposio sobre cuestiones de ética legal. Hubo aumentos significativos (P<0,05) en mejoramiento de sus conocimientos respecto del consentimiento informado, historia clínica, normativa vigente en Argentina y sobre la necesidad de contar con un seguro de mala praxis. Entrevistas realizadas al presidente del Colegio de Entre Ríos, profesionales del derecho y la odontología y el director de Odontología de la Universidad Adventista del Plata expresaron además la necesidad de una actualización y profundización permanente de estos temas, así como contar con un seguro comunitario.

**Conclusión/es:** Se generan demandas de mala praxis ante las cuales los profesionales no están adecuadamente capacitados ni protegidos; las intervenciones educativas simposio presencial y virtual constituyen un medio eficaz para la toma de conciencia de esta temática; ellas han permitido la formación de odontólogos respecto de la legislación vigente, de diversos aspectos del consentimiento informado y de la obligatoriedad de la historia clínica; también concientizaron a los profesionales respecto de la necesidad de estar protegidos por un seguro de responsabilidad civil.

129

ID 1981

## ENFOQUES DE APRENDIZAJE EN ESTUDIANTES DEL ÚLTIMO AÑO DE LA FACULTAD DE ODONTOLOGÍA DE LA UNIVERSIDAD DE BUENOS AIRES

Nancy Beatriz Mendel<sup>1</sup>, Agustín Freiberg Hoffmann<sup>2</sup>, Julia Fuks<sup>1</sup>, Marcelo Gabriel Fernandez<sup>1</sup>.

1. Cátedra de Odontología Integral Niños FOUBA. 2. Universidad de Buenos Aires - Consejo Nacional de Investigaciones Científicas y Técnicas.

**Objetivo/s:** Describir los enfoques de aprendizaje y analizar diferencias significativas en los enfoques de aprendizaje según cohorte 2019 y 2023. Examinar los enfoques según variables sociodemográficas -sexo y edad- y relacionar los enfoques de aprendizaje y la edad con el retraso académico.

**Materiales y Métodos:** Estudio descriptivo, prospectivo y observacional. Muestra de 295 estudiantes (17.6% varones-82.4% mujeres) de sexto año de Odontología (43.4% cursaron en 2019 y 56.6% en 2024), entre 19 y 57 años (M= 27.33; DE= 3.96). Se aplicó la versión localmente adaptada del Cuestionario Revisado de Procesos de Estudio, Dos Factores (Freiberg-Hoffmann,2016) para enfoques de aprendizaje profundo y superficial, y encuesta sociodemográfica y académica, previa firma de consentimiento. Para diferencias entre grupos de aplicó la prueba t de Student. La relación entre enfoques, retraso académico y edad se empleó el coeficiente de correlación r de Pearson.

**Resultados:** No hubo diferencias significativas de los enfoques entre estudiantes de 2019 y 2023. Se observó diferencias significativas en el enfoque superficial a favor de los varones, en 2019 ( $t(124)= 2.04, p= .043$ ;  $M_{mujeres}= 22.08, DE= 5.79$ ;  $M_{varones}= 24.76, DE=6.61$ ), y 2023 ( $t(162)=2.73, p=.007$ ;  $M_{mujeres}= 21.38, DE=4.72$ ;  $M_{varones}=24.28, DE=5.66$ ). Hubo correlación estadísticamente significativa ( $p< .05$ ) y positiva con el enfoque profundo en 2019 ( $r=.184$ ), y 2023 ( $r=.181$ ). No hubo diferencia significativa en 2019 entre enfoques y retraso académico, mientras que en 2023 hubo asociación significativa entre retraso académico y enfoque Profundo ( $r=-.172, p<.05$ ).

**Conclusión/es:** Se observan diferencias estadísticamente significativas en enfoque superficial a favor de los varones y correlación significativa y positiva de la edad con el enfoque profundo en ambas cohortes. Con respecto al retraso académico, hubo asociación significativa con el enfoque profundo en 2023., sin evidenciar diferencias significativas de asimetrías en ambos grupos.

130

ID 1990

## ESTILOS DE APRENDIZAJE DE ESTUDIANTES DE PRIMER AÑO DE LA FOUNLP

Leandro Juan Tomas, Paula Mariela Tomas, Lilián Mónica Pollicina, María José Azzarri, Valeria Raquel Vijandi Guillermo Felipe Pablo, Sebastián Jordan, Diana Laura Picotti, María Pia Moure, Patricio Alfredo Escobar Milesi.  
Catedra de Biofísica, FOUNLP.

**Introducción:** Los estilos de aprendizaje sustentan el hecho de que cada estudiante aprende de una manera diferente, la comprensión del propio estilo por parte del mismo es uno de los factores claves para desarrollar la capacidad de aprender a aprender, siendo una responsabilidad de los docentes ayudar a los estudiantes a descubrir su estilo y aprender a adaptarlo a las experiencias de cada situación. Reconocer los estilos de aprendizaje de los estudiantes puede permitir a los Hospitales Escuela, realizar ajustes a los estilos de enseñanza impartidos y a las metodologías didácticas.

**Objetivo/s:** Caracterizar los estilos de aprendizaje de estudiantes de primer año de la FOUNLP, a través del Cuestionario Honey-Alonso.

**Materiales y Métodos:** Se realizó un estudio observacional, analítico transversal, con muestreo no probabilístico de casos consecutivos en alumnos de primer año de la FOUNLP y del año 2023, donde se aplicó el cuestionario a 181 estudiantes. El análisis de datos abarcó la distribución promedio del puntaje que establece el perfil de aprendizaje para la muestra total y la distribución en porcentaje de las preferencias según los estilos, de acuerdo al baremo general de interpretación de Alonso y colaboradores.

**Resultados:** Los estilos con mayores puntajes promedio fueron el reflexivo (media= 15,86 ± 2,599) y el teórico (media= 14,52 ± 2,740). Le siguieron el pragmático (media= 13,15 ± 2,678) y, por último, el activo (media=9,51 ± 3,260). El estudio analítico de las variables informó que existió una relación significativa entre los estilos reflexivo y pragmático con el sexo ( $p < 0,001$ ). No se encontró asociación entre otro tipo de variables y los estilos de aprendizaje preferentes.

**Conclusión/es:** Se evidenció que los estudiantes de primer año participantes de este estudio son mayormente "reflexivos" (60,8 %). Los "teóricos" (23,2 %) también fueron prominentes. Mientras que con menor frecuencia se encontraron los "pragmáticos" (9,4 %) y los "activos" (6,6 %). Conocer los estilos de aprendizaje es crucial debido a la influencia que pueden tener los mismos en la educación odontológica y, principalmente, en la elección futura de la especialidad y la satisfacción y eficiencia de sus estudiantes y graduados.

131

ID 2041

**CONSIDERACIONES BIOÉTICAS Y JURÍDICAS DE LOS DERECHOS DE PERSONAS CON DISCAPACIDAD**

Silvina Di Bastiano, Martín Zemel, Verónica Vanonio, Juliana Capurro, Marta Pérez, Laura Cocco, German Di Girolamo Pinto, Yanina Goyeneche, Anabella Elvira, Martín Alfaro, Constanza Canale, Sabrina Degaetano.  
Instituto de Investigaciones en Educación Superior, UNLP.

**RESUMEN NO PRESENTADO**

132

ID 2067

**REFLEXIONES Y APRENDIZAJES SOBRE LA SALUD COLECTIVA EN LA FORMACIÓN DE GRADO DE ODONTOLOGÍA: UNA INVESTIGACIÓN CUALITATIVA BASADA EN UNA PROPUESTA PEDAGÓGICA INNOVADORA**

Natalia Agüero, Agustín Ponce, Pablo Gigena, Marcela Bella.  
Facultad de Odontología, Universidad Nacional de Córdoba.

**Introducción:** La salud colectiva permite abordar el proceso salud-enfermedad-atención-cuidado como un proceso social, complejo y dinámico, que requiere de una perspectiva interdisciplinaria e integral, que supere el modelo biologista, lineal, fragmentado y prescriptivo que predomina en las ciencias de la salud. ¿Cómo diseñar e implementar una propuesta pedagógica basada en la salud colectiva para la formación de grado de estudiantes de odontología?

**Objetivo/s:** Diseñar e implementar una propuesta pedagógica basada en la salud colectiva para la formación de grado de estudiantes de la Facultad de Odontología, de la Universidad Nacional de Córdoba y evaluar sus efectos en el desarrollo de las competencias necesarias para profesionales de la salud.

**Materiales y Métodos:** A través de investigación cualitativa, con un enfoque interpretativo y crítico, se diseñó e implementó una propuesta pedagógica basada en la salud colectiva.

**Resultados:** Percepciones y actitudes los y las estudiantes reconstruyen el concepto de salud colectiva y lo valoran como necesario e importante en su proceso de formación y su práctica profesional. Aprendizajes y competencias a partir de la propuesta pedagógica que incluyó a todas las voces de sus protagonistas. Desafíos y oportunidades: los y las estudiantes expresan el recorrido por los encuentros con los siguientes mensajes extraídos de los foros integradores finales

**Conclusión/es:** A partir de la materia optativa Salud Colectiva, planteamos nuevos desafíos: conectar a los y las estudiantes con espacios de acción: proyectos de extensión y de investigación-acción; internacionalizar la propuesta optativa de salud colectiva al enmarcarla en la resolución de la Prosecretaría de Relaciones Internacionales de la UNC para integrar la oferta de Aprendizaje Internacional Colaborativo en Línea que conecta a estudiantes y profesores de diferentes culturas para aprender, discutir y colaborar entre sí.



133

ID 2055

### ESTIMACIÓN DE LA EDAD UTILIZANDO EL MÉTODO DE DEMIRJIAN EN NIÑOS Y NIÑAS DE CAPITAL FEDERAL Y PROVINCIA DE BUENOS AIRES

Alan Diego Briem Stamm<sup>1,2</sup>, Jorge Antonio Rusconi<sup>2</sup>, Carlos Raimundo Zemborain<sup>1,2</sup>.

1. Cátedra de Odontología Legal, Forense e Historia de la Odontología, FOUBA. 2. División Odontología, Servicios de Diagnóstico por imágenes y de Ortodoncia, del Centro Asistencial Buenos Aires, de Gendarmería Nacional Argentina.

**Introducción:** La estimación de la edad representa una técnica pericial destinada a auxiliar a la justicia para contribuir al establecimiento del perfil biológico de un sujeto en procesos de identificación humana.

**Objetivo/s:** Comparar la edad cronológica y la edad dental empleando el Método de Demirjian (MD) en radiografías panorámicas (OPG) sobre una población argentina de 6 a 14 años.

**Materiales y Métodos:** Diseño descriptivo, retrospectivo y analítico, donde la muestra consistió en 620 radiografías panorámicas (321 del sexo femenino y 299 del sexo masculino). Se analizaron las fechas del estudio radiográfico realizado en la División Odontología, Servicios de Diagnóstico por imágenes y de Ortodoncia, del Centro Asistencial Buenos Aires, de Gendarmería Nacional Argentina, comprendido entre 2021 y 2024, seleccionando aquellos pacientes de 6 a 14 años. Se excluyeron las imágenes que mostraran significativa distorsión, entorpeciendo la visualización de los dientes en la zona a examinar, aquellas que presentaran patologías como quistes o tumores, radiografías de pacientes en tratamiento de ortodoncia y las que mostraran ausencia de dientes por agenesia o exodoncia. Las radiografías fueron archivadas en formato JPEG (2440 x 1292 píxeles). Previo a la evaluación de la muestra final, se seleccionaron al azar 61 radiografías panorámicas a los efectos de calcular la variabilidad intraevaluador, las que fueron analizadas por un solo observador (IC) dos veces con espacio de 3 semanas entre la primera y la segunda evaluación, obteniéndose índice kappa de 0,8. Se realizó el cálculo de la edad dental conforme el método de Demirjian. Se efectuó un análisis comparativo con la edad cronológica registrada en la base de datos de las imágenes, utilizando la prueba de Wilcoxon. Se confeccionó una hoja de trabajo en Microsoft Office Excel 2007 para ingreso de los pacientes, asignándosele a cada caso un número y realizar cálculos de puntajes y edad dental. Los datos recopilados fueron remodelados en el programa SPSS Versión 21 para ejecutar el análisis estadístico. Para observar la normalidad de la distribución de datos, se aplicó la prueba de Kolmogorov-Smirnov que produjo un resultado significativo ( $p < 0,05$ ). Se evaluó la importancia de la diferencia entre EC y ED.

**Resultados:** La edad cronológica (EC) en promedio es de 9,36 años con un desviación estándar (DS) de 2,11 y según el método de Demirjian es 10,45 años con una DS de 2,31. Para el sexo femenino se obtuvo una EC de 9,25 y una DS de 2,12 y según MD es de 10,40 años con una DS de 2,41. Para el sexo masculino se obtuvo una EC de 9,46 y una DS de 2,10 y según MD es de 10,50 años con una DS de 2,22. El coeficiente de correlación inter-clase (CCI) entre edad dental y cronológica fue de 1,09%. El CCI fue de 1,04 % para el sexo masculino y 1,15 % para el femenino. Se hallaron diferencia significativas entre ED y EC ( $p < 0,01$ ) para ambos sexos.

**Conclusión/es:** Dentro del marco de este estudio el método Demirjian arrojó valores de edad mayores a las cronológicas tanto en RX de niños como de niñas.

134

ID 2104

### DIFERENCIAS ENTRE EL COLOR DENTARIO REAL DETERMINADO CON UN ESPECTROFOTÓMETRO Y AUTOPERCIBIDO POR PACIENTES EN FOUBA

Dolores Vallvé, María Milagros Trigo Humaran, Natalia Giménez, Julia Nagami, Sebastián Tortoni, Carlos Aníbal González Zannotto, María Emilia Iglesias.  
Cátedra de Odontología Restauradora, FOUBA.

**Objetivo/s:** Valorar las diferencias entre el color dentario real determinado con un espectrofotómetro y el percibido por pacientes en FOUBA.

**Materiales y Métodos:** Se seleccionaron 24 historias clínicas (HC) de pacientes que concurren, con la finalidad de recibir un tratamiento de blanqueamiento, al curso optativo teórico/clínico para estudiantes de grado "Blanqueamiento dentario en todos sus tipos" de la cátedra de odontología restauradora (OR). De cada HC se registró el color dentario autopercebido por cada paciente (PX): que como parte de la anamnesis, se había solicitado que seleccionaran de una guía VITA CLASSICAL ta tableta (TAB) que identificaran como "más parecida" a sus piezas dentarias, y los registros de color preoperatorios correspondientes al tercio medio de cada uno de los dos incisivos centrales superiores tomados con Easy Shade V (VITA Zahnfabrik) (ES). Los datos se analizaron con Kappa de Cohen y luego se cuantificó la distancia entre ambas posiciones (PX-ES) para cada pieza de cada paciente en la Guía VITA CLASSICAL reordenada de mayor a menor valor según el fabricante y se obtuvo media (ds) y tasas (IC95%).

**Resultados:** Los pacientes tenían una media (ds) de edad de 32,54 (10,12) con un rango de 43 años, un 70,83% de género femenino. Los valores de confiabilidad de Kappa de Cohen (PX-ES) para cada pieza fueron de inexistente a ligera: 0,01 en 1.1, y 0,1 en 2.1. Con respecto a 1.1 y 2.1 la mayor parte de los pacientes 70,83% (50,82-85,08) y 62,50% (42,70-78,84) percibía sus piezas dentarias de un color más oscuro que el determinado con ES, un 8,33% (2,31-25,85) y 16,67% (6,68-35,86) del mismo color, respectivamente. Mientras que el 20,83% (9,24-40,46) en ambos casos los percibían más claros. Las posiciones promedio (ds) de los que seleccionaron una TAB diferente para 1.1 y 2.1 fueron 5,53 (3,10) y 5,23 (2,77) hacia menor valor y 2,40 (2,61) y 3,80 (3,83) hacia mayor valor respectivamente en ambos casos.

**Conclusión/es:** Dentro del marco de este estudio es posible afirmar que la mayor parte de los pacientes autoperciben el color de sus piezas dentarias con menor valor del que tienen.



135

ID 2105

**EFFECTO DE TRATAMIENTOS DE BLANQUEAMIENTO IN-OFFICE Y AMBULATORIO EN EL COLOR DE INCISIVOS Y CANINOS IN-VIVO**

María Milagros TRIGO HUMARAN, Luisina MEOLI, Victoria ALMADA, Ivana KRAUSS, Anouk STYBLO, Carlos Aníbal González Zannotto, María Emilia Iglesias.  
Cátedra de Odontología Restauradora, FOUBA.

**Objetivo/s:** Evaluar con un espectrofotómetro las modificaciones en el color dentario luego de dos tipos de blanqueamiento.

**Materiales y Métodos:** Se seleccionaron historias clínicas (HHCC) de pacientes que concurren, al curso optativo teórico/clínico para estudiantes de grado "Blanqueamiento dentario en todos sus tipos" de la cátedra de odontología restauradora (OR) que contaran con datos completos de: género, edad, tipo de blanqueamiento aplicado, registros pre y post operatorios tomados con Easy Shade V (VITA Zahnfabrik) (ES) y presencia del sector anterior superior sin restauraciones. El efecto blanqueamiento se analizó en las seis piezas anteriores superiores (IC, IL y C) con  $\Delta E_{ab}$  de  $CieL^*a^*b^*$  para comparar las técnicas in-office y ambulatorias, el Whiteness Index for Dentistry (WID) y las variaciones de cada componente de  $CieL^*a^*b^*$  en forma independiente. Los datos se analizaron con la prueba de la U de Mann-Whitney, ANOVA de dos vías para medidas repetidas y prueba de Wilcoxon también para medidas repetidas para los diferentes casos.

**Resultados:** En total se recolectaron 11 HHCC que cumplían los criterios propuestos. Los pacientes tenían una media (ds) de 30,45 (4,63) años, El 54,55% de género femenino. No se encontraron diferencias estadísticamente significativas (DES) entre las diferencias de color obtenidas con las técnicas in-office  $\Delta E_{ab}=6,86$  (3,14) y ambulatorias  $\Delta E_{ab}=6,24$  (4,08);  $p=0,164a$ . Para el WID se observaron DES pre-post blanqueamiento ( $p<0,01$ ) y entre las piezas ( $p=0,04$ ) pero no para la interacción ( $p=0,961$ ) b. Para el factor  $L^*$  se encontró DES pre-post ( $p=0,003$ ), pero no para IC, IL y C ( $p=0,705$ ) ni para la interacción ( $p=,996$ )b. Tanto en los casos de  $a^*$  como  $b^*$  se observó DES en los valores preoperatorios entre caninos e incisivos centrales y que los valores de los C no cumplían con las condiciones de normalidad por lo que se decidió analizarlos en dos grupos (IC-IL / C). En ambos parámetros se registró DES pre-post ( $p<0,01$ ) y no significativa entre IC e IL ( $p>0,05$ )b. La variación de  $a^*$  ( $p=0,01$ ) y  $b^*$  ( $p=0,031$ ) fue estadísticamente significativa entre los registros pre y post blanqueamiento en los caninos.

**Conclusión/es:** En el marco del presente estudio se observó que todos los indicadores de color analizados resultaron significativamente modificados tanto por los tratamientos de blanqueamiento.

136

ID 2106

**TRABAJO CLÍNICO DE ESTUDIANTES DE GRADO EN LA CÁTEDRA DE ODONTOLOGÍA RESTAURADORA DE LA FOUBA**

Sebastián Tortoni, María Milagros Trigo Humaran, Hernán Tartacovsky, María Agustina Boaventura Dubovik, Martín García Cuerva, María Emilia Iglesias.  
Cátedra de Odontología Restauradora, FOUBA.

**Objetivo/s:** Valorar la actividad clínica autorreportada de estudiantes de la FOUBA, en odontología restauradora (OR) a lo largo del año lectivo 2023.

**Materiales y Métodos:** Se confeccionó y validó en pequeños grupos un formulario en Google Forms (F) para recolectar y sistematizar la información que los estudiantes registran en la historia clínica (HC) de cada paciente durante el desarrollo de la actividad restauradora. Se indicó a los estudiantes de dos comisiones de la asignatura OR que, una vez finalizada cada sesión, completaran el F en sus celulares con la información correspondiente. A partir de las respuestas obtenidas se evaluaron las siguientes variables: piezas dentarias afectadas y su relación con los maxilares, tipo de lesión, número de capas de composite por restauración y la frecuencia de dientes endodónticamente tratados (DET) que se restauraron, Los datos se analizaron con tasas e intervalos de confianza, medias y ds y prueba de Kruskal-Wallis y Chi2.

**Resultados:** Se recolectó información acerca de 518 restauraciones (Rs) de las cuales el 62,55% (58,31-66,61) fue en el maxilar superior (MS) y el 37,45% (33,39-41,69) en el inferior (MI). De las Rs del sector anterior el 84,34% (78,63-88,75) fueron en el MS, en el caso de los premolares el 50% (41,83-58,17) se ubicó en cada maxilar, en forma similar a lo encontrado en molares: MS:48,33% (41,15-55,59) y MI: 51,67%/44,42-58,86). En cuanto a los tipos de lesiones (según Black): la más frecuente fue I: 35,52% (31,52-39,74); seguida por II: 21,81% (18,47-25,57) y III: 19,11% (15,96-22,72); luego IV: 14,48% (11,71-17,77) y V: 9,07% (6,89 -11,85). En cuanto a la cantidad de capas de composite utilizadas la media (DS) fue de 5,33 (2,9), el mínimo fue 0 asignado al sellador y el máximo de 18 con un IC 95% (5,07- 5,58). Se encontró diferencia estadísticamente significativa entre el # de capas y la clase de Black ( $p<0,01$ ). El 10,81% de las restauraciones reportadas fue realizada en un DET. También se encontró diferencia estadísticamente significativa entre los diferentes tipos de lesiones y la condición de DET ( $p>0,01$ ).

**Conclusión/es:** Las lesiones reportadas con mayor frecuencia fueron las clases I de Black. Entre las reportadas, las IV y II presentaron mayor tasa de DET.

137

ID 2122

## EL USO DEL COMPOSITE EN LA CLÍNICA DE GRADO DE LA CÁTEDRA DE ODONTOLOGÍA RESTAURADORA DE LA FACULTAD DE ODONTOLOGÍA DE LA UBA (FOUBA)

Hernán Tartacovsky, María Milagros Trigo Humaran, María Agustina Boaventura Dubovik, Martín García Cuerva, María Emilia Iglesias. Cátedra de Odontología Restauradora, FOUBA.

**Objetivo/s:** Valorar aspectos de la aplicación, manipulación y selección de los composites en la clínica de grado de la cátedra de Odontología Restauradora OR de la FOUBA.

**Materiales y Métodos:** Se confeccionó y validó en pequeños grupos un formulario en Google Forms (F) para recolectar y sistematizar la información que los estudiantes registran en la historia clínica (HC) de cada paciente durante el desarrollo de la actividad restauradora. En tres comisiones de la asignatura OR se indicó a los estudiantes que, una vez finalizada cada sesión, completaran el F en sus celulares con la información correspondiente. Se hizo un corte con las respuestas obtenidas desde 4/23 hasta 9/24. Se evaluaron: los colores y opacidades utilizados en restauraciones del sector anterior y cervicales, el uso de materiales de relleno, el tiempo dedicado a la activación del composite (capas x 20s), las capas utilizadas por sector y los comentarios libres relacionados con el tiempo empleado que mencionaron al composite o aspectos relacionados. Los datos se analizaron con pruebas de Kruskal-WallisA, Chi2 B y tasas % (IC95%)C

**Resultados:** Se obtuvo información de 669 restauracionesC: 30,79 (27,41-34,39) del sector anterior (SA) ; 61,29 (57,55-64,91) del sector posterior (SP) y 7,92 (6,11-10,21) cervicales (C). Se emplearon - media(ds) 4,69 (2,66) capas y 93,87 (29,78) segundos de activación. No se encontró diferencia estadísticamente significativa (DES) entre los sectores y el número de capas requeridas:  $p=0,131A$ . En cuanto a los coloresC, de las 206 restauraciones del SA en 192 se utilizó composite de esmalte en la mayoría: A2: 54,69 (47,63-61,57); y en 173, dentina: 47,98(40,66-55,38) A2 y 43,35 (36,18-50,80)A3. Se encontró DES en el uso de material de relleno/recubrimiento - sector  $p>0,01B$ . En cuanto a los comentarios el 41,41% (277) optó por agregar un comentario a la pregunta acerca del tiempo dedicado a la restauración, sólo el 6,14% hizo alguna mención a algún aspecto relacionado a los composites como por ejemplo "Tarde mucho tiempo en [...] y en modelar el composite" o "Me demoré mucho puliendo la restauración".

**Conclusión/es:** Los colores más utilizados fueron EA2, DA2 y DA3. Las acciones relacionadas con el uso de los composites no fueron percibidas por la mayoría como relacionada con el tiempo dedicado a la restauración.

138

ID 2134

## COTEJO DE RADIOGRAFÍAS PANORÁMICAS Y PERIAPICALES TOMADAS A LOS MISMOS PACIENTES CON INTERVALOS TEMPORALES DE AL MENOS 5 AÑOS DE DIFERENCIA ENTRE AMBOS REGISTROS CON PERSPECTIVA DE IDENTIFICACIÓN HUMANA

Alan Diego Briem Stamm<sup>1</sup>, Luis Reinaldo Rannelucci<sup>1</sup>, Pamela Borgo Cosentino<sup>2</sup>, César Rodolfo Telechea<sup>1</sup>, Carla Georgina Arias<sup>1</sup>, Clarisa Yanina Gómez<sup>2</sup>.  
1.Cátedra de Odontología Legal, Forense e Historia de la Odontología, FOUBA.2. Licenciatura en Criminalística, Instituto Universitario de la Policía Federal Argentina (IUPFA).3. Policía Federal Argentina, Sección Unidad Criminalística de Alta Complejidad.

**Objetivo/s:** Comparar radiografías panorámicas y periapicales obtenidas de los mismos sujetos con un intervalo temporal de al menos 5 años entre ambos estudios con fines de identificación forense.

**Materiales y Métodos:** Estudio observacional, cualitativo, de carácter descriptivo. Se seleccionaron por muestreo aleatorio simple de la base de datos de un centro odontológico privado de Provincia de Buenos Aires ejemplares radiográficos de 30 pacientes tomados entre los años 2010 y 2022. Se analizaron 30 radiografías panorámicas (PAN) y 119 radiografías periapicales (PER) en personas de ambos sexos, con edades comprendidas entre 20 y 60 años. Las radiografías fueron digitalizadas y archivadas en formato JPG (2440 x 1292 píxeles). Previo a la evaluación de la muestra final, se eligieron al azar 10 PAN y 30 PER a los efectos de calcular el coeficiente de correlación intraclase (CCI) mediante el análisis de dos observadores calibrados con espacio de 3 semanas entre la primera y la segunda evaluación, obteniéndose un índice kappa de 0,8. Se clasificaron las imágenes asignándoles un número de caso para cada paciente, catalogando en color verde las más antiguas, representando el material ante mortem (AM) o indubitado, en tanto que a las PAN y PER más recientes se las marcó con el color rojo, constituyendo los registros post mortem (PM) o dubitados. Los hallazgos se consignaron como concordancias fuertes (CF), concordancias (C), discrepancias relativas (DR) y discrepancias absolutas (DA), respetando los lineamientos para establecer identidad humana sugeridos por el Cuerpo Médico Forense de la Justicia Nacional Argentina. Los datos fueron registrados en una hoja de cálculo de Microsoft Excel ® y exportados al programa IBM ® SPSS versión 20.0. La descripción de variables categóricas incluyó frecuencias absolutas y porcentajes con intervalos de confianza al 95% (IC95) estimados mediante el método score de Wilson. Para evaluar asociación en análisis bivariados se utilizaron las pruebas Chi-cuadrado de Pearson o exacta de Fisher. En las radiografías PAN y PER, para encontrar predictores independientes del resultado de la lectura (positivo, posible, negativo), se realizó una regresión logística múltiple empleando el método gradual ( $p<0,05$ , entrada;  $p>0,1$ , remoción). Valores  $p<0,05$  fueron considerados estadísticamente significativos.

**Resultados:** De las 271 características radiográficas analizadas, 147 fueron CF (54%), 42 C (16%), 82 DR (30%) y 0 DA (0%). De los dictámenes forenses para las RX de los 30 sujetos (30 PAN y 119 PER), 15 otorgaron identidad positiva (50%) y 15 identidad posible (50%). No se registraron exclusiones ni evidencia insuficiente.

**Conclusión/es:** El cotejo entre radiografías panorámicas y periapicales podría aportar datos significativos en contextos de identificación odontológica.

139

ID 2030

**EVALUACIÓN DE VARIACIÓN DIMENSIONAL, POROSIDAD, DENSIDAD Y PESO DE RESTAURACIONES INDIRECTAS OBTENIDAS MEDIANTE TECNOLOGÍA ADITIVA**

Cintia Alejandra Martínez<sup>1</sup>, Leonardo Jorge Nart<sup>2</sup>, Diego Jorge Vazquez<sup>2</sup>, Pamela Boragina<sup>1</sup>, Antonella Carolina Rajoy<sup>1</sup>, Pablo Andrés Salgado<sup>3</sup>, Carlos Gastón Prieto<sup>1</sup>, Damián Luis De Moliner<sup>1</sup>, Jorge Esteban Aredes<sup>1</sup>.  
 1. Cátedra de Odontología Integral del Adulto Mayor y Clínica de Prótesis Removible, FOUBA.2. Cátedra de Diagnóstico por Imágenes. 3. Cátedras de Microbiología y Parasitología y de Odontología Preventiva y Comunitaria e Instituto de Investigaciones en Salud Pública, FOUBA.

**Introducción:** La precisión y las propiedades finales alcanzadas por las restauraciones fabricadas con tecnología aditiva pueden influir en la calidad final de las restauraciones.

**Objetivo/s:** Evaluar la variación dimensional, porosidad, peso y densidad de restauraciones indirectas impresas mediante el uso de microCT. CETICA-FOUBA 040/2023.

**Materiales y Métodos:** Se diseñaron 8 restauraciones digitales (RD) sobre preparaciones dentarias calibradas para endocrown y se imprimieron en resina Crowntec (Saremco) (RC) y Bio-Ceramic (Deflex) (RB) en 50µm. Las piezas se escanearon con microtomógrafo Scanner SkyScan 1272 (Bruker) con una resolución de 10µ, 80Kv, 125uA y filtro de 1 mm de aluminio, se reconstruyeron con NRecon, se exportaron en formato Dicom y BMP (8-bits) y se segmentaron volumétricamente con CtAN (Bruker). Se analizó volumen total (Vol), superficie (Sup) de RD, RC y RB (n=24), y el número (NP), volumen (VP) y porcentaje de poros cerrados (PP); el peso (P) y la densidad (D) de RC y RB (n=16). Los datos fueron analizados mediante ANOVA de medidas repetidas y T de Student (p<0,05).

**Resultados:** La media y DS de las variables registradas de cada grupo fue: Vol (mm<sup>3</sup>) de RD=353,55±44,17, RC=349,71±48,89 y RB=371,00±48,62; Sup (mm<sup>2</sup>) RD=331,37±26,47, RC=352,54±35,83 y RB=360,73±36,33; NP: RC=2,0 ±1,5 y RB=0,4±0,7; VP (mm<sup>3</sup>): RC= 2,44E-03±2,10E-03 y RB=2,58E-04±6,89E-04; PP: RC=7,50E-04±6,76E-04 y RB=7,99E-05±2,18E-04; P(mg):RC=0,49±0,06 y RB=0,55±0,06; D (mg/mm<sup>3</sup>): RC=1,41E-03±1,48E-04 y RB=1,49E-03±2,42E-05.

**Conclusión/es:** Se encontraron diferencias estadísticas en Vol (p=0,01) y Sup (p=0,002) para RB vs RC y RD, y en NP (p=0,014), VP (p=0,026), PP (0,029) y P (p=0,016) entre RC y RB. No se observan diferencias estadísticas en Vol ni Sup entre RC y RD, ni en D (p=0,166) entre RC y RB.

140

ID 2081

**RESPUESTA BIOLÓGICA DE UN NOVEL POLÍMERO BIODEGRADABLE (PLA/B-TCP-2,5%) DE ESTRUCTURA ENTRAMADA COMO POTENCIAL SUSTITUTO ÓSEO**

Camila Lourdes Frosasco<sup>1,2</sup>, Sandra Judith Renou<sup>1</sup>, Ezequiel Pérez<sup>2,3</sup>, Pablo Alejandro Fontanetti<sup>4</sup>, Mariela Gisele Domingo<sup>1</sup>, Daniel Gustavo Olmedo<sup>1,2</sup>.  
 1. Cátedra de Anatomía Patológica, FOUBA.2. CONICET. 3. Instituto de Investigación y Desarrollo en Ingeniería de Procesos y Química Aplicada (CONICET-UNC).4. Departamento de Biología Bucal, FOUNC.

**Introducción:** El ácido poliláctico (PLA) reforzado con β-fosfato tricálcico (β-TCP) es un potencial biomaterial biodegradable para la rehabilitación de defectos óseos en ingeniería tisular. En un trabajo experimental previo observamos que este polímero en formato de implante compacto, desarrollado por CONICET-INTI, presentó biodegradación solo a nivel superficial con escasa penetración del tejido óseo en su seno. Una estructura 3D entramada incrementaría el área de superficie total del biomaterial, favoreciendo su biodegradación y la penetración del tejido óseo.

**Objetivo/s:** Evaluar in vivo la respuesta biológica del PLA/β-TCP-2,5% de estructura entramada, utilizando un modelo experimental murino a 30 días post-implantación.

**Materiales y Métodos:** El biomaterial se empleó en forma de implantes laminares con estructura entramada obtenidos a partir de láminas compactas de PLA/β-TCP-2,5% perforadas con láser (ProLaser Pro 9060, Argentina). Los implantes fueron caracterizados fisicoquímicamente (MEB-EDS) e implantados en la médula ósea hematopoyética de la tibia de 10 ratas Wistar machos. Se practicó la eutanasia a los 30 días post-implantación y se realizaron estudios histológicos, inmunohistoquímicos (anti-CD68, para detección de células gigantes multinucleadas - CGMNs) e histomorfométricos (% de oseointegración).

**Resultados:** La observación por MEB del biomaterial evidenció oquedades (185µm) y paredes (300µm) y partículas de β-TCP inmersas en la matriz del PLA, cuyo análisis microquímico (EDS) reveló espectros correspondientes a carbono y oxígeno (matriz) y de calcio y fósforo (partículas). Histológicamente se evidenció la neoformación de tejido óseo de tipo laminar cubriendo tanto las superficies externas como las oquedades del biomaterial y numerosas CGMNs (positivas para CD68) recubriendo la interfaz biomaterial-tejido óseo y en el lecho periimplantario, asociadas a restos del biomaterial. El análisis histomorfométrico mostró un % de oseointegración de 38,56±10,39.

**Conclusión/es:** La estructura 3D entramada del polímero biodegradable PLA/β-TCP-2,5% favoreció la biodegradación del biomaterial y la penetración del tejido óseo a su seno. Se requieren de tiempos experimentales mayores para continuar evaluando, en función del tiempo, la biodegradación del biomaterial y el comportamiento de las CGMNs y del tejido óseo.





141

ID 2112

**DISTRIBUCIÓN Y PREVALENCIA DE PIEZAS DENTARIAS EN PACIENTES ADULTOS MAYORES EN AMBA**Elsa Beatriz Vega Barrionuevo<sup>1</sup>, Mirta Carolina Aubia<sup>1</sup>, Cintia Alejandra Martínez<sup>1</sup>, Adrián Alfredo Ochoa<sup>1</sup>, Damián Luis De Moliner<sup>1</sup>, Gabriela Andrea Demaria<sup>1</sup>, Raquel Alejandra Via<sup>1</sup>, Cecilia Vanesa Compagnucci<sup>1</sup>, Gabriela Karen Heredia<sup>1</sup>, Roxana Ramos Olazabal<sup>1</sup>, Leonardo Jorge Nart<sup>2</sup>, María Milagros Trigo Humaran<sup>3,4</sup>, Pablo Andrés Salgado<sup>3</sup>, Diego Jorge Vázquez<sup>3</sup>, Jorge Esteban Aredes<sup>3</sup>

1. Cátedra de Odontología Integral del Adulto Mayor y Clínica de Prótesis Removible, FOUBA. 2. Cátedra de Diagnóstico por Imágenes, FOUBA. 3. Cátedras de Microbiología y Parasitología y Odontología Preventiva y Comunitaria, FOUBA, Instituto de Investigaciones en Salud Pública, UBA. 4. Cátedra de Odontología Restauradora, FOUBA.

**Introducción:** La pérdida de piezas dentarias una condición prevalente que compromete a una significativa proporción de la población adulta a nivel global.

**Objetivo/s:** Describir la distribución y prevalencia de maxilares totalmente dentado (TD), parcialmente desdentados (PD) y totalmente desdentados (DT) en pacientes mayores de 60 años, mujeres (63%) que concurren al servicio del Hospital Odontológico Universitario de la Facultad de Odontología de la Universidad de Buenos Aires.

**Materiales y Métodos:** Diseño de investigación, transversal descriptivo/analítico observacional. Diez operadores calibrados ( $Kappa > 0,75$ ) analizaron 5244 maxilares a partir de radiografías panorámicas digitales de pacientes mayores de 60 años con una distribución por edad de 33,2% de 60 a 64 años, 66,8% años. A partir de los datos obtenidos, se calcularon frecuencias, porcentajes e intervalos de confianza al 95%.

**Resultados:** La distribución observada para Maxilar Superior (MS) fue, para la población de hasta 64 años: TDs 17,4%, PDs 73,9%, DTs 8,6% y TDi 15,6% PDi 80,3%, DTi 4%, y para la población de  $\geq 65$  años TDs 12,9%, PDs 70,7% DTs 16,4% y TDi 9,1%, PDi 80,8% y DTi 10,1%. El 9,8% fue DT bimaxilar. Se observaron diferencias estadísticamente significativas para TD en MS y MI ( $p < 0,001$ ) DT e MS y MI entre los grupos de edades ( $p < 0,001$ ).

**Conclusión/es:** En la población de adultos mayores observada el edentulismo parcial es la condición más prevalente tanto en maxilar superior y en maxilar inferior y es baja la pérdida total de las piezas dentarias observada. En los maxilares superiores se observa mayor edentulismo que en los inferiores (14.5% vs 9.7 %) La pérdida de dientes en los maxilares es mayor en el grupo de 65 años o más, siendo un 15,1 % totalmente dentado en el grupo de 60 a 65 años y caen a un 9,2% en el grupo de mayores de 65 años.

142

ID 2113

**PREVALENCIA Y CLASIFICACIÓN DE ÁREAS DESDENTADAS EN PACIENTES ADULTOS MAYORES EN AMBA**Mirta Carolina Aubia<sup>1</sup>, Cintia Alejandra Martínez<sup>1</sup>, Adrián Alfredo Ochoa<sup>1</sup>, Damián Luis De Moliner<sup>1</sup>, Elsa Beatriz Vega Barrionuevo<sup>1</sup>, Gabriela Andrea Demaria<sup>1</sup>, Raquel Alejandra Via<sup>1</sup>, Cecilia Vanesa Compagnucci<sup>1</sup>, Gabriela Karen Heredia<sup>1</sup>, Roxana Ramos Olazabal<sup>1</sup>, Leonardo Jorge Nart<sup>2</sup>, María Milagros Trigo Humaran<sup>3,4</sup>, Pablo Andrés Salgado<sup>3</sup>, Diego Jorge Vázquez<sup>3</sup>, Jorge Esteban Aredes<sup>3</sup>

1. Cátedra de Odontología Integral del Adulto Mayor y Clínica de Prótesis Removible, FOUBA. 2. Cátedra de Diagnóstico por Imágenes, FOUBA. 3. Cátedras de Microbiología y Parasitología y Odontología Preventiva y Comunitaria, FOUBA, Instituto de Investigaciones en Salud Pública, UBA. 4. Cátedra de Odontología Restauradora, FOUBA.

**Introducción:** La incidencia de diversas clases de arcos parcialmente desdentados constituye un indicador de la demanda de atención de los pacientes y la posibilidad de acceso a tratamientos prostodóncicos alternativos.

**Objetivo/s:** Describir la distribución y prevalencia de las áreas desdentadas en pacientes mayores de 60 años que concurren al servicio del Hospital Odontológico Universitario de la Facultad de Odontología de la Universidad de Buenos Aires.

**Materiales y Métodos:** Diseño de investigación transversal descriptivo observacional. Diez operadores calibrados ( $Kappa > 0,75$ ) analizaron 5244 maxilares superiores e inferiores a partir de radiografías panorámicas digitales de pacientes mayores de 60 años, mujeres (63%). La variable se registró a partir de la clasificación de Kennedy (K), siguiendo las reglas de Applegate que divide al edéntulo en 6 divisiones, de las cuales 3 de ellas poseen 4 modificaciones, determinando así 20 categorías. A partir de los datos obtenidos, se calcularon frecuencias, porcentajes e intervalos de confianza al 95%. Test de Chi cuadrado ( $p < 0,05$ ).

**Resultados:** En la muestra observada se identificó un 75,69% ( $n=3969$ ) de maxilares desdentados parciales. Los resultados obtenidos en la distribución de K para cada maxilar fueron: Ks: Clase 1: 27,06%, Clase 2: 34,79%, Clase 3: 30,47%, Clase 4: 2,66%, Clase 5: 3,94% y Clase 6: 1,07%; Ki: Clase 1: 41,1%, Clase 2: 32,0%, Clase 3: 24,6%, Clase 4: 0,5%, Clase 5: 0,8% y Clase 6: 0,9%. No se observaron diferencias estadísticas significativas en la variable K cuando se la compara por sexo y edad.

**Conclusión/es:** La pérdida parcial de dientes es la condición más prevalente en la población observada, con predominio de pérdida de pilar posterior (Clase 1 y 2 = 61,9% en maxilar superior y 73,1% en maxilar inferior) sin diferencias estadísticamente significativas por sexo y grupo de edades.



143

### ID 2114 PREVALENCIA Y DISTRIBUCIÓN DE IMPLANTES DENTALES EN PACIENTES ADULTOS MAYORES EN AMBA

Adrián Alfredo Ochoa<sup>1</sup>, Mirta Carolina Aubia<sup>1</sup>, Cintia Alejandra Martínez<sup>1</sup>, Damián Luis De Moliner<sup>1</sup>, Elsa Beatriz Vega Barrionuevo<sup>1</sup>, Gabriela Andrea Demaria<sup>1</sup>, Raquel Alejandra Via<sup>1</sup>, Cecilia Vanesa Compagnucci<sup>1</sup>, Gabriela Karen Heredia<sup>1</sup>, Roxana Ramos Olazabal<sup>1</sup>, Leonardo Jorge Nart<sup>2</sup>, María Milagros Trigo Humaran<sup>2,4</sup>, Pablo Andrés Salgado<sup>3</sup>, Diego Jorge Vázquez<sup>2</sup>, Jorge Esteban Aredes<sup>1</sup>.

1. Cátedra de Odontología Integral del Adulto Mayor y Clínica de Prótesis Removible, FOUBA. 2. Cátedra de Diagnóstico por Imágenes, FOUBA. 3. Cátedras de Microbiología y Parasitología y Odontología Preventiva y Comunitaria, FOUBA, Instituto de Investigaciones en Salud Pública, UBA. 4. Cátedra de Odontología Restauradora, FOUBA.

**Introducción:** La implantología es un recurso en la rehabilitación del paciente total y parcialmente desdentado

**Objetivo/s:** Describir la prevalencia y distribución de implantes (I) en pacientes mayores de 60 años que concurren al servicio del Hospital Odontológico Universitario de la Facultad de Odontología de la Universidad de Buenos Aires.

**Materiales y Métodos:** Diseño cuantitativo, transversal descriptivo/analítico observacional. Diez operadores calibrados ( $Kappa > 0,75$ ) analizaron 5314 maxilares de 2657 pacientes a partir de radiografías panorámicas digitales, pacientes  $>$  de 60 años, 1674 mujeres (63,0%) y 948 hombres (35,9%). Las variables registradas para cada maxilar fueron implantes rehabilitados (IR) y no rehabilitados (INR). A partir de los datos obtenidos, se calcularon medidas de tendencia central (media y mediana), medidas de dispersión (desvío estándar y desvío intercuartil) y medidas de posición (percentil 5, 25, 75 y 95). Test Student, Test Mann Whitney, Test Wilcoxon (significancia  $p < 0,05$ ).

**Resultados:** Se observó para I por maxilar fue:  $Is \geq 1 = 22,4\%$  ( $n=595$ ) e  $li \geq 1 = 18,4\%$  ( $n=489$ ). La Mediana de las variables analizadas fue  $Is=3$  (P25:1, P75:4),  $li=3$  (P25:1, P75:4),  $IRs=3$  (P25:1, P75:4),  $IRi=3$  (P25: 1, P75:3),  $INRs=2$  (P25:1, P75:3) e  $INRi=2$  (P25:1, P75:2). Al analizar genero se observó en F:  $Is=23,5\%$  ( $n=393$ ),  $li=17,9\%$  ( $n=300$ ),  $IRs=20,3\%$  ( $n=339$ ),  $INRs=6,6\%$  ( $n=111$ ) y en M:  $Is=26,3\%$  ( $n=249$ ),  $li=20,5\%$  ( $n=249$ ),  $IRs=16,8\%$  ( $n=159$ ),  $INRs= 7,5\%$  ( $n=71$ ),  $IRi=14,6\%$  ( $n=138$ ),  $INRi= 7,6\%$  ( $n=72$ ). Se encontraron diferencias estadísticas entre  $Is$  e  $li$  y  $IRs$  e  $IRi$  ( $p < 0,001$ ), sin diferencias significativas entre  $INRs$  e  $INRi$  ( $p=0,466$ ). Los I están presentes en 29,8% de los adultos mayores, mujeres 30,2% y varones 28,9% ( $p < 0,001$ ). Al total de la población IMS 22,4% y 18,4% en MI ( $p < 0,001$ ).

**Conclusión/es:** Se observó una mayor frecuencia de Implantes en maxilar superior y en mujeres. En cuanto a la rehabilitación de I, los IR presentaron mayor frecuencia en maxilar superior, sin diferencias en INR entre maxilares.

144

### ID 2121 CONDICIÓN DENTARIA EN PACIENTES ADULTOS MAYORES EN AMBA

Damián Luis De Moliner<sup>1</sup>, Cintia Alejandra Martínez<sup>1</sup>, Mirta Carolina Aubia<sup>1</sup>, Adrián Alfredo Ochoa<sup>1</sup>, Elsa Beatriz Vega Barrionuevo<sup>1</sup>, Gabriela Andrea Demaria<sup>1</sup>, Raquel Alejandra Via<sup>1</sup>, Cecilia Vanesa Compagnucci<sup>1</sup>, Gabriela Karen Heredia<sup>1</sup>, Roxana Ramos Olazabal<sup>1</sup>, Pablo Andrés Salgado<sup>3</sup>, Leonardo Jorge Nart<sup>2</sup>, María Milagros Trigo Humaran<sup>2,4</sup>, Diego Jorge Vázquez<sup>2</sup>, Jorge Esteban Aredes<sup>1</sup>.

1. Cátedra de Odontología Integral del Adulto Mayor y Clínica de Prótesis Removible, FOUBA. 2. Cátedra de Diagnóstico por Imágenes, FOUBA. 3. Cátedras de Microbiología y Parasitología y Odontología Preventiva y Comunitaria, FOUBA, Instituto de Investigaciones en Salud Pública, UBA. 4. Cátedra de Odontología Restauradora, FOUBA.

**Introducción:** La pérdida dentaria es una condición frecuente que afecta a una gran proporción de la población adulta a nivel mundial.

**Objetivo/s:** Describir la condición dentaria en términos de coronas clínicas presentes, piezas presentes, piezas extraídas y restos radiculares y piezas retenidas en pacientes mayores de 60 años que concurren al servicio del Hospital Odontológico Universitario de la Facultad de Odontología de la Universidad de Buenos Aires (FOUBA).

**Materiales y Métodos:** Diseño de investigación cuantitativo, transversal descriptivo/analítico observacional. Diez operadores calibrados ( $Kappa > 0,75$ ) observaron radiografías panorámicas digitales ( $n=2657$ ) de pacientes mayores de 60 años, mujeres (63%). Las variables registradas para cada maxilar fueron: coronas clínicas presentes (C), piezas presentes (P), piezas ausentes (A) y restos radiculares y piezas retenidas (R). A partir de los datos obtenidos, se calcularon medidas de tendencia central (media y mediana), medidas de dispersión (desvío estándar y desvío intercuartil) y medidas de posición. Test de Mann-Whitney y Test de Wilcoxon, Test de Chi cuadrado y prueba de McNemar.

**Resultados:** Para la variable C, el 18,1% de  $Cs=0$ , el 13,2% de  $Ci=0$  y 9,8% son desdentados totales. Para la variable P la mediana  $Ps=9$  (P25: 6, P75:12) y  $Pi=10$  (P25: 8, P75:12), y para C la mediana  $Cs=10$  (P25: 6, P75:13) y  $Ci=11$  (P25: 8, P75:13), presentando diferencias significativas entre ambos maxilares ( $p < 0,001$ ). La variable R presenta diferencias significativas por género en maxilar sup e inf,  $Rs=20\%$  femenino,  $Rs=27,8\%$  Masculino, ( $p < 0,001$ ) y  $Ri=16,5\%$  femenino,  $Ri= 22,5\%$  masculino ( $p < 0,001$ ).

**Conclusión/es:** El maxilar inferior presentó mayor número de piezas dentarias y Coronas clínicas que el superior. Hay una alta presencia de restos radiculares o piezas retenidas en ambos maxilares. Se observó diferencias significativas entre piezas presentes y coronas clínicas presentes lo cual indica una mínima incidencia de reposición dentaria con protética fija en esta población.



145

**ID 2116**  
**ESTUDIO PROSPECTIVO ALEATORIZADO DEL DOLOR EN ORTODONCIA CON FOTOBIO-MODULACIÓN LÁSER**

Mahmood Ahmadi<sup>1</sup>, Ana Clara Casadomecq<sup>2</sup>, Marina Iglesias<sup>1</sup>, Magalí García<sup>1</sup>, Yesica Doi<sup>1</sup>, Graciela Rigüero<sup>1</sup>, Sandra Benítez Rogè<sup>1</sup>, Janick Cavalieri<sup>1</sup>, Andrea Delaurentis<sup>2</sup>, Claudia Mohn<sup>2</sup>, Alejandra Folco<sup>1</sup>.  
1. Cátedra de Ortodoncia, FOUBA. 2. Cátedra de Fisiología, FOUBA.

**Introducción:** La terapia con láser de baja intensidad (fotobiomodulación) es útil para disminuir la respuesta al dolor. Hipótesis: En los pacientes ortodóncicos tratados con láser de baja intensidad disminuye el dolor.

**Objetivo/s:** Comparar respuesta al dolor, en pacientes ortodóncicos, durante los primeros 21 días de tratamiento entre un grupo que recibe fotobioestimulación con láser y otro que no.

**Materiales y Métodos:** Se estudiaron 17 pacientes de ambos sexos, 8 mujeres y 9 varones, de entre 12 y 37 años de edad, con dentición adulta y apiñamiento moderado, que recibieron tratamiento de ortodoncia y fueron distribuidos al azar en grupo L (Láser) N=9 y grupo NOL N=8 (No Láser). El proyecto fue aprobado por el comité de Ética y los pacientes firmaron el consentimiento informado para participar. Recibieron una dosis de LLLT o placebo en premolares, caninos e incisivos superiores e inferiores, luego de cada control semanal. Se utilizó un dispositivo de Diodo Láser 980nm (©CHEESE II Gigaa) potencia 0.5 watt – CW, densidad de energía TOTAL por pieza dentaria 10 j/cm<sup>2</sup>. Se realizó un cuestionario de dolor con índice de 0 a 10, al inicio (0) y a los 7, 14 y 21 días y se aplicó análisis estadístico del Chi cuadrado y prueba T.

**Resultados:** La Semana 1 en el grupo NOL presentó índices de dolor promedio de 4,79 mientras que el grupo L, presentó 4,18 (p = 0.40), sin diferencia estadísticamente significativa.

La semana 2 el grupo NO L 1,87 mientras que el grupo L, 0,92 p = 0,018 con dif. estadísticamente significativa.

La semana 3 el grupo NO L presentó índices de 2,33 mientras que el grupo L, 1,41 (P = 0.05) con dif. estadísticamente significativa.

**Conclusión/es:** La fotobiomodulación es una opción efectiva para disminuir el dolor en pacientes sometidos a tratamiento ortodóncico. Debería estudiarse en un grupo con mayor número de pacientes.

146

**ID 2111**  
**ORTODONCIA DIGITAL: TRATAMIENTOS HÍBRIDOS CON ALINEADORES IN OFFICE Y DISTALADOR DE CARRIÈRE MOTION II**

Marina Iglesias, Antonella Sciarrotta, Magalí García, Yesica Doi, Patricia Tarquini, Mahamood Ahmadi, Alejandra Folco.  
Cátedra de Ortodoncia, FOUBA.

**Introducción:** Se propone la utilización del aparato Carriere Motion (CMA) para el tratamiento de la Clase II, utilizado con alineadores en 1 fase, para la corrección simultánea de malposiciones dentarias.

**Objetivo/s:** Analizar en archivos virtuales (STL) superiores inicial y post uso de CMA y alineadores, distalización de canino, distalización y distorotación del primer molar (1M) y la relación entre ambos maxilares en cefalometría de Steiner (ángulo ANB).

**Materiales y Métodos:** Se incluyeron 6 pacientes Clase II dentaria uni o bilateral que utilizaron 10 aparatos Carriere motion II (CMA) y alineadores, atendidos en la Cátedra de Ortodoncia FOUBA, de ambos sexos entre 12 y 30 años con dentición permanente y apiñamiento leve a moderado. El proyecto fue aprobado por el comité de Ética y los pacientes firmaron el consentimiento informado. Se midieron en software Nemocast los archivos STL maxilar superior, la distancia de desplazamiento a distal de canino y 1ºM, y ángulo de rotación de 1ºM de los pacientes tratados con CMA y alineadores in office FOUBA.

**Resultados:** Los caninos distalaron 1,15 mm, + 1,24 (p> 0.05) Los molares distalaron 0,92 mm, + 1,05 (p< 0.05) y distorotaron 0,33° + 0,21 (p< 0.05). El ángulo ANB aumentó 1,15° + 0,8 (p<0.05)

**Conclusión/es:** Mediante la utilización simultánea de CMA y alineadores se logra corregir una Clase II por distorotación y distalización del primer molar, distalización canina superior y alineación dentaria simultánea sin que se resuelva la Clase esquelética.

147

ID 2150

**IMPACTO DE LA DIABETES EN LA EXPANSIÓN MAXILAR DE RATAS EN CRECIMIENTO**Mónica Isabel Yamauchi<sup>1</sup>, Merlina Lopez<sup>2</sup>, Vanessa Rodríguez<sup>1</sup>, Luciana Sánchez<sup>2</sup>, Romina De Luca<sup>2</sup>, Carola Bettina Bozal<sup>2</sup>.

1. Sociedad Argentina de Ortodoncia. 2. Cátedra de Histología y Embriología, FOUBA

**Introducción:** La expansión de la sutura medio palatina (MP) es un tema de interés en ortodoncia. Existe poca evidencia en relación a la expansión de la MP en animales diabéticos en crecimiento.

**Objetivo/s:** En el presente trabajo se evaluó el grado de expansión maxilar a nivel de la MP en ratas diabéticas en crecimiento.

**Materiales y métodos:** Veinticinco ratas Wistar macho (100 grs b.w.) divididas en 4 grupos: GC (grupo control n=7), GD (grupo diabético n= 6), GCE (grupo expansión control n=6) y GDE (grupo expansión diabéticos n=6). A los animales de los grupos GD y GDE se les inyectó a las 4 semanas una dosis de 60mg/kg b.w. de estreptozotocina para inducir el cuadro diabético. 24-48 horas post- inducción se determinó la glucemia y aquellos con valores por encima de 200 mg/dl fueron incluidos en dichos grupos. A las 7 semanas a los animales de los grupos GCE y GDE se les colocó un resorte expansor, (Fuerza de 60g) sobre los molares superiores de ambos lados. Los animales GC y GD recibieron el mismo procedimiento sin la colocación del resorte expansor. Eutanasia a los 7 días post instalación. Sobre cortes buco-palatinos a nivel de los primeros molares superiores se midió: ancho maxilar ( $\mu\text{m}$ ), ancho de la MP ( $\mu\text{m}$ ), área de la sutura ( $\mu\text{m}^2$ ) y grado de expansión maxilar (%). Los datos se compararon con prueba ANOVA de dos vías y post hoc de Bonferroni p<0.05 como significativa.

**Resultados:** El ancho maxilar mostró ser significativamente menor en GD vs GC (5083.66±267.72 vs 5700.16±249.58). Sometidas a fuerzas expansoras ambos grupos registraron valores significativamente mayores (GC 4395,34±436,37 vs GE 5075,06±258,59; GD 4065,35±165,36 vs GDE 4874,59±465,34). El grado de expansión maxilar fue mayor en las ratas diabéticas que en las ratas sanas (GE 15,46% vs GDE 19,91%).

**Conclusión/es:** Si bien la diabetes provoca un menor crecimiento en ancho del maxilar superior, a nivel de la sutura no se pudo observar aumento del ancho ni del área de la sutura. Sugiriendo que el ensanchamiento podría estar ocurriendo solo a expensas del hueso alveolar y no así del cartílago secundario presente en la sutura MP.

148

ID 2154

**COMPARACIÓN DE LAS DIMENSIONES DE LAS VÍAS RESPIRATORIAS EN SUJETOS CON DIFERENTES PATRONES FACIALES VERTICALES Y HORIZONTALES**Stephanie Arario<sup>1</sup>, Leonardo Jorge Nart<sup>1</sup>, Stephany Calvo<sup>1</sup>, María Milagros Trigo Humaran<sup>1</sup>, Matias De Luca<sup>1</sup>, Solana Sanchis<sup>1</sup>, María Luz Di Bartolo<sup>1</sup>, María Victoria Bielli<sup>1</sup>, Victoria Azcona<sup>1</sup>, Luciana Figueroa<sup>1</sup>, Pablo Salgado<sup>2</sup>, Diego Vazquez<sup>1</sup>.

1. Cátedra de Diagnóstico por Imágenes, FOUBA. 2. Cátedras de Microbiología y Parasitología y de Odontología Preventiva y Comunitaria, FOUBA. Instituto de Investigaciones en Salud Pública. UBA.

**Objetivo/s:** Comparar el ancho de las vías respiratorias superiores entre sujetos con diferentes patrones faciales verticales y clases óseas.

**Materiales y métodos:** En el estudio se incluyeron un total de 115 estudios cefalométricos laterales de pacientes, que concurrieron a atenderse durante los años 2023 y 2024, presentes en la base de datos de la Cátedra de Diagnóstico por Imágenes de la Facultad de Odontología de la Universidad de Buenos Aires, confeccionados con el software NemoStudio (versión 19.2.0 uv). Las telerradiografías fueron adquiridas con equipo PlanMeca ProMax. Se analizaron los siguientes criterios: clase esquelética según cefalograma de Steiner, biotipo según Vert y las medidas de las vías aéreas del cefalograma de McNamara (Longitud Inferior Faringe y Longitud Superior Faringe). Se utilizaron las pruebas ANOVA de una vía con post hoc de Tukey (p<0,05).

**Resultados:** Femeninos: 60,9% (n=70), Masculinos: 39,1%(n=45). En longitud inferior de faringe los pacientes presentaron media (en mm) de: Clase I (57,4% n=66): 9,8 (DS=3,1); Clase II (24,3% n=28):10,0 (DS=3,6); Clase III (18,3% n=21): 9,8 (DS=3,0). Braquifacial (49,6% n=57): 10,7 (DS=2,8); Mesofacial (15,7% n=18): 8,3 (DS=3,2); Dólicofacial (34,8% n=40): 9,4 (DS=3,5). En longitud superior de faringe los pacientes presentaron media (en mm) de: Clase I: 13,6 (DS=3,0); Clase II:13,0 (DS=3,7); Clase III: 15,4 (DS=3,6). Braquifacial: 14,3 (DS=3,4); Mesofacial: 12,9 (DS=2,9); Dólicofacial: 13,4 (DS=3,5). Se encontraron diferencias estadísticas en longitud inferior de faringe en según biotipo (P=0,010) entre braquifacial y mesofacial, pero no según clase ósea (P=0.968). Para longitud superior de faringe se encontraron diferencias estadísticas según clase ósea (P= 0.032), pero no según biotipo(P=0,227).

**Conclusión/es:** La profundidad faríngea superior se ve influenciada por la clase ósea del paciente, mientras que la inferior se ve afectada por el biotipo del paciente.



149

ID 2155

### ASOCIACIÓN ENTRE PERCEPCIÓN DE HIPERSENSIBILIDAD DENTINARIA Y EROSIÓN DENTAL

Clara Afonso Ramirez<sup>1</sup>, María Florencia Escalante Vila<sup>1,2</sup>, Luciana D'Eramo<sup>1,2</sup>, Cynthia Mariel Rodriguez<sup>1</sup>, Pablo Salgado<sup>1,2,3</sup>, Aldo Squassi<sup>1,2,4</sup>.  
 1. Cátedra de Odontología Preventiva y Comunitaria, FOUBA. 2. Instituto de Investigaciones en Salud Pública, UBA. 3. Cátedra de Microbiología y Parasitología, FOUBA. 4. CONICET.

**Objetivo/s:** El objetivo del presente estudio fue determinar la asociación de hipersensibilidad dentinaria (HD) y la erosión dental en presencia de biofilm e inflamación gingival en adultos.

**Materiales y Métodos:** Se realizó un estudio observacional de corte transversal. La muestra estuvo constituida por 180 pacientes que concurren al Hospital Odontológico Universitario (UBA). Se excluyeron individuos con enfermedades sistémicas, restauraciones cervicales u ortodoncia, o con menos de 5 piezas. El examen clínico incluyó el Índice de Erosión Dental de BEWE, el índice de placa (IP) de Silness y Løe, el índice gingival (IG) de Løe y Silness y se estableció la presencia de HD mediante estímulo térmico utilizando la escala de Sensibilidad al frío de Schiff. Se suministró el Cuestionario de Experiencia de Hipersensibilidad Dentinaria (DHEQ-15), validado al español. Los resultados del DHEQ-15 se expresaron mediante puntaje total (PT) y por dominios. Los valores de BEWE, IP, IG y la escala de Schiff se analizaron de forma dicotomizada. Las asociaciones se analizaron con tablas cruzadas, Odds Ratio y Chi-cuadrado y ANOVA. ( $\alpha=0,05$ ).

**Resultados:** La edad media fue de 31.3 ( $\pm 14$ ) años para las mujeres (72.2%) y de 27 ( $\pm 8$ ) años para los hombres (27.8%) (rango 16-70 años). El 32.1% no presentó sensibilidad, mientras que el 15.6% obtuvo el puntaje Schiff 3. El 42.2% mostró erosión (BEWE > 0), con una relación significativa entre el puntaje Schiff 1-3 y BEWE > 0 ( $p=0.002$ ; OR=2.86, IC 95%=1.46-5.61). Los sitios con más del 10% de inflamación gingival (IG corte 10%) presentaron un mayor riesgo de erosión (OR=3.1, IC 95%=1.17-8.13) para BEWE > 0 ( $p=0.017$ ). Los pacientes con BEWE > 0 mostraron puntajes de 39.6 ( $\pm 23.3$ ) en el DHEQ-15, en comparación con 32.4 ( $\pm 19$ ) en aquellos sin erosión. El dominio "restricciones" alcanzó una media de 9.2 ( $\pm 5.5$ ) en pacientes con erosión vs. 7.8 ( $\pm 4.7$ ) en aquellos sin erosión ( $p=0.071$ ), y "adaptación" fue mayor en los pacientes con erosión (8.4 ( $\pm 5.3$ ) vs. 7.3 ( $\pm 4.7$ ),  $p=0.165$ ).

**Conclusión/es:** Existe una asociación significativa entre la hipersensibilidad dentinaria y la erosión dental, especialmente en presencia de biofilm e inflamación gingival.

150

ID 2156

### ANÁLISIS TEMPORAL DE LA NECESIDAD DE TRATAMIENTO DE CARIES DE ESCOLARES EN CIUDAD DE BUENOS AIRES

Glenda Rossi<sup>1,2</sup>, Ana Laura Sorazabal<sup>1,2</sup>, Rocío Lazzati<sup>1,2</sup>, Fiorella Ventura<sup>1,2</sup>, Pablo Salgado<sup>1,2,3</sup>, Aldo Squassi<sup>1,2,4</sup>.  
 1. Cátedra de Odontología Preventiva y Comunitaria, FOUBA. 2. Instituto de Investigaciones en Salud Pública, UBA. 3. Cátedra de Microbiología y Parasitología, FOUBA. 4. CONICET.

**Objetivo/s:** Analizar las variaciones en la necesidad de tratamiento de caries en escolares de la Ciudad Autónoma de Buenos Aires (CABA) durante el período 2016-2023

**Materiales y Métodos:** Se estudió una población de escolares de 1° grado de escuelas públicas en CABA. La muestra incluyó 86.812 escolares durante el período 2016-2023. La muestra fue ponderada según matrícula escolar por comuna y agrupadas en 3 regiones: Sur, Centro y Norte. Se estableció la necesidad de tratamiento de caries utilizando el Índice de Necesidad de Tratamiento de Caries (INTC). Se recolectó información sobre el tipo de cobertura de salud. Se calcularon las distribuciones porcentuales de las necesidades de tratamiento, agrupadas en 3 categorías: 00-02 (preventivo), 03-06 (baja complejidad),  $\geq 07$  (alta complejidad). Se utilizó Test de Chi2 y post hoc con corrección de Bonferroni. Se estratificó por años evaluando la independencia condicional (Mantel-Haenszel). Para evaluar la homogeneidad de los Odds Ratios, se aplicó la prueba de Breslow-Day.

**Resultados:** En 2023, 8,765 escolares (68.2%) presentaron caries cavitadas, frente a 9834 (69.2%) en 2019, 9,426 (68.3%) en 2018, 8,417 (67.7%) en 2017 y 11,688 (67.4%) en 2016 ( $p=0,005$ ). La necesidad de tratamiento de caries de mediana complejidad (INTC 03-06) se incrementó entre los años 2019 (29.5%) y 2022 (36.3%), manteniéndose en nivel ligeramente superior en 2023 (37.6%). La necesidad de tratamientos de alta complejidad (INTC $\geq 7$ ) aumentó de 34.4% en 2016 a 39.7% en 2019, A partir de ese año se observó una disminución a 34.1% en 2022 y 30.6% en 2023, a expensas de una disminución de porcentaje de escolares con INTC 11-14 (21% en 2019 a 13% en 2023) ( $p=0,001$ ). En términos de cobertura de salud, el 54.5% poseen cobertura pública exclusiva (CPE). Se observan diferencias significativas en la necesidad de tratamiento de caries en los escolares con CPE con homogeneidad temporal. En términos de desigualdades, las necesidades de tratamiento de caries complejos (INTC $\geq 7$ ) en la región Sur fue 44.8%; en región Centro, 30.7% y en región Norte, 21.7% ( $p<0,001$ ), con diferencias significativas entre regiones ( $p<0,001$ ).

**Conclusión/es:** La necesidad de tratamiento de caries en escolares de 1° grado presenta variaciones interanuales dependientes del nivel de complejidad y de la región, reflejando desigualdades en la necesidad de tratamiento de caries dental.



151

ID 2153

**ASOCIACIÓN DE INFLAMACIÓN GINGIVAL Y PRESENCIA DE PLACA CON LA PERCEPCIÓN DE HIPERSENSIBILIDAD DENTINARIA**

María Florencia Escalante Vila<sup>1,2</sup>, Luciana D'Eramo<sup>1,2</sup>, Cynthia Mariel Rodríguez<sup>1</sup>, Clara Afonso Ramirez<sup>1</sup>, Pablo Salgado<sup>1,2,3</sup>, Cassiano Kuchenbecker Rösing<sup>4</sup>, Aldo Squassi<sup>1,2,5</sup>.  
 1. Cátedra de Odontología Preventiva y Comunitaria, FOUBA. 2. Instituto de Investigaciones en Salud Pública, UBA. 3. Cátedra de Microbiología y Parasitología, FOUBA. 4. Universidade Federal do Rio Grande do Sul, Faculdade de Odontologia, Departamento de Periodoncia. 5. CONICET.

**Objetivo/s:** Determinar la asociación de la percepción hipersensibilidad dentinaria y la presencia de biofilm e inflamación gingival en adultos.

**Materiales y Métodos:** Se realizó un estudio observacional de corte transversal sobre una muestra por conveniencia de 180 pacientes que concurren al Hospital Odontológico Universitario (UBA). Los pacientes recibieron y completaron el Cuestionario de Experiencia de Hipersensibilidad Dentinaria (DHEQ-15) validado al español. Posteriormente se realizó un examen clínico, a cargo de investigadores, bajo criterios estandarizados. Se realizó una evaluación de estado gingival y presencia de biofilm utilizando el índice de placa (IP) de Silness y Løe y el índice gingival (IG) de Løe y Silness y se estableció la presencia de HD mediante estímulo térmico utilizando la escala de Sensibilidad al frío de Schiff. Las variables cuantitativas se expresarán como media  $\pm$  desviación estándar y las cualitativas como frecuencias. Los resultados del DHEQ-15 se expresaron mediante puntaje total (PT) y por dominios y los datos de IP, IG y escala de Schiff se analizaron de forma dicotomizada y se asociaron mediante ANOVA ( $\alpha=0,05$ ).

**Resultados:** La edad media fue  $30 \pm 13$  años (72,2% femenino). Al dicotomizar la escala de Schiff, se contrastaron los grupos obteniendo diferencias significativas con el % de sitios  $IG>0$  ( $p=0,011$ ) y con el % de sitios  $IG>1$  ( $p=0,023$ ). Los resultados del DHEQ-15 mostraron una asociación significativa ente el PT, los dominios "impacto emocional" e "identidad" y el IP ( $p=0,021$ ;  $0,005$ ;  $0,006$ ). Entre el PT, los dominios "impacto emocional", "adaptaciones" e "identidad" y el IG ( $p=0,006$ ;  $0,003$ ;  $0,016$ ;  $0,003$ ). Al dicotomizar la muestra de acuerdo con el % de sitios con  $IG>1$  ( $>10\%$  sitios), se observó una asociación significativa con el PT, y los dominios "adaptación", "impacto emocional" e "identidad" ( $p=0,017$ ;  $0,043$ ;  $0,009$ ;  $0,010$ , respectivamente). Al dicotomizar la muestra de acuerdo con el % de sitios con  $IP>1$  ( $>10\%$  sitios), se observó una asociación significativa con el PT, y los dominios "impacto emocional" e "identidad" ( $p=0,022$ ;  $0,006$ ;  $0,025$ ).

**Conclusión/es:** En esta muestra, los síntomas clínicos y percepción de HD se asociaron positivamente con la presencia de biofilm e inflamación gingival.

152

ID 2149

**CAMBIO DE COLORACIÓN EN MÁRGENES DE RESTAURACIONES OCLUSALES DE RESINAS COMPUESTAS. ANÁLISIS RETROSPECTIVO A 10 AÑOS**

Myriam Boldrini<sup>1</sup>, Aldo Squassi<sup>2,3</sup>, Pablo Salgado<sup>2,3,5</sup>.  
 1. Cátedra de Preclínica de Odontología Restauradora, FOUBA. 2. Cátedra de Odontología Preventiva y Comunitaria, FOUBA. 3. Instituto de Investigaciones en Salud Pública, UBA. 4. CONICET. 5. Cátedra de Microbiología y Parasitología, FOUBA.

**Objetivo/s:** Evaluar el cambio de coloración en márgenes de restauraciones, compatible con filtración marginal, como indicador de longevidad de restauraciones directas oclusales posteriores.

**Materiales y Métodos:** Se examinaron retrospectivamente registros de pacientes con restauraciones oclusales grandes posteriores en resina compuesta en molares y premolares permanentes entre 2004-2014. Se evaluaron cambios de coloración en márgenes compatibles con filtración marginal. Las restauraciones fueron realizadas por el mismo operador, utilizando sistemas adhesivos de 5ta generación con grabado total, técnica estratificada con composite microhíbridos y lámpara de curado Demetron A1. El análisis estadístico se realizó utilizando estadísticas de Kaplan-Meier y pruebas de Tarone-Ware ( $p < 0,05$ ).

**Resultados:** Se incluyeron 45 restauraciones iniciales colocadas en 31 pacientes. La media de supervivencia global fue de 9.07 años (IC 95%: 8.58-9.55). Para premolares, la media de supervivencia fue de 9.33 años (IC 95%: 8.58-10.09), mientras que para molares fue de 8.93 años (IC 95%: 8.31-9.55). No se encontraron diferencias estadísticamente significativas entre premolares y molares (prueba de Tarone-Ware,  $p = 0.588$ ). Después de 10 años, la tasa de éxito (ausencia de filtración marginal) fue del 71.1% (32/45 restauraciones).

**Conclusión/es:** Las restauraciones directas estratificadas con sistemas adhesivos de 5ta generación demostraron una alta tasa de supervivencia a 10 años. A pesar de ser cuestionados por sus valores de adhesión, estos sistemas, con los protocolos adecuados, pueden aumentar significativamente la longevidad de las restauraciones oclusales posteriores.

153

ID 2129

### PRESENCIA DE BIOFILM Y DETERMINANTES DE SALUD EN INFANTES DEL PARTIDO DE AVELLANEDA

Ximena Pazos<sup>1</sup>, Glenda Rossi<sup>1,2</sup>, Silvia Medici<sup>1</sup>, Pablo Salgado<sup>1,2,3</sup>, Aldo Squassi<sup>1,2,4</sup>.

1. Cátedra de Odontología Preventiva y Comunitaria, FOUBA. 2. Instituto de Investigaciones en Salud Pública, UBA. 3. Cátedra de Microbiología y Parasitología, FOUBA. 4. CONICET.

**Objetivo/s:** Asociar la presencia de biofilm visible (PBV) en infantes que concurren a jardines maternos del partido de Avellaneda con características sociodemográficas y localidad.

**Materiales y Métodos:** La muestra estuvo conformada por 147 Infantes, de 1 a 36 meses de edad (M= 25 meses), concurrentes a jardines maternos del Municipio de Avellaneda. Fueron incluidos los infantes que presentaron en el momento del examen por lo menos 6 piezas dentarias. Para participar de este estudio se solicitó a los tutores legales la autorización y el asentimiento del infante. Se analizaron variables: lugar de residencia (G1: Dock Sud, G2: Villa Domingo, G3: Piñeyro, G4: Gerli y G5: Avellaneda Centro), asignación de plan social y cobertura de salud (pública exclusiva, obra social y privada). Se registraron las lesiones de caries de acuerdo con criterios ICDAS II y se registró la presencia de biofilm visible (PBV). Se calcularon frecuencias, porcentaje, IC 95%. Se aplicó la prueba de chi cuadrado y Odds Ratio.

**Resultados:** Las distribución familias que reciben planes sociales y poseen cobertura pública de salud en forma exclusiva, respectivamente, fue: G1: 89,3% y 92,9%; G2: 32,1% y 44,4%; G3: 17,9% y 12,5%; G4: 50% y 42,9%; y G5: 7,4% y 18,5%. El 6,1% (IC95%: 3,1-10,9) de la muestra presenta por lo menos una superficie con caries y la PBV fue de 42,2% (IC95%: 34,4-50,2). La PBV en las diferentes localidades fue: Dock Sud 89,3%, Villa Domingo 50,0%, Piñeyro 37,5%, Gerli 12,5% y Avellaneda Centro 5,7% ( $p < 0,01$ ). La PBV fue 66,0% para los infantes con cobertura pública exclusiva, siendo significativamente mayor que aquellos con Obra Social (25,5%) y Prepaga (31,7%). En los infantes cuyos padres reciben plan social la PBV fue de 60,0% (OR= 3,047 (IC95%: 1,5-6,17)).

**Conclusión/es:** Los infantes concurrentes a jardines maternos del distrito de Avellaneda presentan biofilm visible con alta frecuencia, observándose mayores niveles en aquellos que residen en localidades con mayor vulnerabilidad social.

154

ID 2159

### ASOCIACIÓN ENTRE AUTORREPORTE DE ENFERMEDAD, INDICADORES CLÍNICOS DE ESTADO PERIODONTAL Y PERCEPCIÓN DE HIPERSENSIBILIDAD DENTINARIA

Valentina Alberti Cancelo<sup>1</sup>, María Florencia Escalante Vila<sup>1,2</sup>, Pablo Salgado<sup>1,2,3</sup>, Aldo Squassi<sup>1,2,4</sup>, Luciana D'Eramo<sup>1,2,5</sup>.

1. Cátedra de Odontología Preventiva y Comunitaria, FOUBA. 2. Instituto de Investigaciones en Salud Pública, UBA. 3. Cátedra de Microbiología y Parasitología, FOUBA. 5. CONICET.

**Objetivo/s:** Analizar la asociación entre el autorreporte de salud gingivo-periodontal, parámetros clínicos referidos a presencia de biofilm, estado gingival y periodontal, y percepción de hipersensibilidad dentinaria

**Materiales y Métodos:** La población estuvo constituida por pacientes concurrentes a la Facultad de Odontología (UBA). Sobre una muestra no probabilística de 103 pacientes de ambos sexos, de 13 a 70 años, se realizó un examen clínico de estado dentario y periodontal. Los pacientes completaron un cuestionario de autorreporte sobre salud periodontal y un cuestionario sobre percepción de hipersensibilidad dentinaria (DHEQ-15), validados al español. Los indicadores utilizados fueron: Índice de Placa (IP), Índice Gingival (IG), Profundidad al Sondaje (PS), puntaje total y por dominios del DHEQ-15 y las respuestas individuales del autorreporte periodontal. Las variables cuantitativas se describieron mediante medidas de tendencia central y dispersión y las cualitativas mediante distribución de frecuencias. Se utilizó la prueba de chi cuadrado para establecer asociación entre las variables.

**Resultados:** El estudio incluyó 103 participantes (68% mujeres), edad media 28 años (DE=10). 58.5% clasificó su salud bucal "Buena a Excelente". El autorreporte de enfermedad periodontal reveló una asociación significativa entre la percepción de enfermedad en encías ( $\chi^2=8.18$ ,  $p=0.004$ ), percepción estado de salud de dientes y encías ( $\chi^2=52.09$ ,  $p < 0.001$ ), percepción de presencia de movilidad dental ( $\chi^2=5.70$ ,  $p=0.017$ ), percepción de presencia de problemas dentales ( $\chi^2=13.75$ ,  $p < 0.001$ ), con la percepción de salud bucal general incluida en el DHEQ-15. En el grupo que percibía una condición de salud bucal "Regular a Muy mala", 31.8% reportó posible enfermedad en encías 27.3% del primer grupo reportó movilidad dental 65.9% del primer grupo indicó problemas dentales, contra 12.9%, 11.3% y 32.3% del grupo que percibía como "Buena a Excelente" respectivamente.

**Conclusión/es:** Los hallazgos subrayan la complejidad de la salud bucal y la importancia de considerar tanto parámetros clínicos como percepciones de los pacientes en la evaluación y manejo de la salud periodontal y la hipersensibilidad dentinaria.

155

ID 2126

**CONTAMINACIÓN AMBIENTAL AÉREA Y DESNUTRICIÓN: EFECTO SOBRE LA HISTOMORFOMETRÍA Y LA BIOMECÁNICA DEL ESQUELETO APENDICULAR**Clarisa Bozzini<sup>1</sup>, Carola Bozal<sup>2</sup>, Melisa Kurtz<sup>3</sup>, Catalina Lamas<sup>2</sup>, Brenda Leiva<sup>2</sup>, Ivana Masci<sup>3</sup>, Alan Agüero Romero<sup>1</sup>, Deborah Tasat<sup>3</sup>, Christian Lezon<sup>1</sup>.<sup>1</sup>. Cátedra de Fisiología, FOUBA. <sup>2</sup>. Cátedra de Histología y Embriología, FOUBA. <sup>3</sup>. Instituto de Tecnologías Emergentes y Ciencias Aplicadas, Escuela de Ciencia y Tecnología, UNSAM.

**Introducción:** La restricción crónica de alimento (RC) afecta negativamente al desarrollo óseo durante el crecimiento del individuo. La interacción entre un estado nutricional deficiente y ambientes contaminados (gases y material particulado - MP) es perjudicial para la salud de los niños.

**Objetivo/s:** El presente trabajo evalúa la histomorfometría y la capacidad resistiva ósea en un modelo animal de desnutrición crónica, ante la exposición sub-crónica a cenizas residuales de la combustión de petróleo (Residual Oil Fly Ash-ROFA).

**Materiales y Métodos:** Ratas macho Wistar de destete fueron alimentadas ad libitum (C) o recibieron 80% de la ingesta del grupo C (RC) durante 4 semanas. Durante ese tiempo, los animales fueron instilados vía intranasal con ROFA (CR y RCR) o su vehículo (C y RC), 0.17 mg/kg PC, 3 veces por semana. Finalizadas las 4 semanas se autopsiaron los animales y se obtuvieron los fémures para las mediciones de parámetros histomorfométricos de osificación endocondral y para evaluar la capacidad resistiva ósea. Análisis estadístico: ANOVA y prueba post-hoc de Bonferroni. Diferencia significativa:  $p < 0.05$ . Resultados expresados como promedio  $\pm$  DS.

**Resultados:** La altura del cartílago metafisario disminuyó significativamente en los grupos RC y RCR ( $p < 0.05$ ) con respecto a sus controles, sin observarse diferencias entre C y CR. En cuanto a la extensión de las diferentes zonas del cartílago, en el grupo CR aumentaron significativamente las áreas hipertrófica y de erosión con respecto a C, mientras que en RCR, dichas áreas disminuyeron significativamente con respecto a RC y a CR, aumentando las áreas de reposo y de proliferación ( $p < 0.05$ ). El volumen óseo subcondral no mostró diferencias significativas entre los grupos. En relación a la evaluación de la capacidad resistiva ósea, se observó que la misma fue significativamente menor ( $p < 0.01$ ) en los grupos RC y RCR frente a sus respectivos controles. Al comparar C vs C+R, se observaron diferencias significativas ( $p < 0.01$ ) siendo menor la capacidad resistiva en los animales expuestos a ROFA.

**Conclusión/es:** Los resultados obtenidos reflejan un deterioro de la capacidad resistiva ósea en los animales con restricción de alimento y también en aquellos alimentados libremente expuestos a ROFA, observándose en estos últimos; una alteración significativa en el mecanismo de osificación.

156

ID 2012

**ESTUDIO DE LAS VARIABLES DE IMPACTACIÓN DE LOS CANINOS SUPERIORES Y SU RELACIÓN CON EL INCISIVO LATERAL MEDIANTE TOMOGRAFIA DE HAZ CÓNICO**Martín Horacio Pujol<sup>1</sup>, Alejandra Antoniuk<sup>1</sup>, Julieta Serafini<sup>1</sup>, Lucila Vazquez<sup>1</sup>, Leonardo Nart<sup>1</sup>, Lorena Benitez<sup>1</sup>, Pablo Salgado<sup>2</sup>, Victoria Azcona<sup>1</sup>, Ariel Hiacelay<sup>1</sup>, Stephanie Arario<sup>1</sup>, Patricia Indkevitch<sup>1</sup>, Diego Vázquez<sup>2</sup>.<sup>1</sup>. Cátedra Diagnóstico por Imágenes, FOUBA. <sup>2</sup>. Cátedra de Microbiología y Parasitología, Cátedra de Odontología Preventiva y Comunitaria FOUBA, Instituto de Investigaciones en Salud Pública UBA.

**Introducción:** Los caninos superiores son las segundas piezas dentarias más frecuentes de impactación después de los terceros molares. Pueden causar problemas estéticos, desviación de la línea media, migración de piezas dentarias, formación de quistes, e infección. Sin embargo, el problema más significativo es la reabsorción del incisivo lateral (IL). El correcto tratamiento quirúrgico ortodóntico y la correcta erupción del CS depende de su ubicación espacial.

**Objetivo/s:** Realizar un análisis del tipo de impactación más frecuente y relación del CS con el IL determinando localización y grado de reabsorción del mismo mediante tomografía Cone Beam.

**Materiales y Métodos:** Se adquirieron 62 imágenes radiológicas de CS impactados, de ambos lados en pacientes de 12 años a 25 años de la Cátedra de Diagnóstico por Imágenes FOUBA. Se estudiaron las siguientes variables: tipo de impactación coronaria transversal: mesioangular, vertical, distoangular, horizontal; en sentido vestíbulo palatino: vestibular, medial, palatino; relación con el IL: lejos, en proximidad, en contacto; localización de la reabsorción del IL: tercio medio, tercio apical, tercio cervical y grado de reabsorción: leve (hasta mitad de dentina), moderado (más de la mitad de dentina y pulpa intacta), severo (pulpa incluida).

**Resultados:** La impactación más frecuente es: mesioangular 89,5% y palatina 42,2 %, en contacto con el IL en el 68,4%, con reabsorción del tercio apical 47,4% y en grado leve 31,6% (IC 95%). No se encontraron diferencias significativas entre ambos lados ni el tipo de impactación coronaria anteroposterior con el grado de reabsorción (Chi cuadrado Pearson).

**Conclusión/es:** Es de importancia conocer los datos hallados para poder predecir y prevenir la reabsorción del IL y así realizar un tratamiento no dificultoso y de gran consumo de tiempo. La tomografía de haz cónico es la herramienta de diagnóstico de elección para determinar la ubicación espacial del CS y su relación con el IL.

157

ID 2037

### ESTUDIO TRIDIMENSIONAL DE LA RECUPERACIÓN DEL HUESO ALVEOLAR PERDIDO POR PERIODONTITIS EXPERIMENTAL. EFECTO DEL TRATAMIENTO LOCAL CON PTH 1-34 A BAJAS DOSIS

Marina Soledad Bonanno<sup>1,2</sup>, Diego Jorge Vazquez<sup>3</sup>, Ailin Gómez<sup>1</sup>, Estefanía Magalí Zeni Coronelli<sup>1</sup>, Mario Ricardo Davison<sup>4</sup>, Carola Bozal<sup>2</sup>, Susana Noemí Zeni<sup>1</sup>.  
1. Laboratorio de Osteopatías Metabólicas. INIGEM-CONICET, FFyB-UBA, Hospital de Clínicas. 2. Cátedra de Histología y Embriología, FOUBA. 3. Cátedra de Diagnóstico por Imágenes, FOUBA. 4. Carrera de Odontología, UNRN.

**Introducción:** Es conocido que la periodontitis experimental genera la pérdida de los tejidos de inserción de la pieza dentaria. En particular, genera la resorción acelerada del hueso alveolar. La PTH 1-34, administrada de forma intermitente, actúa como fármaco anabólico óseo.

**Objetivo/s:** Evaluar el efecto de la administración intermitente de una dosis baja de PTH 1-34 para la recuperación del tejido periodontal en un modelo experimental de periodontitis mediante la técnica de microCT.

**Materiales y Métodos:** Se dividieron 12 ratas Wistar hembras adultas con periodontitis inducida por ligadura en dos grupos LIG y PTH (n=6 cada uno). Tres veces por semana durante 21 días recibieron, por irrigación directa en el surco gingival, solución salina y 0,2 µg/Kg/dosis de PTH 1-34 respectivamente. Al finalizar, se extrajeron las hemimandíbulas y se escanearon con microCT (Skyscan1272, Bruker). Se determinó el volumen óseo (BV/TV%) en el hueso alveolar interradicular y en el alvéolo completo. Además, se analizaron los parámetros de espesor trabecular (Tb.Th), número trabecular (Tb.N) y separación trabecular (Tb.Sp). La normalidad se evaluó mediante Shapiro Wilk. Los datos fueron analizados con la prueba T para muestras independientes. Los análisis fueron realizados con el software InfoStat (versión 2020). La significación estadística fue establecida para un valor p<0,05.

**Resultados:** Expresados como media ± DE para LIG vs PTH. En la zona alveolar interradicular, el BV/TV% no alcanzó significancia estadística (35,1±2,2 vs 34,4±1,5 p=0,7); mientras que Tb.Th y Tb.Sp mostraron una tendencia a ser menor en el grupo LIG (0,04±0,02 vs 0,05±0,01 p=0,09 y 0,1±0,03 vs 0,3±0,1 p=0,08, respectivamente). Por el contrario, Tb.N fue significativamente menor en el grupo PTH (9,4±1,7 vs 6,8±1,3 p=0,05). En consecuencia, la técnica microCT no evidenció recuperación del hueso alveolar interradicular. Sin embargo, cuando se evaluó el alvéolo completo, el grupo PTH mostró un valor de BV/TV% significativamente mayor (23,0±0,6 vs 25,9±1,5 p<0,05) pero no hubo diferencias significativas en el resto de los parámetros: Tb.Th (0,06±0,03 vs 0,06±0,01 p=0,2), Tb.N (3,9±0,5 vs 4,1±0,4 p=0,6) y Tb.Sp (0,7±0,1 vs 0,6±0,08 p=0,5).

**Conclusión/es:** La técnica de microTC mostró que, en el alvéolo completo, el grupo PTH presentó valores significativamente más elevados de BV/TV% sin diferencias en el resto de los parámetros de calidad ósea estudiados. Si bien serían necesarios estudios adicionales, en nuestras condiciones experimentales, la administración intermitente de una dosis baja de PTH disminuyó la progresión de la enfermedad periodontal sin llegar a una recuperación completa.

158

ID 2050

### CAMBIOS EN PARÁMETROS HISTOMORFOMÉTRICOS MÁS IMPORTANTES DE LOS HUESOS MAXILARES EVALUADOS POR TOMOGRAFÍA COMPUTARIZADA DE HAZ CÓNICO. ESTUDIO PRELIMINAR

María Eugenia Avendaño<sup>1</sup>, Marina Soledad Bonanno<sup>3,4</sup>, Ailin Gómez<sup>1</sup>, Mario Ricardo Davison<sup>5</sup>, Diego Jorge Vazquez<sup>1</sup>, Susana Noemí Zeni<sup>3</sup>.  
1. Cátedra de Diagnóstico por Imágenes, FOUBA. 2. Servicio de Diagnóstico por Imágenes, Facultad de Odontología, Universidad Nacional de Cuyo. 3. Laboratorio de Osteopatías Metabólicas. Instituto de Inmunología, Genética y Metabolismo (INIGEM), CONICET, FFyB, UBA, Hospital de Clínicas "José de San Martín". 4. Cátedra de Histología y Embriología, FOUBA. 5. Carrera Odontología, Facultad Nacional de Río Negro.

**Introducción:** La tomografía computarizada de haz cónico (CBCT), es una técnica diagnóstica ampliamente utilizada por odontólogos que combina bajas dosis de radiación con imágenes tridimensionales de la región maxilofacial. Sin embargo, la utilidad para detectar cambios histológicos por pérdida ósea excesiva no ha sido dilucidada completamente. Además, las diferencias entre sujetos osteopénicos/osteoporóticos por el tratamiento habitual son escasos siendo mayormente in vitro.

**Objetivo/s:** En maxilares, explorar, utilizando CBCT, las diferencias en parámetros histológicos claves utilizados para determinar la microarquitectura ósea en sujetos con diferentes estados de fragilidad ósea y tratamientos específicos para ello

**Materiales y Métodos:** Treinta y nueve mujeres mayores de 55 años realizaron una absorciometría-dual de rayos X (DXA) y se dividieron en seis grupos, según T-score y tratamiento recibido:

1. Normal
2. Osteopenia sin tratamiento
3. Osteopenia recibiendo terapia de reemplazo hormonal (TRH)
4. Osteoporosis recibiendo calcio y vitamina D
5. Osteoporosis recibiendo bifosfonatos
6. Osteoporosis recibiendo denosumab

La región maxilofacial fue escaneada mediante CBCT (Planmeca 3D Classic Tomography Scanner) determinando espesor trabecular (Tb.Th); separación trabecular (Tb.Sp); fracción de volumen óseo (BV/TV); grado de anisotropía y conectividad, mediante el análisis de cuboides de diferentes áreas ósea utilizando el plugin BoneJ de ImageJ.

**Resultados:** Los resultados se expresaron como media ±DE y la estadística se evaluó mediante ANOVA y Bonferroni. Aunque por el pequeño número de sujetos en cada grupo, sólo Tb.Sp presentó diferencias estadísticas (p<0,05), los valores medios de los otros parámetros sugieren tendencias diferenciales entre grupos. Letras distintas indican diferencias significativas entre grupos.

	TbTh (µm)	TbSp (µm)	BV/TV	Densidad de conectividad	Grado de anisotropía	
Normal n=7	680±175	921±367a	0,388±0,102	1,353±0,757	0,398±0,065	
Osteopenia sin tratamiento n=6	891±501	1294±359b		0,333±0,124	1,068±0,705	0,353±0,11
Osteopenia Recibiendo TRH n=3	877±294	898±213a	0,380±0,236	1,519±1,272	0,386±0,041	
Osteoporosis recibiendo calcio y vitamina D n=7	645±82	901±247a	0,401±0,069	1,863±0,766	0,397±0,079	
Osteoporosis recibiendo bifosfonatos n=10	763±199	1021±327a,b		0,401±0,076	1,069±0,868	0,354±0,117
Osteoporosis recibiendo denosumab n=6	691±174	952±284a	0,368±0,078	1,484±0,881	0,426±0,134	

**Conclusión/es:** Según nuestro conocimiento, este es el primer estudio nacional que evalúa cambios en parámetros histomorfométricos de la microarquitectura del hueso trabecular oral asociados a alteraciones en el metabolismo óseo y su tratamiento, mediante CBCT. Se requiere aumentar el número de participantes para determinar la utilidad potencial de la exploración CBCT para detectar cambios asociados con la pérdida ósea excesiva y su tratamiento a lo largo del tiempo.



159

ID 2099

**CARACTERÍSTICAS MORFOMÉTRICAS DEL CONDUCTO PALATINO ANTERIOR, DIFERENCIAS RELACIONADAS AL SEXO**Ana Sánchez<sup>1</sup>, Walter Cornes<sup>1</sup>, Fernando González Maglio<sup>1</sup>, Cintia Coiro<sup>1</sup>, Noelia Vitali<sup>1</sup>, Ileana Bonzi<sup>1</sup>, Luis Ortenzi<sup>1</sup>, Martina Iglesias<sup>1</sup>, Valentina Ortalli<sup>1</sup>, Pablo Salgado<sup>2</sup>.

1. Cátedra de Diagnóstico por imágenes, FOUBA. 2. Cátedras de Microbiología y Parasitología y de Odontología Preventiva y Comunitaria, FOUBA. Instituto de Investigaciones en Salud Pública. Universidad de Buenos Aires.

**Objetivo/s:** Estudiar las características morfométricas del conducto palatino anterior (CPA) mediante tomografía computada de haz cónico (TCHC) y sus diferencias según sexo.

**Materiales y Métodos:** Se realizó un estudio retrospectivo, observacional sobre 55 pacientes, atendidos en la Cátedra de Diagnóstico por imágenes de la FOUBA.

Criterios de inclusión: >12 años, TCHC de la zona del CPA. Criterios de exclusión: artefactos de adquisición, fisura labio-alvéolo-palatina, trauma o cirugía maxilofacial.

Dos operadores calibrados (Kappa= 0,78) observaron las imágenes en los planos sagital y axial y registraron las variables en instrumento ad-hoc:

Forma en el plano sagital (tipo 1 a 5) y el plano coronal (tipo 1 a 3)

Diámetro laterolateral y anteroposterior en el plano axial

Diámetro anterospoterior en el plano sagital en 3 niveles

Espesor óseo vestibular y palatino en 3 niveles

Para las variables cuantitativas se calculó media, mínimo y máximo. Para variables cualitativas se utilizaron frecuencia y porcentajes. Se utilizaron las pruebas: chi-cuadrado, Fisher exacto para comparar Tipos y sexo. Se utilizó t de Student para muestras independientes o prueba U de Mann-Whitney para comparar las variables de diámetro del conducto incisivo, espesor óseo vestibular, espesor óseo palatino, en relación con el sexo de los individuos. Los valores de  $p < 0,05$  se consideraron estadísticamente significativos.

**Resultados:** Media de edad: 55 años, mínimo 13 y máximo 70 años.

La clasificación de forma en el plano sagital no mostró diferencia de tipo entre sexo. Para la clasificación de forma en el plano coronal en femenino el tipo más frecuente fue 1 (71%) y para varones el tipo 3 (36%). Se encontró diferencia entre sexos,  $p=0,03$ . De las variables cuantitativas estudiadas se encontró diferencia estadísticamente significativa en:

- Espesor óseo vestibular en nivel 3: varones 4,8mm vs. mujeres 5,8mm ( $p=0,027$ ).
- Espesor óseo palatino en nivel 2: mujeres 3,6mm vs. varones 4,5mm ( $p=0,009$ ).

**Conclusión/es:** Dentro de las variables estudiadas se encontraron diferencias significativas entre ambos sexos en la forma del plano coronal como en el espesor óseo vestibular y palatino.

160

ID 2100

**PREVALENCIA DE ODONTOMAS EN UNA POBLACIÓN ARGENTINA**Walter Cornes<sup>1</sup>, Lucila Vazquez<sup>1</sup>, Romina Loiacono<sup>1</sup>, Ailín Gómez<sup>1</sup>, Pablo Andrés Salgado<sup>2</sup>.

1. Cátedra de Diagnóstico por imágenes, FOUBA. 2. Cátedras de Microbiología y Parasitología y de Odontología Preventiva y Comunitaria, FOUBA. Instituto de Investigaciones en Salud Pública. Universidad de Buenos Aires.

**Objetivo/s:** Estudiar la prevalencia de odontomas y su localización y relación con piezas dentarias retenidas.

**Materiales y Métodos:** Se realizó un estudio retrospectivo y descriptivo sobre 314 pacientes de ambos sexos, atendidos por demanda estimulada (con prescripción del estudio) en la Cátedra de Diagnóstico por imágenes de la FOUBA. Criterios de inclusión: pacientes que posean radiografía panorámica. Criterios de exclusión: artefactos de adquisición que impidan la observación. Un operador único registró las variables a estudiar en instrumento ad-hoc. Para las variables cuantitativas (edad) se calculó mediana, mínimo y máximo. Para variables (presencia, maxilar, lado, zona dentaria relación con piezas retenidas) cualitativas se utilizaron frecuencia y porcentajes.

**Resultados:** La mediana de edad de los pacientes fue 29 años (mínimo: 8; máximo 82 años). La distribución según sexo fue  $n=209$  (66,6% femenino)

La frecuencia de observación de odontomas:  $n=16$  (5,1%)

La distribución por maxilar fue: superior  $n=6$  (37,5%) e inferior  $n=10$  (62,5%)

La localización por lado fue: 50% lado derecho.

La distribución por zona dentaria fue: Incisivo  $n=3$  (18,8%); Canino  $n=5$  (31,3%); fue Premolar  $n=3$  (18,8%); Molar  $n=5$  (31,3%)

Se relacionan con piezas retenidas  $n= 7$  (43,8%)

**Conclusión/es:** La prevalencia de odontomas es similar a la encontrada a nivel mundial. Esta patología se asocia a la retención dentaria, por lo que en casos de ausencia clínica de una pieza dentaria debe estudiarse esta posibilidad.

161

ID 2102

### PREVALENCIA DE ANTROLITOS EN TOMOGRAFÍAS COMPUTADAS DE HAZ CÓNICO

Fernando Gonzalez Maglio<sup>1</sup>, Ana Sánchez<sup>1</sup>, Cintia Coiro<sup>1</sup>, Noelia Vitali<sup>1</sup>, Ileana Bonzi<sup>1</sup>, Martina Iglesias<sup>1</sup>, Valentina Ortalli<sup>1</sup>, Ana Soler<sup>1</sup>, Andrea Zabala<sup>1</sup>, Pablo Andrés Salgado<sup>2</sup>.  
1. Cátedra de Diagnóstico por imágenes, FOUBA. 2. Cátedras de Microbiología y Parasitología y de Odontología Preventiva y Comunitaria, FOUBA. Instituto de Investigaciones en Salud Pública, UBA.

**Objetivo/s:** Estudiar la prevalencia de antrolitos mediante tomografía de haz cónico, su tamaño y localización.

**Materiales y Métodos:** Se realizó un estudio retrospectivo, descriptivo, observacional, sobre 145 pacientes de ambos sexos, atendidos en la Cátedra de Diagnóstico por imágenes de la FOUBA.

Criterios de inclusión: pacientes que posean tomografías computadas de haz cónico que incluyan senos maxilares. Criterios de exclusión: artefactos de adquisición que impidan la observación del seno maxilar. Un operador único registró: edad, sexo, presencia/ausencia, ubicación (lado, piso/paredes y zona dentaria). Para variables cualitativas se utilizaron frecuencia y porcentajes. Para las variables cuantitativas se calculó mediana y mínimo y máximo.

**Resultados:** La mediana de edad 54 años mínimo 14, máximo 70. La distribución según sexo fue 62% femenino. La prevalencia de observación de antrolitos fue: n=12 (8,3%). La distribución por lado fue: lado derecho n=7 (58,3%) e izquierdo n=5 (41,7%). La localización fue en piso n=9 (75%) y en paredes n=3 (25%). La ubicación en zona dentaria fue molares n=8 (66,7%) y premolares n=4 (33,3%). La mediana de alto = 6 mm (mínimo 3,4 mm y máximo 11,2 mm). La mediana de ancho = 5,7 mm (mínimo 2,3mm y máximo 8,6mm)

**Conclusión/es:** La presencia de antrolitos es una condición de baja prevalencia, en los casos de presencia de estos su tamaño es muy variable y su localización más habitual es en el piso de seno a nivel de los molares.

162

ID 2118

### COMPARACIÓN DE EDAD CRONOLÓGICA Y DOS PARÁMETROS DE CRECIMIENTO

Walter Cornes<sup>1</sup>, Rosina Bergonzi<sup>1</sup>, Juan Pablo Cordoba<sup>1</sup>, Jaqueline Paitan<sup>1</sup>, Victoria Quiroga<sup>1</sup>, Karina Rivero<sup>1</sup>, Ailín Gómez<sup>1</sup>, Pablo Andrés Salgado<sup>2</sup>.  
1. Cátedra de Diagnóstico por imágenes, FOUBA. 2. Cátedras de Microbiología y Parasitología y de Odontología Preventiva y Comunitaria, FOUBA. Instituto de Investigaciones en Salud Pública, UBA.

**Objetivo/s:** Identificar maduración de la sutura media palatina en CBCT y crecimiento vertebral en telerradiografías laterales para determinar la correlación entre ambas con la edad cronológica.

**Materiales y Métodos:** Se realizó un estudio retrospectivo, observacional de corte transversal sobre 55 pacientes, con telerradiografía lateral y CBCT realizadas en la Cátedra de Diagnóstico por Imágenes de la FOUBA. Criterios de inclusión: edad 8 a 38 años, separación entre estudios no mayor a 6 meses. Se registró edad, sexo, Estadio de Baccetti en telerradiografías laterales y Estadio de Angelieri en CBCT. Se correlacionaron ambos métodos por separado con la edad y el Estadio 5 de Baccetti con Angelieri. Análisis estadístico: para las variables cualitativas se calculó frecuencias, % e IC95%. Variables cualitativas se calculó media, mediana, mínimo y máximo. Para comparar los estadios, se aplicó ANOVA no paramétrica.

**Resultados:** Los resultados mostraron una distribución por sexo del 50,9% de mujeres y una edad media de 18 años (mínimo 8, máximo 37). En las telerradiografías, el 52,7% de los pacientes se encontraba en el Estadio 5 de Baccetti, con una media de 22 años. En CBCT, el Estadio C fue el más frecuente, con una media de 14 años, mientras que el Estadio E tuvo una media de 27 años.

**Conclusión/es:** De los 8 a 14 años existe correlación entre potencial de crecimiento en telerradiografías laterales (Estadios 1, 2 y 3) y permeabilidad de la sutura media palatina en CBCT (Estadios A, B y C). A partir de los 14 años se manifiestan los Estadios 4 y 5 de crecimiento vertebral y los Estadios D y E de maduración de la sutura. En el Estadio 5 de crecimiento vertebral pasado el pico de crecimiento, la maduración de la sutura media palatina presenta distribución pareja entre Estadios C y D, con prevalencia del Estadio E.

163

ID 2120

**LA EXPOSICIÓN CONTINUA A HIPOXIA HIPOBÁRICA ALTERA EL METABOLISMO ÓSEO MANDIBULAR EN RATAS CON PERIODONTITIS EXPERIMENTAL**Giuliana Rugolo<sup>1</sup>, Pedro Álvarez Lloret<sup>2</sup>, Chiara Capelli<sup>3</sup>, Pilar Martínez<sup>1</sup>, Clarisa Bozzini<sup>1</sup>, Javier Fernández Solari<sup>1,4</sup>, Antonela Terrizzi<sup>1</sup>.

1. Cátedra de Fisiología, FOUBA. 2. Departamento de Geología, Facultad de Geología, Universidad de Oviedo, España. 3. Departamento de Mineralogía y Petrología, Facultad de Geología, Universidad de Granada, España. 4. CONICET.

**Introducción:** El tejido óseo es uno de los más activos de nuestro organismo y para mantener su actividad necesita un continuo aporte de oxígeno. La exposición a hipoxia altera el remodelado óseo, pero los datos de cómo influye sobre el hueso mandibular afectado por periodontitis son escasos.

**Objetivo/s:** Evaluar cómo la exposición continua o intermitente a hipoxia afecta las propiedades minerales y la matriz orgánica del hueso mandibular en ratas con periodontitis experimental.

**Materiales y Métodos:** 15 ratas Wistar adultas fueron expuestas a hipoxia crónica intermitente (HCI) o continua (HCC) en cámaras de altura simulada (4200 msnm) durante 90 días. Animales control (C) se mantuvieron en normoxia. Catorce días previos a la eutanasia, se indujo periodontitis experimental (PE) a cada grupo mediante ligadura alrededor de los primeros molares inferiores, quedando determinados los siguientes grupos experimentales: CPE, HCIPE, HCCPE. Se analizaron las propiedades minerales y orgánicas de una hemimandíbula de cada animal mediante espectroscopía ATR-FTIR y análisis termogravimétrico. Los resultados fueron analizados mediante ANOVA y test de Tukey.

**Resultados:** Las mandíbulas de los animales expuestos a HCC y PE presentaron un menor índice de cristalinidad de hidroxiapatita, menor cross-linking de colágeno, mayor contenido de fosfato y menor contenido de carbonato en comparación con los otros dos grupos experimentales. Además, las hemimandíbulas de los animales del grupo HCCPE contenían menores niveles de agua (CPE: 13,05 ± 1,56; HCIPE: 14,01 ± 1,57; HCCPE: 8,74 ± 0,56) y presentaban una mayor degradación colágena que los animales control y HCI.

**Conclusión/es:** Los resultados indican que podría existir un efecto aditivo entre la exposición continua a hipoxia y la inflamación inducida por PE, aumentando en este grupo el riesgo de alteración del metabolismo óseo, aunque no se observen diferencias significativas en la pérdida ósea a nivel microscópico durante el período experimental.

164

ID 2124

**DETERMINACIÓN DEL ESTADÍO DE CARMEN NOLLA DE CANINOS SUPERIORES EN RADIOGRAFÍAS PANORÁMICAS**Ana Sanchez<sup>1</sup>, Julieta Serafini<sup>1</sup>, Alejandra Antoniuk<sup>1</sup>, Luisina Mazza<sup>1</sup>, Stephanie Arario<sup>1</sup>, Victoria Quiroga<sup>1</sup>, Teresita Cifuentes<sup>1</sup>, María Luz Di Bartolo<sup>1</sup>, Florencia Arrigo<sup>1</sup>, Pablo Salgado<sup>2</sup>, Patricia Indkevitch<sup>1</sup>, María Julia Carosi<sup>1</sup>, Ailin Gomez<sup>1</sup>, Diego Jorge Vázquez<sup>1</sup>.

1. Cátedra de Diagnóstico por imágenes, FOUBA. 2. Cátedras de Microbiología y Parasitología y de Odontología Preventiva y Comunitaria, FOUBA. Instituto de Investigaciones en Salud Pública. UBA.

**Objetivo/s:** Identificar el estadio de Carmen Nolla en caninos superiores con radiografías panorámicas y correlacionar con la edad cronológica.

**Materiales y Métodos:** Se realizó un estudio retrospectivo, observacional de corte transversal sobre 110 pacientes, con panorámica realizada en la Cátedra de Diagnóstico por imágenes FOUBA. Criterios de inclusión: edad 11 a 15 años (a.), con ambos caninos superiores permanentes sin patología. Se determinó el estadio de desarrollo dentario según la escala de Carmen Nolla. Se estudiaron las variables: edad, sexo, estadio de Nolla. Se comparó el estadio de lado derecho con izquierdo. Para variables cualitativas se utilizaron frecuencia y porcentajes. Pruebas de chi-cuadrado, Fisher exacto para edad y estadio. Para analizar la correlación del estadio de desarrollo entre lado derecho e izquierdo se utilizó Tau<sub>b</sub> de Kendall. Los valores de  $p < 0,001$  se consideraron estadísticamente significativos.

**Resultados:** N= 110, distribución por sexo: femenino 51 (46,4%). La distribución de pacientes por edad fue 11años=7,3%; 12años=20%; 13años=19,1%; 14años=20,9% y 15años=22,7%. Para el lado izquierdo, la distribución de estadio según la edad fue:

11años: estadio 9 (73,7%)  
 12años: estadio 10 (50%)  
 13años: estadio 10 (47,6%)  
 14años: estadio 10 (87%)  
 15años: estadio 10 (92%)

Para el lado derecho, la distribución de estadio según la edad fue:

11años: estadio 9 (73,7%)  
 12años: estadio 10 (40,9%)  
 13años: estadio 10 (66,7%)  
 14años: estadio 10 (91,3%)  
 15años: estadio 10 (92%)

Hubo diferencia estadísticamente significativa en el desarrollo radicular según la edad ( $p < 0,001$ ). Hay correlación en el estadio de Nolla entre lado derecho e izquierdo: 0,625  $p=0,001$  Tau<sub>b</sub> de Kendall.

**Conclusión/es:** A la edad cronológica de 11 años, en general los caninos superiores están en el Estadio 9 de Carmen Nolla. Con la progresión de la edad y el desarrollo alcanzan el Estadio 10.



165

**ID 1965**  
**CBCT COMO HERRAMIENTA PARA EVALUAR POSIBLES CAMBIOS EN LOS PARÁMETROS HISTOMORFOMÉTRICOS MÁS IMPORTANTES DE LOS HUESOS MAXILARES**

María Eugenia Avendaño<sup>1</sup>, Marina Bonanno<sup>2</sup>, Mario Ricardo Davison<sup>3</sup>, Susana Zeni<sup>2</sup>.

1. Servicio de Diagnóstico por Imágenes. Facultad de Odontología. Universidad Nacional de Cuyo. 2. Instituto de Inmunología, Genética y Metabolismo. Departamento de Microbiología, Inmunología y Biotecnología. Facultad de Farmacia y Bioquímica, UBA. 3. Facultad de Odontología. Universidad Nacional de Río Negro.

**RESUMEN NO PRESENTADO**

166

**ID 2127**  
**ANÁLISIS DE LA POSICIÓN Y DIÁMETRO DE LA DESEMBOCADURA DEL MENTONIANO CON TC CONE BEAM**

Diego Enrique Agüero, Luis Fernando Wuscovi, Mercedes Mabel Jorrat, Lourdes Mariana Simón, Hugo Norberto Aragón.  
Cátedra de Radiología, FOUNT.

**RESUMEN NO PRESENTADO**



# ÍNDICE DE AUTORES



Autor				Resumen
Aceval	L			89
Acevedo	E	D		92, 93
Acosta	S			95
Acosta Jofré	M	S		57
Adriano Junior Eduardo	G			15
Afonso Ramírez	C			149, 151
Agüero	N			132
Agüero	D	E		166
Agüero Romero	A			155
Aguilar Porta	M			108
Ahmadi	M			145, 146
Alaminos	M			79
Alba	P			82
Alberti Cancelo	V			154
Albertini	G			108
Albiero	E			82
Alfaro	M			131
Alfie	L	B		38
Almada	V			135
Alonso	M			105
Alurralde	P			4
Alvaredo	G			60
Alvarez	S			94
Alvarez Giménez	J	M		109, 111, 112
Álvarez Lloret	P			163
Amer	M	A	R	83
Anastasio	D			26
Anchava	J	A		5, 8, 54
Andrada	V			13
Andrada	C			13
Antona	M	E		125
Antonenko	O			85
Antonini	N			106
Antoniuk	A			44, 46, 156, 164
Antuña	M	W		118, 119
Aragón	H	N		166

Autor				Resumen
Arario	S			44, 148, 164
Arcuri	A			76
Arcuri	M			76
Aredes	J	E		30, 51, 67, 139, 141, 142, 143, 144
Argentieri	A			29
Arias	C	G		138
Armada	M			123
Armando	M	S		113
Arrigo	F			44, 164
Attaguile	A			22
Aubia	M	C		141, 142, 143, 144
Avendaño	M	E		158, 165
Azcona	V			73, 148, 156
Azzarri	M	J		130
Bachmeier	E			98, 126
Báez	V			37
Baggini	C	E		2
Balestrero Cassiano	F			20
Bander	M	P		104
Barba Flores	D	B		70
Barbiero	R			68
Bárcenas	C	A		45
Barembaum	S	R		64, 65, 75
Barros	A			118, 119
Basal	R	L		104
Bazaez	M	G		102
Beccheli	D			108
Bella	M			103, 132
Bellazzi	M	P		123
Belotti	L	R		42
Benítez	L	E		73, 156
Benítez	M	B		115, 122
Benítez Rogè	S			145
Bergonzi	R			162
Bermeo Domínguez	J	B		97
Bernado	D			121



Autor				Resumen
Berón	A	M		25
Berra	S			103
Bertolino	M			2, 4, 6
Bessonw	D			62
Biagini	S			89
Bielli	M	V		148
Biondi	A	M		3, 5, 6, 17, 18, 54, 121
Blotta	F			71
Boaventura Dubovik	M	A		136, 137
Boccio	I			118, 119
Boix Antacle	Y			87
Bojaminsky Fontana	S	D		4, 97
Boldrini	M			62, 152
Bonafé	A			34
Bonanno	M	S		157, 158, 165
Bonetto	N	F		126
Bonzi	I	M	A	43, 44, 123, 159, 161
Boragina	P			139
Bordón Yameti	A	G		31
Bordoni	N	E		28, 58
Bottiglieri	M	T		106
Bozal	C	B		53, 56, 89, 147, 155
Bozzini	C			39, 155, 163
Brandizzi	D			22
Briem Stamm	A	D		133, 138
Brunotto	M			102
Bruque	C	D		25, 123
Brusca	M	I		116, 117
Burelli	M	P		108
Busleiman	F	J		102
Butler	T	A		100
Butto	B			28
Cabalen	M	B		77
Caballero	A	L		78
Cabirta	M	L		90
Cacciagiù	L			39, 125



Autor				Resumen
Caciva	R			75
Calabrese	O			42
Calvo	S			148
Calzolari	A			127
Camacho	N			80
Campos	F			79
Canale	C			131
Canellada	A	M		19
Canzobre	M	C		87
Canzoneri	R			76
Capelli	C			163
Capusotto	A	O		108
Caram	A			105
Carletto-Körber	F	P	M	3, 57, 106, 113
Carnino Ferreccio	M	L		102
Carosi	M	J		44, 164
Carriel	V			79
Casadoumecq	A	C		24, 26, 97, 145
Casal	M			17, 18
Casali	M			90
Castillo	V			101
Castillo	M	E		117
Castro Escalante	A			25, 46, 123
Cavaliere	J			145
Cebada	P			16
Ceballos Schiavoni	A			75
Cecenarro	B			55
Celia	A	C		99
Chaile	M	M		28
Chaintiou Piorno	R			16, 35, 36, 69
Chato Astraín	J			79
Chaya	C			101
Chihadeh	S			70
Christiani	J	J		92, 93
Cifuentes	H	M		25
Cifuentes	T			44, 164



Autor				Resumen
Cifuentes	M			123
Cires González	M	C		66
Cocco	L			131
Coiro	C			43, 159, 161
Colerato Ferrari	P			20
Compagnucci	C	V		141, 142, 143, 144
Consoli Lizzi	E	P		35
Corcos	L			37
Córdoba	J	P		162
Cornejo	C			30, 59, 60, 67
Cornejo	L	S		57
Cornes	W			43, 122, 159, 160, 162
Correa	F			114
Corró	G			25
Cortese	S	G		3, 5, 6, 17, 18, 54
Corti	S			85
Cosentino	P	B		138
Cozzi	S			76
Cutrera	M	C		66, 67
D'Eramo	L	R		58, 149, 151, 154
Davison	M	R		28, 157, 158, 165
Davison	A			28
De Caso	C			34
De Couto	A	K		115, 120, 122
De la Cal	C			27, 86
De Laurantis	A			114, 145
De Luca	M			73, 148
De Lucca	R	C		24, 69, 90, 120, 147
De Moliner	D	L		51, 139, 141, 142, 143, 144
Decco	J			118, 119
Degaetano	S			104, 131
del Valle Castillo	G			75
Delea	M			25
Demaria	G	A		141, 142, 143, 144
Dexttler	B	N		35
Di Bartolo	M	L		44, 148, 164

Autor				Resumen
Di Girolamo Pinto	G			131
Dmytrenko	G			114
Doi	Y			145, 146
Domingo	M	G		140
Don	J	A		102
Dorado	G			80
Dorati	P			104
Dubersarsky	C	G		98
Dubois	V	A		63, 67
Elverdin	J	C		90
Elvira	A			131
Escalante Vila	M	F		149, 151, 154
Escobar	S	P		9
Escobar Milesi	P	A		130
Escudero	G	E		100
Evjanian	M	G		113
Fader	C	M		124
Farah	M	A		47
Farina	M			114
Fasah	Y	E		40
Felkar	S	A		116
Fernández	D	K		96
Fernández	M	G		10, 128, 129
Fernández	M	M		26
Fernández	V			90
Fernández Solari	J			36, 69, 114, 163
Fernández-Valadez	R			79
Ferrarini	S			30, 67
Ferrary	T			25, 46, 123
Ferreira	A	V		117
Ferrer	B			79, 80
Ferreri	N			76
Ferronato Soto	A			15
Feser	G			118, 119
Fidelio	P			57
Figueroa	L			73, 148



Autor				Resumen
Fiore Aguilar	A			121
Folco	A			145, 146
Fontana	S			47
Fontanetti	P	A		140
Franchetti	S			70
Freiberg Hoffmann	A	A		128, 129
Fridman	D	E		2, 3
Friedman	S	M		19, 39, 124, 125
Frosasco	C	L		140
Fuks	A	J		10, 128, 129
Funosas	E			118, 119
Gagey	L			42
Galdoporpora	J	M		19, 125
Gallarà	R	V		81
Gandolfo	M			113
García	F	D		75
García	M	F		71, 73
García	M			145, 146
García Cuerva	M			136, 137
Garrofé	A			17, 18, 51
Garzón	M	L		116
Gigena	P			132
Giménez	N			134
Giménez Evjanian	M			106
Gliosca	L	A		63, 67
Gobbi	C			82
Gómez	A			43, 44, 157, 158, 169, 162, 164
Gómez	B			1
Gómez	C	Y		138
González	D	A		25, 123
González	N			11, 12
González	S	R		92, 93
González Ittig	R	E		57, 106
González Maglio	F			43, 122, 159, 161
González Zannotto	C	A		134, 135
Gorrino Baquero	R	B		21



Autor				Resumen
Goyeneche	Y			131
Granado	M	A		101
Grifo	M	B		83
Gualdoni	G	S		24, 33, 88
Gualtieri	A	F		16, 35, 37, 38, 68, 80
Guanzini	M			55
Guerrero	J			101
Guillem Zambrano	A			70
Guitelman	I	C		94, 95
Gutvay	A	V		102
Guzmán	A			96
Heredia	G			23
Heredia	G	K		141, 142, 143, 144
Hernández	F			1
Hiacelay	A			156
Huaccha Flores	S			30, 67
Ienco	M			55
Iglesias	M			122, 159, 161
Iglesias	M	E		134, 135, 136, 137
Iglesias	M			145, 146
Indkevitch	P	V		23, 44, 164
Ingrassia	J			16
Iturre	S			101, 105
Jeréz	M	I		113
Jewtuchowicz	V	M		116, 117
Jiménez	M	G		57
Jordan	S			130
Jorrat	M	M		166
Juárez	R	P	A	99
Juárez Peñalva	M			48
Karaben	V	E		74
Kim	E			115, 121
Klarreich Schwartz	F			89
Klemonsks	G			31, 60
Kraemer	M	E		78
Krauss	I			135



Autor				Resumen
Kuchenbecker	C			151
Kumani	C			62
Kurtz	M			155
Labarta	A	B		70
Labate	L	M		96
Laborde	M	de	los	28
Lacave	M			36, 45, 69
Lacerra	C			81
Lamas	C			155
Lambruschini	V			1
Langellotti	Y			23
Lauriola	L	L		13
Lazo	S	D		100
Lazzati	R			60, 61, 150
Lee	L	T		38
Lei	M	A		11, 12, 49, 50
Leiva	B			155
Leonardi	C	P		126
Lespade	M			17, 18
Levalle	M	J		1, 76
Levy	T	N		10
Leyes	C			31, 60
Lezón	C			13, 155
Lobo	A	M		65
Loiácono	R			68, 107, 160
López	M			53, 147
López	R			101
López Quispe	E			39
Luciani Reynoso	P			127
Lutri	M	P		78
Macchi	R			19
Macchi	R	L		49, 50
Macedo Rama	G			15
Macri	V	E		39, 125
Magaquian	T			81
Magliano	R	O		102

Autor				Resumen
Malheiros Badaró	M			15
Mamani	E			16
Manlla	A			109
Maquieira	D			14
Marcarian	L			13
Márquez	G	J		11, 12
Martín	G			34
Martín Wietz	F			98
Martínez	C	A		51, 139, 141, 142, 143, 144
Martínez	F			64, 65
Martínez	R			80
Martínez	K	L		94, 95
Martínez	P			163
Martínez	P			16
Martínez	J	E		57
Masci	I			155
Masso	M			116
Matyus	V	M		10
Mayocchi	K			76
Mayocchi	R	M		76
Mazza	L			44, 164
Mazzeo	D			1
Mazzeo	M	A		98, 126
Mazzola	I			48
Mazzucco	M			42
Médici	S			153
Medina	E			7
Medina	G			25
Medina	M	M		27, 85
Melián	K			8
Mendel	N	B		7, 10, 128, 129
Méndez	C	F		23, 110, 115, 121
Meoli	L			135
Merhar	V	A		115, 120, 122
Micheletti	L			118, 119
Migliacco Domínguez	M			76



Autor				Resumen
Migliorini Urban	V			20
Migueles	A	M		68, 72
Migueles Goitea	M	E		126
Miklaszewski	E			38
Mikszowicz	V	J		39, 124
Mina	S			113
Miño	A			2, 8
Miño	A	M		99
Mirotti	G			78
Miyashiro	M	E		87
Mohn	C	E		24, 36, 69, 145
Molachino	R			73
Molgatini	S	L		63
Molina	M	J		14
Molina	G	F		48, 77
Monqaut	L			42
Monserrat	N			78
Morasso	A	M		58
Moreno	J			22
Moure	M	P		130
Mourelle Martínez	M	R		57
Moya	M	A		94, 95
Murciano	R	M		116
Murillo	M			114
Nagami	J			134
Nart	L	J		139, 141, 142, 143, 144, 148, 156
Navarro	M	L		7
Neppelenbroek	K	H		20
Nervegna	M	T		45
Neves García	A	A		20
Nicolini	M			19
Nuñez	D			58
Nuñez	F	L		90
Ochoa	A	A		51, 141, 142, 143, 144
Olivieri	D	G		66
Olmedo	D	G		26, 140



Autor				Resumen
Olvi	L	G		21
Ontivero	L			80
Orman	B			25, 46, 123
Ortalli	V			161
Ortenzi	L			122, 159
Orzuza	R			39, 124, 125
Ossola	C	A		86
Pablo	G	F		130
Paganelli	A			87
Paglilla	J			117
Paitán	J			73, 162
Palacios	N	P		66
Paleo	M	A		104
Palma	S	D		80
Paparella	M	L		21, 40, 41
Pareja-Malagón	M			79
Pari	I			62
Pasart	M			26
Pascual	S	A		16
Patitucci	W	E		52
Paván	V	H		24, 55, 97
Pazos	X			153
Pedraza	C			34
Peralta de Elías	N			47
Pérez	S	B		66
Pérez	M			131
Pérez	E			140
Pérez Meyer	M	L		58
Pérez Rodríguez	P			68
Picca	M			11, 12, 14, 16, 17, 18, 49, 50
Piconi	M	C		78
Picotti	D	L		130
Pilone	L	S		104
Pineda Rodríguez	A			51
Piña Lugo	R	M		56
Pita Martín	M	L		89



Autor				Resumen
Plum	L			106
Pollicina	L	M		130
Polti	L	F		40
Pomarada	M	E		74
Ponce	J	O		99
Ponce	A	F		102, 132
Porta	D	J		98
Preliasco	M			28
Prieto	C	G		139
Puia	S			23, 46
Pujol	M	H		73, 156
Quevedo	J			32,59
Quintero	A			119
Quiroga	V			44, 162, 164
Radica	E			118
Rajoy	A	C		139
Ramírez	L	I		74
Ramos da Silva	M	G		15
Ramos Olazábal	R			141, 142, 143, 144
Rannelucci	L	R		138
Rea	A	E		74
Reboredo	G	L		52, 88
Renou	S	J		26, 28, 72, 140
Rhys	K	V		82, 91, 92
Riguero	G			145
Rimoldi	M	L		1
Ríos	H			87
Ríos	M			97
Ríos	C	E		90
Rivelli	M			11, 12
Rivero	K			162
Rivoira	M	A		98
Robles	J			42
Rocha Valadas	L	A		29
Rodríguez	T			33
Rodríguez	P	A		16, 33, 35, 36, 37, 38, 68, 69, 70, 72

Autor				Resumen
Rodríguez	M	A		79, 81
Rodríguez	C	M		149, 151
Rodríguez	J			52
Rodríguez	I	A		79, 80, 81
Rodríguez	D	A		86
Rodríguez	V			147
Rodríguez Rhis	E			7
Rosero Mora	J			96
Rosón Fontán	M			32
Rossi	G			35, 59, 60, 150, 153
Rossi Grosso	S			42
Rotter Maurín	C			113
Rourera	C			34
Rozas	C	A		78
Rugani	M	L		112
Rugolo	G			163
Ruiz	M			1
Rusconi	J	A		133
Sacalxot	G			91, 92
Saizar	M	A		24
Salassa	B	N		124
Salduna	S			34
Salgado	P	A		11, 17, 18, 23, 25, 29, 30, 31, 43, 44, 46, 51, 59, 60, 61, 62, 63, 66, 67, 73, 107, 122, 139, 141, 142, 143, 144, 148, 149, 150, 151, 152, 154, 154, 156, 159, 160, 161, 162, 164
Sanchez	L	M		45, 53, 56, 88, 89, 147
Sanchez	G			81
Sánchez	A			43, 123, 159, 161, 164
Sánchez	G	A		27, 83, 84, 85
Sanchez-Quevedo	M	del	C	79
Sanchis	S			148
Santabaya Colares	F	C		29
Santillan	M	E		38
Saporitti	M			104
Saravia	M	E		109, 111, 112
Sarli Galvez	F	P		88



Autor				Resumen
Scatena	M	G		64, 65, 75
Schäfer	R	F		14
Sciarrotta	A			37, 146
Seijo	M			89
Seni	S	L		26, 46
Serafini	J			44, 73, 122, 156, 164
Serafino	M	B		76
Serra Capó	T			32, 59
Serrano	V	C		104
Sezin	M			78
Silingo	M			1
Silva	G	V		96
Silva Ribeiro de Andrade	J			15
Silvera Estevez	D	E		109, 111
Simón	L	M		166
Sirimarco	K	V		76
Soares dos Passos	D	G		20
Sobrero	C			81
Socolovsky	J	A		64, 65, 75
Soler	A			43, 122, 161
Soliani	G			4
Somoza	F			16, 59
Sorazabal	A	L		29, 32, 49, 50, 59, 61, 150
Sorbera Ferrer	L			79, 80
Sosa	Y			31
Sosa De Lucca	M			39, 124
Sotomayor	L			101
Spina	M	S		100
Spoleti	P			71
Squassi	A	F		29, 30, 31, 32, 58, 59, 60, 61, 62, 67, 110, 149, 150, 152, 153, 154
Stolbizer	F			23, 40, 84
Styblo	A			135
Suarez	S			104
Suriaga Aray	P	A		12, 14
Taborda	J			48
Tarquini	P			146



Autor				Resumen
Tartacovsky	H			136, 137
Tasat	D			155
Telechea	C	R		138
Terrizzi	A			163
Tineo	S			109, 111, 112
Toledo	N			11, 12
Toma	A	F		27, 85
Tomas	L	J		130
Tomas	P	M		130
Toriani	L			14
Torres	Y			87
Tortoni	S			134, 136
Toscano	M	A		9, 54
Touceda	V			39
Tranchida	M	C		76
Trigo Humaran	M	M		107, 134, 135, 136, 137, 142, 143, 144, 148
Trinks	P	W		84
Triverio	A			62
Uasuf	M	M		105
Uhlant	E			22
Vallvé	D			134
Vargas	C	F		109, 111, 112
Vazquez	D	J		43, 44, 73, 107, 139, 141, 142, 143, 144, 148, 156, 157, 158, 164
Vázquez	L			122, 156, 160
Vega Barrionuevo	E	B		141, 142, 143, 144
Ventura	F			110, 150
Vera	N	S		57
Vercelli	B			106
Via	R	A		141, 142, 143, 144
Vijandi	V	R		130
Villamarin	A			31
Villegas Padilla	K	M		41
Visconti	M	P		37
Vitali	N			43, 159, 161
Vives	J			124
Wietz	F	M		126



Autor				Resumen
Willems	C			45
Wiszniewski	M			125
Wuscovi	L	F		166
Yamauchi	M	I		147
Yoshi Campos Sugio	C			20
Yuste	A	C		112
Zabala	A			43, 122, 161
Zacharczuk	G	A		9
Zaiden	S	L		13
Zalduendo	M	F		109, 111, 112
Zanoni	Y			34
Zemborain	C	R		133
Zeni	S	N		89, 157, 158, 165
Zeni Coronel	M	E		89, 157
Zmener	O			33
Zorrilla	I	M		42
Zuasnabar	M	O		100
Zunini	G			117